



OFICINA ESPAÑOLA DE PATENTES Y MARCAS

ESPAÑA



① Número de publicación: 2 658 239

51 Int. Cl.:

C07K 16/28 (2006.01) C12N 5/20 (2006.01) A61K 39/395 (2006.01) A61P 35/00 (2006.01) A61P 37/00 (2006.01)

12 TRADUCCIÓN DE PATENTE EUROPEA

Т3

Fecha de presentación y número de la solicitud europea: 19.10.2007 E 14175846 (6)
 Fecha y número de publicación de la concesión europea: 13.12.2017 EP 2829551

(54) Título: Antagonistas de anticuerpos de alta afinidad del receptor α1 Xe interleucina-13

(30) Prioridad:

19.10.2006 US 852884 P

Fecha de publicación y mención en BOPI de la traducción de la patente: **08.03.2018**

(73) Titular/es:

CSL LIMITED (100.0%) 45 Poplar Road Parkville, Victoria 3052, AU

(72) Inventor/es:

NASH, ANDREW DONALD; BACA, MANUEL; FABRI, LOUIS JERRY; ZALLER, DENNIS; STROHL, WILLIAM R. y AN, ZHIQIANG

(74) Agente/Representante:

IZQUIERDO BLANCO, María Alicia

Observaciones:

Véase nota informativa (Remarks, Remarques o Bemerkungen) en el folleto original publicado por la Oficina Europea de Patentes

Antagonistas de anticuerpos de alta afinidad del receptor al de interleucina-13

Descripción

5 Introducción

15

20

25

55

60

65

Esta solicitud reivindica el beneficio de prioridad de la Solicitud de Patente Provisional U.S. Nº de Serie 60/852.884, presentada el 19 de Octubre del 2006.

10 Antecedentes de la invención

Los datos de estudios humanos y modelos animales experimentales implican fuertemente citocinas derivadas de Th2 como contribuyentes a asma atópica, desempeñando la interleucina-4 (IL-4) e interleucina-13 (IL-13; véase, por ejemplo, Minty y col., 1993 Nature 362:248-250; McKenzie y col., 1993 Proc. Natl. Acad. Sci. USA 90:3735-3739; Acc. Nos: U31120 y L13029 (human) y NM 001032929 (Macaca mulatta)) la función más importante. Estas dos citocinas tienen similitudes estructurales significativas y comparten ciertos componentes de receptor. El receptor que comparte IL-4 y IL-13 es un receptor dual de IL-4R/IL-13 (o receptor tipo II) que se une tanto a IL-4 como a IL-13. Este receptor está compuesto por la cadena de IL-4Rα (véase, por ejemplo, Idzerda y col., 1990 J. Exp. Med. 171:861-873) y la cadena de IL-13Rα1 (véase, por ejemplo, Hilton y col., 1996 Proc. Natl. Acad. Sci. USA 93:497-501; Aman y col., 1996 J. Biol. Chem. 271:29265-29270; Miloux y col., 1997 FEBS Lett. 401:163-166; Acc. Nos: U62858 y CAA70508 (humano) y AAP78901 (Macaca fascicularis)). El receptor dual de IL-4R/IL-13R se expresa en células hematopoyéticas y no hematopoyéticas, que incluyen células epiteliales pulmonares y de músculo liso. Tanto IL-4 como IL-13, adicionalmente, tienen cada uno un receptor que los reconoce para la exclusión del otro. Por ejemplo, el receptor de IL-4 (IL-4R) tipo I, compuesto por la cadena de IL-4R α y la cadena gamma común (γ c), se une específicamente a IL-4. El IL-4R tipo I se expresa exclusivamente en células de origen hematopoyético. El receptor específico para IL-13, IL-13Ra2, se une a IL-13 con alta afinidad, pero aparentemente no transduce señales. Más bien, el receptor actúa de señuelo para atenuar la respuesta a IL-13.

IL-13 y IL-4 realizan varias funciones y ambos regulan varias funciones relacionadas con el fenotipo alérgico, tales como conmutación de clase de isotipo a IgE en linfocitos B, activación de mastocitos y eosinófilos, regulación por incremento de moléculas de adhesión a células vasculares-1 (VCAM-1) en células endoteliales y producción de quimiocinas tales como eotaxinas, quimiocina regulada por el timo y por activación (TARC) y quimiocina derivada de macrófagos (MDC).

35 IL-4 y IL-13, sin embargo, tienen muchas funciones distintas in vitro e in vivo debido a diferencias en sus complejos de receptor. Por ejemplo, se ha mostrado que el secuestro de IL-13, pero no IL-4, previene la hiperreactividad de las vías respiratorias y reduce la producción de moco en modelos de asma de ratón. Esta correlación entre IL-13 y la respuesta asmática se ha soportado adicionalmente por otros estudios; véase, por ejemplo, Hershey y col., 2003 J. Allergy Clin. Immunol. 111(4):677-690; Grunig y col., 1998 Science 282 (5397):2261-2263; Mattes y col., 2001 J. Immunol. 167(3):1683-1692; y Fulkerson y col., 2006 Am. J. Respir. Cell. Mol. Biol. 35(3)337-346. Se ha encontrado que la administración de IL-13 al pulmón, por ejemplo, es suficiente para inducir el fenotipo similar a asma entero en 40 ratones. Animales tratados desarrollan hiperreactividad de las vías respiratorias, inflamación de células ricas en eosinófilos, hiperplasia de células caliciformes con producción en exceso de moco asociada, y fibrosis subepitelial; véase, por ejemplo, Wills-Karp y col., 1998 Science 282(5397): 2258-2261; Reiman y col., 2006 Infect. Immun. 74(3): 45 1471-1479; y Kaviratne y col., 2004 J. Immunol. 173(6):4020-4029. Además, se ha informado que la expresión de IL-13 es elevada en los pulmones de asmáticos humanos. Además, varios grupos han informado de asociaciones de polimorfismos en el gen IL-13 con un aumento del riesgo de rasgos alérgicos y síntomas de asma. Se ha mostrado que algunos de estos polimorfismos se correlacionan con el aumento de la expresión de IL-13; véase, por ejemplo, Huang y col., 1995 J. Immunol. 155(5)2688-2694; Naseer y col., 1997 Am. J. Respir. Crit. Care Med. 155(3):845-851; 50 Vladich y col., 2005 J. Clin. Invest. 115(3):747-754; Chen y col., 2004 J. Allergy Clin. Immunol. 114(3):553-560; y Vercelli y col., 2002 Curr. Opin. Allergy Clin. Immunol. 2(5):389-393.

La IL-13 también se ha asociado a diversas otras afecciones, que incluyen, pero no se limitan a, diversos trastornos respiratorios y mediados por alergia, fibrosis, esclerodermia, enfermedad inflamatoria del intestino y ciertos cánceres; véase, por ejemplo, Wynn, T.A., 2003 Annu. Rev. Immunol. 21:425-456; Terabe y col., 2000 Nat. Immunol. 1(6):515-520; Fuss y col., 2004 J. Clin. Invest. 113(10):1490-1497; Simms y col., 2002 Curr. Opin. Rheumatol. 14(6):717-722; y Hasegawa y col., 1997 J. Rheumatol. 24(2):328-332.

Un antagonista de IL-13 sería, por tanto, una molécula altamente atractiva para su uso en el desarrollo de un tratamiento para trastornos asociados a IL-13. Un antagonista de anticuerpo eficaz interferiría con la unión de IL-13 a IL-13R. Un antagonista de anticuerpo eficaz para IL-13Rα1 puede también interferir con la unión de IL-13 y prevenir la heterodimerización de IL-4Rα y IL-13Rα1. Un anticuerpo tal podría inhibir la señalización de tanto IL-13 como IL-4 mediante el receptor tipo II, mientras que se ahorra la señalización de IL-4 mediante el receptor de tipo I es esencial en la fase de inducción de la respuesta inmunitaria durante la cual se diferencian las células Th2. Los linfocitos T no expresan IL-13Rα1, así el receptor de tipo II no desempeña

función en la diferenciación de Th2. Por tanto, un anticuerpo para IL-13R α 1 no debe afectar el equilibrio global de Th1/Th2. La señalización mediante el receptor de IL-4/IL-13 tipo II es crítica durante la etapa efectora de la respuesta inmunitaria durante la inflamación alérgica establecida. Así, el bloqueo del receptor de tipo II debe tener un efecto beneficioso sobre muchos de los síntomas de asma y otras afecciones mediadas por IL-13R y, por tanto, debe ser un agente modificador de la enfermedad eficaz.

En la materia se han descrito anticuerpos contra IL-13R α 1 (tanto monoclonales como policlonales); véanse, por ejemplo, los documentos EP1449851; WO 97/15663, WO 03/80675; WO 03/46009; WO 06/072564; Gauchat y col., 1998 Eur. J. Immunol. 28:4286-4298; Gauchat y col., 2000 Eur. J. Immunol. 30:3157-3164; Clement y col., 1997 Cytokine 9(11):959 (Resumen de la reunión); Ogata y col., 1998 J. Biol. Chem. 273:9864-9871; Graber y col., 1998 Eur. J. Immunol. 28:4286-4298; C. Vermot-Desroches y col., 2000 Tissue Antigens 5(Supp. 1):52-53 (Resumen de la reunión); Poudrier y col., 2000 Eur. J. Immunol. 30:3157-3164; Akaiwa y col., 2001 Cytokine 13:75-84; Cancino-Diaz y col., 2002 J. Invest. Dermatol. 119:1114-1120; Krause y col., 2006 Mol. Immunol. 43:1799-1807; y GM-1E7 (Krause y col., 2006).

Existe la necesidad de un anticuerpo con actividad biológica potenciada que pueda afectar las actividades asociadas a la alergia y respuesta asmática, además de otras diversas afecciones que se han atribuido al menos en parte a una expresión/funcionamiento elevados de IL-13R α 1. Hay además una necesidad para una molécula de anticuerpo con alta afinidad para IL-13R α 1 con baja inmunogenicidad en seres humanos. Por consiguiente, sería de gran importancia producir un antagonista de anticuerpo humano terapéutico de IL-13R α 1 que inhiba o antagonice con la actividad de IL-13R α 1 y el papel correspondiente que desempeña IL-13R α 1 en diversas afecciones terapéuticas.

Sumario de la invención

5

10

15

20

30

35

40

45

50

55

60

65

25 El anticuerpo de la invención se define en la reivindicación 1. Divulgamos antagonistas de anticuerpos de alta afinidad de IL-13Rα1 y particularmente IL-13Rα1 humano.

Se desvelan moléculas de anticuerpo que reconocen selectivamente IL-13R α 1, particularmente IL-13R α 1 humano, que presentan unión a IL-13R α 1 humano con una K_D de 5 X 10-9 o menos, más preferentemente 2 X 109 o menos, e incluso más preferentemente, 1 X 10-9 o menos. Las moléculas de anticuerpo específicas según la presente invención se unen adicionalmente a IL-13R α 1 de primate con alta afinidad, una calidad deseable dada la accesibilidad de modelos no humanos de primate a predecir los perfiles de eficacia y seguridad en seres humanos. Las moléculas de anticuerpo según la presente invención son eficaces en la inhibición de actividades mediadas por IL-13R α 1 y, así, son de importancia en el tratamiento de afecciones asociadas con las mismas, que incluyen, pero no se limitan a, asma, alergia, rinitis alérgica, sinusitis crónica, fiebre del heno, dermatitis atópica, enfermedad pulmonar obstructiva crónica ("EPOC"), fibrosis pulmonar, eosinofilia esofágica, esclerodermia, psoriasis, artritis psoriásica, fibrosis, enfermedad inflamatoria del intestino (particularmente, colitis ulcerosa), anafilaxia y cáncer (particularmente, linfoma de Hodgkin, glioma y carcinoma renal) y trastornos/afecciones mediados por Th2 generales. Los anticuerpos específicos para IL-13R α 1 también tienen utilidad para diversos fines de diagnóstico en la detección y cuantificación de IL-13R α 1.

La presente invención proporciona, en un aspecto particular, el anticuerpo aislado, 10G5, que antagoniza muy eficazmente el funcionamiento de IL-13 mediante IL-13Ra1. 10G5 presenta la inhibición de la liberación de eotaxina inducida por IL-13 y IL-4 en células NHDF, fosforilación de STAT6 inducida por IL-13 y IL-4 en células NHDF y liberación estimulada por IL-13 de TARC en sangre o células mononucleares de sangre periférica (CMSP). Así, la presente invención engloba anticuerpos como se producen por la línea celular de hibridoma depositada como depósito de ATCC nº PTA-6933. También en el presente documento se divulgan anticuerpos que compiten para unirse a hIL-13Rα1 con un anticuerpo de PTA-6933. Aspectos particulares de la presente divulgación incluyen moléculas de anticuerpo que incluyen secuencias de la región variable de la cadena pesada y/o ligera de 10G5, además de equivalentes (caracterizados por tener una o más sustituciones de aminoácidos conservativas) u homólogos de los mismos. Aspectos particulares engloban moléculas de anticuerpo aisladas que tienen los dominios de CDR divulgados en el presente documento o conjuntos de dominios de CDR de la cadena pesada y/o ligera desvelados en el presente documento, o equivalentes de los mismos, caracterizados por tener una o más sustituciones de aminoácidos conservativas. Específicamente, las moléculas de anticuerpo de la divulgación tienen una región variable de la cadena pesada con secuencias de aminoácidos de CDR1, CDR2 y CDR3 como se expone en SEČ ID Nº:82, SEC ID Nº:83 y SEC ID Nº: 121, respectivamente; y una región variable de la cadena ligera con secuencias de aminoácidos de CDR1, CDR2 y CDR3 como se expone en SEC ID Nº: 84, SEC ID Nº: 85 y SEC ID Nº: 122. Más particularmente, las moléculas de anticuerpo de la divulgación tienen una región variable de la cadena pesada con una secuencia de aminoácidos como se expone en SEC ID №: 45, SEC ID №: 51, SEC ID №: 55, SEC ID Nº: 59, SEC ID Nº: 63 o SEC ID Nº: 67; una región variable de la cadena ligera con una secuencia de aminoácidos como se expone en SEC ID Nº: 49, SEC ID Nº: 71, SEC ID Nº: 75 o SEC ID Nº: 79; o una combinación de las regiones variables de cadena pesada y cadena ligera anteriormente citadas.

Como será apreciado por aquellos expertos en la materia, los fragmentos de un anticuerpo que retienen la capacidad para unirse a hIL-13R α 1 pueden insertarse en diversas regiones estructurales, véase, por ejemplo, la

patente de EE.UU. nº 6.818.418, y referencias contenidas en su interior, que tratan diversos andamiajes que pueden usarse para expresar bucles de anticuerpos previamente seleccionados basándose en la unión al antígeno. Además, pueden unirse genes que codifican V_L y V_H usando procedimientos recombinantes, por ejemplo, usando un ligador sintético que les permite prepararse como una única cadena de proteína en la que el par de regiones V_L y V_H forman moléculas monovalentes, de otro modo conocidas como Fv monocatenario (scFv); véase, por ejemplo, Bird y col., 1988 Science 242: 423-426, y Huston y col., 1988 Proc. Natl. Acad. Sci. USA 85:5879-5883.

En otro aspecto, la presente invención proporciona ácido nucleico que codifica el anticuerpo de la invención. La presente divulgación también proporciona ácidos nucleicos que codifican las cadenas pesadas y ligeras variables y componentes seleccionados de las mismas, particularmente las regiones CDR3 respectivas divulgadas. En otro aspecto, la presente invención proporciona vectores que incluyen un ácido nucleico que codifica un anticuerpo de la invención. En otro aspecto, la presente invención proporciona célula(s) aislada(s) que aloja(n) ácido nucleico que codifica un anticuerpo de la invención. En otro aspecto, la presente invención proporciona célula(s) aislada(s) que comprende(n) un anticuerpo o vector de la presente invención.

En otro aspecto, en el presente documento se desvela un procedimiento para hacer una molécula de anticuerpo que se une selectivamente a IL-13R α 1 (incluidos anticuerpos, fragmentos de unión al antígeno, derivados, moléculas quiméricas, fusiones de cualquiera de los anteriores con otro polipéptido, o estructuras/composiciones alternativas que incorporan cualquiera de los anteriores) de la presente divulgación, que incluye incubar una célula que aloja ácido nucleico que codifica una cadena pesada y/o ligera (dependiendo de la molécula de anticuerpo que se produzca) en condiciones que permiten la expresión y/o ensamblaje de dichas cadenas pesadas y/o ligeras en la molécula de anticuerpo, y aislar dicha molécula de anticuerpo de la célula. Un experto en la materia pueden obtener las moléculas de anticuerpo desveladas en el presente documento usando técnicas de ADN recombinante convencionales.

En otro aspecto, en el presente documento se divulga un procedimiento de antagonización de la actividad o función de IL-13Rα1, sea señalización u otra, que incluye poner en contacto una célula que expresa IL-13Rα1 con una molécula de anticuerpo desvelada en el presente documento en condiciones que permiten que dicha molécula de anticuerpo se una a IL-13Rα1. Aspectos específicos de la presente divulgación incluyen procedimientos tales en los que la célula es una célula humana. Las moléculas de anticuerpo según la presente invención son eficaces en la inhibición de actividades mediadas por IL-13Rα1. Se encontró que las moléculas de anticuerpo según la presente invención inhibían eficazmente la liberación de eotaxina de células de fibroblastos dérmicos humanos normales (en lo sucesivo células "NHDF"). Se encontró que las moléculas de anticuerpo según la presente invención inhibían eficazmente la fosforilación de STAT6 estimulada por IL-13 y IL-4 en células NHDF y se encontró que inhibían eficazmente la liberación estimulada por IL-13 de TARC (CCL17) en sangre completa (humana/ rhesus).

En otro aspecto, en el presente documento se divulga un procedimiento de antagonización de la actividad de IL- $13R\alpha1$ en un sujeto que presenta una afección asociada a actividad de IL- $13R\alpha1$ (o una afección en la que el funcionamiento de IL- $13R\alpha1$ no se considera beneficioso para el sujeto particular), que implica administrar al sujeto una cantidad terapéutica y eficaz de una molécula de anticuerpo de la presente divulgación. En aspectos seleccionados, la afección puede ser asma, alergia, rinitis alérgica, sinusitis crónica, fiebre del heno, dermatitis atópica, enfermedad pulmonar obstructiva crónica ("EPOC"), fibrosis pulmonar, eosinofilia esofágica, psoriasis, artritis psoriásica, fibrosis, esclerodermia, enfermedad inflamatoria del intestino (particularmente, colitis ulcerosa), anafilaxia y cáncer (particularmente, linfoma de Hodgkin, glioma y carcinoma renal) y trastornos/afecciones mediados por Th2 generales. En otro aspecto, la presente invención proporciona una composición farmacéutica u otra composición que incluye una molécula de anticuerpo de la invención (o estructura de unión al antígeno alternativa o proteína que comprende una porción de unión al antígeno específica de IL- $13R\alpha1$ desvelada en el presente documento) y un vehículo farmacéuticamente aceptable, excipiente, diluyente, estabilizador, tampón o alternativa diseñada para facilitar la administración de la molécula de anticuerpo en la cantidad deseada al individuo tratado.

Otro aspecto de la presente invención se refiere a la identificación de un punto de contacto crítico entre los anticuerpos desvelados en el presente documento y hIL-13Rα. Este punto de contacto crítico se identificó por la generación de una mutación específica que afectó la unión del receptor por el anticuerpo. Más específicamente, se encontró que la sustitución del residuo de fenilalanina en la posición 233 de SEC ID N°: 101 con un residuo de alanina produce una pérdida de la unión entre el anticuerpo y el receptor. Esto es un hallazgo muy útil en la caracterización de 10G5 y sus derivados. Los péptidos que explotan la estrecha región que rodea el aminoácido 233 serán útiles en la generación de anticuerpos monoclonales adicionales con especificidad similar. Por consiguiente, en el presente documento se divulgan péptidos aislados que incluyen la secuencia de hIL-13R con una mutación Phe233Ala, tanto si son de longitud completa como de fragmentos de la misma que incluyen la mutación. Adicionalmente, en el presente documento también se divulga el uso de dichos péptidos en un ensayo para evaluar 10G5 o derivados de 10G5, identificar anticuerpos con especificidad por un epítope similar o, alternativamente, producir anticuerpos con especificidad similar.

En otro aspecto, la presente invención proporcionaun anticuerpo aislado que (i) compite con el anticuerpo producido

por la línea celular de hibridoma depositada como el depósito de ATCC Nº PTA-6933 para unir con hIL-13R α 1; (ii) inhibe la señalización de IL-13; y (iii) en donde una sustitución en el péptido de hIL-13R α 1 del residuo de fenilalanina que corresponde a la posición 233 de la SEC ID Nº:101 con un residuo de alanina lleva a una pérdida de la unión entre dicho anticuerpo y el péptido de hIL-13R α 1 mutante resultante en comparación con la unión entre dicho anticuerpo y el péptido de hIL-13R α 1 sin dicha sustitución.

En otro aspecto, la presente invención proporciona un procedimiento de cribado para moléculas de anticuerpo que apuntan a la misma región en hIL-13R α 1 que el anticuerpo producido por la línea celular de hibridoma depositada como el depósito de ATCC N° PTA-6933, que implica (a) analizar la unión de una molécula de anticuerpo de inter´s con (i) un polipéptido de hIL-13R α 1 aislado de la SEC ID N°:101 o un fragmento de 5 a 350 aminoácidos del mismo que incluye el aminoácido correspondiente al residuo 233 de la SEC ID N° 101; u (ii) un polipéptido de hIL-13R α 1 aislado o un fragmento de 5 a 350 aminoácidos del mismo en donde el aminoácido correspondiente al residuo 233 de la SEC ID N°: 101 es una alanina en lugar de una fenilalanina; (b) identificar aquellos anticuerpos que se unen con el polipétido aislado o fragmento del paso (a) (ii) pero muestran unión significativamente reducida con el polipéptido aislado o fragmento del paso (a) (ii); y (c) recuperar los anticuerpos identificados en el paso (b).

Breve descripción de los dibujos

5

10

15

20

25

30

35

40

45

50

55

60

La Figura 1 ilustra la secuencia de nucleótidos y de aminoácidos derivada de la región variable de la cadena pesada del anticuerpo 10G5. Las CDR y el ácido nucleico que codifica las CDR están subrayados.

La Figura 2 ilustra la secuencia de nucleótidos y de aminoácidos derivada de la región variable de la cadena ligera del anticuerpo 10G5. Las CDR y el ácido nucleico que codifica las CDR están subrayados. La Figura 3 ilustra un mapa genético de pFab3d.

Las Figuras 4A y 4B ilustran construcciones de cadena pesada y ligera, SEC ID Nº: 86 y 87, respectivamente, del Fab 10G5 en pFab3d.

La Figura 5 ilustra la unión de Fab mutados de preparaciones periplásmicas para IL-13R α 1 de rhesus.

La Figura 6 ilustra análisis de ELISA de la unión de preparaciones periplásmicas de mutantes de 10G5 a IL- $13R\alpha1$ humano.

La Figura 7 ilustra análisis de ELISA de la unión de preparaciones periplásmicas de mutantes de 10G5 a IL- $13R\alpha1$ humano.

La Figura 8 ilustra datos del ELISA de captura de Myc para clones de variantes de la cadena ligera.

La Figura 9 ilustra el funcionamiento de 10G5, 10G5H6 y 10G5-6 en un ensayo de liberación de eotaxina de NHDF.

La Figura 10 ilustra el funcionamiento de 10G5-6 en bloquear la liberación de eotaxina estimulada por IL-13 y IL-4 en células NHDF.

La Figura 11 ilustra el funcionamiento de 10G5 y 10G5H6 en un ensayo de STAT6 inducido por IL-13.

La Figura 12 ilustra el funcionamiento de 10G5 y 10G5H6 en un ensayo de STAT6 inducido por IL-4.

La Figura 13 ilustra el funcionamiento de 10G5-6 en bloquear la liberación estimulada por IL-13 de TARC (CCL17) en sangre humana completa.

La Figura 14 ilustra el funcionamiento de 10G5 y 10G5H6 en un ensayo de liberación de TARC estimulada por IL-13 en sangre humana completa.

La Figura 15 ilustra el funcionamiento de 10G5H6 y 10G5-6 en bloquear la liberación estimulada por IL-13 de rhesus de TARC en sangre de rhesus completa.

La Figura 16 ilustra una comparación de secuencias de los dominios de Fc de los isotipos IgG1 (SEC ID Nº: 97), IgG2 (SEC ID Nº: 98), IgG4 (SEC ID Nº: 99) y IgG2m4 (SEC ID Nº: 100).

La Figura 17 ilustra la inhibición de la proliferación celular de la línea celular de enfermedad de Hodgkin L1236 por 10G5, 10G5H6 y 10G5-6.

Descripción detallada de la invención

La presente divulgación se refiere a antagonistas de anticuerpos de alta afinidad de IL-13R α 1 y particularmente IL-13R α 1 humano. Se desvelan moléculas de anticuerpo que reconocen selectivamente y se unen específicamente a IL-13R α 1. En realizaciones particulares, los anticuerpos se unen a IL-13R α 1 de primate (por ejemplo, IL-13R α 1 de cinomolgo) con alta afinidad, una calidad deseable dada la accesibilidad de modelos no humanos de primate para predecir perfiles de eficacia y seguridad en seres humanos. El uso de los términos "selectivo" o "específico" en el presente documento se refiere al hecho de que las moléculas de anticuerpo desveladas no muestran unión significativa a otros distintos de IL-13R α 1. Las moléculas de anticuerpo desveladas se unen a IL-13R α 1 humano con una K_D de 5 X 10-9 o menos, más preferentemente 2 X 10-9 o menos, e incluso más preferentemente, 1 X 10-9 o menos. K_D se refiere a la constante de disociación obtenida de la relación de K_d (la velocidad de disociación de una interacción anticuerpo-antígeno particular) con respecto a K_a (la velocidad de asociación de la interacción anticuerpo-antígeno particular), o K_d/K_a que se expresa como concentración molar (M). Los valores de K_D pueden determinarse usando procedimientos bien establecidos en la materia. Un procedimiento preferido para determinar la K_D de un anticuerpo es usar resonancia de plasmones superficiales, por ejemplo, un sistema de biosensor tal como un sistema BIACORE $^{\rm m}$ (Pharmacia AB Corporation).

Los anticuerpos, como se describen en el presente documento, son particularmente eficaces en antagonizar la función de IL-13Rα1, o la actividad mediada por IL-13Rα1 como se cita en el presente documento. El lenguaje actividad/función mediada por "IL-13R α 1" se usa en el presente documento para referirse a cualquier actividad/función que se requiere, o se agrava o potencia por, la función de IL-13Ra1. Se ha mostrado que las moléculas de anticuerpo desveladas presentan al menos una de las siguientes propiedades funcionales: (i) inhibición de la liberación de eotaxina inducida por IL-13 en células NHDF; (ii) inhibición de la liberación de eotaxina inducida por IL-4 en células NHDF; (iii) inhibición de la fosforilación de STAT6 inducida por IL-13 en células NHDF; (iv) inhibición de la fosforilación de STAT6 inducida por IL-4 en células NHDF; o (v) inhibición de la liberación estimulada por IL-13 de TARC en sangre o CMSP. Realizaciones específicas de la presente invención proporcionan moléculas de anticuerpo que antagonizan la liberación de eotaxina mediada por IL-13Rα1 de células NHDF con una Cl₅₀ de 1,0 μg/ml o menos, más preferentemente 0,5 μg/ml o menos, y más preferentemente incluso 0,1 μg/ml o menos. Realizaciones específicas de la presente invención proporcionan moléculas de anticuerpo que antagonizan la fosforilación de STAT6 mediada por IL-13Rα1 en células NHDF. Realizaciones específicas de la presente invención proporcionan moléculas de anticuerpo que antagonizan la liberación de TARC (CCL17) mediada por IL-13Ra1 en sangre completa o CMSP con una CI50 de 1000 ng/ml o menos, más preferentemente 500 ng/ml o menos, y más preferentemente incluso 250 ng/ml o menos. El grado de antagonismo por cualquier anticuerpo particular puede medirse cuantitativamente como el valor de Cl₅₀ en comparación estadística con un control, o mediante cualquier procedimiento alternativo disponible en la materia para evaluar un efecto negativo sobre, o inhibición de, la función de IL-13R α 1 (es decir, cualquier procedimiento que pueda evaluar el antagonismo de la función de IL-13R α 1).

20

25

30

35

40

45

50

55

10

15

"Molécula de anticuerpo" o "anticuerpo", como se describe en el presente documento, se refiere a una estructura derivada de inmunoglobulina con unión selectiva a hIL-13Ra1 que incluye, pero no se limita a, un anticuerpo de longitud completa o completo, un fragmento de unión al antígeno (un fragmento derivado, físicamente o conceptualmente, de una estructura de anticuerpo), un derivado de cualquiera de los anteriores, una molécula quimérica, una fusión de cualquiera de los anteriores con otro polipéptido, o cualquier estructura/composición alternativa que incorpore cualquiera de los anteriores para los fines de unirse a/inhibir selectivamente la función de IL-13Rα1. Anticuerpos "completos" o anticuerpos de "longitud completa" se refieren a proteínas que tienen dos cadenas pesadas (H) y dos ligeras (L) inter-conectadas por enlaces disulfuro que incluyen: (1) en términos de las cadenas pesadas, una región variable (abreviada en el presente documento "VH") y una región constante de la cadena pesada que tiene tres dominios, C_{H1}, C_{H2} y C_{H3}, y (2) en términos de las cadenas ligeras, una región variable de la cadena ligera (abreviada en el presente documento "VL") y una región constante de la cadena ligera que incluye un dominio, C_L. "Aislado", como se usa en el presente documento, describe una propiedad como se refiere a las moléculas de anticuerpo desveladas, ácido nucleico u otro que las haga diferentes de las encontradas en la naturaleza. La diferencia puede ser, por ejemplo, que son de una pureza diferente a la encontrada en la naturaleza, o que son de una estructura diferente o forma a la encontrada en la naturaleza. Una estructura no encontrada en la naturaleza, por ejemplo, incluye estructuras de inmunoglobulina humana recombinantes que incluyen, pero no se limitan a, estructuras de inmunoglobulina humana recombinantes con regiones determinantes de la complementariedad (CDR) optimizadas. Otros ejemplos de estructuras no encontradas en la naturaleza son moléculas de anticuerpo o ácido nucleico sustancialmente libres de otro material celular. Los anticuerpos aislados están generalmente libres de otros anticuerpos que tienen diferentes especificidades antigénicas (distintas de IL-

Fragmentos de anticuerpos y, más específicamente, fragmentos de unión al antígeno, son moléculas que poseen una región variable del anticuerpo o segmento del mismo (que incluye uno o más de los dominios de CDR 3 desvelados, pesados y/o ligeros), que confieren unión selectiva a IL-13Rα1, y particularmente IL-13Rα1 humano (hIL-13R α 1). Fragmentos de anticuerpos que contienen una región variable del anticuerpo tal incluyen, pero no se limitan a, las siguientes moléculas de anticuerpo: Fab, F(ab')2, Fd, Fv, scFv, moléculas de anticuerpo biespecífico (es decir, moléculas de anticuerpo que incluyen un anticuerpo específico de IL-13Ra1 o fragmento de unión al antígeno como se desvela en el presente documento ligado a un segundo resto funcional que tiene una especificidad de unión diferente a la del anticuerpo, que incluye, sin limitación, otro péptido o proteína tal como un anticuerpo, o ligando de receptor), un fragmento de dímero de Fv monocatenario biespecífico, una CDR3 aislada, un minicuerpo, 'scAb', dAb, un diacuerpo, un triacuerpo, un tetracuerpo y anticuerpos artificiales basados en andamiajes de proteína, que incluyen, pero no se limitan a, anticuerpos de polipéptido de fibronectina tipo III (véase, por ejemplo, la patente de EE.UU. nº 6.703.199, documentos WO 02/32925 y WO 00/34784) o citocromo B (véase, por ejemplo, Nygren y col., 1997 Curr. Opinion Struct. Biol. 7:463-469). Las porciones de anticuerpo o fragmentos de unión pueden ser naturales, o producirse parcialmente o completamente sintéticamente. Tales porciones de anticuerpo pueden prepararse por diversos medios conocidos por un experto en la materia, que incluyen, pero no se limitan a, técnicas convencionales, tales como digestión con papaína o con pepsina.

60 La presente invención proporciona, en un aspecto particular, el anticuerpo aislado 10G5 que antagoniza muy eficazmente el funcionamiento de IL-13 mediante IL-13Rα1. 10G5 ha presentado inhibición de la liberación de eotaxina inducida por IL-13- y IL-4 en células NHDF, la fosforilación de STAT6 inducida por IL-13 y IL-4 en células NHDF y la liberación estimulada por IL-13 de TARC en sangre o células mononucleares de sangre periférica (CMSP). Así, la presente invención engloba anticuerpos como se producen por la línea celular de hibridoma depositada como el depósito de ATCC nº PTA-6933. También se divulgan en el presente documento moléculas de

anticuerpo que compiten para unirse a hIL-13R α 1 con un anticuerpo de PTA-6933. También se divulgan en el presente documento moléculas de anticuerpo que compiten para unirse a hIL-13R α 1 con anticuerpos divulgados en el presente documento. Realizaciones específicas de la presente divulgación proporcionan moléculas de anticuerpo aislado que inhiben la unión de IL-13 a hIL-13R α 1.

En el presente documento se divulgan moléculas de anticuerpo que tienen secuencias de la región variable de la cadena pesada y/o ligera de 10G5, además de equivalentes (caracterizados por tener una o más sustituciones de aminoácidos conservativas) u homólogos de los mismos. Realizaciones particulares son moléculas de anticuerpo aislado que incluyen los dominios CDR desvelados en el presente documento o conjuntos de dominios CDR de la cadena pesada y/o ligera desvelados en el presente documento, o equivalentes de los mismos, caracterizados por tener una o más sustituciones de aminoácidos conservativas. El uso de los términos "dominio" o "región" en el presente documento se refiere simplemente a la porción respectiva de la molécula de anticuerpo en la que la secuencia o segmento en cuestión residirá o, por el contrario, reside actualmente.

La Tabla 1 proporciona un resumen generalizado de secuencias divulgadas en el presente documento.

TABLA 1

TABLA I			
SEQ ID NO:	DESCRIPCIÓN		
SEQ ID NO: 1	VARIANTE OPTIMIZADA DE CDR3 DE LA CADENA PESADA		
SEQ ID NO: 2	VARIANTE OPTIMIZADA DE CDR3 DE LA CADENA PESADA		
SEQ ID NO: 3	VARIANTE OPTIMIZADA DE CDR3 DE LA CADENA PESADA		
SEQ ID NO: 4	VARIANTE OPTIMIZADA DE CDR3 DE LA CADENA PESADA		
SEQ ID NO: 5	VARIANTE OPTIMIZADA DE CDR3 DE LA CADENA PESADA		
SEQ ID NO: 6	VARIANTE OPTIMIZADA DE CDR3 DE LA CADENA PESADA		
SEQ ID NO: 7	VARIANTE OPTIMIZADA DE CDR3 DE LA CADENA PESADA		
SEQ ID NO: 8	VARIANTE OPTIMIZADA DE CDR3 DE LA CADENA PESADA		
SEQ ID NO: 9	VARIANTE OPTIMIZADA DE CDR3 DE LA CADENA PESADA		
SEQ ID NO: 10	VARIANTE OPTIMIZADA DE CDR3 DE LA CADENA PESADA		
SEQ ID NO: 11	VARIANTE OPTIMIZADA DE CDR3 DE LA CADENA PESADA		
SEQ ID NO: 12	VARIANTE OPTIMIZADA DE CDR3 DE LA CADENA PESADA		
SEQ ID NO: 13	VARIANTE OPTIMIZADA DE CDR3 DE LA CADENA PESADA		
SEQ ID NO: 14	VARIANTE OPTIMIZADA DE CDR3 DE LA CADENA PESADA		
SEQ ID NO: 15	VARIANTE OPTIMIZADA DE CDR3 DE LA CADENA PESADA		
SEQ ID NO: 16	VARIANTE OPTIMIZADA DE CDR3 DE LA CADENA PESADA		
SEQ ID NO: 17	VARIANTE OPTIMIZADA DE CDR3 DE LA CADENA PESADA		
SEQ ID NO: 18	VARIANTE OPTIMIZADA DE CDR3 DE LA CADENA PESADA		
SEQ ID NO: 19	VARIANTE OPTIMIZADA DE LA SECUENCIA W/ DE CDR3		
SEQ ID NO: 20	VARIANTE OPTIMIZADA DE LA SECUENCIA W/ DE CDR3		
SEQ ID NO: 21	VARIANTE OPTIMIZADA DE LA SECUENCIA W/ DE CDR3		
SEQ ID NO: 22	VARIANTE OPTIMIZADA DE LA SECUENCIA W/ DE CDR3		

(Continuación)

		,
	SEQ ID NO:	DESCRIPCIÓN
_	SEQ ID NO: 23	VARIANTE OPTIMIZADA DE LA SECUENCIA W/ DE CDR3
5	SEQ ID NO: 24	VARIANTE OPTIMIZADA DE LA SECUENCIA W/ DE CDR3
	SEQ ID NO: 25	VARIANTE OPTIMIZADA DE LA SECUENCIA W/ DE CDR3
	SEQ ID NO: 26	VARIANTE OPTIMIZADA DE CDR3 DE LA CADENA PESADA
10	SEQ ID NO: 27	VARIANTE OPTIMIZADA DE CDR3 DE LA CADENA LIGERA
	SEQ ID NO: 28	VARIANTE OPTIMIZADA DE CDR3 DE LA CADENA LIGERA
	SEQ ID NO: 29	VARIANTE OPTIMIZADA DE CDR3 DE LA CADENA LIGERA
	SEQ ID NO: 30	VARIANTE OPTIMIZADA DE CDR3 DE LA CADENA LIGERA
15	SEQ ID NO: 31	VARIANTE OPTIMIZADA DE CDR3 DE LA CADENA LIGERA
	SEQ ID NO: 32	VARIANTE OPTIMIZADA DE CDR3 DE LA CADENA LIGERA
	SEQ ID NO: 33	VARIANTE OPTIMIZADA DE CDR3 DE LA CADENA LIGERA
20	SEQ ID NO: 34	VARIANTE OPTIMIZADA DE CDR3 DE LA CADENA LIGERA
	SEQ ID NO: 35	VARIANTE OPTIMIZADA DE CDR3 DE LA CADENA LIGERA
	SEQ ID NO: 36	VARIANTE OPTIMIZADA DE CDR3 DE LA CADENA LIGERA
	SEQ ID NO: 37	VARIANTE OPTIMIZADA DE CDR3 DE LA CADENA LIGERA
25	SEQ ID NO: 38	VARIANTE OPTIMIZADA DE CDR3 DE LA CADENA LIGERA
	SEQ ID NO: 39	VARIANTE OPTIMIZADA DE CDR3 DE LA CADENA LIGERA
	SEQ ID NO: 40	CDR3 DE LA CADENA PESADA 10G5
30	SEQ ID NO: 41	CDR3 DE LA CADENA LIGERA 10G5
	SEQ ID NO: 42	10G5 VH SEQ W/LIDER& REGIÓN CONSTANTE ADICIONAL – ACIDO NUCLEICO
	SEQ ID NO: 43	SOLO SECUENCIA 10G5 VH – ACIDO NUCLEICO
	SEQ ID NO: 44	10G5 VH SEQ W/LIDER& REGIÓN CONSTANTE ADICIONAL – PROTEINA
35	SEQ ID NO: 45	SOLO SECUENCIA 10G5 VH – PROTEINA
	SEQ ID NO: 46	10G5 VL SEQ W/LIDER& REGIÓN CONSTANTE ADICIONAL – ACIDO NUCLEICO
	SEQ ID NO: 47	SOLO SECUENCIA 10G5 VL – ACIDO NUCLEICO
40	SEQ ID NO: 48	10G5 VL SEQ W/LIDER& REGIÓN CONSTANTE ADICIONAL – PROTEINA
	SEQ ID NO: 49	SOLO SECUENCIA 10G5 VL – PROTEINA
	SEQ ID NO: 50	CADENA PESADA* 10G5-1,3
	SEQ ID NO: 51	VH* 10G5- 1,3
45	SEQ ID NO: 52	ACIDO NUCLEICO* DE LA CADENA PESADA 10G5-1,3
	SEQ ID NO: 53	ACIDO NUCLEICO* 10G5-1,3
	SEQ ID NO: 54	CADENA PESADA 10G5-2
50	SEQ ID NO: 55	VH 10G5-2
	SEQ ID NO: 56	ACIDO NUCLEICO DE LA CADENA PESADA 10G5-2
	SEQ ID NO: 57	ACIDO NUCLEICO 10G5-2 VH
	SEQ ID NO: 58	CADENA PESADA 10G5-4,5
55	SEQ ID NO: 59	10G5-4,5 VH*
	SEQ ID NO: 60	ACIDO NUCLEICO* DE LA CADENA PESADA 10G5-4,5
	SEQ ID NO: 61	ACIDO NUCLEICO* 10G5-4,5
60	SEQ ID NO: 62	CADENA PESADA 10G5-6
- •	SEQ ID NO: 63	10G5-6 VH*
	SEQ ID NO: 64	ACIDO NUCLEICO* DE LA CADENA PESADA 10G5-6
	SEQ ID NO: 65	ACIDO NUCLEICO * 10G5-6
65	SEQ ID NO: 66	CADENA PESADA 10G5-7,8

(Continuación)

	SEQ ID NO:	DESCRIPCIÓN
_	SEQ ID NO: 67	10G5-7,8
5	SEQ ID NO: 68	ACIDO NUCLEICO DE LA CADENA PESADA 10G5-7,8
	SEQ ID NO: 69	ACIDO NUCLEICO 10G5-7,8
	SEQ ID NO: 70	CADENA LIGERA* 10G5-1,2,4,6,7
10	SEQ ID NO: 71	10G5-1,2,4,6,7 VL*
	SEQ ID NO: 72	ACIDO NUCLEICO* DE LA CEDENA LIGERA 10G5-1,2,4,6,7
	SEQ ID NO: 73	ACIDO NUCLEICO* 10G5-1,2,4,6,7 VL
	SEQ ID NO: 74	CADENA LIGERA 10G5-3
15	SEQ ID NO: 75	10G5-3 VL
	SEQ ID NO: 76	ACIDO NUCLEICO DE LA CADENA LIGERA 10G5-3
	SEQ ID NO: 77	ACIDO NUCLEICO 10G5-3 VL
20	SEQ ID NO: 78	CADENA LIGERA* 10G5-5,8
	SEQ ID NO: 79	10G5-5,8 VL*
	SEQ ID NO: 80	ACIDO NUCLEICO* DE LA CADENA LIGERA 10G5-5,8
0.5	SEQ ID NO: 81	ACIDO NUCLEICO* 10G5-5,8 VL
25	SEQ ID NO: 82	10G5 VH CDR1
	SEQ ID NO: 83	10G5 VH CDR2
	SEQ ID NO: 84	10G5 VL CDR1
30	SEQ ID NO: 85	10G5 VL CDR2
	SEQ ID NO: 86	PFAB3D-10G45H
	SEQ ID NO: 87	PFAB3D-10G5L
	SEQ ID NO: 92	CONSTANTE DE IGG2M4
35	SEQ ID NO: 93	ACIDO NUCLEICO DE LA CONSTANTE DE IGG2M4
	SEQ ID NO: 94	IGG2M4 DE LA CADENA PESADA 10G5-6
	SEQ ID NO: 95	ACIDO NUCLEICO IGG2M4 DE LA CADENA PESADA 10G5-6
40	SEQ ID NO: 96	IGG2M4 DE LA CADENA PESADA 10G5H6
	SEQ ID NO: 97	IGG1 FC
	SEQ ID NO: 98	IGG2 FC
	SEQ ID NO: 99	IGG4 FC
45	SEQ ID NO: 100	IGG2M4 FC
	SEQ ID NO: 101	RECEPTOR α1 DE IL-13 DE HUMANO MADURO
	SEQ ID NO: 103	Hil-13Rα1.ECR
50	SEQ ID NO: 104	SECUENCIA IL-13Rα1 DE CYNOMOLGUS MADURO
	SEQ ID NO: 105	SECUENCIA IL-13Rα1 DE MURINE MADURO
	SEQ ID NO: 106	ACIDO NUCLEICO VH CDR1
	SEQ ID NO: 107	ACIDO NUCLEICO VH CDR2
55	SEQ ID NO: 108	ACIDO NUCLEICO VH CDR3
	SEQ ID NO: 109	ACIDO NUCLEICO VL CDR1
	SEQ ID NO: 110	ACIDO NUCLEICO VL CDR2
60	SEQ ID NO: 111	ACIDO NUCLEICO VL CDR3
	SEQ ID NO: 112	ACIDO NUCLEICO VH CDR3 10G5-6
	SEQ ID NO: 113	ACIDO NUCLEICO VL CDR3 10G5-6
05	SEQ ID NO: 120	RECEPTOR α1 DE IL-13 DE HUMANO MUTANTE
65	SEQ ID NO: 121	VH CDR3

(Continuación)

SEQ ID NO:	DESCRIPCIÓN
SEQ ID NO: 122	VL CDR3
SEQ ID NO: 123	ACIDO NUCLEICO VL CDR1

^{*} Nota: Donde una SEQ ID NO: particular sea relevante para mas de un anticuerpo designado, se utilizara el siguiente formato como abreviadura de los diferente anticuerpos: Designación base de anticuerpo-un numero asignado, otro numero asignado, etc. Un ejemplo de esto es lo siguiente: 10G5-1,3 se refiere a ambos 10G5-1 v 10G5-3.

En el presente documento se divulgan moléculas de anticuerpo aislado que incluyen una región variable de la cadena pesada de SEC ID Nº: 45, equivalentes de las mismas caracterizadas por tener una o más sustituciones de aminoácidos conservativas, y homólogos de las mismas. Los anticuerpos desvelados presentan al menos una de las siguientes propiedades funcionales: (i) inhibición de la liberación de eotaxina inducida por IL-13 en células NHDF; (ii) inhibición de la liberación de eotaxina inducida por IL-4 en células NHDF; (iii) inhibición de la fosforilación de STAT6 inducida por IL-13 en células NHDF; (iv) inhibición de la fosforilación de STAT6 inducida por IL-4 en células NHDF; o (v) inhibición de la liberación estimulada por IL-13 de TARC en sangre o CMSP. En el presente documento se divulgan homólogos de las moléculas de anticuerpo desveladas caracterizados por ser al menos el 90 % homólogos a las mismas y presentar al menos una de las propiedades funcionales anteriores. Los anticuerpos específicos proporcionados competirán para unirse a hIL-13Rα1 con un anticuerpo como se produce por la línea celular de hibridoma depositada como el depósito de ATCC nº PTA-6933.

En el presente documento se divulgan moléculas de anticuerpo aislado que incluyen una región variable de la 25 cadena ligera de SEC ID Nº: 49, equivalentes de las mismas caracterizadas por tener una o más sustituciones de aminoácidos conservativas, y homólogos de las mismas. Los anticuerpos desvelados presentan al menos una de las siquientes propiedades funcionales: (i) inhibición de la liberación de eotaxina inducida por IL-13 en células NHDF; (ii) inhibición de la liberación de eotaxina inducida por IL-4 en células NHDF; (iii) inhibición de la fosforilación de STAT6 30 inducida por IL-13 en células NHDF; (iv) inhibición de la fosforilación de STAT6 inducida por IL-4 en células NHDF; y (v) inhibición de la liberación estimulada por IL-13 de TARC en sangre o CMSP. En el presente documento se desvelan homólogos de las moléculas de anticuerpo desveladas caracterizados por ser al menos el 90 % homólogos a las mismas y presentar al menos una de las propiedades funcionales anteriores. Los anticuerpos específicos proporcionados competirán para unirse a hIL-13Rα1 con un anticuerpo como se produce por la línea celular de 35 hibridoma depositada como el depósito de ATCC nº PTA-6933.

En el presente documento se divulgan moléculas de anticuerpo aislado que comprenden una región variable de la cadena pesada que comprende SEC ID Nº: 45 y región variable de la cadena ligera que comprende SEC ID Nº: 49: o equivalente de las mismas caracterizadas por tener una o más sustituciones de aminoácidos conservativas. Aspectos específicos son dichos anticuerpos que presentan al menos una de las siguientes propiedades funcionales: (i) inhibición de la liberación de eotaxina inducida por IL-13 en células NHDF; (ii) inhibición de la liberación de eotaxina inducida por IL-4 en células NHDF; (iii) inhibición de la fosforilación de STAT6 inducida por IL-13 en células NHDF; (iv) inhibición de la fosforilación de STAT6 inducida por IL-4 en células NHDF; y (v) inhibición de la liberación estimulada por IL-13 de TARC en sangre o CMSP.

En el presente documento se divulgan moléculas de anticuerpo para IL-13Rα1 aislado que incluyen la secuencia de CDR3 pesada variable, SEC ID No. 40, y modificaciones conservativas de la misma, que presentan al menos una de las siguientes propiedades funcionales: (i) inhibición de la liberación de eotaxina inducida por IL-13 en células NHDF; (ii) inhibición de la liberación de eotaxina inducida por IL-4 en células NHDF; (iii) inhibición de la fosforilación de STAT6 inducida por IL-13 en células NHDF; (iv) inhibición de la fosforilación de STAT6 inducida por IL-4 en células NHDF; y (v) inhibición de la liberación estimulada por IL-13 de TARC en sangre o CMSP. Las secuencias de CDR3 de la región variable de la cadena pesada desveladas en el presente documento se enumeran en la Tabla 2.

TADLAG

EE	TABLA 2	
55	SECUENCIA ID NO:	Secuencia V _H CDR3
	SEQ ID NO: 1	FPNWGALDQ
	SEQ ID NO: 2	VPNWGSLDT
60	SEQ ID NO: 3	FPNWGSMDA
	SEQ ID NO: 4	FPNWGSLDH
	SEQ ID NO: 5	MPNWGSFDY
0.5	SEQ ID NO: 6	MPNWGSFDT
65		<u>.</u>

5

10

15

20

40

45

(Continuación)

SECUENCIA ID NO: Secuencia V_H CDR3 SEQ ID NO: 7 **MPNWGSLDH** 5 SEQ ID NO: 8 **MPNWGSFDH** SEQ ID NO: 9 **MPNWGSLDT** SEQ ID NO: 10 **MPNWGSLDA** SEQ ID NO: 11 **MPNWGSLDN** 10 SEQ ID NO: 12 **MPNWGALDS** SEQ ID NO: 13 **MPNWGSFDN** SEQ ID NO: 14 **MPNWGSLDY** 15 SEQ ID NO: 15 **MPNWGSFDH** SEQ ID NO: 16 **MPNWGSLDS** SEQ ID NO: 17 **MPNWGSLDG** SEQ ID NO: 18 **VPNWGSLDN** 20 SEQ ID NO: 19 CARFPNWGSLDHWGQGTLVTVSSASIKG CARMPNWGSLDHWGQGTLVTVSSASTKG SEQ ID NO: 20 SEQ ID NO: 21 CARMPNWGSFDYWGQGTLVTVSSASIKG 25 SEQ ID NO: 22 **VRMPNWGSLDHW** VRMPNWGSLDHWGQGTLVTVSSASIKG SEQ ID NO: 23 SEQ ID NO: 24 ARMPNWGSLDHWGQGTLVTVSSASIKG SEQ ID NO: 25 **FPNWGSFDYWGQGTLVTVSSASIKG** 30 SEQ ID NO: 26 **VPNWGSLDA**

Aspectos específicos proporcionan moléculas de anticuerpo aislado que incluyen una región variable de la cadena pesada en las que las secuencias de CDR1, CDR2 y/o CDR3 son SEC ID Nº: 82, SEC ID Nº: 83 y/o SEC ID Nº: 40, respectivamente; o equivalentes de las mismas caracterizadas por tener una o más sustituciones de aminoácidos conservativas en una cualquiera o más de las secuencias de CDR. Aspectos adicionales proporcionan moléculas de anticuerpo aislado que incluyen una región variable de la cadena pesada en la que las secuencias CDR1, CDR2 y/o CDR3 son SEC ID Nº: 82, SEC ID Nº: 102 y/o SEC ID Nº: 40, respectivamente; o equivalentes de las mismas caracterizadas por tener una o más sustituciones de aminoácidos conservativas en una cualquiera o más de las secuencias de CDR.

En el presente documento se divulgan moléculas de anticuerpo para IL-13R α 1 aislado que tienen una secuencia de CDR3 ligera variable de SEC ID N°: 41, y modificaciones conservativas de las mismas, que presentan al menos una de las siguientes propiedades funcionales: (i) inhibición de la liberación de eotaxina inducida por IL-13 en células NHDF; (ii) inhibición de la liberación de eotaxina inducida por IL-4 en células NHDF; (iii) inhibición de la fosforilación de STAT6 inducida por IL-13 en células NHDF; (iv) inhibición de la fosforilación de STAT6 inducida por IL-4 en células NHDF; y (v) inhibición de la liberación estimulada por IL-13 de TARC en sangre o CMSP. Las secuencias de CDR3 de la región variable de la cadena ligera divulgadas en el presente documento se enumeran en la Tabla 3.

50 TABLA 3

35

40

45

55

60

SECUENCIA ID NO:	Secuencia V _L CDR3
SEQ ID NO: 27	QRYAT
SEQ ID NO: 28	QRYST
SEQ ID NO: 29	QMYST
SEQ ID NO: 30	QQVGT
SEQ ID NO: 31	QVYST
SEQ ID NO: 32	QQYST
SEQ ID NO: 33	QSYST
SEQ ID NO: 34	QQYAT
SEQ ID NO: 35	QQYSS
SEQ ID NO: 36	QTYST

(Continuación)

SECUENCIA ID NO:	Secuencia V _L CDR3
SEQ ID NO: 37	QQYGS
SEQ ID NO: 38	QQYAS
SEQ ID NO: 39	QQYEA

5

15

20

25

30

35

40

45

50

55

60

65

Realizaciones específicas proporcionan moléculas de anticuerpo aislado que incluyen una región variable de la cadena ligera en la que las secuencias de CDR1, CDR2 y/o CDR3 se exponen en SEC ID Nº: 84, SEC ID Nº: 85 y/o SEC ID Nº: 41, respectivamente; o un equivalente de las mismas caracterizadas por tener una o más sustituciones de aminoácidos conservativas en una cualquiera o más de las secuencias de CDR.

En el presente documento se divulgan moléculas de anticuerpo para IL-13Rα1 aislado que incluyen la secuencia de CDR3 de la región variable de la cadena pesada y la secuencia de CDR3 de la región variable de la cadena ligera de SEC ID N°: 40 y 41, respectivamente, o modificaciones conservativas de las mismas en una cualquiera o más de las secuencias de CDR3, que presentan al menos una de las siguientes propiedades funcionales: (i) inhibición de la liberación de eotaxina inducida por IL-13 en células NHDF; (ii) inhibición de la liberación de eotaxina inducida por IL-4 en células NHDF; (iii) inhibición de STAT6 inducida por IL-13 en células NHDF; (iv) inhibición de la fosforilación de STAT6 inducida por IL-13 de TARC en sangre o CMSP.

En el presente documento se divulgan moléculas de anticuerpo para IL-13R α 1 aislado que incluyen secuencias de CDR1, CDR2 y CDR3 de la región variable de la cadena pesada y secuencias de CDR1, CDR2 y CDR3 de la región variable de la cadena ligera de SEC ID N $^{\circ}$: 82, 83, 40, 84, 85 y 41, respectivamente; y equivalentes de las mismas caracterizadas por tener una o más sustituciones de aminoácidos conservativas en una cualquiera o más de las secuencias de CDR.

Sustituciones de aminoácidos conservativas, como un experto habitual en la materia apreciará, son sustituciones que sustituyen un residuo de aminoácido con uno que confiere características funcionales y/o químicas similares o mejores (para el fin previsto). Por ejemplo, sustituciones de aminoácidos conservativas son frecuentemente aquellas en las que el residuo de aminoácido se sustituye con un residuo de aminoácido que tiene una cadena lateral similar. Se han definido en la materia familias de residuos de aminoácidos que tienen cadenas laterales similares. Estas familias incluyen aminoácidos con cadenas laterales básicas (por ejemplo, lisina, arginina, histidina), cadenas laterales ácidas (por ejemplo, ácido aspártico, ácido glutámico), cadenas laterales polares sin cargar (por ejemplo, glicina, asparaginas, glutamina, serina, treonina, tirosina, cisteína, triptófano), cadenas laterales no polares (por ejemplo, alanina, valina, leucina, isoleucina, prolina, fenilalanina, metionina), cadenas laterales beta-ramificadas (por ejemplo, treonina, valina, isoleucina) y cadenas laterales aromáticas (por ejemplo, tirosina, fenilalanina, triptófano, histidina). Tales modificaciones no reducen o alteran significativamente la unión o características de inhibición funcional del anticuerpo que contiene la secuencia de aminoácidos, pero pueden mejorar tales propiedades. El fin de hacer una sustitución no es significativo y puede incluir, pero ni mucho menos se limita a, sustituir un residuo con uno mejor capaz de mantener o potenciar la estructura de la molécula, la carga o hidrofobia de la molécula, o el tamaño de la molécula. Por ejemplo, puede desearse simplemente sustituir un residuo menos deseado con uno de la misma polaridad o carga. Tales modificaciones pueden introducirse por técnicas convencionales conocidas en la materia, tales como mutagénesis dirigida al sitio y mutagénesis mediada por PCR. Un medio específico por el que aquellos expertos en la materia realizan sustituciones de aminoácidos conservativas es la mutagénesis de barrido con alanina como se trata en, por ejemplo, MacLennan y col., 1998 Acta Physiol. Scand. Suppl. 643:55-67, y Sasaki y col., 1998 Adv. Biophys. 35:1-24. Las moléculas de anticuerpo alteradas se prueban entonces para función retenida o mejor función usando ensayos funcionales disponibles en la materia o descritos en el presente documento. Las moléculas de anticuerpo que poseen una o más de tales sustituciones de aminoácidos conservativas que retienen la capacidad para unirse selectivamente a hIL-13Rα1 y antagonizar IL-13Rα1 que funcionan a un nivel igual o mejor que la molécula que no posee tales alteraciones de aminoácidos se denominan en el presente documento "equivalentes funcionales" de los anticuerpos desvelados y forman realizaciones específicas de la presente invención.

En otro aspecto, en el presente documento se divulgan moléculas de anticuerpo que incluyen regiones variables de la cadena pesada y/o ligera que comprenden secuencias de aminoácidos que son homólogas a las secuencias de aminoácidos correspondientes de los anticuerpos desvelados, en el que las moléculas de anticuerpo presentan una constante de disociación en equilibrio (K_D) inferior a 5 nM con receptor α 1 de interleucina 13 humana (hIL-13R α 1) y antagonizan la actividad mediada por hIL-13R α 1. Aspectos específicos son moléculas de anticuerpo que incluyen regiones variables de la cadena pesada y/o ligera que son al menos el 90 % homólogas a las regiones variables de la cadena pesada y/o ligera desveladas, respectivamente, que presentan al menos una de las siguientes propiedades funcionales: (i) inhibición de la liberación de eotaxina inducida por IL-13 en células NHDF; (ii) inhibición de la liberación de eotaxina inducida por IL-4 en células NHDF; (iii) inhibición de la fosforilación de STAT6 inducida

por IL-13 en células NHDF; (iv) inhibición de la fosforilación de STAT6 inducida por IL-4 en células NHDF; o (v)

inhibición en sangre o CMSP. En el presente documento también se divulgan moléculas de anticuerpo que incluyen regiones variables de la cadena pesada y/o ligera que son al menos el 90 % homólogas a las regiones variables de la cadena pesada y/o ligera desveladas, respectivamente, que compiten para unirse a hIL-13R α 1 con un anticuerpo como se produce por la línea celular de hibridoma depositada como el depósito de ATCC nº PTA-6933. Referencia a "al menos el 90 % homólogas" en regiones variables incluye al menos el 90, 91, 92, 93, 94, 95, 96, 97, 98, 99 y el 100 % de secuencias homólogas.

5

10

15

20

25

50

55

60

65

Anticuerpos con secuencias de aminoácidos homólogas a las secuencias de aminoácidos de las moléculas de anticuerpo específicas descritas en el presente documento se producen normalmente para mejorar una o más de las propiedades del anticuerpo sin cambiar su especificidad por IL-13Rα1. Un procedimiento de obtención de tales secuencias, que no es el único procedimiento disponible para el experto, es mutar la secuencia que codifica regiones variables de la cadena pesada y/o ligera desveladas en el presente documento por mutagénesis dirigida al sitio o al azar, expresar una molécula de anticuerpo que comprende la(s) región (regiones) variable(s) mutada(s) y probar la molécula de anticuerpo codificada para función retenida usando los ensayos funcionales descritos en el presente documento.

Como se usa en el presente documento, la homología en porcentaje entre dos secuencias de aminoácidos es equivalente a la identidad en porcentaje entre las dos secuencias. La identidad en porcentaje entre las dos secuencias es una función del número de posiciones idénticas compartidas por las secuencias (es decir, % de homología = nº de posiciones idénticas/nº total de posiciones X 100), teniendo en cuenta el número de huecos, y longitud de cada hueco, que necesita introducirse para el alineamiento óptimo de las dos secuencias. La comparación de secuencias y la determinación de identidad en porcentaje entre secuencias pueden determinarse usando procedimientos generalmente conocidos para aquellos expertos en la materia y pueden llevarse a cabo usando un algoritmo matemático. Por ejemplo, la identidad en porcentaje entre secuencias de aminoácidos y/o secuencias de nucleótidos puede determinarse usando el algoritmo de Meyers y Miller, 1988 Comput. Appl. Biosci. 4:11-17, que se ha incorporado en el programa ALIGN (versión 2.0). Además, la identidad en porcentaje entre secuencias de aminoácidos o secuencias de nucleótidos puede determinarse usando el programa GAP en el paquete de software de GCG disponible en línea de Accelrys, usando sus parámetros por defecto.

30 Los anticuerpos específicos de la presente invención inhiben la unión de IL-13 a hIL-13Rα1. Los anticuerpos específicos de la presente invención compiten para unirse a hIL-13Rα1 con cualquiera de los anticuerpos desvelados en el presente documento y, particularmente, 10G5. Tales anticuerpos de competición pueden identificarse basándose en su capacidad para competir de forma cruzada (por ejemplo, para inhibir competitivamente la unión de, en un modo estadísticamente significativo) con 10G5 o sus derivados desvelados en el presente 35 documento en ensayos de unión a IL-13Ra1 convencionales. La capacidad de un anticuerpo de prueba para inhibir la unión de 10G5 o derivado a IL-13Rα1 humano demuestra que el anticuerpo de prueba puede competir con ese anticuerpo para unirse a IL-13Ra1 humano. Un anticuerpo tal puede, según teoría no limitante, unirse al mismo epítope o uno relacionado (por ejemplo, uno estructuralmente similar o espacialmente proximal) sobre IL-13Rα1 humano como el anticuerpo con el que compite. Anticuerpos que compiten por la unión con 10G5 o sus derivados 40 desvelados pueden entonces evaluarse para tener al menos una de las siguientes propiedades funcionales: (i) inhibición de la liberación de eotaxina inducida por IL-13 en células NHDF; (ii) inhibición de la liberación de eotaxina inducida por IL-4 en células NHDF; (iii) inhibición de la fosforilación de STAT6 inducida por IL-13 en células NHDF; (iv) inhibición de la fosforilación de STAT6 inducida por IL-4 en células NHDF; y (v) inhibición de la liberación estimulada por IL-13 de TARC en sangre o CMSP. Los anticuerpos también pueden entonces evaluarse para la sensibilidad de unión en el residuo Phe233Ala de IL-13Ra1 humano descrito en el presente documento. 45

En realizaciones particulares, la presente invención proporciona moléculas de anticuerpo aislado que antagonizan la función de IL-13R α 1 (actividad mediada por IL-13R α 1) y que presentan una constante de disociación en equilibrio (K_D) con hIL-13R α 1 que es inferior a 100 pM, como se ha determinado por tecnologías de resonancia de plasmones superficiales fácilmente disponibles y entendidas por aquellos expertos en la materia, que incluyen, pero no se limitan a, BIACORE (Upsala, Suecia) y KINEXA® (Sapidyne Instruments, Boise, ID) o equivalente adecuado de las mismas. En realizaciones específicas, las moléculas de anticuerpo aislado presentan la K_D anterior, además de una de las siguientes propiedades funcionales: (i) inhibición de la liberación de eotaxina inducida por IL-13 en células NHDF; (ii) inhibición de la fosforilación de STAT6 inducida por IL-13 en células NHDF; (iv) inhibición de la fosforilación de STAT6 inducida por IL-4 en células NHDF; y (v) inhibición de la liberación estimulada por IL-13 de TARC en sangre o CMSP.

En aspectos específicos, la presente divulgación proporciona moléculas de anticuerpo aislado que presentan la K_D anterior, antagonizan la actividad mediada por IL-13R α 1 y comprenden una región variable de la cadena pesada con un dominio de la región determinante de la complementariedad 3 (CDR3) como se expone en SEC ID N°: 5 o un equivalente de las mismas caracterizado por tener sustituciones de aminoácidos conservativas en las posiciones de aminoácidos 1, 7 y/o 9 en ellas. En aspectos específicos, la presente divulgación proporciona moléculas de anticuerpo aislado que presentan la K_D anterior y región variable de la cadena pesada y adicionalmente incluyen una región variable de la cadena ligera con un dominio de CDR3 como se expone en SEC ID N°: 38 o un equivalente de las mismas caracterizadas por tener sustituciones de aminoácidos conservativas en las posiciones de aminoácidos

2, 4 y/o 5 en ellas. En aspectos específicos, tales sustituciones de aminoácidos conservativas engloban las siguientes:

```
en SEC ID N°: 5, posición 1, una sustitución seleccionada del grupo que consiste en: F, M, Q, L y V; en SEC ID N°: 5, posición 7, una sustitución seleccionada del grupo que consiste en: F, L, A y M; en SEC ID N°: 5, posición 9, una sustitución seleccionada del grupo que consiste en: Y, Q, K, R, W y H; en SEC ID N°: 38, posición 2, una sustitución seleccionada del grupo que consiste en: Q, R, M, S y T; en SEC ID N°: 38, posición 4, una sustitución seleccionada del grupo que consiste en: E, A, G y S; y/o en SEC ID N°: 38, posición 5, una sustitución seleccionada del grupo que consiste en: T, A y S.
```

10

15

5

Por consiguiente, en el presente documento se divulga una molécula de anticuerpo con una región variable de la cadena pesada de CDR3 que tiene la secuencia Xaa₁-Pro-Asn-Trp-Gly-Xaa₂-Xaa₃-Asp-Xaa₄ (SEC ID N°: 121), en la que Xaa₁ es Phe, Met, Gln, Leu o Val; Xaa₂ es Ser o Ala; Xaa₃ es Phe, Leu, Ala o Met; y Xaa₄ es Tyr, Gln, Lys, Arg, Trp, His, Ala, Thr, Ser, Asn o Gly. Otro aspecto engloba una molécula de anticuerpo con una región variable de la cadena ligera de CDR3 que tiene la secuencia Gln-Xaa₁-Xaa₂-Xaa₃-Xaa₄ (SEC ID N°: 122), en la que Xaa₁ es Gln, Arg, Met, Ser, Thr o Val; Xaa₂ es Tyr o Val; Xaa₃ es Glu, Ala, Gly o Ser; y Xaa₄ es Thr, Ala o Ser.

Un aspecto de la presente divulgación es un anticuerpo aislado o fragmento de unión al antígeno que incluye:

20

una región variable de la cadena pesada con un dominio de CDR3 que tiene una secuencia seleccionada del grupo que consiste en: SEC ID N°: 1, SEC ID N°: 2, SEC ID N°: 3, SEC ID N°: 4, SEC ID N°: 5, SEC ID N°: 6, SEC ID N°: 7, SEC ID N°: 8, SEC ID N°: 9, SEC ID N°: 10, SEC ID N°: 11, SEC ID N°: 12, SEC ID N°: 13, SEC ID N°: 14, SEC ID N°: 15, SEC ID N°: 16, SEC ID N°: 17, SEC ID N°: 18 y SEC ID N°: 26; o una región variable de la cadena pesada con una secuencia que incluye un dominio de CDR3, dichas secuencias seleccionadas del grupo que consiste en: SEC ID N°: 19, SEC ID N°: 20, SEC ID N°: 21, SEC ID N°: 22, SEC ID N°: 23, SEC ID N°: 24 y SEC ID N°: 25; y/o

25

una región variable de la cadena ligera con un dominio de CDR3 que tiene una secuencia seleccionada del grupo que consiste en: SEC ID №: 27, SEC ID №: 28, SEC ID №: 29, SEC ID №: 30, SEC ID №: 31, SEC ID №: 32, SEC ID №: 33, SEC ID №: 34, SEC ID №: 35, SEC ID №: 36, SEC ID №: 37, SEC ID №: 38 y SEC ID №: 39:

30

en el que aspectos específicos del mismo presentan una K_D con hIL-13R α 1 que es inferior a 200 pM.

35

Aspectos específicos tienen una cadena pesada que incluye una secuencia seleccionada del grupo que consiste en: SEC ID N°: 50, SEC ID N°: 54, SEC ID N°: 58, SEC ID N°: 62 y SEC ID N°: 66. Aspectos específicos tienen un dominio variable de la cadena pesada que incluye una secuencia seleccionada del grupo que consiste en: SEC ID N°: 51, SEC ID N°: 55, SEC ID N°: 59, SEC ID N°: 63 y SEC ID N°: 67. Aspectos específicos tienen una cadena ligera que tiene una secuencia seleccionada del grupo que consiste en: SEC ID N°: 70, SEC ID N°: 74 y SEC ID N°: 78. Aspectos específicos tienen un dominio variable de la cadena ligera que tiene una secuencia seleccionada del grupo que consiste en: SEC ID N°: 71, SEC ID N°: 75 y SEC ID N°: 79.

40

Otro aspecto de la presente divulgación es un anticuerpo aislado o fragmento de unión al antígeno según la presente divulgación que posee lo siguiente:

__

una región variable de la cadena ligera que incluye un dominio de CDR2 con la secuencia expuesta en SEC ID Nº: 85;

45 N°: 8

una región variable de la cadena pesada que incluye un dominio de CDR2 con la secuencia expuesta en SEC $ID\ N^{\circ}$: 83:

una región variable de la cadena ligera que incluye un dominio de CDR1 con la secuencia expuesta en SEC ID

cadena ligera que tiene un conjunto de CDR.

50

Nº: 84; y/o una región variable de la cadena pesada que incluye un dominio de CDR1 con la secuencia expuesta en SEC ID Nº: 82. Por consiguiente, en el presente documento se divulgan moléculas de anticuerpo específicas para receptor de IL-13 humana que incluyen una región de unión al antígeno que tiene regiones variables de la cadena pesada y ligera, y un conjunto de CDR (CDR1, CDR2 y CDR3) como se describen en el presente documento. También se desvelan composiciones que incluyen uno y/o ambos de los siguientes componentes (1) una región variable de la cadena pesada que tiene un conjunto de CDR, y (2) una región variable de la

55

65

En un aspecto, la presente divulgación proporciona moléculas de anticuerpo aislado para IL-13Rα1 humano que tienen en ellas al menos un dominio variable de la cadena ligera y al menos un dominio variable de la cadena

60 pesada (V_L y V_H, respectivamente).

En aspectos específicos, una molécula de anticuerpo que tiene una región variable de la cadena pesada según la presente descripción se expresa con una región variable de la cadena ligera con secuencia de CDR3 como se expone en SEC ID N°: 41. En otros aspectos, una molécula de anticuerpo que tiene una región variable de la cadena ligera según la presente descripción se expresa con una secuencia variable de la cadena pesada con secuencia de CDR3 como se expone en SEC ID N°: 40. En aspectos específicos, cadenas ligeras y pesadas de las fórmulas

descritas anteriormente se usan en combinación. Aspectos específicos de la presente divulgación proporcionan moléculas de anticuerpo que incluyen adicionalmente lo siguiente:

una región variable de la cadena ligera con un dominio de CDR2 como se expone en SEC ID Nº: 85; una región variable de la cadena pesada con un dominio de CDR2 como se expone en SEC ID Nº: 83; una región variable de la cadena ligera con un dominio de CDR1 como se expone en SEC ID Nº: 84; y/o una región variable de la cadena pesada con un dominio de CDR1 como se expone en SEC ID Nº: 82, o equivalentes adecuados o derivados de la misma, que incluyen dichos dominios que contienen sustituciones de aminoácidos conservativas como se ha descrito anteriormente.

10

15

20

25

5

Cualquier molécula de anticuerpo que incluye las CDR pesadas y/o ligeras desveladas, regiones variables o cadenas ligeras o pesadas, o cualquier combinación de las mismas, está englobada dentro de la presente divulgación que incluye, pero no se limita a, las siguientes moléculas de anticuerpo: (1) una molécula de anticuerpo aislado que tiene una región variable de la cadena pesada que tiene en ella la secuencia de CDR3 como se expone en SEC ID Nº: 5, y una región variable de la cadena ligera que tiene en ella la secuencia de CDR3 como se expone en SEC ID Nº: 38; (2) una molécula de anticuerpo aislado que tiene una región variable de la cadena pesada que tiene en ella la secuencia de CDR3 como se expone en SEC ID N°: 5 y una región variable de la cadena ligera que tiene en ella la secuencia de CDR3 como se expone en SEC ID N°: 39; (3) una molécula de anticuerpo aislado que tiene una región variable de la cadena pesada que tiene en ella la secuencia de CDR3 como se expone en SEC ID Nº: 5 y una región variable de la cadena ligera que tiene en ella la secuencia de CDR3 como se expone en SEC ID Nº: 41; (4) una molécula de anticuerpo aislado que tiene una región variable de la cadena pesada que tiene en ella la secuencia de CDR3 como se expone en SEC ID Nº: 22 y una región variable de la cadena ligera que tiene en ella la secuencia de CDR3 como se expone en SEC ID Nº: 38; (5) una molécula de anticuerpo aislado que tiene una región variable de la cadena pesada que tiene en ella la secuencia de CDR3 como se expone en SEC ID Nº: 23 y una región variable de la cadena ligera que tiene en ella la secuencia de CDR3 como se expone en SEC ID Nº: 38; y (6) una molécula de anticuerpo aislado que tiene una región variable de la cadena pesada que tiene en ella la secuencia de CDR3 como se expone en SEC ID Nº: 7 y una región variable de la cadena ligera que tiene en ella la secuencia de CDR3 como se expone en SEC ID Nº: 38.

30

En algunos aspectos, un anticuerpo aislado de la presente divulgación tiene una región variable de la cadena ligera que incluye un dominio CDR2 con la secuencia expuesta en SEC ID N°: 85; una región variable de la cadena pesada que incluye un dominio CDR2 con la secuencia expuesta en SEC ID N°: 83; una región variable de la cadena ligera que incluye un dominio CDR1 con la secuencia expuesta en SEC ID N°: 84; y una región variable de la cadena pesada que incluye un dominio CDR1 con la secuencia expuesta en SEC ID N°: 82.

35

En otros aspectos, una molécula de anticuerpo aislado de la invención tiene una región variable de la cadena pesada con secuencias de CDR1, CDR2 y CDR3 como se exponen en SEC ID Nº: 82, SEC ID Nº: 83 y SEC ID Nº: 7, respectivamente, y una región variable de la cadena ligera que incluye secuencias de CDR1, CDR2 y CDR3 como se exponen en SEC ID Nº: 84, SEC ID Nº: 85 y SEC ID Nº: 38, respectivamente.

40

Adicionalmente se engloban en el presente documento moléculas de anticuerpo que incluyen (i) una región variable de la cadena pesada como se expone en SEC ID N° : 63 y/o una región variable de la cadena ligera como se expone en SEC ID N° : 71; (ii) una cadena pesada como se expone en SEC ID N° : 62 y una región variable de la cadena ligera como se expone en SEC ID N° : 71, y (iii) una cadena pesada como se expone en SEC ID N° : 94 y una región variable de la cadena ligera como se expone en SEC ID N° : 71.

45

50

55

60

65

La manipulación de anticuerpos monoclonales y otros para producir otros anticuerpos o moléculas quiméricas que retienen la especificidad del anticuerpo original está perfectamente dentro del ámbito de un experto en la materia. Esto puede llevarse a cabo, por ejemplo, usando técnicas de tecnología de ADN recombinante. Tales técnicas pueden implicar la introducción de ADN que codifica la región variable de inmunoglobulina, o una o más de las CDR, de un anticuerpo a la región variable, región constante o región constante más regiones estructurales, según convenga, de una inmunoglobulina diferente. Tales moléculas forman importantes aspectos de la presente invención. Inmunoglobulinas específicas en las que pueden insertarse las secuencias desveladas o, por el contrario, formar la parte esencial de, incluyen, pero no se limitan a, las siguientes moléculas de anticuerpo que forman realizaciones particulares de la presente invención: un Fab (fragmento monovalente con dominios ligero variable (V_L), pesado variable (V_H), ligero constante (C_L) y pesado constante 1 (C_{H1})), un F(ab')₂ (fragmento bivalente que comprende dos fragmentos Fab ligados por un puente de disulfuro o alternativa en la región bisagra), un Fd (dominios V_H y C_{H1}), un Fv (dominios V_L y V_H), un scFv (un Fv monocatenario en el que V_L y V_H se unen por un ligador, por ejemplo, un ligador de péptido, véase, por ejemplo, Bird y col., 1988 Science 242:423-426, Huston y col., 1988 Proc. Natl. Acad. Sci. USA 85:5879-5883), una molécula de anticuerpo biespecífico (una molécula de anticuerpo que comprende un anticuerpo específico para IL-13Ra1 o fragmento de unión al antígeno como se desvela en el presente documento ligado a un segundo resto funcional que tiene una especificidad de unión diferente a la del anticuerpo, que incluye, sin limitación, otro péptido o proteína tal como un anticuerpo, o ligando de receptor), un dímero de Fv monocatenario biespecífico (véase, por ejemplo, el documento WO1993/011161), una CDR3 aislada, un minicuerpo (fusión de cadena sencilla-CH3 que se autoensambla en un dímero bivalente de aproximadamente 80 kDa), un 'scAb' (un fragmento de anticuerpo que contiene V_H y V_L, además de o bien C_L o bien

C_{H1}), un fragmento de dAb (dominio V_H, véase, por ejemplo, Ward y col., 1989 Nature 341:544-546, y McCafferty y col., 1990 Nature 348:552-554; o dominio V_L; Holt y col., 2003 Trends in Biotechnology 21:484-489), un diacuerpo (véase, por ejemplo, Holliger y col., 1993 Proc. Natl. Acad. Sci. USA 90:6444-6448 y documento WO 94/13804), un triacuerpo, un tetracuerpo, un minicuerpo (un scFv unido a un C_{H3}; véase, por ejemplo, Hu y col., 1996 Cancer Res. 56:3055-3061), IgG, IgG1, IgG2, IgG3, IgG4, IgM, IgD, IgA, IgE o cualquier derivado de las mismas, y anticuerpos artificiales basados en andamiajes de proteína, que incluyen, pero no se limitan a, anticuerpos de polipéptido de fibronectina tipo III (véase, por ejemplo, la patente de ÉE.UU. nº 6.703.199 y el documento WO 02/32925) o citocromo B; véanse, por ejemplo, Koide y col., 1998 J. Mol. Biol. 284:1141-1151, y Nygren y col., 1997 Current Opinion in Structural Biology 7:463-469. Ciertas moléculas de anticuerpo que incluyen, pero no se limitan a, Fv, scFv y moléculas de diacuerpo pueden estabilizarse incorporando puentes de disulfuro para revestir los dominios V_H y V_L, véase, por ejemplo, Reiter y col., 1996 Nature Biotech. 14:1239-1245. Los anticuerpos biespecíficos pueden producirse usando tecnologías convencionales (véase, por ejemplo, Holliger & Winter, 1993 Current Opinion Biotechnol. 4:446-449, procedimientos específicos de los cuales incluyen producción químicamente, o a partir de hibridomas híbridos) y otras tecnologías que incluyen, pero no se limitan a, la tecnología BITE™ (moléculas que poseen regiones de unión al antígeno de diferente especificidad con un ligador de péptido) e ingeniería de botones en ojales (véase, por ejemplo, Ridgeway y col., 1996 Protein Eng. 9:616-621). Los diacuerpos biespecíficos pueden producirse en E. coli, y estas moléculas, además de otras moléculas de anticuerpo, como apreciará un experto en la materia, pueden seleccionarse usando expresión en fago en las bibliotecas apropiadas (véase, por ejemplo, el documento WO 94/13804).

20

25

30

5

10

15

Dominios variables, en los que las CDR de interés se insertan, pueden obtenerse de cualquier línea germinal o dominio variable humano reorganizado. Los dominios variables también pueden producirse sintéticamente. Las regiones CDR pueden introducirse en los dominios variables respectivos usando tecnología de ADN recombinante. Un medio por el que esto puede lograrse se describe en Marks y col., 1992 Bio/Technology 10:779-783. La expresión y selección puede lograrse usando tecnologías adecuadas que incluyen, pero no se limitan a, expresión en fago (véanse, por ejemplo, el documento WO 92/01047, Kay y col., 1996 Phage Display of Peptides and Proteins: A Laboratory Manual, San Diego: Academic Press), expresión en levadura, expresión bacteriana, expresión en T7 y expresión en ribosomas (véase, por ejemplo, Lowe & Jermutus, 2004 Curr. Pharm. Biotech. 517-527). Un dominio pesado variable puede emparejarse con un dominio ligero variable para proporcionar un sitio de unión al antígeno. Además, pueden usarse regiones independientes (por ejemplo, un dominio pesado variable solo) para unirse al antígeno. El experto conoce muy bien, además, que dos dominios de un fragmento Fv, V_L y V_H, aunque quizás estén codificados por genes separados, pueden unirse, usando procedimientos recombinantes, por un ligador sintético que les permite formar una cadena monocatenaria de proteína en la que las regiones V_L y V_H se emparejan para formar moléculas monovalentes (scFv).

35

40

45

50

55

60

65

Aspectos específicos proporcionan la(s) CDR(s) en regiones estructurales de la línea germinal. Realizaciones específicas en el presente documento proporcionan CDR(s) de la cadena pesada de interés en VH5-51 (JH4) en lugar de la(s) CDR(s) relevante(s); como, por ejemplo, en SEC ID N°: 50, 54, 58, 62 y 66. Realizaciones específicas en el presente documento proporcionan la(s) CDR(s) de la cadena ligera en Vκ3 A27 (JK1) en lugar de la(s) CDR(s) relevante(s); como, por ejemplo, en SEC ID N°: 70, 74 y 78.

La presente invención engloba moléculas de anticuerpo que son humanas, humanizadas, desinmunizadas, quiméricas y primatizadas. La invención también engloba anticuerpos producidos mediante el procedimiento de inactivación; véase, por ejemplo, Mark y col., 1994 Handbook of Experimental Pharmacology, vol. 113: The pharmacology of monoclonal Antibodies, Springer-Verlag, pág. 105-134 y la patente de EE.UU. nº 6.797.492. "Humano", en referencia a las moléculas de anticuerpo desveladas específicamente, se refiere a moléculas de anticuerpo que tienen regiones variables y/o constantes derivadas de secuencias de inmunoglobulina de la línea germinal humana, en las que dichas secuencias pueden, pero no necesitan, modificarse/alterarse para tener ciertas sustituciones de aminoácidos o residuos que no están codificados por secuencia de inmunoglobulina de la línea germinal humana. Tales mutaciones pueden introducirse mediante procedimientos que incluyen, pero no se limitan a, mutagénesis al azar o específica de sitio in vitro, o por mutación somática in vivo. Ejemplos específicos de técnicas de mutación tratadas en la bibliografía son las desveladas en Gram y col., 1992 Proc. Natl. Acad. Sci. USA 89:3576-3580; Barbas y col., 1994 Proc. Natl. Acad. Sci. USA 91:3909-3813, y Schier y col., 1996 J. Mol. Biol. 263:551-567. Éstos son solo ejemplos específicos y no representan las únicas técnicas disponibles. Hay una plétora de técnicas de mutación en la bibliografía científica que están disponibles para, y ampliamente apreciadas por, el experto. "Humanizado", en referencia a las moléculas de anticuerpo desveladas, se refiere específicamente a moléculas de anticuerpo en las que las secuencias de CDR derivadas de otras especies de mamífero, tales como un ratón, se injertan sobre secuencias de la región estructural humana. "Primatizado" en referencia a las moléculas de anticuerpo desveladas se refiere a moléculas de anticuerpo en las que las secuencias de CDR de un no primate se insertan en secuencias de la región estructural de primate, véanse, por ejemplo, los documentos WO 93/02108 y WO 99/55369.

Anticuerpos específicos de la presente invención son anticuerpos monoclonales y, en realizaciones particulares, están en uno de los siguientes formatos de anticuerpo: IgD, IgA, IgE, IgM, IgG1, IgG2, IgG3, IgG4 o cualquier derivado de cualquiera de los anteriores. El lenguaje "derivados de los mismos" o "derivados" incluye, entre otros, (i) anticuerpos y moléculas de anticuerpo con modificaciones en la región estructural o regiones CDR de una o ambas

regiones variables (es decir, V_H y/o V_L), (ii) anticuerpos y moléculas de anticuerpo con manipulaciones en las regiones constantes de las cadenas pesadas y/o ligeras, y (iii) anticuerpos y moléculas de anticuerpo que contienen restos químicos adicionales que no son normalmente una parte de la molécula de inmunoglobulina (por ejemplo, pegilación).

5

Las manipulaciones de las regiones variables pueden estar dentro de una o más de las regiones CDR de V_H y/o V_L . La mutagénesis dirigida al sitio o mutagénesis al azar puede realizarse para introducir la(s) mutación (mutaciones) y el efecto sobre la propiedad funcional del anticuerpo de interés puede evaluarse usando puede evaluarse por ensayos *in vitro* o *in vivo* disponibles que incluyen aquellos descritos en el presente documento.

10

15

20

- Los anticuerpos de la presente invención también incluyen aquellos en los que se han hecho modificaciones a los residuos de la región estructural dentro de V_H y/o V_L para mejorar una o más propiedades del anticuerpo de interés. Normalmente, tales modificaciones de la región estructural se hacen para reducir la inmunogenicidad del anticuerpo. Por ejemplo, un enfoque es "retromutar" uno o más residuos de la región estructural a la secuencia de la línea germinal correspondiente. Más específicamente, un anticuerpo que ha experimentado mutación somática puede contener residuos de la región estructural que se diferencian de la secuencia de la línea germinal de la que se derivó el anticuerpo. Tales residuos pueden identificarse comparando las secuencias de la región estructural del anticuerpo con las secuencias de la línea germinal de las que se deriva el anticuerpo. Tales anticuerpos "retromutados" también pretenden estar englobados por la invención. Otro tipo de modificación de la región estructural implica mutar uno o más residuos dentro de la región estructural, o incluso dentro de una o más regiones CDR, para eliminar epítopes de linfocitos T para así reducir la posible inmunogenicidad del anticuerpo. Este enfoque también se denomina "desinmunización" y se describe en más detalle en la publicación de patente de EE.UU. nº 20030153043 por Carr y
- Además de o alternativo a modificaciones hechas dentro de la región estructural o regiones CDR, los anticuerpos de la invención pueden manipularse para incluir modificaciones dentro de la región Fc, si está presente, normalmente para alterar una o más propiedades funcionales del anticuerpo, tal como semivida en suero, fijación del complemento, unión al receptor de Fc y/o citotoxicidad celular dependiente del antígeno.
- 30 En una realización, la región bisagra de C_{H1} se modifica de forma que se altere el número de residuos de cisteína en la región bisagra, por ejemplo, aumente o disminuya, para, por ejemplo, facilitar el ensamblaje de las cadenas ligeras y pesadas o para aumentar o disminuir la estabilidad del anticuerpo. Este enfoque se describe adicionalmente en la patente de EE.UU. nº 5.677.425 por Bodmer y col.
- En otra realización, la región bisagra Fc de un anticuerpo se muta para reducir la semivida biológica del anticuerpo. Este enfoque se describe en más detalle en la patente de EE.UU. nº 6.165.745 por Ward y col.
- En otra realización, el anticuerpo se modifica para aumentar su semivida biológica. Son posibles diversos enfoques. Por ejemplo, pueden introducirse una o más de una de las siguientes mutaciones: Thr252Leu, Thr254Ser, Thr256Phe, como se describen en la patente de EE.UU. nº 6.277.375 por Ward. Alternativamente, para aumentar la semivida biológica, el anticuerpo puede alterarse dentro de la región C_{H1} o C_L para contener un epítope de unión al receptor de rescate tomado de dos bucles de un dominio C_{H2} de una región Fc de una IgG, como se describe en las patentes de EE.UU. nº 5.869.046 y 6.121.022 por Presta y col.
- 45 En todavía otras realizaciones, la región Fc se altera reemplazando al menos un residuo de aminoácido con un residuo de aminoácido diferente para alterar la(s) función (funciones) efectora(s) del anticuerpo. Por ejemplo, véanse las patentes de EE.UU. nº 5.624.821 y 5.648.260, ambas por Winter y col.
- En otro ejemplo, uno o más aminoácidos seleccionados de los residuos de aminoácidos 329, 331 y 322 pueden sustituirse con un residuo de aminoácido diferente de forma que el anticuerpo tenga unión a C1q alterada y/o citotoxicidad dependiente del complemento (CDC) reducida o abolida. Este enfoque se describe en más detalle en la patente de EE.UU. nº 6.194.551 por Idusogie y col.
- En otro ejemplo, uno o más residuos de aminoácidos dentro de las posiciones de aminoácidos 231 y 239 se modifican para así alterar la capacidad del anticuerpo para fijar el complemento. Este enfoque se describe adicionalmente en el documento WO 94/29351 por Bodmer y col.
 - En otro ejemplo más, la región Fc se modifica para aumentar la capacidad del anticuerpo para mediar en la citotoxicidad celular dependiente de anticuerpo (ADCC) y/o para aumentar la afinidad del anticuerpo por un receptor de Fcγ modificando uno o más aminoácidos; véase, por ejemplo, el documento WO 00/42072 por Presta. Además, los sitios de unión sobre IgG1 humana para FcγR1, FcγRII, FcγRIII y FcRn se han mapeado y se han descrito variantes con unión mejorada (véase Shields y col., J. Biol. Chem. 276:6591-6604, 2001).
- Generalmente se ha descrito el concepto de generación de formas de IgG "híbridas" o "combinatorias" que comprenden diversos isotipos de anticuerpo para centrar el objetivo sobre la funcionalidad efectora deseada; véase, por ejemplo, Tao y col., 1991 J. Exp. Med. 173:1025-1028. Una realización específica de la presente invención

engloba moléculas de anticuerpo que poseen manipulaciones específicas en la región Fc que se ha encontrado que producen unión reducida a receptores FcγR o C1q sobre parte del anticuerpo. Por tanto, la presente invención engloba anticuerpos según la presente descripción que no provocan (o provocan a un menor grado) citotoxicidad celular dependiente de anticuerpo (ADCC), citotoxicidad mediada por el complemento (CMC), o forman complejos inmunitarios, mientras que retienen propiedades farmacocinéticas normales (PK). Realizaciones específicas de la presente invención proporcionan una molécula de anticuerpo como se define según la presente invención que incluye, como parte de su estructura de inmunoglobulina, la secuencia expuesta en SEC ID N°: 92. La Figura 16 ilustra una comparación de IgG2m4 (como se describe en la publicación de patente de EE.UU. n° US20070148167(A1)), que contiene SEC ID N°: 92, con la secuencia de aminoácidos de IgG1, IgG2 e IgG4. Un ejemplo específico de la realización anteriormente descrita es una molécula de anticuerpo que incluye SEC ID N°: 94 que posee secuencia basada en un anticuerpo 10G5-6. Otro ejemplo específico de la realización anteriormente descrita es una molécula de anticuerpo au un anticuerpo 10G5-16.

En todavía otra realización, la glicosilación de un anticuerpo se modifica. Por ejemplo, puede prepararse un anticuerpo aglicosilado (es decir, el anticuerpo carece de glicosilación). La glicosilación puede alterarse para, por ejemplo, aumentar la afinidad del anticuerpo por el antígeno. Tales modificaciones de hidrato de carbono pueden llevarse a cabo por, por ejemplo, alterando uno o más sitios de glicosilación dentro de la secuencia de anticuerpos. Por ejemplo, pueden hacerse una o más sustituciones de aminoácidos que producen eliminación de uno o más sitios de glicosilación de la región estructural de la región variable para así eliminar la glicosilación en ese sitio. Un enfoque tal se describe en más detalle en las patentes de EE.UU. nº 5.714.350 y 6.350.861 por Co y col.

10

25

30

35

40

45

50

55

60

65

Adicionalmente o alternativamente, puede prepararse un anticuerpo que tiene un tipo alterado de glicosilación, tal como un anticuerpo hipofucosilado que tiene cantidades reducidas de residuos de fucosilo o un anticuerpo que tiene elevadas estructuras de GlcNac bisecantes. Se ha demostrado que tales patrones de glicosilación alterados aumentan la capacidad de ADCC de anticuerpos. Tales modificaciones de hidrato de carbono pueden llevarse a cabo, por ejemplo, expresando el anticuerpo en una célula huésped con maquinaria de glicosilación alterada. Células con maquinaria de glicosilación alterada se han descrito en la materia y pueden usarse como células huésped en las que expresar anticuerpos recombinantes de la invención para así producir un anticuerpo con glicosilación alterada.

Las moléculas de anticuerpo específicas pueden llevar una marca detectable, o pueden conjugarse con una toxina (por ejemplo, una citotoxina), un isótopo radiactivo, un radionúclido, un liposoma, un resto que elige diana, un biosensor, una cola catiónica o una enzima (por ejemplo, mediante un enlace o ligador de peptidilo). Tales composiciones de moléculas de anticuerpo forman un aspecto adicional de la presente invención.

En otro aspecto, la presente invención proporciona ácido nucleico aislado que codifica el anticuerpo de la invención. El ácido nucleico puede estar presente en células completas, en un lisado celular, o en una forma parcialmente purificada o sustancialmente pura. Un ácido nucleico se "aísla" o "convierte en sustancialmente puro" cuando se purifica de otros componentes celulares u otros contaminantes, por ejemplo, otros ácidos nucleicos o proteínas celulares, por ejemplo, usando técnicas convencionales, que incluyen sin limitación, tratamiento alcalino/SDS, bandeo con CsCl, cromatografía en columna, electroforesis en gel de agarosa y otros procedimientos adecuados conocidos en la técnica. El ácido nucleico puede incluir ADN (incluidos ADNc) y/o ARN. Los ácidos nucleicos de la presente invención pueden obtenerse usando técnicas de biología molecular convencionales. Para anticuerpos expresados por hibridomas (por ejemplo, hibridomas preparados a partir de ratones transgénicos que llevan genes de inmunoglobulina humana), los ADNc que codifican las cadenas ligeras y pesadas del anticuerpo hechas por el hibridoma pueden obtenerse por técnicas convencionales de amplificación por PCR o clonación de ADNc. Para anticuerpos obtenidos de una biblioteca de genes de inmunoglobulina (por ejemplo, usando técnicas de expresión en fago), el ácido nucleico que codifica el anticuerpo puede recuperarse de la biblioteca.

En el presente documento se divulga ácido nucleico aislado que codifica la cadenas pesadas y/o ligeras variables desveladas y componentes seleccionados del mismo, particularmente las regiones CDR3 respectivas desveladas. En aspectos específicos del presente documento, la(s) CDR(s) se proporciona(n) dentro de regiones estructurales del anticuerpo. Aspectos específicos proporcionan ácido nucleico aislado que codifica la(s) CDR(s) insertada(s) en las regiones estructurales de la línea germinal. Aspectos específicos en el presente documento proporcionan ácido nucleico aislado que codifica la(s) CDR(s) de la cadena pesada insertada(s) en una línea germinal VH5-51 (JH4) en lugar del ácido nucleico que codifica la(s) CDR(s) correspondiente(s); como, por ejemplo, en SEC ID Nº: 52, 56, 60, 64 y 68. Aspectos específicos en el presente documento proporcionan ácido nucleico aislado que codifica la(s) CDR(s) de la cadena ligera insertada(s) en la línea germinal Vx3 A27 (JK1) en lugar del ácido nucleico que codifica la(s) CDR(s) correspondiente(s); como, por ejemplo, en SEC ID №: 72, 76 y 80. El ácido nucleico aislado que codifica las regiones variables pueden proporcionarse dentro de cualquier formato de molécula de anticuerpo deseado que incluye, pero no se limita a, el siguiente: F(ab')2, un Fab, un Fv, un scFv, moléculas de anticuerpo biespecífico (moléculas de anticuerpo que comprende un anticuerpo específico de IL-13Rα1 o fragmento de unión al antígeno como se desvela en el presente documento ligado a un segundo resto funcional que tiene una especificidad de unión diferente que el anticuerpo, que incluye, sin limitación, otro péptido o proteína tal como un anticuerpo, o ligando de receptor), un dímero de Fv monocatenario específico, un minicuerpo, un fragmento dAb, diacuerpo, triacuerpo o tetracuerpo, IgG, IgG1, IgG2, IgG3, IgG4, IgM, IgD, IgA, IgE o cualquier derivado de los mismos.

5

10

15

20

25

40

45

50

55

60

65

ADN.

Aspectos específicos proporcionan un ácido nucleico aislado que codifica una molécula de anticuerpo que incluye una cadena pesada que tiene una secuencia seleccionada del grupo que consiste en SEC ID Nº: 52, SEC ID Nº: 56, SEC ID Nº: 60, SEC ID Nº: 64 y SEC ID Nº: 68. Aspectos específicos proporcionan un ácido nucleico aislado que codifica una molécula de anticuerpo que incluye un dominio variable de la cadena pesada que tiene una secuencia seleccionada del grupo que consiste en SEC ID Nº: 43, SEC ID Nº: 53, SEC ID Nº: 57, SEC ID Nº: 61, SEC ID Nº: 65 y SEC ID Nº: 69. En el presente documento se divulga un ácido nucleico aislado que codifica una molécula de anticuerpo que incluye (i) secuencia de nucleótidos de CDR1 de la cadena pesada SEC ID Nº: 106, (ii) secuencia de nucleótidos de CDR2 de la cadena pesada SEC ID Nº: 107, y/o (iii) secuencia de nucleótidos de CDR3 de la cadena pesada SEC ID Nº: 108 o SEC ID Nº: 112. Aspectos específicos proporcionan un ácido nucleico aislado que codifica una molécula de anticuerpo que incluye una cadena ligera que tiene una secuencia seleccionada del grupo que consiste en SEC ID Nº: 72, SEC ID Nº: 76 y SEC ID Nº: 80. Aspectos específicos proporcionan un ácido nucleico aislado que codifica una molécula de anticuerpo que incluye un dominio variable de la cadena ligera que tiene una secuencia seleccionada del grupo que consiste en SEC ID Nº: 47, SEC ID Nº: 73, SEC ID Nº: 77 y SEC ID Nº: 81. En el presente documento se divulga un ácido nucleico aislado que codifica una molécula de anticuerpo que incluye (i) secuencia de nucleótidos de CDR1 de la cadena ligera SEC ID Nº: 109 o SEC ID Nº: 123, (ii) secuencia de nucleótidos de CDR2 de la cadena ligera SEC ID Nº: 110, y/o (iii) secuencia de nucleótidos de CDR3 de la cadena ligera SEC ID Nº: 111 o SEC ID Nº: 113. En el presente documento se desvela un ácido nucleico que codifica una molécula de anticuerpo que posee manipulaciones en la región Fc que producen unión reducida a receptores FcγR o C1q sobre la parte del anticuerpo. Una realización específica de la presente invención es un ácido nucleico aislado que incluye SEC ID Nº: 93. Un ejemplo específico de tal realización es una molécula de anticuerpo que incluye la secuencia de SEC ID Nº: 95, o ácido nucleico que codifica un fragmento de unión al antígeno de SEC ID Nº: 94. En realizaciones específicas, moléculas de anticuerpo sintéticas pueden producirse por expresión de ácido nucleico generado a partir de oligonucleótidos sintetizados y ensamblados dentro de vectores de expresión adecuados; véase, por ejemplo, Knappick y col., 2000 J. Mol. Biol. 296:57-86, y Krebs y col., 2001 J. Immunol. Methods 254:67-

También se incluyen dentro de la presente invención ácidos nucleicos que incluyen secuencias de nucleótidos que son al menos aproximadamente el 90 % idénticas y más preferentemente al menos aproximadamente el 95 % idénticas a las secuencias de nucleótidos descritas en el presente documento, y cuyas secuencias de nucleótidos codifican anticuerpos de la presente invención. Los procedimientos de comparación de secuencias para determinar la identidad son conocidos para aquellos expertos en la materia e incluyen aquellos tratados anteriormente. Referencia a "al menos aproximadamente el 90 % idéntico" incluye al menos aproximadamente el 90, 91, 92, 93, 94, 95, 96, 97, 98, 99 o el 100 % idéntico.

En el presente documento también se divulgan ácidos nucleicos que se hibridan con el complemento de ácido nucleico desvelado en el presente documento (por ejemplo, el complemento de ácido nucleico que incluye (i) secuencia de nucleótidos de la cadena pesada SEC ID Nº: 52, SEC ID Nº: 56, SEC ID Nº: 60, SEC ID Nº: 64, SEC ID N°: 68 o SEC ID N°: 95, (ii) secuencia de nucleótidos de V_H SEC ID N°: 43, SEC ID N°: 53, SEC ID N°: 57, SEC ID Nº: 61, SEC ID Nº: 65 o SEC ID Nº: 69; (iii) secuencia de nucleótidos de CDR1 de la cadena pesada SEC ID Nº: 106, (iv) secuencia de nucleótidos de CDR2 de la cadena pesada SEC ID Nº: 107, (v) secuencia de nucleótidos de CDR3 de la cadena pesada SEC ID Nº: 108 o SEC ID Nº: 112, (vi) secuencia de nucleótidos de la cadena ligera SEC ID N°: 72, SEC ID N°: 76 o SEC ID N°: 0, (vii) secuencia de nucleótidos de V_L SEC ID N°: 47, SEC ID N°: 73, SEC ID Nº: 77 o SEC ID Nº: 81, (viii) secuencia de nucleótidos de CDR1 de la cadena ligera SEC ID Nº: 109 o SEC ID Nº: 123, (ix) secuencia de nucleótidos de CDR2 de la cadena ligera SEC ID Nº: 110, o (x) secuencia de nucleótidos de CDR3 de la cadena ligera que comprende SEC ID Nº: 111 o SEC ID Nº: 113) bajo condiciones de hibridación particulares, cuyos ácidos nucleicos codifican moléculas de anticuerpo que se unen específicamente a hIL-13Rα1 y antagonizan la actividad mediada por IL-13Rα1. Los procedimientos para hibridar ácidos nucleicos son muy conocidos en la técnica; véase, por ejemplo, Ausubel, Current Protocols in Molecular Biology, John Wiley & Sons, N.Y., 6.3.1-6.3.6, 1989. Como se define en el presente documento, condiciones de hibridación moderadamente rigurosas pueden usar una disolución de prelavado que contiene 5X cloruro sódico/citrato de sodio (SSC), 0,5 % en peso/volumen de SDS, EDTA 1,0 mM (pH 8,0), tampón de hibridación de aproximadamente 50 % en v/v de formamida, 6X SSC, y una temperatura de hibridación de 55 °C (u otras disoluciones de hibridación similares, tales como aquellas que contienen aproximadamente 50 % en v/v de formamida, con una temperatura de hibridación de 42 °C), y condiciones de lavado de 60 °C, en 0,5X SSC, 0,1 % en peso/volumen de SDS. Una condición de hibridación rigurosa puede ser 6X SSC a 45 °C, seguido de uno o más lavados en 0,1X SSC, 0,2 % de SDS a 68 °C. Además, un experto en la materia puede manipular la hibridación y/o condiciones de lavado para aumentar o disminuir la rigurosidad de hibridación de forma que ácidos nucleicos que comprenden secuencias de nucleótidos que son al menos el 65, 70, 75, 80, 85, 90, 95, 98 o el 99 % idénticas entre sí normalmente sigan hibridadas entre sí. Los parámetros básicos que afectan la elección de condiciones de hibridación y orientación para idear condiciones adecuadas se exponen por Sambrook y col., Molecular Cloning: A Laboratory Manual, Cold Spring Harbor Laboratory Press, Cold Spring Harbor, NY, Capítulos 9 y 11. 1989: y Ausubel y col. (eds). Current Protocols in Molecular Biology, John Wiley & Sons, Inc., secciones 2.10 y 6.3-6.4, 1995, y puede determinarse fácilmente por aquellos expertos habituales en la materia basándose en, por ejemplo, la longitud y/o composición de bases del En el presente documento se desvelan anticuerpos aislados que incluyen un dominio variable de la cadena ligera y/o pesada que está codificado al menos en parte por una secuencia de nucleótidos que se hibrida bajo condiciones moderadamente rigurosas con el complemento de una secuencia de ácidos nucleicos que codifica un dominio variable de la cadena ligera y/o pesada desvelado en el presente documento (por ejemplo, seleccionado del grupo que consiste en SEC ID Nº: 43, SEC ID Nº: 47, SEC ID Nº: 53, SEC ID Nº: 57, SEC ID Nº: 61, SEC ID Nº: 65, SEC ID Nº: 69, SEC ID Nº: 73, SEC ID Nº: 77 y SEC ID Nº: 81). En el presente documento también se desvelan anticuerpos aislados que incluyen un dominio variable de la cadena ligera y/o pesada que está codificado al menos en parte por una secuencia de nucleótidos que se hibrida bajo condiciones rigurosas con el complemento de una secuencia de ácidos nucleicos que comprende un dominio variable de la cadena ligera y/o pesada desvelado en el presente documento.

10

15

20

25

30

35

40

45

50

55

60

65

En otro aspecto, la presente invención proporciona vectores que incluyen dicho ácido nucleico que codifica un anticuerpo de la invención. Vectores según la presente invención incluyen, pero no se limitan a, plásmidos y otras construcciones de expresión (por ejemplo, fago o fagémido, según convenga) adecuadas para la expresión de la molécula de anticuerpo deseada al nivel apropiado para el fin previsto; véase, por ejemplo, Sambrook & Russell, Molecular Cloning: A Laboratory Manual: 3ª edición, Cold Spring Harbor Laboratory Press. Para la mayoría de los fines de clonación pueden usarse vectores de ADN. Vectores típicos incluyen plásmidos, virus modificados, bacteriófago, cósmidos, cromosomas artificiales de levadura, y otras formas de ADN episómico o integrado. Está perfectamente dentro del alcance del experto determinar un vector apropiado para una transferencia de genes particular, generación de un anticuerpo humano recombinante, u otro uso. En realizaciones específicas, además de un gen recombinante, el vector también puede contener un origen de replicación para la replicación autónoma en una célula huésped, secuencias reguladoras apropiadas tales como un promotor, una secuencia de terminación, una secuencia de poliadenilación, una secuencia potenciadora, un marcador de selección, un número limitado de sitios útiles de enzimas de restricción, otras secuencias según convenga y las posibilidades de alto número de copias. Ejemplos de vectores de expresión para la producción de anticuerpos y de fragmentos de anticuerpo son muy conocidos en la técnica; véase, por ejemplo, Persic y col., 1997 Gene 187:9-18; Boel y col., 2000 J. Immunol. Methods 239:153-166, y Liang y col., 2001 J. Immunol. Methods 247:119-130. Si se desea, el ácido nucleico que codifica un anticuerpo puede integrarse en el cromosoma huésped usando técnicas muy conocidas en la técnica; véase, por ejemplo, Ausubel, Current Protocols in Molecular Biology, John Wiley & Sons, 1999, y Marks y col., documento WO 95/17516. Los ácidos nucleicos también pueden expresarse sobre plásmidos mantenidos episómicamente o incorporados en un cromosoma artificial; véanse, por ejemplo, Csonka y col., 2000 J. Cell Science 113:3207-3216; Vanderbyl y col., 2002 Molecular Therapy 5:10. El gen de la cadena ligera del anticuerpo y el gen de la cadena pesada del anticuerpo pueden insertarse en vector separado o, más normalmente, ambos genes se insertan en el mismo vector de expresión. Los genes del anticuerpo se insertan en el vector de expresión mediante procedimientos convencionales (por ejemplo, ligación de sitios de restricción complementarios sobre el fragmento del qen del anticuerpo y vector, o ligación de extremos romos si no están presentes sitios de restricción). Las regiones variables de la cadena ligera y pesada de los anticuerpos descritos en el presente documento pueden usarse para crear genes de anticuerpos de longitud completa de cualquier isotipo de anticuerpo insertándolos en vectores de expresión que ya codifican regiones constantes de la cadena pesada y constantes de la cadena ligera del isotipo deseado de forma que el segmento de V_H esté operativamente ligado al (a los) segmento(s) de C_H dentro del vector y el segmento de V_L esté operativamente ligado al segmento de C_L dentro del vector. Adicionalmente o alternativamente, el vector de expresión recombinante puede codificar un péptido señal que facilita la secreción de la cadena del anticuerpo de una célula huésped. El gen de la cadena del anticuerpo puede clonarse en el vector de forma que el péptido señal se ligue en marco con el extremo amino del gen de cadena del anticuerpo. El péptido señal puede ser un péptido señal de inmunoglobulina o una señal de péptido heteróloga (es decir, un péptido señal de una proteína no inmunoglobulina). Cualquier técnica disponible para el experto puede emplearse para introducir el ácido nucleico en la célula huésped; véase, por ejemplo, Morrison, 1985 Science, 229:1202. Son muy conocidos procedimientos de subclonación de moléculas de ácidos nucleicos de interés en vectores de expresión, células huésped transformantes o transfectantes que contienen los vectores, y procedimientos de preparación de proteína sustancialmente pura que incluyen las etapas de introducir el vector de expresión respectivo en una célula huésped, y cultivar la célula huésped bajo condiciones apropiadas. El anticuerpo así producido puede recogerse de las células huésped en formas convencionales. Técnicas adecuadas para la introducción de ácido nucleico en células de interés dependerán del tipo de célula que se use. Técnicas generales incluyen, pero no se limitan a, transfección con fosfato de calcio, DEAE-dextrano, electroporación, transfección y transducción mediada por liposomas usando virus apropiados a la línea celular de interés (por ejemplo, retrovirus, variolovacuna, baculovirus o bacteriófago).

En otro aspecto, la presente invención proporciona célula(s) aislada(s) que incluye(n) ácido nucleico que codifica un anticuerpo de la invención. Puede usase una variedad de líneas celulares diferentes para la producción recombinante de moléculas de anticuerpo, que incluyen, pero no se limitan a, aquellas de organismos procariotas (por ejemplo, *E. coli, Bacillus y Streptomyces*) y de eucariotas (por ejemplo, levadura, baculovirus y de mamífero); véase, por ejemplo, Breitling y col., Recombinant Antibodies, John Wiley & Sons, Inc. y Spektrum Akademischer Verlag, 1999. Células vegetales, que incluyen plantas transgénicas, y células animales, que incluyen animales transgénicos (distintos de seres humanos), que incluyen el ácido nucleico o moléculas de anticuerpo desveladas en el presente documento también se contemplan como parte de la presente invención. Líneas celulares de mamífero adecuadas que incluyen, pero no se limitan a, aquellas derivadas de células de ovario de hámster chino (CHO), que

incluyen, pero no se limitan a, células DHFR-CHO (descritas en Urlaub y Chasin, 1980 Proc. Natl. Acad. Sci. USA 77:4216-4220) usadas, por ejemplo, con un marcador de selección DHFR (por ejemplo, como se describe en Kaufman y Sharp, 1982 Mol. Biol. 159:601-621), células de mieloma NS0 (en las que puede usarse un sistema de expresión de GS como se describe en los documentos WO 87/04462, WO 89/01036 y EP 338.841), células COS, células SP2, células HeLa, células de riñón de hámster bebé, células de mieloma de rata YB2/0, células de riñón embrionario humano, células de retina embrionaria humana y otras que alojan el ácido nucleico o moléculas de anticuerpo desveladas en el presente documento forman realizaciones adicionales de la presente invención. Realizaciones específicas de la presente invención pueden emplear E. coli; véase, por ejemplo, Plückthun, 1991 Bio/Technology 9:545-551, o levadura, tal como Pichia, y derivados recombinantes de los mismos (véase, por ejemplo, Li y col., 2006 Nat. Biotechnol. 24:210-215). Realizaciones específicas adicionales de la presente invención pueden emplear células eucariotas para la producción de moléculas de anticuerpo, véanse, Chadd & Chamow, 2001 Current Opinion in Biotechnology 12:188-194, Andersen & Krummen, 2002 Current Opinion in Biotechnology 13:117, Larrick & Thomas, 2001 Current Opinion in Biotechnology 12:411-418. Realizaciones específicas de la presente invención pueden emplear células de mamífero que puede producir moléculas de anticuerpo con modificaciones postraduccionales apropiadas. Las modificaciones postraduccionales incluyen, pero ni mucho menos se limitan a, formación de enlace disulfuro y glicosilación. Otro tipo de modificación postraduccional es la escisión de señales de péptido. Realizaciones específicas en el presente documento tienen la glicosilación apropiada; véase, por ejemplo, Yoo y col., 2002 J. Immunol. Methods 261:1-20. Anticuerpos que se producen naturalmente contienen al menos un hidrato de carbono ligado en N unido a una cadena pesada. Ídem. Pueden usarse diferentes tipos de células huésped de mamífero para proporcionar eficaces modificaciones postraduccionales. Ejemplos de tales células huésped incluyen células de ovario de hámster chino (CHO), HeLa, C6, PC12 y de mieloma; véanse, Yoo y col., 2002 J. Immunol. Methods 261:1-20, y Persic y col., 1997 Gene 187:9-18.

5

10

15

20

25

30

35

40

45

50

55

60

65

En otro aspecto, la presente invención proporciona célula(s) aislada(s) que comprende(n) un anticuerpo de la presente invención.

En otro aspecto, en el presente documento se desvela un procedimiento de preparación de una molécula de anticuerpo de la presente invención, que implica incubar una célula que aloja un ácido nucleico que codifica una cadena pesada y/o ligera (impuesta por la molécula de anticuerpo deseada) con especificidad por IL-13Ra1 humano en condiciones que permiten la expresión y ensamblaje de dichas cadenas pesadas y/o ligeras en una molécula de anticuerpo, y aislar dicha molécula de anticuerpo de la célula. Un ejemplo por el que generar la secuencia de la cadena pesada y/o ligera deseada es amplificar primero (y modificar) las secuencias variables de la cadena pesada y/o ligera de la línea germinal usando PCR. La secuencia de la línea germinal para regiones variables pesadas y/o ligeras humanas está fácilmente disponible para el experto, véanse, por ejemplo, la base de datos de secuencias de la línea germinal humana "Vbase", y Kabat, E.A. y col., 1991 Sequences of Proteins of Immunological Interest, quinta edición, Departamento Estadounidense de Salud y Servicios Humanos, Publicación del NIH nº 91-3242; Tomlinson, I.M. y col., 1992 "The Repertoire of Human Germline VH Sequences Reveals about Fifty Groups of VH Segments with Different Hypervariable Loops" J. Mol. Biol. 227:776-798; y Cox, J.P.L. y col., 1994 "A Directory of Human Germline Vκ Segments Reveals a Strong Bias in their Usage" Eur. J. Immunol. 24:827-836. La mutagénesis de las secuencias de la línea germinal pueden llevarse a cabo usando procedimientos convencionales, por ejemplo, mutagénesis mediada por PCR en la que las mutaciones se incorporan en los cebadores de PCR, o mutagénesis dirigida al sitio. Si se desean anticuerpos de longitud completa, la secuencia está disponible para los genes de la región constante de la cadena pesada humana; véase, por ejemplo, Kabat. E.A. y col., 1991 Sequences of Proteins of Immunological Interest, quinta edición, Departamento Estadounidense de Salud y Servicios Humanos, Publicación del NIH nº 91-3242. Los fragmentos que contienen estas regiones pueden obtenerse, por ejemplo, por amplificación por PCR convencional. Alternativamente, al experto pueden serle útiles vectores que ya codifican regiones constantes de la cadena pesada y/o ligera.

Existen técnicas disponibles para producir recombinantemente otras moléculas de anticuerpo que retienen la especificidad de un anticuerpo original. Un ejemplo específico de esto es cuando el ADN que codifica la región variable de inmunoglobulina o las CDR se introduce en las regiones constantes, o regiones constantes y regiones estructurales, de otra molécula de anticuerpo; véanse, por ejemplo, los documentos EP-184.187, GB 2188638 y EP-239400, y la bibliografía científica en el área. La clonación y expresión de moléculas de anticuerpo, que incluyen anticuerpos quiméricos, se describe en la bibliografía; véanse, por ejemplo, los documentos EP 0120694 y EP 0125023, y otra bibliografía científica en el área.

Pueden producirse anticuerpos adicionales según la presente invención y luego seleccionarse para las características identificadas en el presente documento usando técnicas conocidas. Técnicas básicas para la preparación de anticuerpos monoclonales se describen en la bibliografía, véase, por ejemplo, Kohler y Milstein (1975, Nature 256:495-497). Anticuerpos monoclonales completamente humanos se producen por procedimientos disponibles. Estos procedimientos incluyen, pero ni mucho menos se limitan a, el uso de cepas de ratón genéticamente manipuladas que poseen un sistema inmunitario por el cual los genes del anticuerpo de ratón se han inactivado y a su vez sustituido con un repertorio de genes de anticuerpos humanos funcionales, mientras que dejan otros componentes del sistema inmunitario del ratón sin cambiar. Tales ratones genéticamente manipulados permiten la respuesta inmunitaria *in vivo* natural y el procedimiento de maduración por afinidad que produce anticuerpos monoclonales humanos completos de alta afinidad. Esta tecnología es muy conocida en la materia y se

detalla completamente en diversas publicaciones que incluyen, pero no se limitan a, las patentes de EE.UU. nº 5.545.806; 5.569.825; 5.625.126; 5.633.425; 5.789.650; 5.877.397; 5.661.016; 5.814.318; 5.874.299; 5.770.249 (cedida a GenPharm International y disponible mediante Medarex, bajo la protección del "sistema de desarrollo de anticuerpos humanos UltraMab"); además de las patentes de EE.UU. nº 5.939.598; 6.075.181; 6.114.598; 6.150.584 y miembros de familia relacionados (cedida a Abgenix, que desvela su XENOMOUSE®). Véanse también las revisiones de Kellerman y Green, 2002 Curr. Opinion in Biotechnology 13:593-597, y Kontermann & Stefan, 2001 Antibody Engineering, Springer Laboratory Manuals.

Alternativamente, una biblioteca de fragmentos de unión al antígeno según la presente invención puede ponerse en 10 contacto con IL-13R α 1, y puede demostrarse la unión al nivel prescrito, por ejemplo, que presenta una K_D con el antígeno que es inferior a 200 pM y la capacidad para antagonizar actividad mediada por IL-13Rα1 seleccionada. Están disponibles técnicas para el experto para la selección de fragmentos de anticuerpos de bibliotecas usando tecnologías de enriquecimiento que incluyen, pero no se limitan a, expresión en fago (por ejemplo, véase la tecnología de Cambridge Antibody Technology (CAT) desvelada en las patentes de EE.UU. nº 5.565.332; 5.733.743; 5.871.907; 5.872.215; 5.885.793; 5.962.255; 6.140.471; 6.225.447; 6.291.650; 6.492.160; 6.521.404; 6.544.731; 15 6.555.313; 6.582.915; 6.593.081, además de otros miembros de la familia de EE.UU. y/o solicitudes que se basan en la presentación de prioridad GB 9206318, presentada el 24 de mayo de 1992; véase también Vaughn y col., 1996, Nature Biotechnology 14:309-314), expresión en ribosomas (véase, por ejemplo, Hanes y Pluckthün, 1997 Proc. Natl. Acad. Sci. 94:4937-4942), expresión bacteriana (véase, por ejemplo, Georgiou, y col., 1997 Nature Biotechnology 15:29-34) y/o expresión en levadura (véase, por ejemplo, Kieke y col., 1997 Protein Engineering 20 10:1303-1310). Una biblioteca, por ejemplo, puede expresarse sobre la superficie de partículas de bacteriófago, codificando el ácido nucleico los fragmentos de unión al antígeno expresados y mostrados sobre su superficie. Los ácidos nucleicos pueden entonces aislarse de partículas de bacteriófago que presentan el nivel deseado de actividad y los ácidos nucleicos usados en el desarrollo de moléculas de anticuerpo. También pueden usarse clones 25 individuales de la cadena pesada o ligera según la presente divulgación para cribar cadenas pesadas o ligeras complementarias, respectivamente, que pueden interaccionar con las mismas para formar una molécula de cadenas pesadas y ligeras combinadas; véase, por ejemplo, el documento WO 92/01047. La expresión en fago se ha descrito en la bibliografía; véase, por ejemplo, Kontermann & Stefan, arriba, y el documento WO 92/01047.

Los anticuerpos monoclonales (mAb) pueden purificarse por técnicas disponibles para un experto en la materia. Títulos de anticuerpos del ascitis relevante, líquidos de cultivo de hibridomas, o muestra de prueba de interés, pueden determinarse por diversos ensayos serológicos o inmunológicos que incluyen, pero no se limitan a, precipitación, aglutinación pasiva, técnicas de anticuerpos inmunoadsorbentes ligados a enzima (ELISA) y técnicas de radioinmunoensayo (RIA).

En otro aspecto, en el presente documento se divulga un procedimiento de antagonización de la actividad de IL- $13R\alpha1$ que implica poner en contacto una célula que expresa IL- $13R\alpha1$ con una molécula de anticuerpo desvelada en el presente documento en condiciones que permiten que dicha molécula de anticuerpo se una a IL- $13R\alpha1$. Aspectos específicos de la presente divulgación incluyen procedimientos tales en los que la célula es una célula humana.

40

45

50

55

60

65

En otro aspecto, la presente divulgación propociona un procedimiento de antagonización de la actividad de IL-13R α 1 en un sujeto que presenta una afección asociada a actividad de IL-13R α 1, que implica administrar al sujeto una cantidad terapéuticamente eficaz de una molécula de anticuerpo de la presente invención. "Antagonizar" en el presente documento se refiere al acto de oponer, contrarrestar o acortar una o más funciones de la diana, sea esa la unión, señalización u otra. La inhibición o antagonismo de una o más de las propiedades funcionales de IL-13R α 1 puede determinarse fácilmente según metodologías conocidas en la técnica, además de aquellas descritas en el presente documento. Además, se entenderá que tal inhibición o antagonismo debe efectuar una disminución en la actividad particular con respecto a la observada en ausencia del anticuerpo o, por ejemplo, la observada cuando está presente un anticuerpo de control de especificidad irrelevante. Preferentemente, una molécula de anticuerpo según la presente invención antagoniza el funcionamiento de IL-13R α 1 mediado por IL-13 y/o IL-4 hasta el punto que haya una disminución de al menos el 10 % del parámetro medido, y más preferentemente, una disminución de al menos el 20 %, 30 %, 40 %, 50 %, 60 %, 70 %, 80 %, el 90 % y el 95 % del parámetro medido. Tal inhibición/antagonismo del funcionamiento de IL-13R α 1 es particularmente eficaz en aquellos casos en los que el funcionamiento del receptor esté contribuyendo al menos en parte a un fenotipo particular, enfermedad, trastorno o afección que está afectando negativamente al sujeto.

También se contemplan procedimientos de uso de las moléculas de anticuerpo desveladas en la fabricación de un medicamento para el tratamiento de una enfermedad, trastorno o afección mediada por IL-13Rα1. Así, en otro aspecto, la presente invención proporciona una composición farmacéuticamente aceptable que comprende una molécula de anticuerpo de la invención y un vehículo, excipiente, diluyente, estabilizador, tampón farmacéuticamente aceptable, o alternativa diseñada para facilitar la administración de la molécula de anticuerpo en el formato y cantidad deseados al individuo tratado. Las moléculas de anticuerpo desveladas en el presente documento pueden usarse en un procedimiento de tratamiento o diagnóstico de un individuo particular (ser humano o primate). El procedimiento de tratamiento puede ser de naturaleza profiláctica o terapéutica. Los procedimientos de tratamiento

según la presente invención incluyen administrar a un individuo una cantidad terapéuticamente (o profilácticamente) eficaz de una molécula de anticuerpo de la presente invención. Cantidad "terapéuticamente eficaz" o "profilácticamente eficaz" se refiere a la cantidad necesaria a la dosificación prevista para lograr el efecto terapéutico/profiláctico deseado durante el periodo de tiempo deseado. El efecto deseado puede ser, por ejemplo, mejora de al menos un síntoma asociado a la afección tratada. Estas cantidades variarán, como apreciará el experto, según diversos factores, que incluyen, pero no se limitan a, el estado de enfermedad, edad, sexo y peso del individuo y la capacidad de la molécula de anticuerpo para provocar el efecto deseado en el individuo. La respuesta puede documentarse por ensayo in vitro, estudios de animal no humano in vivo, y/o respaldarse adicionalmente de ensayos clínicos. La composición farmacéutica basada en anticuerpo de la presente invención puede formularse por cualquier número de estrategias conocidas en la técnica, véase, por ejemplo, McGoff y Scher, 2000 Solution Formulation of Proteins/Peptides, en: McNally, E.J., ed. Protein Formulation and Delivery, New York, NY: Marcel Dekker; pág. 139-158; Akers & Defilippis, 2000, Peptides and Proteins as Parenteral Solutions, en: Pharmaceutical Formulation Development of Peptides and Proteins, Philadelphia, PA: Taylor y Francis; pág. 145-177; Akers y col., 2002. Pharm. Biotechnol. 14:47-127. Una composición farmacéuticamente aceptable adecuada para la administración al paciente contendrá una cantidad eficaz de la molécula de anticuerpo en una formulación que tanto retiene la actividad biológica mientras que también promueve la máxima estabilidad durante el almacenamiento dentro de un intervalo de temperatura aceptable.

5

10

15

20

25

30

35

40

45

50

55

60

65

La composición farmacéuticamente aceptable basada en anticuerpos puede ser estar en forma líguida o sólida. Puede utilizarse cualquier técnica para la producción de formulaciones líquidas o sólidas. Tales técnicas están perfectamente dentro del ámbito de las capacidades del experto. Las formulaciones sólidas pueden producirse por cualquier procedimiento disponible que incluye, pero no se limita a, liofilización, secado por pulverización o secado por tecnología de fluidos supercríticos. Las formulaciones sólidas para administración por vía oral pueden estar en cualquier forma que convierta la molécula de anticuerpo en accesible al paciente en la cantidad prescrita y dentro del periodo de tiempo prescrito. La formulación oral puede tomar la forma de varias formulaciones sólidas que incluyen, pero no se limitan a, un comprimido, cápsula o polvo. Las formulaciones sólidas pueden liofilizarse alternativamente y disolverse antes de la administración para tanto dosificación individual como múltiple. Las composiciones de anticuerpo deben formularse generalmente dentro de un intervalo de pH biológicamente relevante y pueden tamponarse para mantener un intervalo de pH apropiado durante el almacenamiento. Tanto las formulaciones líquidas como sólidas generalmente requieren almacenamiento a menores temperaturas (por ejemplo, 2-8 °C) con el fin de retener la estabilidad durante periodos más largos. Las composiciones de anticuerpo formuladas, especialmente formulaciones líquidas, pueden contener un bacteriostático para prevenir o minimizar la proteólisis durante el almacenamiento, que incluye, pero no se limita a, concentraciones eficaces (por ejemplo, ≤1 % en peso/volumen) de alcohol bencílico, fenol, m-cresol, clorobutanol, metilparabeno y/o propilparabeno. Un bacteriostático puede contraindicarse para algunos pacientes. Por tanto, una formulación liofilizada puede reconstituirse en una disolución que tanto contiene como que no contiene un componente tal. Componentes adicionales pueden añadirse a tanto una formulación de anticuerpo líquida como sólida tamponada, que incluyen, pero no se limita a, azúcares como crioprotector (que incluyen, pero no se limitan a, polihidroxihidrocarburos tales como sorbitol, manitol, glicerol y dulcitol y/o disacáridos tales como sacarosa, lactosa, maltosa o trehalosa) y, en algunos casos, una sal relevante (que incluyen, pero no se limitan a, NaCl, KCl o LiCl). Tales formulaciones de anticuerpo, especialmente formulaciones líquidas seleccionadas para almacenamiento a largo plazo, se basarán en un intervalo útil de osmolaridad total para tanto promover la estabilidad a largo plazo a temperaturas de, por ejemplo, 2-8 °C o superiores, mientras que también se hace la formulación útil para invección parenteral. Según convenga pueden incluirse conservantes, estabilizadores, tampones, antioxidantes y/u otros aditivos. Las formulaciones pueden contener un catión divalente (que incluye, pero no se limita a, MgCl₂, CaCl₂ y MnCl₂); y/o un tensioactivo no iónico (que incluye, pero no se limita a, Polysorbate-80 (TWEEN 80™), Polysorbate-60 (TWEEN 60™), Polysorbate-40 (TWEEN 40™) y Polysorbate-20 (TWEEN 20™), poli(éteres de oxietilenalquilo) que incluyen, pero no se limitan a, BRIJ 58[™], BRIJ 35[™], además de otros tales como TRITON X-100[™], TRITON X-114[™], NP40[™], Span 85 y la serie PLURONIC® de tensioactivos no iónicos (por ejemplo, PLURONIC® 121). Cualquier combinación de tales componentes forma realizaciones específicas de la presente invención.

Composiciones farmacéuticas en formato líquido pueden incluir un vehículo líquido, por ejemplo, agua, petróleo, aceite animal, aceite vegetal, aceite mineral o aceite sintético. El formato líquido también puede incluir solución salina fisiológica, dextrosa u otra disolución de sacárido o glicoles, tales como etilenglicol, propilenglicol o polietilenglicol.

La composición farmacéutica puede estar en forma de una disolución acuosa parenteralmente aceptable que está libre de pirógenos con pH adecuado, tonicidad y estabilidad. Las composiciones farmacéuticas pueden formularse para administración después de dilución en vehículos isotónicos, por ejemplo, inyección de cloruro sódico, inyección de Ringer o inyección de Ringer con lactato.

La dosificación de agentes terapéuticos de anticuerpos está perfectamente dentro del ámbito del experto, véanse, por ejemplo, Lederman y col., 1991 Int. J. Cancer 47:659-664; Bagshawe y col., 1991 Antibody, Immunoconjugates and Radiopharmaceuticals 4:915-922, y variará basándose en varios factores que incluyen, pero no se limitan a, la molécula de anticuerpo utilizada, el paciente que está tratándose, la afección del paciente, el área que está tratándose, la vía de administración y el tratamiento deseado. Un médico o veterinario experto puede determinar

fácilmente y prescribir la cantidad terapéutica eficaz del anticuerpo. Los intervalos de dosificación pueden ser de aproximadamente 0,01 a 100 mg/kg, y más normalmente de 0,05 a 25 mg/kg, del peso corporal del huésped. Por ejemplo, las dosificaciones pueden ser 0,3 mg/kg de peso corporal, 1 mg/kg de peso corporal, 3 mg/kg de peso corporal, 5 mg/kg de peso corporal o 10 mg/kg de peso corporal o dentro del intervalo de 1-10 mg/kg. Para los fines de ilustración, y no limitación, en realizaciones específicas, una dosis de 5 mg a 2,0 g puede utilizarse para administrar la molécula de anticuerpo sistémicamente. La precisión óptima en conseguir concentraciones de anticuerpo dentro de un intervalo que da eficacia sin toxicidad requiere una pauta basada en la cinética de la disponibilidad del fármaco para el (los) sitio(s) diana. Esto implica una consideración de la distribución, equilibrio y eliminación de la molécula de anticuerpo. Los anticuerpos descritos en el presente documento pueden usarse solos a dosificaciones apropiadas. Alternativamente, la co-administración o administración secuencial de otros agentes puede ser deseable. Será posible presentar una pauta de dosificación terapéutica para las moléculas de anticuerpo de la presente invención conjuntamente con pautas de tratamiento alternativas. Individuos (sujetos) capaces de tratamiento incluyen primates, humanos y no humanos, e incluyen cualquier mamífero no humano o vertebrado de importancia veterinaria comercial o doméstica.

La molécula de anticuerpo podría administrarse a un individuo por cualquier vía de administración apreciada en la materia, que incluye, pero no se limita a, administración por vía oral, administración mediante inyección (realizaciones específicas de las cuales incluyen inyección intravenosa, subcutánea, intraperitoneal o intramuscular), administración por inhalación, administración intranasal o tópica, tanto sola como en combinación con otros agentes diseñados para ayudar en el tratamiento del individuo. La vía de administración debe determinarse basándose en varias consideraciones apreciadas por el experto que incluyen, pero no se limitan a, las características fisicoquímicas deseadas del tratamiento. El tratamiento puede proporcionarse diariamente, semanalmente, bisemanalmente o mensualmente, o cualquier otra pauta que administre la cantidad apropiada de la molécula de anticuerpo al individuo en los momentos prescitos de forma que se efectúe el tratamiento deseado y se mantenga. Las formulaciones pueden administrarse en una dosis única o en más de una dosis en momentos separados.

En realizaciones particulares, la afección tratada está seleccionada del grupo que consiste en asma, alergia, rinitis alérgica, sinusitis crónica, fiebre del heno, dermatitis atópica, enfermedad pulmonar obstructiva crónica (EPOC), fibrosis pulmonar, eosinofilia esofágica, psoriasis, artritis psoriásica, fibrosis, esclerodermia, enfermedad inflamatoria del intestino (particularmente, colitis ulcerosa), anafilaxia y cáncer (particularmente, linfoma de Hodgkin, glioma y carcinoma renal), y trastornos/afecciones mediados por Th2 generales.

La presente divulgación proporciona además la administración de las moléculas de anticuerpo anti-hIL-13R α 1 desveladas para los fines de terapia génica. En un procedimiento tal, las células de un sujeto se transformarían con ácido nucleico que codifica las moléculas de anticuerpo de la invención. Sujetos que comprenden los ácidos nucleicos producirán entonces las moléculas de anticuerpo endógenamente. Previamente, Alvarez, y col., Clinical Cancer Research 6:3081-3087, 2000, introdujeron anticuerpos anti-ErbB2 monocatenarios a sujetos usando un enfoque de terapia génica. Los procedimientos desvelados por Alvarez y col. pueden adaptarse fácilmente para la introducción de ácidos nucleicos que codifican un anticuerpo anti-hIL-13R α 1 de la invención a un sujeto.

Los ácidos nucleicos que codifican cualquier polipéptido o molécula de anticuerpo de la invención pueden introducirse a un sujeto. En realizaciones específicas, la molécula de anticuerpo es un anticuerpo monocatenario humano.

Los ácidos nucleicos pueden introducirse a las células de un sujeto mediante cualquier medio conocido en la técnica. En realizaciones específicas, los ácidos nucleicos se introducen como parte de un vector viral. Ejemplos de virus particulares de los que los vectores pueden derivarse incluyen lentivirus, virus del herpes, adenovirus, virus adeno-asociados, virus de la variolovacuna, baculovirus, alfavirus, virus de la gripe, y otros virus recombinantes con tropismo celular deseable.

Diversas empresas producen vectores virales comercialmente, que incluyen, pero ni mucho menos se limitan a, AVIGEN, Inc. (Alameda, CA; vectores AAV), Cell Genesys (Foster City, CA; vectores retrovirales, adenovirales, AAV, y vectores lentivirales), CLONTECH (vectores retrovirales y baculovirales), Genovo, Inc. (Sharon Hill, PA; vectores adenovirales y AAV), GENVEC (vectores adenovirales), IntroGene (Leiden, Los Países Bajos; vectores adenovirales), Molecular Medicine (vectores retrovirales, adenovirales, AAV y virales del herpes), Norgen (vectores adenovirales), Oxford BioMedica (Oxford, Reino Unido; vectores lentivirales) y Transgene (Estrasburgo, Francia; vectores adenovirales, de la variolovacuna, retrovirales y lentivirales).

Se conocen en la técnica procedimientos de construcción y uso de vectores virales (véase, por ejemplo, Miller y col., BioTechniques 7:980-990, 1992). En realizaciones específicas, los vectores virales son defectuosos en la replicación, es decir, son incapaces de replicarse autónomamente, y así no son infecciosos, en la célula diana. El virus defectuoso en la replicación puede ser un virus mínimo, es decir, retiene solo las secuencias de su genoma que son necesarias para encapsidar el genoma para producir partículas virales. También pueden usarse virus defectuosos que carecen completamente o casi completamente de genes virales. El uso de vectores virales defectuosos permite la administración a células en un área localizada específica, sin implicación de que el vector pueda infectar otras células. Así, un tejido específico puede elegirse específicamente como diana.

Ejemplos de vectores que comprenden secuencias de virus de ADN atenuadas o defectuosas incluyen, pero no se limitan a, un vector del virus del herpes defectuoso (Kanno y col., Cancer Gen. Ther. 6:147-154, 1999; Kaplitt y col., J. Neurosci. Meth. 71:125-132, 1997 y Kaplitt y col., J. Neuro Onc. 19:137-147, 1994).

5

10

25

30

35

60

65

Los adenovirus son virus de ADN eucariotas que pueden modificarse para administrar eficazmente un ácido nucleico de la invención a una variedad de tipos de células. Los vectores de adenovirus atenuados, tales como el vector descrito por Strafford-Perricaudet y col., J. Clin. Invest. 90:626-630, 1992, son deseables en algunos casos. Se han descrito diversos vectores de adenovirus defectuosos en la replicación y de adenovirus mínimo (véanse, por ejemplo, los documentos WO94/26914, WO94/28938, WO94/28152, WO94/12649, WO95/02697 y WO96/22378). Los adenovirus recombinantes defectuosos en la replicación según la invención pueden prepararse por cualquier técnica conocida para un experto en la materia (Levrero y col., Gene 101:195, 1991; EP 185573; Graham, EMBO J. 3:2917, 1984; Graham y col., J. Gen. Virol. 36:59, 1977).

Los virus adeno-asociados (AAV) son virus de ADN de tamaño relativamente pequeño que pueden integrarse, en un modo estable y específico de sitio, en el genoma de las células que infectan. Pueden infectar un amplio espectro de células sin inducir ningún efecto sobre el crecimiento celular, morfología o diferenciación, y no parecen participar en las patologías humanas. Se ha descrito el uso de vectores derivados de los AAV para transferir genes *in vitro* e *in vivo* (véanse Daly y col., Gene Ther. 8:1343-1346, 2001, Larson y col., Adv. Exp. Med. Bio. 489:45-57, 2001; documentos WO 91/18088 y WO 93/09239; patentes de EE.UU. nº 4.797.368 y 5.139.941 y EP 488528B1).

En otra realización, el gen puede introducirse en un vector retroviral, por ejemplo, como se describe en las patentes de EE.UU. nº 5.399.346, 4.650.764, 4.980.289 y 5.124.263; Mann y col., Cell 33:153, 1983; Markowitz y col., J. Virol., 62:1120, 1988; documentos EP 453242 y EP178220. Los retrovirus son virus integrantes que infectan células en división.

Pueden usarse vectores lentivirales como agentes para la administración directa y expresión sostenida de ácidos nucleicos que codifican una molécula de anticuerpo de la invención en varios tipos de tejido, que incluyen cerebro, retina, músculo, hígado y sangre. Los vectores pueden transducir eficazmente células en división y no en división en estos tejidos, y mantienen la expresión a largo plazo de la molécula de anticuerpo. Para una revisión véase Zufferey y col., J. Virol. 72:9873-80, 1998 y Kafri y col., Curr. Opin. Mol. Ther. 3:316-326, 2001. Están disponibles líneas celulares de encapsidación lentivirales y se conocen generalmente en la materia. Facilitan la producción de vectores de lentivirus de alto título para terapia génica. Un ejemplo es una línea celular de encapsidación de lentivirus pseudotipada de VSV-G inducible por tetraciclina que puede generar partículas de virus a títulos superiores a 10⁶ Ul/ml durante al menos 3 a 4 días; véase Kafri y col., J. Virol. 73:576-584, 1999. El vector producido por la línea celular inducible puede concentrarse según se necesite para células no en división que se traducen eficazmente *in vitro* e *in vivo*.

El virus de Sindbis es un miembro del género alfavirus y se ha estudiado ampliamente desde su descubrimiento en diversas partes del mundo a partir de 1953. Se ha estudiado bien la transducción génica basada en alfavirus, particularmente virus de Sindbis, *in vitro* (véanse Straus y col., Microbiol. Rev., 58:491-562, 1994; Bredenbeek y col., J. Virol., 67:6439-6446, 1993; Ijima y col., Int. J. Cancer 80:110-118, 1999 y Sawai y col., Biochim. Biophys. Res. Comm. 248:315-323, 1998). Muchas propiedades de los vectores de alfavirus las hacen una alternativa deseable a otros sistemas de vector derivados de virus que se desarrollan, que incluyen la rápida ingeniería de construcciones de expresión, producción de disoluciones madre de altos títulos de partículas infecciosas, infección de células no en división, y altos niveles de expresión (Strauss y col., 1994, arriba). Se ha descrito el uso de virus de Sindbis para terapia génica (Wahlfors y col., Gene. Ther. 7:472-480, 2000 y Lundstrom, J. Recep. Sig. Transduct. Res. 19(1-4):673-686, 1999.

En otra realización, un vector puede introducirse a células por lipofección o con otros agentes que facilitan la transfección (péptidos, polímeros, etc.). Pueden usarse lípidos catiónicos sintéticos para preparar liposomas para la transfección *in vivo* e *in vitro* de un gen que codifica un marcador (Feigner y col., Proc. Natl. Acad. Sci. USA 84:7413-7417, 1987 y Wang y col., Proc. Natl. Acad. Sci. USA 84:7851-7855, 1987). Compuestos de lípidos útiles y composiciones para la transferencia de ácidos nucleicos se describen en los documentos WO 95/18863 y WO 96/17823, y en la patente de EE.UU. nº 5.459.127.

También es posible introducir el vector *in vivo* como plásmido de ADN desnudo. Los vectores de ADN desnudos para terapia génica pueden introducirse en las células huésped deseadas mediante procedimientos conocidos en la técnica, por ejemplo, electroporación, microinyección, fusión de células, DEAE-dextrano, precipitación con fosfato de calcio, uso de una pistola de genes, o uso de un transportador de vectores de ADN (véase, por ejemplo, Wilson y col., J. Biol. Chem. 267:963-967, 1992; Williams y col., Proc. Natl. Acad. Sci. USA 88:2726-2730, 1991). También pueden usarse enfoques de administración de ADN mediada por receptor (Wu y col., J. Biol. Chem. 263:14621-14624, 1988). Las patentes de EE.UU. nº 5.580.859 y 5.589.466 desvelan la administración de secuencias de ADN exógenas, libres de agentes que facilitan la transfección, en un mamífero. Recientemente se ha descrito un voltaje relativamente bajo, técnica de transferencia de ADN *in vivo* de alta eficiencia, llamada electrotransferencia (Vilquin y col., Gene Ther. 8:1097, 2001; Payen y col., Exp. Hematol. 29:295-300, 2001; Mir, Bioelectrochemistry 53:1-10,

2001; documentos WO 99/01157, WO 99/01158 y WO 99/01175).

5

10

15

20

25

30

35

40

45

50

55

Composiciones farmacéuticas adecuadas para tales enfoques de terapia génica y que comprenden ácidos nucleicos que codifican una molécula de anticuerpo anti-hIL-13Rα1 de la presente invención están incluidos dentro del alcance de la presente divulgación.

En otro aspecto se desvela un procedimiento para identificar, aislar, cuantificar o antagonizar IL-13R α 1 en una muestra de interés usando una molécula de anticuerpo de la presente invención. Las moléculas de anticuerpo pueden utilizarse como herramienta de investigación en ensayos inmunoquímicos, tales como transferencias Western, ELISA, radioinmunoensayo, ensayos inmunohistoquímicos, inmunoprecipitaciones, u otros ensayos inmunoquímicos conocidos en la técnica (véase, por ejemplo, Immunological Techniques Laboratory Manual, ed. Goers, J. 1993, Academic Press) o diversos protocolos de purificación. Las moléculas de anticuerpo pueden tener una marca para facilitar la fácil identificación o medición de las actividades asociadas con las mismas. Un experto en la materia está fácilmente familiarizado con los diversos tipos de marcas detectables (por ejemplo, enzimas, colorantes, u otras moléculas adecuadas que son tanto fácilmente detectables como producen alguna actividad/resultado que es fácilmente detectable) útiles en los protocolos anteriores.

Aspectos adicionales de la presente invención son kits que incluyen las moléculas de anticuerpo o composiciones farmacéuticas desveladas en el presente documento e instrucciones para su uso. Normalmente, los kits incluyen, pero no necesitan incluir, una marca que indica el uso previsto del contenido del kit. El término marca incluye cualquier material por escrito, o grabado, suministrado sobre o con el kit, o que de otro modo acompaña al kit.

Relacionado con todavía otro aspecto de la presente invención se identificó un punto de contacto crítico entre los anticuerpos desvelados en el presente documento y el receptor de hIL-13Rlpha1. Este punto de contacto crítico se identificó introduciendo una mutación específica que afectó a la unión del receptor por el anticuerpo. Más específicamente, se encontró que la sustitución del residuo de fenilalanina en la posición 233 de SEC ID Nº: 101 con un residuo de alanina produce una pérdida de la unión entre el anticuerpo y el receptor mutante en comparación con la unión entre el anticuerpo y el receptor natural. Esto es un hallazgo muy útil en la caracterización de 10G5 y sus derivados. Los péptidos que explotan la región que rodea el aminoácido 233 serán útiles en la generación de anticuerpos monoclonales adicionales con especificidad similar. Por consiguiente, en el presente documento se desvelan péptidos aislados que incluyen una secuencia de hIL-13R con una mutación Phe233Ala (es decir, SEC ID Nº: 120), tanto sean de longitud completa como fragmentos de la misma (por ejemplo, 5 a 350 fragmentos de residuos de aminoácidos) que incluyen la mutación. Adicionalmente, la presente divulgación también engloba el uso de dichos péptidos en un ensayo para evaluar 10G5 o derivados de 10G5, identificar anticuerpos con especificidad por un epítope similar o, alternativamente, producir anticuerpos con especificidad similar. Por tanto, en el presente documento se desvela un procedimiento de selección de moléculas de anticuerpo que eligen como diana la misma región sobre hIL-13Rα1 que el anticuerpo producido por la línea celular de hibridoma depositada como el depósito de ATCC nº PTA-6933, que implica (a) analizar la unión de una molécula de anticuerpo de interés a (i) un polipéptido de hIL-13Rα1 aislado de SEC ID Nº: 101 o fragmento del mismo que incluye el aminoácido correspondiente al residuo 233 de SEC ID Nº: 101; y (ii) un polipéptido aislado o fragmento de un polipéptido de hIL-13Rα1 aislado o fragmento del mismo, en el que el aminoácido correspondiente al residuo 233 de SEC ID Nº: 101 es una alanina en vez de una fenilalanina; (b) identificar aquellos anticuerpos que se unen al polipéptido aislado o fragmento de la etapa (a)(i), pero presentan unión significativamente reducida al polipéptido aislado o fragmento de la etapa (a) (ii); y (c) recuperar los anticuerpos identificados en la etapa (b). Una disminución significativa es normalmente superior a una reducción de 10 veces en la unión entre un anticuerpo y el receptor mutante en comparación con la unión entre el anticuerpo y el receptor natural. Polipéptidos que son útiles en el procedimiento son aquellos fragmentos de SEC ID Nº: 101 que incluyen el aminoácido correspondiente al residuo 233 de SEC ID Nº: 101 que se une al anticuerpo producido por la línea celular de hibridoma depositada como el depósito de ATCC nº PTA-6933, y los fragmentos correspondientes en los que el aminoácido correspondiente al residuo 233 de SEC ID Nº: 101 es una alanina en vez de una fenilalanina. Por ejemplo, la región extracelular de IL-13Rα1 humano (aminoácidos número 1 a 317 de SEC ID N°: 101) puede usarse junto con su mutante de Phe233Ala correspondiente.

Otro aspecto de la invención incluye un anticuerpo aislado que (i) compite con el anticuerpo producido por la línea celular de hibridoma depositada como el depósito de ATCC nº PTA-6933 para unirse a hIL-13R α 1; (ii) inhibe la señalización de IL-13; y (iii) en el que una sustitución en un péptido de hIL-13R α 1 del residuo de fenilalanina que se corresponde con la posición 233 de SEC ID Nº: 101 con un residuo de alanina conduce a una pérdida de unión entre dicho anticuerpo y el péptido de hIL-13R α 1 mutante resultante en comparación con la unión entre dicho anticuerpo y el péptido de hIL-13R α 1 sin dicha sustitución.

60 La invención se describe en mayor detalle por los siguientes ejemplos no limitantes.

Ejemplo 1: Producción y purificación de una proteína recombinante basada en la región extracelular de IL-13Rα1 humano

65 Usando el protocolo descrito en el presente documento, una proteína de fusión marcada con FLAG® del extremo N

que incluye la mayoría de la región extracelular de IL-13Rα1 humano (aminoácidos número 3 a 317 de SEC ID Nº: 101) se purificó de medios de cultivo acondicionados por un clon de células CHO establemente transfectado (vector pEFBOS-S-FLAG® que codifica IL-13Rα1.ECR). La proteína hIL-13Rα1.ECR purificada (SEC ID Nº: 103) se concentró y posteriormente se desaló en solución salina tamponada con fosfato (PBS), 0,02 % en v/v de TWEEN™ 20, seguido de esterilización por filtración. La recuperación típica fueron 0,4 mg de proteína por litro de medio acondicionado. La proteína se almacenó a -80 °C hasta que se requirió.

Procedimientos. Un vector de expresión pEFBOS-S-FLAG® que incorpora un ADNc que codifica la región extracelular (ECR) de IL-13Rα1 humano con una secuencia señal de IL-3 y fusión de marca FLAG® se transfectó en células CHO para la expresión estable usando procedimientos convencionales. Entonces, el medio acondicionado derivado de CHO se concentró 10 veces por ultrafiltración usando una membrana de corte de 10 kDa. El medio concentrado se aplicó a una columna de cromatografía de afinidad M2 (anti-FLAG®) y se eluyó con el péptido FLAG® a una concentración de 100 μg/ml. El eluato se concentró por liofilización y luego el tampón se intercambió a Tris a pH 8,0 usando la resina GF50 de SEPHAROSE™ empaquetada en la columna (2,6 cm x 40 cm). La fracción intercambiada con tampón se sometió entonces a cromatografía de intercambio aniónico usando una columna MONO™ Q 5/5. Se retuvo fuertemente un fragmento proteolizado de IL-13Rα1 y se separó de IL-13Rα1 de longitud completa que eluyó a una menor concentración de sales. Las fracciones reunidas y el producto final esterilizado por filtración se evaluaron por SDS-PAGE y análisis de transferencia Western. Entonces, la muestra se cuantificó usando absorbancia UV, en la que 1 unidad de absorbancia fue aproximadamente 1 mg/ml.

Ejemplo 2: Generación de líneas celulares de hibridoma productoras de anticuerpos monoclonales humanos anti-IL-13 $R\alpha$ 1 humano

Inmunización de ratones transgénicos. Ratones transgénicos macho y hembra de las cepas HCo7, HCo12 y HCo7xHCo12 (ratones HUMAB™, Medarex, EE.UU.) se inmunizaron con hIL-13Rα1.ECR del Ejemplo 1. Para la primera inmunización, 20-50 μg de hIL-13Rα1.ECR se emulsionaron en adyuvante completo de Freund (CFA) y se administraron por vía intraperitoneal (i.p.). Para un mínimo de dos y un máximo de tres inmunizaciones i.p. posteriores, 20-50 μg de hIL-13Rα1.ECR se emulsionaron en adyuvante incompleto de Freund (IFA). Tras la segunda o tercera inmunización con hIL-13Rα1.ECR en IFA, el suero se muestreó (plexo retro-orbital) y se ensayó para anticuerpos humanos contra hIL-13Rα1.ECR por ELISA como se describe en el presente documento. Los ratones con alta respuesta al tratamiento (títulos del suero generalmente >1:3200) se seleccionaron para la generación de hibridoma. En algunos casos, los animales no usados para la generación de hibridoma en este momento recibieron adicionalmente inmunizaciones i.p. con 20-50 μg de hIL-13Rα1.ECR en PBS. El suero de estos animales se ensayó de nuevo para anticuerpos humanos contra hIL-13Rα1.ECR por ELISA y se usaron ratones con alta respuesta al tratamiento para la generación de hibridomas. Los ratones seleccionados para la generación de hibridomas se reforzaron intravenosamente con 20-50 μg de hIL-13Rα1.ECR 3-4 días antes de la fusión de células del bazo

ELISA específico de antígeno. Suero de ratón o líquido de sobrenadante de cultivo de hibridoma (SNF) se evaluó para mAb capaces de unirse a placa unida a hIL-13Rα1.ECR usando un formato de ELISA convencional del siguiente modo. Placas MAXISORP™ de 96 pocillos de fondo plano (NUNC, Invitro Technologies, nº 439454) se recubrieron con 50 μl de una disolución que contiene 2,5 μg/ml de hIL-13Rα1.ECR diluido en PBS y se incubaron durante la noche a 4 °C. Después de lavar dos veces con PBS, las placas se bloquearon con 2 % en peso/volumen de leche desnatada en PBS (tampón de bloqueo, 200 μl/pocillo) durante 1 hora a 37 °C, luego se lavaron otras dos veces con PBS que contenía 0,1 % en v/v de TWEEN™ 20 (tampón de lavado). Se añadieron cincuenta μl de SNF de hibridoma de prueba o suero de ratón por pocillo y las placas se incubaron a temperatura ambiente durante 1 hora. Las placas se lavaron tres veces. Los mAb humanos unidos se detectaron usando un reactivo secundario conjugado con HRP anti-IgG humana diluido 1:1000 en PBS que contenía 1 % en peso/volumen de leche en polvo desnatada y 0,1 % en v/v de TWEEN™ 20. Se añadieron cincuenta μl/pocillo del reactivo secundario conjugado con HRP anti-IgG humana a las placas durante 1 hora a temperatura ambiente. Entonces, las placas se lavaron tres veces, se revelaron con sustrato TMB y lectura de DO a 450 nm.

Generación de hibridoma. Se sacrificaron ratones con alta respuesta al tratamiento seleccionados y se recogieron el bazo y los ganglios linfáticos relevantes. La fusión de células del bazo y de los ganglios linfáticos con el componente de fusión SP2/O y posterior selección con HAT (hipoxantina/ aminopterina/ timidina) (GIBCO-BRL, nº 21060-017) de hibridomas se realizaron según procedimientos convencionales (Antibodies: A Laboratory Manual, Harlow and Lane, Cold Spring Harbor Laboratory Press). Brevemente, la centrífuga se ajustó a temperatura ambiente, con un baño de agua a 37 °C y un bloque térmico a 37 °C. Se calentó el polietilenglicol (PEG) a 37 °C. Se preparó medio para cultivar células después de completarse la fusión. El medio incluyó medio sin suero de hibridoma (HSFM) (GIBCO-BRL, nº 12045-084), 5 % de SBF ultra-bajo de IgG (SBF) (GIBCO-BRL, nº 16250-078), Glutamax-1 2 mM (GIBCO-BRL, nº 35050-061), 50 U/50 μg/ml de penicilina/estreptomicina (GIBCO-BRL, nº 15070-063) y 1x HAT. El medio se calentó a 37 °C. Se recogieron células SP2/O y se realizó una cifra de células viable. Las células fueron sanas, activamente en división y en fase logarítmica. La viabilidad fue > 95 %. Se cultivaron SP2/O en HSFM/5 % de SBF ultra-bajo de IgG antes de la fusión, y se fraccionaron 1:2 ó 1:3 el día antes de la fusión. El día de la fusión, los animales se sacrificaron y el bazo (y ganglios linfáticos si se requiere) se extrajeron inmediatamente en medio estéril

(modificación de Dulbecco de medio Eagle (GIBCO-BRL, nº 11995-073) o DME) sobre hielo. Se preparó una suspensión de una sola célula a partir del bazo, y se lavó dos veces (1800 rpm durante 7 minutos) en DME, el segundo lavado caliente. Las células SP2/O se lavaron tres veces (1500 rpm, 7 minutos) con DME caliente para eliminar todas las trazas de suero. Se usaron células SP2/O (108) para un bazo de ratón, hecho como dos fusiones separadas. Se reunieron células SP2/O y del bazo juntas en el mismo tubo y se centrifugaron a 2100 rpm (400 g) durante 5 minutos. Se eliminó todo el DME, quedando solo sedimento combinado. El DME se colocó en el bloque térmico a 37 °C. Se añadió un ml de PEG caliente gota a gota al sedimento de células durante 1 minuto mientras que se agitaba el sedimento suavemente con la pipeta. La agitación continuó suavemente durante otro minuto. Se añadió un ml de DME caliente, gota a gota, agitación, durante 1 minuto. Se añadió otro 1 ml de DME durante 1 minuto. Entonces se añadieron 20 ml de DME durante 5 minutos, mientras que se agitaba lentamente. Esto se centrifugó luego durante 5 minutos a 1500 rpm. Se eliminó todo el sobrenadante, y las células se resuspendieron suavemente en medio de cultivo como antes. Se sembró un bazo de ratón en 5 placas de microtitulación a 0,2 ml por pocillo en medio HAT. Las placas se alimentaron eliminando aproximadamente 0,1 ml de cada pocillo y sustituyendo con medio HAT fresco cada 3 ó 4 días. Los pocillos se comprobaron para el crecimiento de hibridomas en el día 7-10 (selección rutinaria 10-14 días después de la fusión). Estando seguros de que el medio no se había cambiado durante al menos 2-3 días de antemano, se sacaron -100 µl de sobrenadante de cada pocillo para ensayo. Los positivos se transfirieron a pocillos de 1 ml o 2 ml, luego se expandieron gradualmente a placas de 6 pocillos. Los hibridomas no fueron clónicos en esta etapa. Después de 14 días en medio HAT, los hibridomas se cultivaron en HT (GIBCO-BLR, nº 11067-030) (HSFM, 5 % de SBF de IgG ultra-baja, 10 ng/ml de rhIL-6 (R&D Systems, nº 206-IL-050) y HT) durante aproximadamente 2 semanas más, luego sin HT.

10

15

20

25

30

55

60

65

Cultivo de hibridomas. Se clonaron hibridomas que dan positivo en los cribados de ELISA de confirmación primaria y de seguimiento por dilución limitante. Los pocillos de dilución limitante que contienen colonias individuales se cribaron por ELISA y se seleccionó un pocillo positivo para la expansión. Se llevaron a cabo rondas de clonación de dilución limitante hasta que el 100 % de los pocillos dio positivo.

Para la producción de líquido de sobrenadante (SNF) para la purificación de anticuerpos, los hibridomas se expandieron en tanto matraces T175 cm² (Falcon, nº 3028) como botellas rotatorias (900 cm²) (CORNING, nº 430849). El medio usado para la generación de SNF de hibridoma fue HSFM complementado con 5 % de SBF de IgG ultra-bajo, glutamina 2 mM y 50 U/50 µg/ml de penicilina/estreptomicina. Los hibridomas se dejaron crecer hasta confluencia y el medio se recogió por centrifugación aproximadamente 5-10 días después de cuando >90 % de las células había muerto. Todo el medio acondicionado se filtró usando un aparato de filtro STERICUP™ (MILLIPORE, nº SCGPU11RE) (0,45 µm) antes de la purificación del mAb.

- Producción de mAb purificados. Se purificaron anticuerpos monoclonales de SNF usando una estrategia basada en cromatografía de afinidad en proteína A convencional; véase, por ejemplo, el siguiente aparato y reactivos. HPLC: AKTA explorer (AMERSHAM Biosciences, Suecia); columna: proteína A (HITRAP™, 1 ml, Amersham Biosciences, Suecia); tampón A: PBS, 0,02 % de Tween™ 20; tampón B: glicina 0,1 M a pH 2,8; y tampón C: Tris 2 M a pH 8,0.
- 40 La columna se preparó lavando con 5 volúmenes de tampón A. Se cargó medio acondicionado sobre columna específica. Se realizó un lavado con 100 volúmenes de tampón A y elución con 20 ml (10 x 2 ml) de tampón B. La recogida fue en tubo que contiene 0,2 ml de tampón C. La columna se lavó con tampón A para guardar a 4 °C. La desalación se realizó usando membrana de diálisis de corte de 10 K en PBS, 0,02 % de Tween™ 20. La pureza del mAb se demostró por SDS-PAGE con tinción con azul COOMASSIE®.
 - El anticuerpo se cuantificó por análisis espectrofotométrico a 280 nm usando un coeficiente de extinción de inmunoglobulina de 1,0 unidad de absorbancia que es equivalente a 1,34 mg/ml de anticuerpo.

Ejemplo 3: Análisis de la afinidad del anticuerpo monoclonal anti-IL-13R α 1 humano 10G5 por IL-13R α 1 humano

Estudios basados en B-TACORE™. Se inmovilizó IL-13Rα1.ECR humano (40 μg/ml en acetato sódico 20 mM, pH 4,2) del Ejemplo 1 en SensorChip (CM5, Biosensor, Suecia) usando química de NHS/EDC convencional según las instrucciones del fabricante a un valor de inmovilización fijo, por ejemplo, 1000 UR. Se usó etanolamina (1,0 M), pH 8,0, para extinguir los ésteres activos residuales después de la inmovilización de hIL-13Rα1.ECR.

El análisis de unión de 10G5 (intervalo de concentración de 1,4 nM a 150 nM, diluciones dobles) a hIL-13Rα1.ECR inmovilizado se realizó por duplicado. Los sensogramas generados se ajustaron a un modelo de unión a ligando bivalente para derivar simultáneamente las velocidades de asociación (k_a) y disociación (k_d) y se usaron para determinar la afinidad de unión (K_D, software BioEvaluation, BIACORE™, Suecia).

La afinidad de unión (K_D) del mAb humano anti-IL-13R α 1 10G5 fue -254 pM (n=8).

Ejemplo 4: Análisis de la unión del anticuerpo monoclonal anti-IL-13Rlpha1 humano 10G5 a IL-13Rlpha1 de macaco cinomolgo y ratón

Un ADNc que codifica el IL-13R α 1 de macaco cinomolgo (cilL-13R α 1) se clonó por PCR usando ARNm extraído de bazo y médula ósea de cinomolgo. La secuencia madura se conservó altamente entre IL-13R α 1 de cinomolgo y humano con una identidad de aminoácidos de aproximadamente el 97 % (véase el nº de acceso de GenBank AAP78901).

5

10

15

20

25

30

35

45

Para la producción de proteína IL-13R α 1.ECR de cinomolgo purificada, un ADNc que codifica IL-13R α 1.ECR de cinomolgo (aminoácidos 9 a 325 de nº de acceso de GenBank AAP78901 o aminoácidos 1 a 317 de SEC ID Nº: 104) se clonó en el vector pEFBOS-S-FLAG® para la expresión como proteína de fusión marcada con FLAG® del extremo N esencialmente como se ha descrito anteriormente para hIL-13R α 1.ECR.

También se expresó IL-13R α 1.ECR de ratón (aminoácidos 27 a 344 de nº de acceso de GenBank 009030 o aminoácidos 1 a 318 de SEC ID Nº: 105) y se purificó como una fusión marcada con FLAG® del extremo N (mIL-13R α 1.ECR) esencialmente como se ha descrito anteriormente.

La posible reactividad cruzada del mAb 10G5 con IL-13R α 1.ECR de ratón y cinomolgo se evaluó usando un enfoque basado en BIACORE $\alpha^{\text{\tiny TM}}$. Se inmovilizaron IL-13R α 1.ECR de ratón, humano y cinomolgo purificados individualmente en tres canales de un SensorChip (CM5, BIACORE $^{\text{\tiny TM}}$, Suecia) usando química de inmovilización convencional. Se evaluaron anticuerpos monoclonales (intervalo de concentración de 312,5 nM hasta 125 pM) para unirse a los receptores simultáneamente a una velocidad de flujo de 15 μ 1/minuto. El análisis de la afinidad del mAb se realizó como se describe en el Ejemplo 3 anterior.

Los resultados de este análisis indicaron que mAb 10G5 mostró una afinidad 10 veces inferior (-2,9 nM) para el receptor de cinomolgo en comparación con el receptor humano (-254 pM), y unión despreciable a receptor de ratón.

Ejemplo 5: Análisis de la capacidad de 10G5 para competir con IL-13 para la unión de IL-13Rα1 humano

La capacidad de 10G5 para competir con IL-13 para unirse a IL-13R α 1 se evaluó por un ensayo de competición sobre un instrumento BIACORE $^{\text{TM}}$. Se preparó un SensorChip para inmovilizar IL-13 humana usando química de NHS/EDC convencional según las instrucciones del fabricante. Se incubó proteína hIL-13R α 1.ECR (8 µg/ml) con mAb en exceso (50 µg/ml) durante 2 horas a temperatura ambiente, luego se inyectó sobre el SensorChip. El nivel de la proteína hIL-13R α 1.ECR unida a IL-13 inmovilizada se registró en un momento de tiempo fijo dentro del sensograma y se dividió entre el nivel correspondiente de la proteína hIL-13R α 1.ECR unida en ausencia de mAb ("unión de IL-13 relativa"). Las relaciones de unión <1 fueron indicativas de competición entre mAb y IL-13 para unirse a IL-13R α 1, mientras que valores \geq 1 indicaron que el mAb se unió a IL-13R α 1 en un sitio distinto al que se une IL-13.

Se encontró que mAb 10G5 inhibió la unión de la proteína hIL-13Rα1.ECR a IL-13 inmovilizada.

40 Ejemplo 6: Análisis de la capacidad de anticuerpos monoclonales anti-IL-13Rα1 humana para antagonizar respuestas celulares mediadas por IL-13 y IL-4

Ensayo de eotaxina de fibroblastos dérmicos humanos normales (NHDF). Se ha demostrado que células NHDF producen eotaxina en respuesta a IL-13 y mAb dirigidos contra el IL-13R α 1 pueden inhibir esta respuesta. Además, se demostró que células NHDF no expresan el receptor γ c, permitiendo así un análisis de la capacidad de los mAb para inhibir la actividad de IL-4 mediada por el receptor de IL-4 tipo II, es decir, IL-4R α más IL-13R α 1. Debido a la reactividad cruzada de especies, puede usarse tanto IL-13 de primate humano como no humano (por ejemplo, rhesus) para estimular la producción de eotaxinas.

Se cultivaron células NHDF (Cambrex, n° CC-2509) en medio FGM (Cambrex, n° CC3132) complementado con los aditivos recomendados según las instrucciones del fabricante (medio completo). Las células se sometieron a pases 1:3 ó 1:5 una vez a la semana y se monitorizaron para sensibilidad a IL-13 antes de uso. Para evaluar la actividad del antagonista de mAb específicos de hIL-13Rα1, las células se resuspendieron a 2x10⁶/ml en medio completo que contenía 20 ng/ml de PMA (SIGMA, n° P8139) y 20 μg/ml de polimixina (SIGMA, n° P4932) y se sembraron en placas de fondo plano de 96 pocillos (COSTAR, n° 3595) a 1x10⁵ células/pocillo. Las valoraciones de anticuerpo se añadieron a las células y se incubaron durante 30 minutos, a 37 °C con 5 % de CO₂ en aire humidificado. Entonces se añadió IL-13 recombinante (de primate humano o no humano) a placas a una concentración final de 30 ng/ml y se incubó durante la noche a 37 °C con 5 % de CO₂ en aire humidificado. Entonces se eliminaron los sobrenadantes y se ensayaron para contenido de eotaxina por ELISA. Para ensayos inducidos por IL-4, la IL-4 recombinante (PHARMINGEN) se añadió a placas a una concentración final de 0,5 ng/ml en lugar de IL-13.

Protocolo de ELISA de eotaxina. Se recubrieron placas IMMULON $^{\odot}$ -4 (DYNATECH, n° 3855) con 4 µg/ml de anticuerpo de ratón anti-eotaxina humana (R&D Systems, MAB320) en PBS (INVITROGEN, n° 14190-144) durante la noche a 4 °C. Las placas se bloquearon (200 µl/pocillo, TBS complementado con 1 % de BSA y 0,05 % de

Tween[™] 20) durante 1 hora a temperatura ambiente y se lavaron tres veces (tampón de lavado, TBS más 0,05 % de Tween[™] 20). El SNF de prueba de las células NHDF se añadió a 50 µl/pocillo y las placas se incubaron durante 2 horas a temperatura ambiente, luego se lavaron tres veces. El anticuerpo anti-eotaxina humana biotinilado (R&D Systems, BAF320) se añadió a 200 ng/ml en tampón de bloqueo (60 ml/pocillo) y se incubó durante 1 hora a temperatura ambiente, luego se lavó tres veces. Se añadió estreptavidina-europio (Wallac, nº 1244-360) a 100 ng/ml en tampón de europio (100 µl/pocillo) y se incubó durante 20 minutos a temperatura ambiente, luego se lavó tres veces. Se añadió disolución de potenciación (Wallac, nº 12244-105), 150 µl/pocillo, y se incubó 1 hora a temp. ambiente. La fluorescencia retardada en el tiempo se leyó usando un lector de placas VICTOR (PERKIN-ELMER).

- Se usó eotaxina humana recombinante (R&D Systems, nº 320-EO) para establecer una curva patrón. Los resultados de este análisis indicaron que la CE₅₀ de 10G5 contra IL-13 fue 0,25 μg/ml, mientras que la CE₅₀ contra IL-4 fue 2,7 μg/ml.
- Ensayo de fosforilación de STAT6 inducida por IL-13/IL-4 de NHDF. La fosforilación de STAT6 (pSTAT6) es un elemento esencial de la transducción de señales de IL-13/IL-4 y se produce en el plazo de minutos desde la dimerización del receptor. Los mAb específicos de IL-13Rα1 pueden bloquear la fosforilación de STAT6 en respuesta a IL-13 y/o IL-4.
- Para determinar esto, 2x10⁶ células NHDF en 50 µl de medio RPMI (nº 22400-071, INVITROGEN) se sembraron en placas de PCR de polipropileno de fondo en V de 96 pocillos (USA Scientific, nº 1442-9596). Los mAb anti-IL-13R se añadieron a la concentración requerida en 25 µl y las placas se incubaron durante 30 minutos a 4 °C. Se añadió hIL-13 recombinante (100 ng/ml) o hIL-4 (PHARMINGEN, 0,5 ng/ml) en 25 µl y las placas se calentaron a 37 °C en una máquina de PCR durante 20 minutos. Después de 20 minutos se añadió un volumen igual de 2X tampón de lisis (HEPES 100 mM, NaCl 200 mM, 2 % en v/v de TRITON® X100, NaF 100 mM, DTT 10 mM, inhibidores de proteasa) y pSTAT6 se midió por ELISA.
 - Protocolo de ELISA de STAT6. Se recubrieron placas IMMULON®-4 (DYNATECH, n° 3855) con anti-fosfo-STAT6 humano (BD Transduction Labs, n° 621995) a 10 μg/ml en PBS (INVITROGEN, n° 14290-144) (50 μl/pocillo) y se incubaron durante la noche a 4 °C. Las placas se bloquearon (200 μl/pocillo, TBS complementado con 1 % de BSA y 0,05 % de Tween™ 20) durante 1 hora a temperatura ambiente y se lavaron tres veces (tampón de lavado, TBS más 0,05 % de v/v en TWEEN™ 20). Los lisados de prueba se añadieron a 50 μl/pocillo y las placas se incubaron durante 2 horas a temperatura ambiente, luego se lavaron tres veces. Se añadió biotina-anti-STAT6 (BD Transduction Labs, n° 621141, conjugado con biotina, relación molar 20:1) a 2 μg/ml en tampón de bloqueo (60 μl/pocillo) y se incubó durante 1 hora a temperatura ambiente, luego se lavó tres veces. Se añadió estreptavidina-europio (Wallac, n° 1244-360) a 100 ng/ml en tampón de europio (100 μl/pocillo) y se incubó durante 20 minutos a temperatura ambiente, luego se lavó tres veces. Se añadió disolución de potenciación (Wallac, n° 12244-105) (150 μl/pocillo) y se incubó 1 hora a temperatura ambiente. La fluorescencia retardada en el tiempo se leyó usando un lector de placas VICTOR (PERKIN-ELMER).
- 40 Los resultados de este análisis indicaron que la CE_{50} de 10G5 fue 1,0 μ g/ml contra IL-13, mientras que la CE_{50} contra IL-4 fue 1,3 μ g/ml.

Ejemplo 7: Clonación y secuenciación de las regiones variables del anticuerpo murino 10G5

Se preparó ARN mensajero a partir de células de hibridoma que producen el anticuerpo 10G5 y se transcribieron de 45 forma inversa usando un cebador oligo-dT para producir ADNc. Se realizaron varias reacciones de PCR independientes. Las reacciones de PCR se realizaron a las siguientes condiciones: 94 °C durante 2 minutos; 30 ciclos de 94 °C durante 30 segundos, 60 °C durante 30 segundos y 68 °C durante 1 minuto; y 68 °C durante 10 minutos. También se desarrollaron dos condiciones de PCR alternativas en genes de anticuerpos de clonación: 1) 94 °C durante 2 minutos; 30 ciclos de 94 °C durante 30 segundos, 68 °C durante 30 segundos, y 68 °C durante 1 50 minuto; y 68 °C durante 10 minutos; y 2) 30 ciclos de 94 °C durante 1 minuto, 55 °C durante 1 minuto y 72 °C durante 1 minuto. Los amplicones de PCR se separaron sobre 1,2 % de geles de agarosa. En términos de la región variable de la cadena pesada, los siguientes conjuntos de cebadores dieron un producto de PCR. Para el extremo de 5' de la región variable de la cadena pesada, los cebadores fueron VH5, 5'-G GGG TCA ACC GCC ATC CTY G-3' 55 (SEC ID No. 114) en la que Y fue C o T (Degen 2); y VH6, 5'-GTC TCC TTC CTC ATC TTC CTG CCC-3' (SEC ID No. 115) (Degen 1); mientras que el cebador para el extremo 3' de V_H fue HA, 5'-C CCA TCG GTC TTC CCC CTG GCA C-3' (SEC ID Nº: 116). En términos de la región variable de la cadena ligera, cuatro conjuntos de cebadores dieron un producto de PCR. Los productos de PCR se clonaron en el plásmido TOPO® pCK2.1 (INVITROGEN). El análisis de secuencias del clon de la cadena pesada tuvo la mejor correspondencia con la línea germinal, VH5-51. Para la 60 región variable de la cadena ligera, los cebadores para el extremo 5' que dio una secuencia con la mejor correspondencia con la línea germinal, VL VKIII A27, fueron VK3, 5'-YTC TTC CTC CTG CTA CTC TGG CTC-3' (SEC ID Nº: 117) en la que Y fue C/T (Degen 2); y VK4, 5'-ATG GTG TTG CAG ACC CAG GTC TTC-3' (SEC ID Nº: 118) (Degen 1); mientras que el cebador para el extremo 3' de V₁ fue KA, 5'-G AAA TCT GGA ACT GCC TCT GTT GTG TGC CTG C-3' (SEC ID Nº: 119).

65

30

Las secuencias de nucleótidos y de aminoácidos inicialmente identificados que contenían las regiones variables de cadena pesada y ligera de 10G5 incluyeron tanto la secuencia conductora como alguna en la dirección 3' adicional (véanse SEC ID Nº: 42 y 44 para la cadena pesada y SEC ID Nº: 46 y 48 para la cadena ligera). Las secuencias de nucleótidos y de aminoácidos de la región variable de la cadena pesada de 10G5 se muestran en la Figura 1 y en SEC ID Nº: 43 y 45, respectivamente. Las secuencias de nucleótidos y de aminoácidos de la región variable de la cadena ligera de 10G5 se muestran en la Figura 2 y en SEC ID Nº: 47 y 49, respectivamente.

Ejemplo 8: Análisis de la unión de mAb a los péptidos IL-13Rα1 humanos expresados en fago

10 La mutación de la fenilalanina en la posición 233 de la secuencia de aminoácidos de la región extracelular de IL-13Rα1 humano a alanina efectuó una disminución significativa en la unión del anticuerpo 10G5 con respecto a la unión del anticuerpo a la región extracelular de IL-13Rα1 humano natural. Por consiguiente, Phe233 se identificó como un residuo importante sobre el receptor para la unión del anticuerpo 10G5. Convenientemente, la región extracelular de IL-13Ra1 humano o el mutante de Phe233Ala correspondiente se fusionaron mediante el extremo C a un fragmento de la proteína del gen 3 (aminoácidos 249-406) generalmente según el procedimiento descrito por 15 Lowman y col., 1991 Biochem. 30:10832-10838. Entonces, estos péptidos derivados de IL-13Rα1 se mostraron sobre el bacteriófago M13 y se ensayaron por ELISA para unirse a 10G5 o 1D9 inmovilizado. Brevemente, los mAb se adsorbieron pasivamente sobre placas MAXISORP™ de 96 pocillos (NUNC) tras la incubación durante la noche de 100 µl/pocillo de 2,5 µg/ml de mAb diluido en tampón PBS. Se desecharon las disoluciones de recubrimiento, las placas se bloquearon por incubación con tampón de bloqueo durante 1 hora a temperatura ambiente, luego se 20 lavaron una vez con tampón de lavado. Las muestras de fago seriadamente diluidas con 1 % en peso/volumen de leche en polvo desnatada en PBS (tampón diluyente) se transfirieron entonces a placas recubiertas con mAb (100 ul/pocillo). Tras la incubación a temperatura ambiente durante 2 horas, las placas se lavaron 3 veces, y se unieron a fago marcado con anticuerpo policional conjugado con HRP anti-IgG M13, y se detectaron mediante la adición de 25 sustrato TMB. El revelado del color de TMB se inactivó mediante la adición de ácido sulfúrico acuoso 2 M, y se midió la absorbancia a 450 nm.

Ejemplo 9: Identificación de anticuerpos

5

30

35

40

45

50

55

60

65

Procedimientos. Las secuencias pesada variable y ligera variable del anticuerpo 10G5 (SEC ID Nº: 43 y 47, respectivamente) se clonaron en un vector de expresión en fago Fab, pFab3d (Figuras 3, 4A y 4B) con un fragmento Xhol/Apal de 1929 pb del sitio PKS3 del hongo Glarea lozoyensis clonado en el sitio Xhol/Apal como relleno en la construcción de la cadena ligera, luego se mutó aleatoriamente en las regiones CDR3 pesadas y ligeras variables (poseyendo cada biblioteca ≥108 de diversidad funcional). Entonces, los mutantes resultantes se inmunopurificaron contra IL-13Rα1 humano y de primate (mono rhesus y cinomolgo) biotinilado en disolución usando protocolos convencionales de expresión en fago (véase, por ejemplo, Phage Display: A Laboratory Manual, 2001, Cold Spring Harbor Laboratorio Press). Se han desvelado secuencias humanas y de primate en la bibliografía; véase, por ejemplo, nº de acceso de GENBANK U62858, CAA70508 y AAP78901. Reduciendo la concentración de diana en cada ronda posterior de inmunopurificación (por ejemplo, 10 nM, 1 nM, 0,1 nM y 0,01 nM), la rigurosidad de la inmunopurificación aumentó eficazmente, enriqueciéndose así cada vez en fago de mayor afinidad con cada ronda posterior. Se usó ELISA de fago como ensayo primario para determinar la capacidad de los Fab recombinantes unidos a fago para reconocer el IL-13Rα1 biotinilado inmovilizado sobre placas de estreptavidina (véase, por ejemplo, Phage Display: A Laboratory Manual, arriba). Se usaron ensayos de ELISA de captura de Myc y de disociación (protocolos generales descritos en el presente documento) como herramientas de selección secundarias. Se realizaron ensavos de resonancia de plasmones superficiales BIACORE™ y de exclusión cinética KINEXA™ para caracterizar la unión cinética de los anticuerpos identificados. Estos ensayos se realizaron según los protocolos publicados del fabricante. Los anticuerpos específicos se convirtieron en anticuerpos de longitud completa de subclase IgG4 para la expresión, producción y caracterización en células de mamífero (protocolo general descrito más adelante).

Ensayos de captura de myc y de disociación. Se realizan dos ensayos en paralelo. El primero (I) midió la cantidad de anticuerpo capturado de PeriPreps. Esto aseguró que los datos se recogieron solo de pocillos que tuvieron cantidades suficientes y equivalentes de anticuerpo. El segundo (II) midió la disociación del receptor de IL-13 del anticuerpo unido a la placa.

Ensayo (I): Se recubrieron placas IMMULON®-4 (DYNATECH, nº 3855) con anticuerpo kappa antihumano policional (Immunology Consultants Lab, nº GKBF-80A-K116) a 5 μg/ml en PBS (INVITROGEN, nº 14290-144) (50 μl/pocillo) y se incubaron durante la noche a 4 °C. Se añadió tampón de bloqueo (200 μl/pocillo) y las placas se incubaron durante 1 hora a temperatura ambiente. Las placas se lavaron tres veces con tampón de lavado. Se añadió PeriPrep puro, 50 μl/pocillo, y se dejó durante 2 horas a temperatura ambiente. Las placas se lavaron tres veces con tampón de lavado. Se añadieron cincuenta μg/ml de globulina gamma humana (Pierce, nº 31879) en tampón de bloqueo y se dejaron incubar durante la noche a 4 °C. Las placas se lavaron tres veces con tampón de lavado por la mañana y por la tarde, seguido de la adición de 150 μl/pocillo de tampón de bloqueo, mientras que se incubaba a 37 °C en todo el tiempo. Las placas se lavaron tres veces con tampón de lavado. El anticuerpo unido se detectó con biotina-anti-Myc (Upstate, nº 16-212) a 1 μg/ml en tampón de bloqueo (60 μl/pocillo) durante 1 hora a temperatura ambiente. Las

placas se lavaron tres veces con tampón de lavado. Se añadió estreptavidina-europio (Wallac, nº 1244-360) a 100 ng/ml en tampón europio (100 µl/pocillo) durante 20 minutos a temperatura ambiente. Se realizó una etapa de lavado final (tres veces) y se añadió disolución de potenciación (Wallac, nº 1244-105) a 150 µl/pocillo durante 1 hora a temperatura ambiente. Las placas se leyeron por fluorescencia retardada en el tiempo en un lector de placas VICTOR (PERKIN-ELMER).

5

10

15

20

25

30

35

40

45

50

55

60

Ensayo (II): Se recubrieron placas IMMULON®-4 (DYNATECH, nº 3855) con anticuerpo kappa antihumano policional (Immunology Consultants Lab, nº GKBF-80A-K116) a 5 μg/ml en PBS (INVITROGEN, nº 14290-144) (50 μl/pocillo) y se incubaron durante la noche a 4 °C. Se añadió tampón de bloqueo (200 μl/pocillo) y las placas se incubaron durante 1 hora a temperatura ambiente. Las placas se lavaron tres veces con tampón de lavado. Se añadió PeriPrep puro, 50 μl/pocillo, y se dejó durante 2 horas a temperatura ambiente. Las placas se lavaron tres veces con tampón de lavado. Se añadieron sesenta μl/ml de 400 ng/ml de receptor de IL-13 humana marcada con FLAG® con 50 μg/ml de globulina gamma humana (Pierce, nº 31879) en tampón de bloqueo y se dejó incubar durante la noche a 4 °C. Las placas se lavaron tres veces con tampón de lavado a intervalos de dos, seis horas, seguido de la adición de 150 μl/pocillo de tampón de bloqueo. Las incubaciones se llevaron a cabo a 37 °C. Las placas se lavaron tres veces con tampón de lavado. Se detectó receptor de IL-13 residual con biotina-anti-FLAG® (IBI, nº 3081/6H2411) a 1 μg/ml en tampón de bloqueo (60 μl/pocillo) durante 1 hora a temperatura ambiente. Las placas se lavaron tres veces con tampón de lavado. Se añadió estreptavidina-europio (Wallac, nº 1244-360) a 100 ng/ml en tampón europio (100 μl/pocillo) durante 20 minutos a temperatura ambiente. Se realizó una etapa de lavado final (tres veces) y se añadió disolución de potenciación (Wallac, nº 1244-105), 150 μl/pocillo, durante 1 hora a temperatura ambiente. Las placas se leyeron por fluorescencia retardada en el tiempo en un lector de placas Victor (Perkin-Elmer).

Conversión en IgG de longitud completa. Anticuerpos monoclonales anti-IL13Ra1 se convirtieron en anticuerpo completo de subclase IgG4 para la expresión y producción en células de mamífero. Sus regiones variables se amplificaron por PCR a partir de los vectores de Fab correspondientes y se clonaron en marco en un vector de expresión del anticuerpo pCON de LONZA con secuencias conductoras enfrente de las secuencias de anticuerpos. En el vector, secuencias de ADN genómicas para todas las regiones constantes para las cadenas ligeras y pesadas va se manipularon en los vectores. La expresión se acciona por un promotor temprano del citomegalovirus (CMV) humano y seguido de una señal de poliadenilación del SV40. Los plásmidos tienen secuencia bacteriana para la replicación de plásmidos y marcador de selección de ampicilina y el plásmido para la cadena ligera, pCONKAPPA, tiene el gen GS para la glutamina sintetasa como marcador de selección en células de mamífero. La fusión en marco de regiones variables permite la adecuada expresión del anticuerpo completo. Por diseño, las secuencias conductoras de cadenas ligeras y pesadas de ratón se incluyeron enfrente de los marcos de lectura abiertos del anticuerpo. También se incluyó una secuencia consenso de Kozak (cursiva solo) que rodea el codón de iniciación ATG para mejorar el nivel de expresión de proteínas. Se diseñaron cebadores directos e inversos para la amplificación por PCR de cuatro regiones variables. Para la región variable de la cadena ligera de 10G5 se emplearon el cebador directo, 5'-ATC GAA GCT TGCCGC CAC CAT GAG TGT GCC CAC TCA GGT CCT GGG GTT GCT GCT GCT GTG GCT TAC AGA TGC CAG ATG TGA AAT TGT GTT GAC GCA GTC T-3' (SEC ID N°: 88) y el cebador inverso, 5'-CCA CCG TAC GTT TGA TTT CCA C-3' (SEC ID N°: 89). Para la región variable de la cadena pesada 10G5 se emplearon el cebador directo, 5'-ACT GAA GCT TGC CGC CAC CAT GGA ATG GAG CTG GGT CTT TCT CTT CCT GTC AGT AAC TAC AGG TGT CCA CTC CGA GGT GCA GCT GGT GCA GTC T-3' (SEC ID Nº: 90) y el cebador inverso, 5'-ACC GAT GGG CCC TTG GTG GAG GCT-3' (SEC ID Nº: 91). Las secuencias conductoras están en negrita y subrayadas y los sitios de clonación (HindIII en los cebadores directos para tanto cadenas ligeras como pesadas, en los cebadores inversos, BsiWI para la cadena ligera y Apal para la cadena pesada) se facilitan subrayados y en cursiva.

Las regiones variables se amplificaron por PCR durante 20 ciclos usando estos pares de cebadores y vectores Fab que llevan secuencias de la región variable de 10G5. Los productos de PCR se digirieron con *Hind*III y *BsW*I para cadenas ligeras y *Hind*III y *Apa*I para cadenas pesadas. Los fragmentos de PCR digeridos con enzima se clonaron en vectores de Lonza (pCONKAPPA para cadena ligera y pCONGAMMA4 para cadena pesada). El casete de expresión entero de la cadena pesada respectiva de vectores pCONGAMMA4 digeridos con *Not*I y *SaI*I se insertó luego en el vector de la cadena ligera correspondiente digerido con las mismas enzimas. Los marcos de lectura abiertos enteros para tanto la cadena ligera como la cadena pesada se verificaron por análisis de secuencias de ADN.

Expresión, purificación y caracterización de anticuerpos. Tanto ADN de plásmido de la cadena ligera y la cadena pesada combinadas como una mezcla de relación 1:1 de ADN de plásmido de la cadena ligera y pesada correspondiente se transfectaron en líneas celulares derivadas de 293. Para vectores pCON, la línea de células en suspensión 293 FREESTYLE™ de INVITROGEN se usó junto con sus reactivos de transfección. Para 200 ml de células 293 FREESTYLE™, 100 μg de cada uno de ADN de plásmido de la cadena pesada y ligera y 300 μl de reactivos se usaron para la transfección. Las células transfectadas se incubaron a 37 °C/5 % de CO₂ durante 7-8 días antes de la recogida. Se recogió el medio de cultivo, se filtró y se concentró usando centrifugación en MILLIPORE CENTRICON® a baja velocidad (concentrador, MILLIPORE).

65 Resultados. Se presentan análisis de ELISA en las Figuras 5-8. En las Figuras 5-7, los mutantes distinguidos significativamente por su actividad fueron 10G5H6 (VHCDR3: SEC ID №: 5; VLCDR3: SEC ID №: 41); 10G5H5

(VHCDR3: SEC ID N°: 4; VLCDR3: SEC ID N°: 41); 10G5H11 (VHCDR3: SEC ID N°: 3; VLCDR3: SEC ID N°: 41); y 10G5H33 (VHCDR3: SEC ID N°: 25 (que implican un cambio de residuo de The=>Ile en el tercer al último residuo de aminoácido en su interior); VLCDR3: SEC ID N°: 41). La Figura 8 ilustra diez mutantes destacados en el funcionamiento más eficazmente que 10G5H6. Los mutantes probados en la Figura 8 tienen valores de CE₅₀ y poseen las regiones CDR3 pesadas y ligeras como se enumeran en la Tabla 4.

TABLA 4

TABLA 4			
Anticuerpo	VHCDR3	VLCDR3	EC ₅₀ (µM)
SJ2-66	SEQ ID NO:5	SEQ ID NO:28	1.757
10G5H6	SEQ ID NO:5	SEQ ID NO:41	1.636
SJ2-88	SEQ ID NO:5	SEQ ID NO:27	1.536
SJ3-50	SEQ ID NO:5	SEQ ID NO:29	1.341
SJ2-74	SEQ ID NO:5	SEQ ID NO:32	1.308
SJ2-63	SEQ ID NO:5	SEQ ID NO:33	1.248
SJ3-68	SEQ ID NO:5	SEQ ID NO:34	1.24
SJ3-71	SEQ ID NO:5	SEQ ID NO:35	1.186
SJ2-57	SEQ ID NO:5	SEQ ID NO:36	1.14
SJ2-85	SEQ ID NO:5	SEQ ID NO:37	1.123
SJ2-81	SEQ ID NO:5	SEQ ID NO:38	0.9334

30 Se realizaron análisis de KINEXA® en anticuerpos seleccionados. Los datos para los anticuerpos de longitud completa específicos se ilustran en las Tablas 5 y 6 que contienen los datos de dos experimentos diferentes.

TABLA 5

Anticuerpo	VHCDR3	VLCDR3	K _D
10G5-1	SEQ ID NO:5	SEQ ID NO:38	54.84 pM
10G5-2	SEQ ID NO:22	SEQ ID NO:38	45.44 pM
10G5-4	SEQ ID NO:23	SEQ ID NO:38	66.93 pM

TABLA 6

Anticuerpo	VHCDR3	VLCDR3	K _D
10G5 WT	SEQ ID NO:40	SEQ ID NO:41	861 pM
10G5H6	SEQ ID NO:5	SEQ ID NO:41	99.43 pM
10G5-2	SEQ ID NO:22	SEQ ID NO:38	31.44 pM
10G5-4	SEQ ID NO:23	SEQ ID NO:38	20.35 pM
10G5-6	SEQ ID NO:7	SEQ ID NO: 38	26.8 pM

Se realizaron análisis de BIACORE™ en diversos anticuerpos en formato Fab. Las Tablas 7 y 8 ilustran los datos de dos experimentos diferentes:

TABLA 7

Anticuerpo	VHCDR3	VLCDR3	K_D
10G5 WT	SEQ ID NO:40	SEQ ID NO:41	4.5 nM
10G5H6	SEQ ID NO:5	SEQ ID NO:41	0.6 nM

65

60

5

10

15

20

25

35

40

45

TABLA 8

VHCDR3 Anticuerpo VLCDR3 K_D 10G5 WT SEQ ID NO:40 SEQ ID NO:41 1.35 nM 10G5H11 SEQ ID NO:3 SEQ ID NO:41 106 pM 10G5R4-10 SEQ ID NO:15 196 pM SEQ ID NO:41 10G5R4-11 SEQ ID NO:16 SEQ ID NO:41 233 pM 10G5R4-2A SEQ ID NO:7 SEQ ID NO:41 817 pM 10G5R4-2B SEQ ID NO:23 SEQ ID NO:41 116 pM 10G5SJ2-81 SEQ ID NO:5 SEQ ID NO:38 43 pM

Los datos proporcionados ilustran que los anticuerpos podrían identificarse, mediante las diversas selecciones y análisis realizados, con afinidad significativamente potenciada por IL-13R α 1. Los anticuerpos descubiertos demostraron bastante frecuentemente un consenso general en su secuencia. Más específicamente, se concluyó de estos estudios que (1) tres residuos en el dominio CDR3 de la región variable de la cadena pesada fueron más aptos para efectuar positivamente la función tras la mutación, concretamente, los residuos 1, 7 y 9 de SEC ID N°: 40, y (2) tres residuos en el dominio CDR3 de la región variable de la cadena ligera fueron más aptos para efectuar positivamente la función tras la mutación, concretamente, los residuos 2, 4 y 5 en SEC ID N°: 41.

También se desarrollaron anticuerpos con una región Fc manipulada. Las manipulaciones en la región Fc permitieron que un anticuerpo presentara unión reducida a receptores FcγR o C1q. La unión a FcRn (también conocida como el receptor neonatal o receptor de Brambell) no se modifica sustancialmente ni es la semivida del anticuerpo. El fin de las modificaciones fue generar anticuerpos que no provocaran (o provocaran a un menor grado) citotoxicidad celular dependiente de anticuerpo (ADCC), citotoxicidad mediada por el complemento (CMC), o formaran inmunocomplejos, mientras que se retienen las propiedades farmacocinéticas normales (PK). Como se reconocerá por el experto, la estructura del anticuerpo humano IgG desvelada (que engloba SEC ID Nº: 92) puede usarse conjuntamente con cualquier variedad de secuencias de V_H y V_L desveladas en el presente documento, con C_K o C_A apropiadas, en el desarrollo de anticuerpos de longitud completa.

35 Se realizaron análisis de KINEXA® sobre anticuerpos seleccionados con la Fc manipulada. Las secuencias de aminoácidos y de nucleótidos para 10G5-6 en el formato de IgG manipulado se exponen en SEC ID Nº: 94 y 95, respectivamente. La Tabla 9 resume datos obtenidos para seleccionar anticuerpos de longitud completa tras el análisis de K_d de 2 curvas usando KINEXA®.

40 TABLA 9

5

10

15

20

45

50

55

60

65

Anticuerpo	VHCDR3	VLCDR3	KD
10G5-6 lgG4	SEQ ID NO:7	SEQ ID NO:38	44.36 pM
10G5-6 lgG2m4	SEQ ID NO:7	SEQ ID NO:38	30.79 pM
10G5 WT IgG2m4	SEQ ID NO:40	SEQ ID NO:41	2.06 nM
10G5H6 lgG2m4	SEQ ID NO:5	SEQ ID NO:41	94.64 pM

Se ha encontrado que los anticuerpos manipulados de este modo presentan varias ventajas con respecto a los isotipos de IgG nativa. Lo primero es que no se unen a C1q tan fuertemente como IgG2, haciéndola menos eficaz en activar la cascada del complemento. Los anticuerpos manipulados tampoco se unen, o presentan significativamente unión reducida, a receptores de Fc γ a niveles fisiológicamente relevantes, en particular Fc γ RI, que elimina (o reduce significativamente) cualquier activación no deseada de linfocitos NK o linfocitos T; impide significativamente la capacidad del anticuerpo para mediar en ADCC; y elimina (o reduce significativamente) un posible sumidero alternativo para el anticuerpo *in vivo*. Los anticuerpos resultantes también retienen la semivida y estructura básica de una IgG2, que es altamente deseable. La semivida en sangre de la IgG2m4 10G5-6 se encontró en un estudio separado que estaba en el orden de 306 horas cuando se probó en ratones SCID. Esta semivida es comparable con los números informados para IgG2; véase, por ejemplo, Zuckier y col., 1994 Cancer Suppl. 73:794-799.

Ejemplo 10: Estudios funcionales - Liberación de eotaxina

Ensayo de liberación de eotaxina de NHDF. Se compraron células NHDF de Cambrex (nº CC-2509) y se cultivaron en medio FGM (Cambrex, nº CC-3132) complementado con aditivos proporcionados, denominados más adelante medios completos. Las células se sometieron a pases 1:3 o 1:5 una vez a la semana y se monitorizaron para

sensibilidad a IL-13 antes de uso. Para evaluar la actividad antagonista de anticuerpos para IL-13Rα1, las células se resuspendieron a 2 x 106/ml en medios completos que contenían 20 ng/ml de PMA (SIGMA, nº P8139) y 20 µg/ml de polimixina (SIGMA, nº P4932) y se sembraron en placas de fondo plano de 96 pocillos (COSTAR, nº 3595) a 1 x 105 célula/pocillo. Se añadieron valoraciones de anticuerpo a las células y se incubaron durante 30 minutos a 37 °C en un estufa de incubación con 5 % de CO2. Entonces se usó IL-13 de rhesus recombinante o IL-4 humana recombinante (BD PHARMINGEN, nº 554605) a la CE₅₀ respectiva para cada citocina y se incubaron durante la noche a 37 °C en una estufa de incubación con 5 % de CO2. Se eliminaron los sobrenadantes y se ensayaron para contenido de eotaxina por inmunoensavo. Brevemente, se recubrieron placas IMMULON®-4 (DYNATECH, nº 3855) con 2 µg/ml de anticuerpo anti-eotaxina humana (PHARMINGEN, nº 555035) en PBS (INVITROGEN, nº 14190-144) durante la noche a 4 °C. Las placas se bloquearon con tampón de bloqueo durante 1 hora a temperatura ambiente y se lavaron tres veces con tampón de lavado. Los sobrenadantes de las células NHDF se añadieron a las placas junto con un patrón de eotaxina humana recombinante (R&D Systems, nº 320-EO). Las muestras se capturaron durante 2 horas a temperatura ambiente, se lavaron y se añadió anticuerpo de detección anti-eotaxina humana biotinilado (PHARMINGEN, nº 555060) a 200 ng/ml durante 1 hora a temperatura ambiente. Las placas se lavaron v se añadió estreptavidina-europio (Wallac, nº 1244-360) a una concentración de 100 ng/ml durante 20 minutos a temperatura ambiente. Se realizó una etapa de lavado final y se añadió disolución de potenciación (Wallac, nº 1244-105) durante 1 hora a temperatura ambiente. Las placas se leveron por fluorescencia retardada en el tiempo en un lector de placas VICTOR (PERKIN-ELMER).

Resultados. Se analizó la liberación de eotaxina de células de fibroblastos dérmicos humanos normales (NHDF) tras el contacto con anticuerpos específicos de IL-13Rα1. Los ensayos se llevaron a cabo usando bien IL-13 y/o IL-4 como estimulante. Cuando se usó IL-13 como agente inductor, los anticuerpos optimizados fueron al menos 2 veces más potentes en estos tipos de ensayos que la forma parental, 10G5. Un ejemplo de la diferencia en veces en el funcionamiento se ilustra en la Figura 9, en la que se determinó que los valores de Cl₅₀ para 10G5, 10G5H6 y 10G5-6 eran 310 ng/ml (~2 nM), 110 ng/ml (~730 pM) y 70 ng/ml (~467 pM), respectivamente, con IL-13 como estimulante. La Figura 10 ilustra la inhibición de anticuerpos de la formación de eotaxina por células NHDF en las que IL-4 se usa como estimulante. Se realizó un experimento con varios anticuerpos de longitud completa de la presente descripción. Los datos referentes a la inhibición de la liberación de eotaxina de células NHDF tras la estimulación por IL-13 se resumen en la Tabla 10.

TABLA 10

Anticuerpo	VHCDR3	VLCDR3	EC ₅₀
10G5 WT	SEQ ID NO:40	SEQ ID NO:41	2.309 µg/ml
10G5-1	SEQ ID NO:5	SEQ ID NO:38	0.497 μg/ml
10G5-2	SEQ ID NO:22	SEQ ID NO:38	0.456 μg/ml
10G5-3	SEQ ID NO:5	SEQ ID NO:39	0.614 μg/ml
10G5-4	SEQ ID NO:23	SEQ ID NO:38	0.330 µg/ml
10G5-5	SEQ ID NO:23	SEQ ID NO:41	0.939 μg/ml
10G5H6	SEQ ID NO:5	SEQ ID NO:41	0.474 μg/ml

Los datos referentes a la inhibición de la liberación de eotaxina de células NHDF tras la estimulación por IL-4 se resumen en la Tabla 11.

50 TABLA 11

Anticuerpo	VHCDR3	VLCDR3	EC ₅₀
10G5 WT	SEQ ID NO:40	SEQ ID NO:41	4.533 μg/ml
10G5-1	SEQ ID NO:5	SEQ ID NO:38	0.907 μg/ml
10G5-2	SEQ ID NO:22	SEQ ID NO:38	0.730 μg/ml
10G5-3	SEQ ID NO:5	SEQ ID NO:39	0.983 μg/ml
10G5-4	SEQ ID NO:23	SEQ ID NO:38	0.660 μg/ml
10G5-5	SEQ ID NO:23	SEQ ID NO:41	2.267 μg/ml
10G5H6	SEQ ID NO:5	SEQ ID NO:41	1.438 µg/ml

65

5

10

15

30

35

40

45

55

Ejemplo 11: Estudios funcionales – Fosforilación de STAT6:

Ensayo de fosforilación de STAT6 de NHDF. Se compraron células NHDF de Cambrex (nº CC-2509) y se cultivaron en medio FGM (Cambrex, nº CC-3132) complementado con aditivos proporcionados. Sembrar células NHDF a 2e6/ml en 50 µl de volumen en placas de PCR de polipropileno de fondo en V de 96 pocillos (USA Scientific, nº 1442-9596) en medio RPMI (INVITROGEN, nº 22400-071). Se añadieron anticuerpos anti-IL-13R en 25 µl de volumen y se incubaron durante 30 minutos a 4 °C. Se añadió IL-13 de rhesus recombinante o IL-4 humana recombinante (PHARMINGEN) en 25 µl de volumen. Las placas se calentaron a 37 °C en la máquina de PCR durante 20 minutos e inmediatamente se añadió un volumen igual de 2X tampón de lisis (100 µI). Se midió pSTAT6 por inmunoensayo. Se recubrieron placas IMMULON®-4 (DYNATECH, nº 3855) con anti-fosfo-STAT6 humano (BD Transduction Labs, 621995) a 10 µg/ml en PBS (INVITROGEN, nº 14290-144) (50 µl/pocillo) durante la noche a 4 °C. Se añadió tampón de bloqueo (200 µl/pocillo) durante 1 hora a temperatura ambiente. Las placas se lavaron tres veces con tampón de lavado. Se añadieron cincuenta µl/pocillo de lisado y se incubaron durante 2 horas a temperatura ambiente. Las placas se lavaron tres veces con tampón de lavado. La detección se permitió con biotinaanti-STAT6 (BD Transduction Labs, relación molar 20:1 conjugada) a 2 µg/ml en tampón de bloqueo (60 µl/pocillo) añadido durante 1 hora a temperatura ambiente. Las placas se lavaron tres veces con tampón de lavado. Se añadió estreptavidina-europio (Wallac, nº 1244-360) a 100 ng/ml en tampón europio (100 µl/pocillo) durante 20 minutos a temperatura ambiente. Las placas se lavaron tres veces con tampón de lavado. Se añadió disolución de potenciación (Wallac, nº 12244-105) (150 μl/pocillo) durante 1 hora a temperatura ambiente, y las placas se leyeron por fluorescencia retardada en el tiempo en un lector VICTOR (PERKIN-ELMER).

Resultados. Se estudió la inhibición por anticuerpos de la fosforilación de STAT6 inducida por IL-13 y IL-4 en células NHDF. Cuando se usó IL-13 como agente inductor, los anticuerpos optimizados fueron al menos 3 veces más potentes en estos tipos de ensayos que la forma parental, 10G5. Un ejemplo de la diferencia de veces en el funcionamiento se ilustra en la Figura 11, en la que se determinó que las CE_{50} para 10G5 y 10G5H6 eran 2,9 μg/ml y 0,8 μg/ml, respectivamente, con IL-13 como estimulante. La Figura 12 ilustra la inhibición de anticuerpos de la fosforilación de STAT6 en células NHDF, en la que IL-4 se usa como estimulante. Los resultados de este análisis indicaron CE_{50} de 5,0 μg/ml y 1,8 μg/ml para 10G5 y 10G5H6, respectivamente.

30 Ejemplo 12: Estudios funcional – Liberación de TARC

10

15

20

25

35

40

45

50

55

65

Ensayo de liberación de quimiocinas reguladas por el timo y por activación (TARC) (perro, rhesus o humano). Se recogió sangre en tubos VACUTAINER® heparinizados (VWR, VT6480). Se aislaron CMSP sobre medio de separación de linfocitos (ICN, 50494X). Se sembraron CMSP o sangre completa en placas de fondo plano de 96 pocillos (COSTAR, nº 2595). Se añadieron anticuerpos y se incubaron durante 30 minutos a temperatura ambiente. Se añadió IL-13 de rhesus recombinante a 10 ng/ml de concentración final y se incubó durante 24-72 horas a 37 °C con CO₂ en una cámara humidificada. Se recogió sobrenadante o plasma (TARC puede detectarse tan pronto como a las 24 horas, pero los niveles continúan aumentando). Se midió TARC por inmunoensayo. Se recubrieron placas IMMULON®-4 (DYNATECH, 3855) con anti-TARC humana (R&D, nº AF364) a 2 μg/ml en PBS (INVITROGEN, nº 14290-144), 50 µl/pocillo. Las placas se incubaron durante la noche a 4 °C. Se añadió tampón de bloqueo (200 μl/pocillo) y se incubaron durante 1 hora a temperatura ambiente. Las placas se lavaron tres veces con tampón de lavado. Se añadió plasma o sobrenadante, 50 μl/pocillo, y se incubó durante 2 horas a temperatura ambiente (plasma diluido 1:2). Se incluyó una curva patrón empezando a 20 ng/ml de TARC humana recombinante diluida 2 veces. Las placas se lavaron tres veces con tampón de lavado. La detección se llevó a cabo con biotina-anti-TARC humana (RDI, nº RDI-TarcabrPI, conjugado con relación molar de biotina 20:1) a 250 ng/ml en tampón de bloqueo (60 ul/pocillo) durante 1 hora a temperatura ambiente. Las placas se lavaron tres veces con tampón de lavado. Se añadió estreptavidina-europio (Wallac, nº 1244-360) a 100 ul/pocillo a 100 ng/ml en tampón europio durante 20 minutos a temperatura ambiente. Las placas se lavaron tres veces con tampón de lavado. Se añadió disolución de potenciación (Wallac, nº 12244-105), 150 μl/pocillo, y se incubó durante 1 hora a temperatura ambiente. La fluorescencia retardada en el tiempo se leyó en un lector VICTOR (PERKIN-ELMER).

Resultados. Se examinó el efecto de los presentes anticuerpos sobre la liberación de TARC tras la estimulación con 10 ng/ml de IL-13. La Figura 13 ilustra, por ejemplo, la capacidad de 10G5-6 para bloquear la liberación estimulada por IL-13 de TARC (CCL17) en sangre humana completa. El anticuerpo dio una CI_{50} de \sim 112 ng/ml, 746 pM. La Figura 14 ilustra el funcionamiento de otro anticuerpo, 10G5H6, frente a 10G5 WT (natural) en un ensayo de liberación de TARC estimulado con IL-13 de sangre humana completa. La Figura 15 ilustra el efecto de 10G5-6 junto a 10G5H6 en bloquear la liberación de TARC después de la estimulación de sangre de rhesus completa con IL-13 de rhesus.

60 Ejemplo 13: Estudios funcionales – Inhibición de la proliferación celular de enfermedad de Hodgkin:

Procedimientos. Se ensayaron 10G5, 10G5H6 y 10G5-6 para determinar si los anticuerpos fueron o no eficaces en inhibir la proliferación celular de la línea celular de la enfermedad Hodgkin L1236. Se han estudiado previamente células de Hodgkin y de Reed-Sternberg con respecto a la citocina IL-13; véase, por ejemplo, Kapp y col., 1999 J. Exp. Med. 189:1939-1945; Pielnider y col., 2001 Blood 97:250-255; Pielnider y col., 2002 Blood 99:618-626; y en la patente de EE.UU. nº 6.468.528, y los procedimientos de análisis de los mismos se tratan en su interior.

Resultados. En este ensayo, 10G5 dio una Cl_{50} de aproximadamente 300 ng/ml (2 nM), mientras que tanto 10G5H6 como 10G5-6 dieron Cl_{50} de aproximadamente 50 ng/ml (-330 pM), que para ambos representaron una mejora de aproximadamente 6 veces con respecto a la de la lgG 10G5 parental. Véase la Figura 17.

5

Aspectos adicionales de la divulgación se exponen a continuación:

1. Un anticuerpo aislado que se une con el receptor alfa 1 de interleucina 13 humana, en donde

10

(a) la región variable de la cadena pesada de dicho anticuerpo comprende las secuencias de aminoácidos de CDR1, CDR2, y CDR3 como se expone en las SEC ID N° :82, SEC ID N° :83, y SEC ID N° :121, respectivamente; y

. .

(b) la región variable de la cadena ligera de dicho anticuerpo comprende las secuencias de aminoácidos de CDR1, CDR2, y CDR3 como se expone en las SEC ID №:84, SEC ID №:85, y SEC ID №:122, respectivamente.

15

2. El anticuerpo aislado de la realización 1, que comprende además una región constante de la cadena pesada como se expone en la SEC ID №: 92.

20

3. Una composición que comprende el anticuerpo de la realización 2 y un vehículo farmacéuticamente aceptable.

4. Un anticuerpo aislado que se une con el receptor alfa 1 de interleucina humana que comprende

25

30

(a) una región variable de la cadena pesada que tiene una secuencia de aminoácidos seleccionada del grupo que consiste de las SEC ID Nº:45, SEC ID Nº:51, SEC ID Nº: 55, SEC ID Nº:59, SEC ID Nº:63 y SEC ID Nº:67;

(b) una región variable de la cadena ligera que tiene una secuencia de aminoácidos seleccionada del grupo que consiste de las SEC ID Nº:49, SEC ID Nº:71, SEC ID Nº: 75, y SEC ID Nº:79; o (c) una combinación de (a) y (b).

(c) un

5. El anticuerpo aislado de la realización 4, en donde dicho anticuerpo se produce por la línea celular de hibridoma depositada como el Depósito de ATCC № PTA-6933.

35

6. El anticuerpo aislado de la realización 4, que comprende además una región constante de la cadena pesada como se expone en la SEC ID Nº:92.

7. El anticuerpo aislado de la realización 6, en donde la región variable de la cadena pesada tiene una secuencia de aminoácidos como se expone en la SEC ID Nº:63 y la región variable de la cadena ligera tiene una secuencia de aminoácidos como se expone en la SEC ID Nº:71.

40

8. Una composición que comprende el anticuerpo de la realización 6 y un vehículo farmacéuticamente aceptable.

45

9.Un anticuerpo aislado que muestra una constante de disociación de equilibrio (K_D) de menos de 200 pM con el receptor alfa 1 de interleucina 13 humana y antagoniza con la actividad mediada por el receptor alfa 1 de interleucina 13 humana, en donde

50

(a) la región variable de la cadena pesada de dicho anticuerpo comprende una secuencia de aminoácidos como se expone en la SEC ID Nº:63 o una secuencia por lo menos un 90% homóloga a la secuencia expuesta en la SEC ID Nº: 63; y

(b) una región variable de la cadena ligera de dicho anticuerpo comprende una secuencia de aminoácidos como se expone en la SEC ID №: 71 o una secuencia por lo menos un 90% homóloga a la secuencia expuesta en la SEC ID №: 71.

55

10. El anticuerpo aislado de la realización 9, en donde el anticuerpo se caracteriza además por mostrar unión significativamente reducida con un polipéptido que tiene una secuencia de aminoácidos como se expone en la SEC ID NO: 120 en relación a su unión con un polipéptido que tiene una secuencia de aminoácidos como se expone en la SEC ID Nº: 101.

60

11. El anticuerpo aislado de la realización 9, que comprende además una región constante de la cadena pesada como se expone en la SEC ID Nº:92.

65

12. Una composición que comprende el anticuerpo de la realización 11 y un vehículo farmacéuticamente aceptable.

	13. Un procedimiento para mejorar una afección provocada o exacerbada por la actividad mediada por el receptor alfa 1 de la interleucina 13 que comprende administrar a un sujeto con necesidad de tratamiento una cantidad efectiva de la composición de la realización 2 mejorando de este modo la afección provocada o exacerbada por la actividad mediada por el receptor alfa 1 de la interleucina 13.
5	14. El procedimiento de la realización 13, en donde la afección es asma, alergia, rinitis alérgica, sinusitis crónica, fiebre del heno, dermatitis atópica, enfermedad pulmonar obstructiva crónica, fibrosis pulmonar, eosinofilia esofágica, esclerodermia, psoriasis, artritis psoriásica, fibrosis, enfermedad inflamatoria del intestino, colitis ulcerosa, anafilaxia o cáncer.
10	15. El procedimiento de la realización 14, en donde el cáncer es linfoma de Hodgkin, glioma o carcinoma renal.
15	16. Un ácido nucleico aislado que codifica una región variable de un anticuerpo que se une con el receptor alfa 1 de la interleucina 13 humana, en donde la región variable comprende
20	a) una región variable de la cadena pesada que tiene una secuencia de aminoácidos seleccionada del grupo que consiste de las SEC ID Nº: 45, SEC ID Nº: 51, SEC ID Nº: 55, SEC ID Nº: 59, SEC ID Nº: 63 y SEC ID Nº: 67; o b) una región variable de la cadena ligera que tiene una secuencia de aminoácidos seleccionada del
	grupo que consiste de las SEC ID №: 49, SEC ID №: 71, SEC ID №: 75 y SEC ID №: 79.
	17. Un vector que comprende el ácido nucleico de la realización 16.
25	18. Una célula huésped que comprende el vector de la realización 17.
	LISTADO DE SECUENCIAS
	<110> CSL Limited
30	<120> ANTAGONISTAS DE ANTICUERPOS DE ALTA AFINIDAD DEL RECEPTOR ALFA 1 DE INTERLEUCINA 13
	<130> P063795EP
35	<150> US 60/8522884 <151> 2006-10-19
	<160> 123
40	<170> PatentIn version 3.3
	<210> 1 <211> 9 <212> PRT
45	<213> Secuencia artificial
	<220> <223> Variante optimizada de la cadena sintetica pesada de CDR3
50	<400> 1
	Phe Pro Asn Trp Gly Ala Leu Asp Gln 1 5
55	<210> 2 <211> 9 <212> PRT <213> Secuencia artificial
60	<220>
	<223> Variante optimizada de la cadena sintetica pesada de CDR3
65	<400> 2

Val Pro Asn Trp Gly Ser Leu Asp Thr 1 5

5	<210> 3 <211> 9 <212> PRT <213> Secuencia artificial
10	<220>
	<223> Variante optimizada de la cadena sintetica pesada de CDR3
15	<400>3 Phe Pro Asn Trp Gly Ser Met Asp Ala 1 5
20	<210> 4 <211> 9 <212> PRT <213> Secuencia artificial
	<220>
25	<223> Variante optimizada de la cadena sintetica pesada de CDR3
	<400> 4
30	Phe Pro Asn Trp Gly Ser Leu Asp His 1 5
35	<210> 5 <211> 9 <212> PRT <213> Secuencia artificial
40	<220>
40	<223> Variante optimizada de la cadena sintetica pesada de CDR3
	<400> 5
45	Met Pro Asn Trp Gly Ser Phe Asp Tyr 1 5
50	<210> 6 <211> 9 <212> PRT <213> Secuencia artificial
55	<220>
	<223> Variante optimizada de la cadena sintetica pesada de CDR3
60	<400> 6
	Met Pro Asn Trp Gly Ser Phe Asp Thr 1 5
65	<210> 7

```
<211>9
      <212> PRT
      <213> Secuencia artificial
     <220>
      <223> Variante optimizada de la cadena sintetica pesada de CDR3
      <400> 7
10
                                 Met Pro Asn Trp Gly Ser Leu Asp His
15
     <210>8
      <211>9
      <212> PRT
      <213> Secuencia artificial
     <220>
20
      <223> Variante optimizada de la cadena sintetica pesada de CDR3
      <400>8
25
                                 Met Pro Asn Trp Gly Ser Phe Asp Ser
                                                     5
30
     <210>9
      <211>9
      <212> PRT
      <213> Secuencia artificial
     <220>
35
      <223> Variante optimizada de la cadena sintetica pesada de CDR3
      <400> 9
40
                               Met Pro Asn Trp Gly Ser Leu Asp Thr
                                                     5
45
      <210> 10
      <211>9
      <212> PRT
      <213> Secuencia artificial
     <220>
50
      <223> Variante optimizada de la cadena sintetica pesada de CDR3
      <400> 10
55
                             Met Pro Asn Trp Gly Ser Leu Asp Ala
                                                     5
                             1
60
     <210> 11
      <211>9
      <212> PRT
      <213> Secuencia artificial
65
      <220>
```

```
<223> Variante optimizada de la cadena sintetica pesada de CDR3
      <400> 11
 5
                            Met Pro Asn Trp Gly Ser Leu Asp Asn
                             1
                                                    5
     <210> 12
10
     <211>9
      <212> PRT
      <213> Secuencia artificial
     <223> Variante optimizada de la cadena sintetica pesada de CDR3
15
     <400> 12
20
                              Met Pro Asn Trp Gly Ala Leu Asp Ser
                                                    5
     <210> 13
     <211> 9
25
      <212> PRT
      <213> Secuencia artificial
     <220>
30
     <223> Variante optimizada de la cadena sintetica pesada de CDR3
     <400> 13
35
                               Met Pro Asn Trp Gly Ser Phe Asp Asn
                                                     5
     <210> 14
40
     <211>9
      <212> PRT
     <213> Secuencia artificial
     <220>
45
     <223> Variante optimizada de la cadena sintetica pesada de CDR3
     <400> 14
50
                          Met Pro Asn Trp Gly Ser Leu Asp Tyr
                                                 5
     <210> 15
55
     <211>9
      <212> PRT
     <213> Secuencia artificial
     <220>
     <223> Variante optimizada de la cadena sintetica pesada de CDR3
60
     <400> 15
                         Met Pro Asn Trp Gly Ser Phe Asp His
65
                                                5
```

```
<210> 16
     <211>9
 5
     <212> PRT
     <213> Secuencia artificial
     <223> Variante optimizada de la cadena sintetica pesada de CDR3
10
     <400> 16
                           Met Pro Asn Trp Gly Ser Leu Asp Ser
                                                  5
15
     <210> 17
     <211>9
20
     <212> PRT
     <213> Secuencia artificial
     <223> Variante optimizada de la cadena sintetica pesada de CDR3
25
     <400> 17
                           Met Pro Asn Trp Gly Ser Leu Asp Gly
30
                                                  5
     <210> 18
35
     <211>9
     <212> PRT
     <213> Secuencia artificial
40
     <223> Variante optimizada de la cadena sintetica pesada de CDR3
     <400> 18
                          Val Pro Asn Trp Gly Ser Leu Asp Asn
45
     <210> 19
50
     <211> 28
     <212> PRT
     <213> Secuencia artificial
     <220>
55
     <223> Secuencia de la variante sintetica con CDR3 optimizado
     <400> 19
            Cys Ala Arg Phe Pro Asn Trp Gly Ser Leu Asp His Trp Gly Gln Gly
60
                                5
            Thr Leu Val Thr Val Ser Ser Ala Ser Ile Lys Gly
65
                           20
                                                     25
```

```
<210> 20
     <211> 28
     <212> PRT
     <213> Secuencia artificial
     <220>
     <223> Secuencia de la variante sintetica con CDR3 optimizado
10
     <400> 20
                 Cys Ala Arg Met Pro Asn Trp Gly Ser Leu Asp His Trp Gly Gln Gly
                                   5
                                                           10
15
                 Thr Leu Val Thr Val Ser Ser Ala Ser Thr Lys Gly
                               20
     <210> 21
20
     <211> 28
     <212> PRT
     <213> Secuencia artificial
25
     <223> Secuencia de la variante sintetica con CDR3 optimizado
     <400> 21
30
            Cys Ala Arg Met Pro Asn Trp Gly Ser Phe Asp Tyr Trp Gly Gln Gly
                                 5
35
            Thr Leu Val Thr Val Ser Ser Ala Ser Ile Lys Gly
                            20
                                                      25
40
     <210> 22
     <211> 12
     <212> PRT
     <213> Secuencia artificial
45
     <220>
     <223> Secuencia de la variante sintetica con CDR3 optimizado
     <400> 22
50
                    Val Arg Met Pro Asn Trp Gly Ser Leu Asp His Trp
                                                                       10
                     1
                                           5
55
     <210> 23
     <211> 27
     <212> PRT
60
     <213> Secuencia artificial
     <223> Secuencia de la variante sintetica con CDR3 optimizado
65
     <400> 23
```

```
Val Arg Met Pro Asn Trp Gly Ser Leu Asp His Trp Gly Gln Gly Thr
                                                          10
             1
5
             Leu Val Thr Val Ser Ser Ala Ser Ile Lys Gly
     <210> 24
10
     <211> 27
     <212> PRT
     <213> Secuencia artificial
     <223> Secuencia de la variante sintetica con CDR3 optimizado
15
     <400> 24
           Ala Arg Met Pro Asn Trp Gly Ser Leu Asp His Trp Gly Gln Gly Thr
20
           Leu Val Thr Val Ser Ser Ala Ser Ile Lys Gly
                         20
25
     <210> 25
     <211> 25
     <212> PRT
30
     <213> Secuencia artificial
     <223> Secuencia de la variante sintetica con CDR3 optimizado
     <400> 25
35
         Phe Pro Asn Trp Gly Ser Phe Asp Tyr Trp Gly Gln Gly Thr Leu Val
                              5
                                                       10
                                                                                 15
40
         Thr Val Ser Ser Ala Ser Ile Lys Gly
                                                  25
45
     <210> 26
     <211>9
     <212> PRT
     <213> Secuencia artificial
50
     <223> Variante optimizada de la cadena sintetica pesada de CDR3
     <400> 26
55
                      Val Pro Asn Trp Gly Ser Leu Asp Ala
                                               5
60
     <210> 27
     <211> 5
     <212> PRT
     <213> Secuencia artificial
65
```

```
<220>
     <223> Cadina ligera sintetica de CDR3 variante optimizada
     <400> 27
 5
                                   Gln Arg Tyr Ser Thr
                                   1
                                                                  5
10
     <210> 28
     <211> 5
     <212> PRT
15
     <213> Secuencia artificial
     <223> Cadina ligera sintetica de CDR3 variante optimizada
20
     <400> 28
                                  Gln Arg Tyr Ala Thr
                                                                   5
25
     <210> 29
     <211>5
     <212> PRT
     <213> Secuencia artificial
30
     <220>
     <223> Cadina ligera sintetica de CDR3 variante optimizada
     <400> 29
35
                                 Gln Met Tyr Ser Thr
                                                                   5
40
     <210> 30
     <211> 5
     <212> PRT
     <213> Secuencia artificial
45
     <220>
     <223> Cadina ligera sintetica de CDR3 variante optimizada
     <400> 30
50
                                Gln Gln Val Gly Thr
55
     <210> 31
     <211>5
     <212> PRT
     <213> Secuencia artificial
60
     <223> Cadina ligera sintetica de CDR3 variante optimizada
     <400> 31
65
```

```
Gln Val Tyr Ser Thr
                                                                5
 5
      <210> 32
      <211> 5
      <212> PRT
      <213> Secuencia artificial
10
      <220>
      <223> Cadina ligera sintetica de CDR3 variante optimizada
      <400> 32
15
                                        Gln Gln Tyr Ser Thr
                                        1
                                                                  5
20
     <210> 33
      <211> 5
      <212> PRT
      <213> Secuencia artificial
25
     <223> Cadina ligera sintetica de CDR3 variante optimizada
     <400> 33
30
                                        Gln Ser Tyr Ser Thr
                                                                 5
                                        1
      <210> 34
35
      <211>5
      <212> PRT
     <213> Secuencia artificial
40
     <223> Cadina ligera sintetica de CDR3 variante optimizada
      <400> 34
45
                                        Gln Gln Tyr Ala Thr
                                        1
                                                                 5
      <210> 35
50
      <211> 5
      <212> PRT
     <213> Secuencia artificial
     <220>
     <223> Cadina ligera sintetica de CDR3 variante optimizada
55
      <400> 35
60
                                       Gln Gln Tyr Ser Ser
                                                                  5
      <210> 36
      <211> 5
65
      <212> PRT
```

```
<213> Secuencia artificial
      <220>
      <223> Cadina ligera sintetica de CDR3 variante optimizada
 5
      <400> 36
                                         Gln Thr Tyr Ser Thr
                                                                   5
10
      <210> 37
      <211> 5
      <212> PRT
15
     <213> Secuencia artificial
     <220>
      <223> Cadina ligera sintetica de CDR3 variante optimizada
20
     <400> 37
                                        Gln Gln Tyr Gly Ser
25
      <210>38
      <211> 5
      <212> PRT
30
     <213> Secuencia artificial
      <223> Cadina ligera sintetica de CDR3 variante optimizada
     <400> 38
35
                                        Gln Gln Tyr Ala Ser
40
      <210> 39
      <211> 5
      <212> PRT
45
      <213> Secuencia artificial
      <223> Cadina ligera sintetica de CDR3 variante optimizada
      <400> 39
50
                                      Gln Gln Tyr Glu Ala
                                      1
                                                                    5
55
      <210> 40
      <211> 9
      <212> PRT
60
      <213> Secuencia artificial
      <223> 10G5 sintético de la cadena pesada CDR3
65
      <400> 40
```

Phe Pro Asn Trp Gly Ser Phe Asp Tyr 1 5

5							
	<210> 41						
	<211> 5						
	<212> PRT						
	<213> Secuencia	artificial					
10	.000-						
	<220>	Stine de la cadana	limara CDD2				
	<223> 10G5 sinté <400> 41	etico de la cadena	ligera CDR3				
	\400 / 41						
15				_			
. •			Gln Gln	. Tyr Glu	Thr		
			1		5		
			-		J		
	<210> 42						
20	<211> 414						
	<212> ADN						
	<213> Secuencia	artificial					
	<220>						
25	<223> Secuencia	10G5 VH sintétic	o con lider v regió	n adicional consta	into		
20	VZZOP OCCUCITORA	1 1005 VII SIIIICIIO	o con lider y regio	ii adicional consta	into		
	<400> 42						
30	tttgccctcg	tccctggctt	gttcctccaa	ggagtctgtg	ccgaggtgca	gctggtgcag	60
	tctggagcag	aggtgaaaaa	gcccggggag	tctctgaaga	tctcctgtaa	gggttctgga	120
35	tacagcttta	ccagctactg	gatcggctgg	gtgcgccaga	tgcccgggaa	aggcctggag	180
00	-						
	tagatagaga	tcatctatcc	togtgactct	tataccagat	acagecegte	cttccaaggc	240
				•	•		
	caggtcacca	tctcagccga	caagtccatc	aggagggggt	acctgcagtg	gaggagggtg	300
40			3			y-yyy	
	aaggeet egg	acaccgccat	otattactot	gcgagattcc	ccaactgggg	ctcatttgac	360
	aaggeeeegg	acaccyccac	gcaccaccgc	gogugueeee	CCGGCCGGGG	cocacocgac	500
	taataaaaa	agggaaccct	aat aa aaat a	taataaaaat	0020022000	acca	414
45	tactggggcc	agggaacccc	ggccaccgcc	ccccagccc	ccaccaaggg	ccca	373
45							
	<210> 43						
	<211> 354						
	<212> ADN						
50	<213> Secuencia	artificial					
-							
	<220>						
	<223> Solo secue	encia de 10G5 VH	sintético				
	100 15						
55	<400> 43						

48

60

	gaggtg	cagc	tggt	.gcag	tc t	ggago	cagag	gtg	aaaa	agc	ccgg	gagt	c tc	tgaa	gatc		60
	tcctgta	aagg	gttc	tgga	ta c	agctt	tacc	agc	tact	gga	tcggd	ctggg	rt gc	gcca	gatg	1	20
5	cccggg	aaag	gcct	.ggag	tg g	atggg	ggto	atc	tato	ctg ·	gtgad	etett	a ta	ccag	atac	1	80
	agcccgf	tcct	tcca	aggc	ca g	gtcad	cato	tca	geeg	aca	agtco	catca	ıg ca	.ccgc	ctac	2	40
10	ctgcagi															3	00
	aactgg			_	_	_			_	_			_	_		3	54
15	<210> 44 <211> 138 <212> PRT <213> Sec	г															
20	<220> <223> Sec	uencia	10G5 '	VH sint	tético d	on lide	r y regi	ón adio	cional c	onstar	nte						
	<400> 44																
25	Phe 1	Ala	Leu	Val	Pro 5	Gly	Leu	Phe	Leu	Gln 10	Gly	Val	Cys	Ala	Glu 15	Val	
30	Gln	Leu	Val	Gln 20	Ser	Gly	Ala	Glu	Val 25	Lys	Lys	Pro	Gly	Glu 30	Ser	Leu	
35	Lys	Ile	Ser 35	Суз	Lys	Gly	Ser	Gly 40	Tyr	Ser	Phe	Thr	Ser 45	Tyr	Trp	Ile	
40	Gly	Trp 50	Val	Arg	Gln	Met	Pro 55	Gly	Lys	Gly	Leu	Glu 60	Trp	Met	Gly	Val	
45	Ile 65	Tyr	Pro	Gly	Asp	Ser 70	Tyr	Thr	Arg	Tyr	Ser 75	Pro	Ser	Phe	Gln	Gly 80	
50	Gln	Val	Thr	Ile	Ser 85	Ala	Asp	Lys	Ser	Ile 90	Ser	Thr	Ala	Tyr	Leu 95	Gln	
55	Trp	Ser	Ser	Leu 100	Lys	Ala	Ser	Asp	Thr 105	Ala	Met	Tyr	Tyr	Cys 110	Ala	Arg	
60	Phe	Pro	Asn 115	Trp	Gly	Ser	Phe	Asp 120	Tyr	Trp	Gly	Gln	Gly 125	Thr	Leu	Val	
65	Thr	Val 130	Ser	Ser	Ala	Ser	Thr 135	Lys	Gly	Pro							

5		> 118 > PRT	encia a	artificia	I												
	<220 <223		secuei	ncia de	10G5	VH sir	ıtético										
10	<400	> 45															
		Glu 1	Val	Gln	Leu	Val 5	Gln	Ser	Gly	Ala	Glu 10	Val	Lys	Lys	Pro	Gly 15	Glu
15		Ser	Leu	Lys	Ile 20	Ser	Суз	Lys	Gly	Ser 25	Gly	Tyr	Ser	Phe	Thr 30	Ser	Tyr
20		Trp	Ile	Gly 35	Trp	Val	Arg	Gln	Met 40	Pro	Gly	Lys	Gly	Leu 45	Glu	Trp	Met
25		Gly	Val 50	Ile	Tyr	Pro	Gly	Asp 55	Ser	Tyr	Thr	Arg	Tyr 60	Ser	Pro	Ser	Phe
30		Gln 65	Gly	Gln	Val	Thr	Ile 70	Ser	Ala	Asp	Lys	Ser 75	Ile	Ser	Thr	Ala	Tyr 80
35		Leu	Gln	Trp	Ser	Ser 85	Leu	Lys	Ala	Ser	Asp 90	Thr	Ala	Met	Tyr	Tyr 95	Cys
40		Ala	Arg	Phe	Pro 100	Asn	Trp	Gly	Ser	Phe 105	Asp	Tyr	Trp	Gly	Gln 110	Gly	Thr
45		Leu	Val	Thr 115	Val	Ser	Ser										
50		> 369 > ADN	encia a	artificia	I												
55	<220 <223		encia ¹	10G5 \	/L sinté	ético co	n lider	y regio	ón adic	ional c	onstan	te					
	<400>	> 46															
60																	

	ttcttcctcc tgctactctg gctcccagat accaccggag aaattgtgtt gacgcagtct 60	
	ccaggcaccc tgtctttgtc tccaggggaa agagccaccc tctcctgcag ggccagtcag 120	
5	agtattagca gcagctactt agcctggtac cagcagaaac ctggccaggc tcccaggctc 180	
	ctcatctatg gtgcatccag cagggccact ggcatcccag acaggttcag tggcagtggg 240	
10	tctgggacag acttcactct caccatcagc agactggagc ctgaagattt tgcagtgtat 300	
	tactgtcagc agtatgagac gttcggccaa gggaccaagg tggaaatcaa acgaactgtg 360	
	gctgcacca 369	
15 20	<210> 47 <211> 312 <212> ADN <213> Secuencia artificial <220> <223> Solo secuencia de 10G5 VL sintético	
	<400> 47	
25	gaaattgtgt tgacgcagtc tccaggcacc ctgtctttgt ctccagggga aagagccacc	60
	ctctcctgca gggccagtca gagtattagc agcagctact tagcctggta ccagcagaaa	120
30	cctggccagg ctcccaggct cctcatctat ggtgcatcca gcagggccac tggcatccca	180
	gacaggttca gtggcagtgg gtctgggaca gacttcactc tcaccatcag cagactggag	240
35	cctgaagatt ttgcagtgta ttactgtcag cagtatgaga cgttcggcca agggaccaag	300
	gtggaaatca aa	312
40	<210> 48 <211> 123 <212> PRT <213> Secuencia artificial	
45	<220> <223> Secuencia 10G5 VL sintético con lider y región adicional constante	
	<400> 48	
50		
55		
60		

		Phe 1	Phe	Leu	Leu	Leu 5	Leu	Trp	Leu	Pro	Asp 10	Thr	Thr	Gly	Glu	Ile 15	Val
5		Leu	Thr	Gln	Ser 20	Pro	Gly	Thr	Leu	Ser 25	Leu	Ser	Pro	Gly	Glu 30	Arg	Ala
10		Thr	Leu	Ser 35	Суз	Arg	Ala	Ser	Gln 40	Ser	Ile	Ser	Ser	Ser 45	Tyr	Leu	Ala
15		Trp	Tyr 50	Gln	Gln	Lys	Pro	Gly 55	Gln	Ala	Pro	Arg	Leu 60	Leu	Ile	Tyr	Gly
20		Ala 65	Ser	Ser	Arg	Ala	Thr 70	Gly	Ile	Pro	Asp	Arg 75	Phe	Ser	Gly	Ser	Gly 80
25		Ser	Gly	Thr	Asp	Phe 85	Thr	Leu	Thr	Ile	Ser 90	Arg	Leu	Glu	Pro	Glu 95	Asp
30		Phe	Ala	Val	Tyr 100	Tyr	Суз	Gln	Gln	Tyr 105	Glu	Thr	Phe	Gly	Gln 110	Gly	Thr
30		Lys	Val	Glu 115	Ile	Lys	Arg	Thr	Val 120	Ala	Ala	Pro					
35	<210> <211> <211> <212> <213>	104 PRT	ncia ar	tificial													
40	<220> <223>	Solo se	ecuenc	cia 100	95 VL s	sistetic	0										
45	<400>	49															
50																	
55																	
60																	
65																	

		Glu 1	Ile	Val	Leu	Thr 5	Gln	Ser	Pro	Gly	Thr 10	Leu	Ser	Leu	Ser	Pro 15	Gly
5		Glu	Arg	Ala	Thr 20	Leu	Ser	Суз	Arg	Ala 25	Ser	Gln	Ser	Ile	Ser 30	Ser	Ser
10		Tyr	Leu	Ala 35	Trp	Tyr	Gln	Gln	Lys 40	Pro	Gly	Gln	Ala	Pro 45	Arg	Leu	Leu
15		Ile	Tyr 50	Gly	Ala	Ser	Ser	Arg 55	Ala	Thr	Gly	Ile	Pro 60	Asp	Arg	Phe	Ser
20		Gly 65	Ser	Gly	Ser	Gly	Thr 70	Asp	Phe	Thr	Leu	Thr 75	Ile	Ser	Arg	Leu	Glu 80
25		Pro	Glu	Asp	Phe	Ala 85	Val	Tyr	Tyr	Cys	Gln 90	Gln	Tyr	Glu	Thr	Phe 95	Gly
		C1 -	C1	mh -	T	170]	C1	Tlo	T ***								
		GIII	сту	Thr		val	GIU	TTE	тЛя								
30	<210><211><211><212>	• 445 • PRT			100												
35	<220>			artificia sada d		5-1.3 s	sintétic	0									
40	<400>	- 50															
45																	
50																	
55																	
60																	
65																	

	Glu 1	Val	Gln	Leu	Val 5	Gln	Ser	Gly	Ala	Glu 10	Val	Lys	Lys	Pro	Gly 15	Glu
5	Ser	Leu	Lys	Ile 20	Ser	Cys	Lys	Gly	Ser 25	Gly	Tyr	Ser	Phe	Thr 30	Ser	Tyr
10	Trp	Ile	Gly 35	Trp	Val	Arg	Gln	Met 40	Pro	Gly	Lys	Gly	Leu 45	Glu	Trp	Met
15	Gly	Val 50	Ile	Tyr	Pro	Gly	Asp 55	Ser	Tyr	Thr	Arg	Tyr 60	Ser	Pro	Ser	Phe
20	Gln 65	Gly	Gln	Val	Thr	11e 70	Ser	Ala	Asp	Lys	Ser 75	Ile	Ser	Thr	Ala	Tyr 80
25	Leu	Gln	Trp	Ser	Ser 85	Leu	Lys	Ala	Ser	Asp 90	Thr	Ala	Met	Tyr	Tyr 95	Суз
30	Ala	Arg	Met	Pro 100	Asn	Trp	Gly	Ser	Phe 105	Asp	Tyr	Trp	Gly	Gln 110	Gly	Thr
35	Leu	Val	Thr 115	Val	Ser	Ser	Ala	Ser 120	Thr	Lys	Gly	Pro	Ser 125	Val	Phe	Pro
40	Ľeu	Ala 130	Pro	Cys	Ser	Arg	Ser 135	Thr	Ser	Glu	Ser	Thr 140	Ala	Ala	Leu	Gly
40	Cys 145	Leu	Val	Lys	Asp	Tyr 150	Phe	Pro	Glu	Pro	Val 155	Thr	Val	Ser	Trp	Asn 160
45	Ser	Gly	Ala	Leu	Thr 165	Ser	Gly	Val	His	Thr 170	Phe	Pro	Ala	Val	Leu 175	Gln
50	Ser	Ser	Gly	Leu 180	Tyr	Ser	Leu	Ser	Ser 185	Val	Val	Thr	Val	Pro 190	Ser	Ser
55	Ser	Leu	Gly 195	Thr	Lys	Thr	Tyr	Thr 200	Суз	Asn	Val	Asp	His 205	Lys	Pro	Ser
60																

		Asn	Thr 210	Lys	Val	Asp	Lys	Arg 215	Val	Glu	Ser	Lys	Tyr 220	Gly	Pro	Pro	Cys
5		Pro 225	Pro	Cys	Pro	Ala	Pro 230	Glu	Phe	Leu	Gly	Gly 235	Pro	Ser	Val	Phe	Leu 240
10		Phe	Pro	Pro	Lys	Pro 245	Lys	Asp	Thr	Leu	Met 250	Ile	Ser	Arg	Thr	Pro 255	Glu
15		Val	Thr	Суз	Val 260	Val	Val	Asp	Val	Ser 265	Gln	Glu	Asp	Pro	Glu 270	Val	Gln
20		Phe	Asn	Trp 275	Tyr	Val	Asp	Gly	Val 280	Glu	Val	His	Asn	Ala 285	Lys	Thr	Lys
		Pro	Arg 290	Glu	Glu	Gln	Phe	Asn 295	Ser	Thr	Tyr	Arg	Val 300	Val	Ser	Val	Leu
25		Thr 305	Val	Leu	His	Gln	Asp 310	Trp	Leu	Asn	Gly	Lys 315	Glu	Tyr	Lys	Cys	Lys 320
30		Val	Ser	Asn	Lys	Gly 325	Leu	Pro	Ser	Ser	Ile 330	Glu	Lys	Thr	Ile	Ser 335	Lys
35		Ala	Lys	Gly	Gln 340	Pro	Arg	Glu	Pro	Gln 345	Val	Tyr	Thr	Leu	Pro 350	Pro	Ser
40		Gln	Glu	Glu 355	Met	Thr	Lys	Asn	Gln 360	Val	Ser	Leu	Thr	Cys 365	Leu	Val	Lys
45		Gly	Phe 370	_	Pro	Ser	Asp			Val		_	Glu 380		Asn	Gly	Gln
		Pro 385	Glu	Asn	Asn	Tyr	Lys 390	Thr	Thr	Pro	Pro	Val 395	Leu	Asp	Ser	Asp	Gly 400
50		Ser	Phe	Phe	Leu	Tyr 405	Ser	Arg	Leu	Thr	Val 410	Asp	Lys	Ser	Arg	Trp 415	Gln
55		Glu	Gly	Asn	Val 420	Phe	Ser	Cys	Ser	Val 425	Met	His	Glu	Ala	Leu 430	His	Asn
60		His	Tyr	Thr 435	Gln	Lys	Ser	Leu	Ser 440	Leu	Ser	Leu	Gly	Lys 445			
65	<210> 51 <211> 118																

	<212> PRT <213> Secuencia artificial																
5	<220> <223>	10G5-1,	,3 VH \$	Sintétio	co												
	<400>	51															
10		Glu 1	Val	Gln	Leu	Val 5	Gln	Ser	Gly	Ala	Glu 10	Val	Lys	Lys	Pro	Gly 15	Glu
15		Ser	Leu	Lys	Ile 20	Ser	Cys	Lys	Gly	Ser 25	Gly	Tyr	Ser	Phe	Thr 30	Ser	Tyr
20		Trp	Ile	Gly 35	Trp	Val	Arg	Gln	Met 40	Pro	Gly	Lys	Gly	Leu 45	Glu	Trp	Met
25		Gly	Val 50	Ile	Tyr	Pro	Gly	Asp 55	Ser	Tyr	Thr	Arg	Tyr 60	Ser	Pro	Ser	Phe
23		Gln 65	Gly	Gln	Val	Thr	Ile 70	Ser	Ala	Asp	Lys	Ser 75	Ile	Ser	Thr	Ala	Tyr 80
30		Leu	Gln	Trp	Ser	Ser 85	Leu	Lys	Ala	Ser	Asp 90	Thr	Ala	Met	Tyr	Tyr 95	Суз
35		Ala	Arg	Met	Pro 100	Asn	Trp	Gly	Ser	Phe 105	Asp	Tyr	Trp	Gly	Gln 110	Gly	Thr
40		Leu	Val	Thr 115	Val	Ser	Ser										
45	<210> <211> <212> <213>	1338	cia arti	ificial													
50		Cadena	pesac	da de 1	1 0G5 -1	I,3 sint	ético										
	<400>	52															
55																	
60																	

	gaggtgcagc	tggtgcagtc	tggagcagag	gtgaaaaagc	ccggggagtc	tctgaagatc	60
	tcctgtaagg	gttctggata	cagctttacc	agctactgga	tcggctgggt	gcgccagatg	120
5	cccgggaaag	gcctggagtg	gatgggggtc	atctatcctg	gtgactctta	taccagatac	180
	agcccgtcct	tccaaggcca	ggtcaccatc	tcagccgaca	agtccatcag	caccgcctac	240
10	ctccagtgga	gcagcctgaa	ggcctcggac	accgccatgt	attactgtgc	gagaatgcct	300
10	aattggggct	catttgacta	ctggggccag	ggaaccctgg	tcaccgtctc	ctcagcctcc	360
	accaagggcc	catccgtctt	cccctggcg	ccctgctcca	ggagcacctc	cgagagcaca	420
15	gccgccctgg	gctgcctggt	caaggactac	ttccccgaac	cggtgacggt	gtcgtggaac	480
	tcaggcgccc	tgaccagcgg	cgtgcacacc	ttcccggctg	tcctacagtc	ctcaggactc	540
20	tactccctca	gcagcgtggt	gaccgtgccc	tccagcagct	tgggcacgaa	gacctacacc	600
20	tgcaacgtag	atcacaagcc	cagcaacacc	āāggtggaca	agagagttga	gtccaaatat	660
	ggtcccccat	gcccaccatg	cccagcacct	gagttcctgg	ggggaccatc	agtcttcctg	720
25	ttccccccaa	aacccaagga	cactctcatg	atctcccgga	cccctgaggt	cacgtgcgtg	780
	gtggtggacg	tgagccagga	agaccccgag	gtccagttca	actggtacgt	ggatggcgtg	840
30	gaggtgcata	atgccaagac	aaagccgcgg	gaggagcagt	tcaacagcac	gtaccgtgtg	900
50	gtcagcgtcc	tcaccgtcct	gcaccaggac	tggctgaacg	gcaaggagta	caagtgcaag	960
	gtctccaaca	aaggcctccc	gtcctccatc	gagaaaacca	tctccaaagc	caaagggcag	1020
35	ccccgagagc	cacaggtgta	caccctgccc	ccatcccagg	aggagatgac	caagaaccag	1080
	gtcagcctga	cctgcctggt	caaaggcttc	taccccagcg	acatcgccgt	ggagtgggag	1140
40	agcaatgggc	agccggagaa	caactacaag	accacgcctc	ccgtgctgga	ctccgacggc	1200
+0	tccttcttcc	tctacagcag	gctaaccgtg	gacaagagca	ggtggcagga	ggggaatgtc	1260
	ttctcatgct	ccgtgatgca	tgaggctctg	cacaaccact	acacacagaa	gagcctctcc	1320
45	ctgtctctgg	gtaaatga					1338

<210> 53 <211> 354 <212> ADN

<213> Secuencia artificial

<220>

<223> 10G5-1,3 VH sintético

55 <400> 53

60

50

		gaggtgcagc	tggtgcagtc	tggagcagag	gtgaaaaagc	ccggggagtc	tctgaagatc	60
		tcctgtaagg	gttctggata	cagctttacc	agctactgga	tcggctgggt	gcgccagatg	120
5		cccgggaaag	gcctggagtg	gatgggggtc	atctatcctg	gtgactctta	taccagatac	180
		agcccgtcct	tccaaggcca	ggtcaccatc	tcagccgaca	agtccatcag	caccgcctac	240
10		ctccagtgga	gcagcctgaa	ggcctcggac	accgccatgt	attactgtgc	gagaatgcct	300
		aattggggct	catttgacta	ctggggccag	ggaaccctgg	tcaccgtctc	ctca	354
15	<212	> 54 > 445 > PRT > Secuencia arti	ficial					
20		> Cadena pesad	la de 10G5-2 sir	ntético				
	<400	> 54						
25								
30								
35								
00								
40								
45								
50								
55								
60								
65								

	Glu 1	Val	Gln	Leu	Val 5	Gln	Ser	Gly	Ala	Glu 10	Val	Lys	Lys	Pro	Gly 15	Glu
5	Ser	Leu	Lys	Ile 20	Ser	Cys	Lys	Gly	Ser 25	Gly	Tyr	Ser	Phe	Thr 30	Ser	Tyr
10	Trp	Ile	Gly 35	Trp	Val	Arg	Gln	Met 40	Pro	Gly	Lys	Gly	Leu 45	Glu	Trp	Met
15	Gly	Val 50	Ile	Tyr	Pro	Gly	Asp 55	Ser	Tyr	Thr	Arg	Tyr 60	Ser	Pro	Ser	Phe
20	Gln 65	Gly	Gln	Val	Thr	Ile 70	Ser	Ala	Asp	Lys	Ser 75	Ile	Ser	Thr	Ala	Tyr 80
25	Leu	Gln	Trp	Ser	Ser 85	Leu	Lys	Ala	Ser	Asp 90	Thr	Ala	Met	Tyr	Tyr 95	Cys
30	Val	Arg	Met	Pro 100	Asn	Trp	Gly	Ser	Leu 105	Asp	His	Trp	Gly	Gln 110	Gly	Thr
	Leu	Val	Thr 115	Val	Ser	Ser	Ala	Ser 120	Thr	Lys	Gly	Pro	Ser 125	Val	Phe	Pro
35	Leu	Ala 130	Pro	Cys	Ser	Arg	Ser 135	Thr	Ser	Glu	Ser	Thr 140	Ala	Ala	Leu	Gly
40	Cys 145	Leu	Val	Lys	Asp	Туг 150	Phe	Pro	Glu	Pro	Val 155	Thr	Val	Ser	Trp	Asn 160
45	Ser	Gly	Ala	Leu	Thr 165	Ser	Gly	Val	His	Thr 170	Phe	Pro	Ala	Val	Leu 175	Gln
50	Ser	Ser	Gly	Leu 180	Tyr	Ser	Leu	Ser	Ser 185	Val	Val	Thr	Val	Pro 190	Ser	Ser
55	Ser	Leu	Gly 195	Thr	Lys	Thr	Tyr	Thr 200	Суз	Asn	Val	Asp	His 205	Lys	Pro	Ser
60	Asn	Thr 210	Lys	Val	Asp	Lys	Arg 215	Val	Glu	Ser	Lys	Tyr 220	Gly	Pro	Pro	Cys
65	Pro 225	Pro	Cys	Pro	Ala	Pro 230	Glu	Phe	Leu	Gly	Gly 235	Pro	Ser	Val	Phe	Leu 240

	Phe	Pro	Pro	Lys	Pro 245	Lys	Asp	Thr	Leu	Met 250	Ile	Ser	Arg	Thr	Pro 255	Glu
5	Val	Thr	Cys	Val 260	Val	Val	Asp	Val	Ser 265	Gln	Glu	Asp	Pro	Glu 270	Val	Gln
10	Phe	Asn	Trp 275	Tyr	Val	Asp	Gly	Val 280	Glu	Val	His	Asn	Ala 285	Lys	Thr	Lys
15	Pro	Arg 290	Glu	Glu	Gln	Phe	Asn 295	Ser	Thr	Tyr	Arg	Val 300	Val	Ser	Val	Leu
20	Thr 305	Val	Leu	His	Gln	Asp 310	Trp	Leu	Asn	Gly	Lys 315	Glu	Tyr	Lys	Cys	Lys 320
25	Val	Ser	Asn	Lys	Gly 325	Leu	Pro	Ser	Ser	Ile 330	Glu	Lys	Thr	Ile	Ser 335	Lys
30	Ala	Lys	Gly	Gln 340	Pro	Arg	Glu	Pro	Gln 345	Val	Tyr	Thr	Leu	Pro 350	Pro	Ser
	Gln	Glu	Glu 355	Met	Thr	Lys	Asn	Gln 360	Val	Ser	Leu	Thr	Cys 365	Leu	Val	Lys
35	Gly	Phe 370	Tyr	Pro	Ser	Asp	Ile 375	Ala	Val	Glu	Trp	Glu 380	Ser	Asn	Gly	Gln
40	Pro 385	Glu	Asn	Asn	Tyr	Lys 390	Thr	Thr	Pro	Pro	Val 395	Leu	Asp	Ser	Asp	Gly 400
45	Ser	Phe	Phe	Leu	Tyr 405	Ser	Arg	Leu	Thr	Val 410	Asp	Lys	Ser	Arg	Trp 415	Gln
50	Glu	Gly	Asn	Val 420	Phe	Ser	Cys	Ser	Val 425	Met	His	Glu	Ala	Leu 430	His	Asn
55	His	Tyr	Thr 435	Gln	Lys	Ser	Leu	Ser 440	Leu	Ser	Leu	Gly	Lys 445			
60	<210> 55 <211> 118 <212> PRT <213> Secuence	cia artii	ficial													
	<220> <223> 10G5-2	VH Sir	ntético													
65	<400> 55															

		Glu	Val	Gln	Leu	Val	Gln	Ser	Gly	Ala	Glu	Val	Lys	Lys	Pro	Gly	Glu
		1				5					10					15	
5		Ser	Leu	Lys	Ile 20	Ser	Cys	Lys	Gly	Ser 25	Gly	Tyr	Ser	Phe	Thr 30	Ser	Tyr
10		Trp	Ile	Gly 35	Trp	Val	Arg	Gln	Met 40	Pro	Gly	Lys	Gly	Léu 45	Glu	Trp	Met
15		Gly	Val 50	Ile	Tyr	Pro	Gly	Asp 55	Ser	Tyr	Thr	Arg	Tyr 60	Ser	Pro	Ser	Phe
20		Gln 65	Gly	Gln	Val	Thr	Ile 70	Ser	Ala	Asp	Lys	Ser 75	Ile	Ser	Thr	Ala	Tyr 80
25		Leu	Gln	Trp	Ser	Ser 85	Leu	Lys	Ala	Ser	Asp 90	Thr	Ala	Met	Tyr	Tyr 95	Cys
		Val	Arg	Met	Pro 100	Asn	Trp	Gly	Ser	Leu 105	Asp	His	Trp	Gly	Gln 110	Gly	Thr
30		Leu	Val	Thr 115	Val	Ser	Ser										
35	<210> 56 <211> 133 <212> ADI <213> Sec	N	a artifi	cial													
40	<220> <223> Cad	dena p	esada	a de 10)G5-2	sintéti	со										
45	<400> 56																
50																	
55																	
60																	
0.5																	
65																	

	gaggtgcagc	tggtgcagtc	tggagcagag	gtgaaaaagc	ccggggagtc	tctgaagatc	60
_	tcctgtaagg	gttctggata	cagctttacc	agctactgga	tcggctgggt	gcgccagatg	120
5	cccgggaaag	gcctggagtg	gatgggggtc	atctatcctg	gtgactctta	taccagatac	180
	agcccgtcct	tccaaggcca	ggtcaccatc	tcagccgaca	agtccatcag	caccgcctac	240
10	ctgcagtgga	gcagcctgaa	ggcctcggac	accgccatgt	attactgtgt	gagaatgccc	300
	aactggggct	cactggacca	ttggggccag	ggaaccctgg	tcaccgtctc	ctcagcctcc	360
	accaagggcc	catccgtctt	cccctggcg	ccctgctcca	ggagcacctc	cgagagcaca	420
15	gccgccctgg	gctgcctggt	caaggactac	ttccccgaac	cggtgacggt	gtcgtggaac	480
	tcaggcgccc	tgaccagcgg	cgtgcacacc	ttcccggctg	tcctacagtc	ctcaggactc	540
20	tactccctca	gcagcgtggt	gaccgtgccc	tccagcagct	tgggcacgaa	gacctacacc	600
20	tgcaacgtag	atcacaagcc	cagcaacacc	aaggtggaca	agagagttga	gtccaaatat	660
	ggtcccccat	gcccaccatg	cccagcacct	gagttcctgg	ggggaccatc	agtcttcctg	720
25	ttccccccaa	aacccaagga	cactctcatg	atctcccgga	cccctgaggt	cacgtgcgtg	780
	gtggtggacg	tgagccagga	agaccccgag	gtccagttca	actggtacgt	ggatggcgtg	840
	gaggtgcata	atgccaagac	aaagccgcgg	gaggagcagt	tcaacagcac	gtaccgtgtg	900
30	gtcagcgtcc	tcaccgtcct	gcaccaggac	tggctgaacg	gcaaggagta	caagtgcaag	960
	gtctccaaca	aaggcctccc	gtcctccatc	gagaaaacca	tctccaaagc	caaagggcag	1020
35	ccccgagagc	cacaggtgta	caccctgccc	ccatcccagg	aggagatgac	caagaaccag	1080
55	gtcagcctga	cctgcctggt	caaaggcttc	taccccagcg	acatcgccgt	ggagtgggag	1140
	agcaatgggc	agccggagaa	caactacaag	accacgcctc	ccgtgctgga	ctccgacggc	1200
40	tccttcttcc	tctacagcag	gctaaccgtg	gacaagagca	ggtggcagga	ggggaatgtc	1260
	ttctcatgct	ccgtgatgca	tgaggctctg	cacaaccact	acacacagaa	gagcctctcc	1320
	ctgtctctgg	gtaaatga					1338

45

<210> 57

<211> 354 <212> ADN

50 <213> Secuencia artificial

<220>

<223> 10G5-2 VH Sintético

55 <400> 57

60

		gaggt	gcag	c tgg	gtgca	.gtc	tggaç	gcaga	g gto	gaaaa	agc	ccgg	ggagt	c tc	tgaaq	gatc	60	ļ
5		tcctg	taag	g gtt	ctgg	ata	cagct	ttac	c ag	ctact	gga	tcgg	ctggg	rt gc	gccaç	gatg	120)
5		cccgg	gaaa	g gcd	ctgga	gtg	gatg	ggggt	c at	ctato	ctg	gtga	ctctt	a ta	ccaga	atac	180)
		agccc	gtcc	t tco	caagg	rcca	ggtca	accat	c tc	agcco	jaca	agtc	catca	ıg ca	ccgcd	ctac	240)
10		ctgca	ıgtgg	a gca	agcct	gaa	ggcct	cgga	c ac	cgcca	ıtgt	atta	ctgtg	jt ga	gaato	gccc	300)
		aactg	ldddc.	t cad	ctgga	cca	ttggg	gcca	g gg	aacco	etgg	tcac	cgtct	c ct	ca		354	ļ
15	<210><211><212><212><213>	445	ncia ar	tificial														
20	<220>				10G5-	4.5 sir	ntético											
25	<400>					.,.												
		Glu 1	Val	Gln	Leu	Val 5	Gln	Ser	Gly	Ala	Glu 10	Val	Lys	Lys	Pro	Gly 15	Glu	
30																		
		Ser	Leu	Lys	Ile 20	Ser	Сув	Lys	Gly	Ser 25	Gly	Tyr	Ser	Phe	Thr 30	Ser	Tyr	
35																		
40																		
45																		
50																		
55																		
60																		
65																		

	Trp	Ile	Gly 35	Trp	Val	Arg	Gln	Met 40	Pro	Gly	Lys	Gly	Leu 45	Glu	Trp	Met
5	Gly	Val 50	Ile	Tyr	Pro	Gly	Asp 55	Ser	Tyr	Thr	Arg	Tyr 60	Ser	Pro	Ser	Phe
10	Gln 65	Gly	Gln	Val	Thr	Ile 70	Ser	Ala	Asp	Lys	Ser 75	Ile	Ser	Thr	Ala	Tyr 80
15	Leu	Gln	Trp	Ser	Ser 85	Leu	Lys	Ala	Ser	Asp 90	Thr	Ala	Met	Tyr	Tyr 95	Суз
20	Val	Arg	Met	Pro 100	Asn	Trp	Gly	Ser	Leu 105	Asp	His	Trp	Gly	Gln 110	Gly	Thr
20	Leu	Val	Thr 115	Val	Ser	Ser	Ala	Ser 120	Ile	Lys	Gly	Pro	Ser 125	Val	Phe	Pro
25	Leu	Ala 130	Pro	Суз	Ser	Arg	Ser 135	Thr	Ser	Glu	Ser	Thr 140	Ala	Ala	Leu	Gly
30	Cys 145	Leu	Val	Lys	Asp	Tyr 150	Phe	Pro	Glu	Pro	Val 155	Thr	Val	Ser	Trp	Asn 160
35	Ser	Gly	Ala	Leu	Thr 165	Ser	Gly	Val	His	Thr 170	Phe	Pro	Ala	Val	Leu 175	Gln
40	Ser	Ser	Gly	Leu 180	Tyr	Ser	Leu	Ser	Ser 185	Val	Val	Thr	Val	Pro 190	Ser	Ser
	Ser	Leu	Gly 195	Thr	Lys	Thr	Tyr	Thr 200	Суз	Asn	Val	Asp	His 205	Lys	Pro	Ser
45	Asn	Thr 210	Lys	Val	Asp	Lys	Arg 215	Val	Glu	Ser	Lys	Tyr 220	Gly	Pro	Pro	Cys
50	Pro 225		Cys	Pro	Ala	Pro 230	Glu	Phe	Leu	Gly	Gly 235	Pro	Ser	Val	Phe	Leu 240
55	Phe	Pro	Pro	Lys	Pro 245	Lys	Asp	Thr	Leu	Met 250	Ile	Ser	Arg	Thr	Pro 255	Glu
60	Val	Thr	Cys	Val 260	Val	Val	Asp	Val	Ser 265	Gln	Glu	Asp	Pro	Glu 270	Val	Gln
	Phe	Asn	Trp 275	_	Val	Asp	Gly	Val 280	Glu	Val	His	Asn	Ala 285	Lys	Thr	Lys
65																

			Pro	Arg 290	Glu	Glu	Gln	Phe	Asn 295	Ser	Thr	Tyr	Arg	Val 300	Val	Ser	Val	Leu
5			Thr 305	Val	Leu	His	Gln	Asp 310	Trp	Leu	Asn	Gly	Lys 315	Glu	Tyr	Lys	Cys	Lys 320
10			Val	Ser	Asn	Lys	Gly 325	Leu	Pro	Ser	Ser	Ile 330	Glu	Lys	Thr	Ile	Ser 335	Lys
15			Ala	Lys	<u> Gl</u> y	Gln 340	Pro	Arg	Glu	Pro	Gln 345	Val	Tyr	Thr	Leu	Pro 350	Pro	Ser
20			Gln	Glu	Glu 355	Met	Thr	Lys	Asn	Gln 360	Val	Ser	Leu	Thr	Cys 365	Leu	Val	Lys
25			Gly	Phe 370	Tyr	Pro	Ser	Asp	Ile 375	Ala	Val	Glu	Trp	Glu 380	Ser	Asn	Gly	Gln
30			Pro 385	Glu	Asn	Asn	Tyr	Lys 390	Thr	Thr	Pro	Pro	Val 395	Leu	Asp	Ser	Asp	Gly 400
30			Ser	Phe	Phe	Leu	Tyr 405	Ser	Arg	Leu	Thr	Val 410	Asp	Lys	Ser	Arg	Trp 415	Gln
35			Glu	Gly	Asn	Val 420	Phe	Ser	Суз	Ser	Val 425	Met	His	Glu	Ala	Leu 430	His	Asn
40			His	Tyr	Thr 435	Gln	Lys	Ser	Leu	Ser 440	Leu	Ser	Leu	Gly	Lys 445			
45	<210> <211> <212> <213>	118 PRT	encia	artifici	al													
50	<220> <223>	10G5	5-4,5 \	/H Sin	tético													
	<400>	59																
55		Glu 1	Val	Gln	Leu	Val 5	Gln	Ser	Gly	Ala	Glu 10	Val	Lys	Lys	Pro	Gly 15	Glu	
60		Ser	Leu	Lys	Ile 20	Ser	Суз	Lys	Gly	Ser 25	Gly	Tyr	Ser	Phe	Thr 30	Ser	Tyr	
65		Trp	Ile	Gly 35	Trp	Val	Arg	Gln	Met 40	Pro	Gly	Lys	Gly	Leu 45	Glu	Trp	Met	

		Gly	Val 50	Ile	Tyr	Pro	Gly	Asp 55	Ser	Tyr	Thr	Arg	Tyr 60	Ser	Pro	Ser	Phe
5		Gln 65	Gly	Gln	Val	Thr	Ile 70	Ser	Ala	Asp	Lys	Ser 75	Ile	Ser	Thr	Ala	Tyr 80
10		Leu	Gln	Trp	Ser	Ser 85	Leu	Lys	Ala	Ser	Asp 90	Thr	Ala	Met	Tyr	Tyr 95	Cys
15		Val	Arg	Met	Pro 100	Asn	Trp	Gly	Ser	Leu 105	Asp	His	Trp	Gly	Gln 110	Gly	Thr
20		Leu	Val	Thr 115	Val	Ser	Ser										
25	<210> 60 <211> 133 <212> ADN <213> Sec	N	a artific	cial													
	<220> <223> Cad	lena p	esada	de 10)G5-4	sintéti	СО										
30	<400> 60																
35																	
40																	
45																	
50																	
55																	
60																	
65																	

	gaggtgca	.gc tg	gtgcagtc	tggagcagag	gtgaaaaagc	ccggggagtc	tctgaagatc	60
	tcctgtaa	.gg gt1	tctggata	cagctttacc	agctactgga	tcggctgggt	gcgccagatg	120
5	cccgggaa	ag gc	ctggagtg	gatgggggtc	atctatcctg	gtgactctta	taccagatac	180
	agcccgtc	ct tc	caaggcca	ggtcaccatc	tcagccgaca	agtccatcag	caccgcctac	240
	ctgcagtg	ga gca	agcctgaa	ggcctcggac	accgccatgt	attactgtgt	gagaatgccc	300
10	aactgggg	ct ca	ctggacca	ttggggccag	ggaaccctgg	tcaccgtctc	ctcagcctcc	360
	atcaaggg	cc cat	tccgtctt	cccctggcg	ccctgctcca	ggagcacctc	cgagagcaca	420
15	gccgccct	gg gct	tgcctggt	caaggactac	ttccccgaac	cggtgacggt	gtcgtggaac	480
	tcaggcgc	cc tg	accagcgg	cgtgcacacc	ttcccggctg	tcctacagtc	ctcaggactc	540
	tactccct	ca gc	agcgtggt	gaccgtgccc	tccagcagct	tgggcacgaa	gacctacacc	600
20	tgcaacgt	ag at	cacaagcc	cagcaacacc	aaggtggaca	agagagttga	gtccaaatat	660
	ggtcccc	at gc	ccaccatg	cccagcacct	gagttcctgg	ggggaccatc	agtcttcctg	720
25	ttccccc	aa aa	cccaagga	cactctcatg	atctcccgga	cccctgaggt	cacgtgcgtg	780
	gtggtgga	cg tg	agccagga	agaccccgag	gtccagttca	actggtacgt	ggatggcgtg	840
	gaggtgca	ta at	gccaagac	aaagccgcgg	gaggagcagt	tcaacagcac	gtaccgtgtg	900
30	gtcagcgt	cc tc	accgtcct	gcaccaggac	tggctgaacg	gcaaggagta	caagtgcaag	960
	gtctccaa	ıca aa	ggcctccc	gtcctccatc	gagaaaacca	tctccaaagc	caaagggcag	1020
	ccccgaga	gc cad	caggtgta	caccctgccc	ccatcccagg	aggagatgac	caagaaccag	1080
35	gtcagcct	ga cct	tgcctggt	caaaggcttc	taccccagcg	acatcgccgt	ggagtgggag	1140
	agcaatgg	gc ago	ccggagaa	caactacaag	accacgcctc	ccgtgctgga	ctccgacggc	1200
40	tccttctt	ec te	tacagcag	gctaaccgtg	gacaagagca	ggtggcagga	ggggaatgtc	1260
	ttctcatg	ct cc	gtgatgca	tgaggctctg	cacaaccact	acacacagaa	gagcctctcc	1320
	ctgtctct	.gg gta	aaatga					1338
45	<210> 61							
	<211> 354							
	<212> ADN <213> Secuencia a	rtificial						
50		itiliciai						
	<220> <223> 10G5-4,5 VH	l Sintéti	со					
	<400> 61							
55								

		gag	gtgc	agc t	ggtgc	agtc	tgga	gcaga	g gtg	aaaaa	igc co	gggg	agtc	tctga	agato	3	60
		tcc	tgta	agg g	ttctg	gata	cagci	ttac	c agc	tactg	ga to	cggct	gggt	gcgcc	agato	.	120
5		ccc	ggga	aag g	cctgg	agtg	gatg	gggt	c atc	tatco	tg gt	tgact	ctta	tacca	gatac	2	180
		ago	ccgt	cct t	ccaag	gcca	ggtc	accat	c tca	.gccga	ica aç	gtcca	tcag	cacco	cctac	2 :	240
		cto	gcagt	gga g	cagco	tgaa	ggcci	cgga	c acc	gccat	gt at	ttact	gtgt	gagaa	tgccd	3	300
10		aac	tggg	gat a	actgg	acca	ttgg	ggcca	g gga	accct	gg to	caccg	tctc	ctca			354
15	<210> 62 <211> 44 <212> PF <213> Se	5 RT	cia arti	ificial													
20	<220> <223> Ca		pesac	da de	10G5-6	6,8 sin	tético										
25			Val	Gln	Leu	Val 5	Gln	Ser	Gly	Ala	Glu 10	Val	Lys	Lys	Pro	Gly 15	Glu
30		Ser	Leu	Lys	Ile 20	Ser	Суз	Lys	Gly	Ser 25	Gly	Tyr	Ser	Phe	Thr 30	Ser	Tyr
		Trp	Ile	Gly 35	Trp	Val	Arg	Gln	Met 40	Pro	Gly	Lys	Gly	Leu 45	Glu	Trp	Met
35		Gly	Val 50	Ile	Tyr	Pro	Gly	Asp 55	Ser	Tyr	Thr	Arg	Tyr 60	Ser	Pro	Ser	Phe
40		Gln	Gly	Gln	Val	Thr	Ile	Ser	Ala	Asp	Lys	Ser	Ile	Ser	Thr	Ala	Tyr
45																	
50																	
55																	
60																	
65																	

	65					70					75					80
5	Leu	Gln	Trp	Ser	Ser 85	Leu	Lys	Ala	Ser	Asp 90	Thr	Ala	Met	Tyr	Tyr 95	Cys
10	Ala	Arg	Met	Pro 100	Asn	Trp	Gly	Ser	Leu 105	Asp	His	Trp	Gly	Gln 110	Gly	Thr
15	Leu	Val	Thr 115	Val	Ser	Ser	Ala	Ser 120	Thr	Lys	Gly	Pro	Ser 125	Val	Phe	Pro
20		Ala 130	Pro	Сув	Ser	Arg	Ser 135	Thr	Ser	Glu	Ser	Thr 140	Ala	Ala	Leu	Gly
	Cys 145	Leu	Val	Lys	Asp	Tyr 150	Phe	Pro	Glu	Pro	Val 155	Thr	Val	Ser	Trp	Asn 160
25	Ser	Gly	Ala	Leu	Thr 165	Ser	Gly	Val	His	Thr 170	Phe	Pro	Ala	Val	Leu 175	Gln
30	Ser	Ser	Gly	Leu 180	Tyr	Ser	Leu	Ser	Ser 185	Val	Val	Thr	Val	Pro 190	Ser	Ser
35	Ser	Leu	Gly 195	Thr	Lys	Thr	Tyr	Thr 200	Cys	Asn	Val	Asp	His 205	Lys	Pro	Ser
40	Asn	Thr 210	Lys	Val	Asp	Lys	Arg 215	Val	Glu	Ser	Lys	Tyr 220	Gly	Pro	Pro	Cys
45	Pro 225	Pro	Cys	Pro	Ala	Pro 230	Glu	Phe	Leu	Gly	Gly 235	Pro	Ser	Val	Phe	Leu 240
50	Phe	Pro	Pro	Lys	Pro 245	Lys	Asp	Thr	Leu	Met 250	Ile	Ser	Arg	Thr	Pro 255	Glu
	Val	Thr	Cys	Val 260	Val	Val	Asp	Val	Ser 265	Gln	Glu	Asp	Pro	Glu 270	Val	Gln
55	Phe	Asn	Trp 275	Tyr	Val	Asp	Gly	Val 280	Glu	Val	His	Asn	Ala 285	Lys	Thr	Lys
60	Pro	Arg 290	Glu	Glu	Gln	Phe	Asn 295	Ser	Thr	Tyr	Arg	Val 300	Val	Ser	Val	Leu
65	Thr 305	Val	Leu	His	Gln	Asp 310	Trp	Leu	Asn	Gly	Lys 315	Glu	Tyr	Lys	Суз	Lys 320

		Val	Ser	Asn	Lys	Gly 325	Leu	Pro	Ser	Ser	Ile 330	Glu	Lys	Thr	Ile	Ser 335	Lys
5		Ala	Lys	Gly	Gln 340	Pro	Arg	Glu	Pro	Gln 345	Val	Tyr	Thr	Leu	Pro 350	Pro	Ser
10		Gln	Glu	Glu 355	Met	Thr	Lys	Asn	Gln 360	Val	Ser	Leu	Thr	Cys 365	Leu	Val	Lys
15		Gly	Phe 370	Tyr	Pro	Ser	Asp	Ile 375	Ala	Val	Glu	Trp	Glu 380	Ser	Asn	Gly	Gln
20		Pro 385	Glu	Asn	Asn	Tyr	Lys 390	Thr	Thr	Pro	Pro	Val 395	Leu	Asp	Ser	Asp	Gly 400
25		Ser	Phe	Phe	Leu	Tyr 405	Ser	Arg	Leu	Thr	Val 410	Asp	Lys	Ser	Arg	Trp 415	Gln
30		Glu	Gly	Asn	Val 420	Phe	Ser	Суз	Ser	Val 425	Met	His	Glu	Ala	Leu 430	His	Asn
00		His	Tyr	Thr 435	Gln	Lys	Ser	Leu	Ser 440	Leu	Ser	Leu	Gly	Lys 445			
35	<210> 63 <211> 11 <212> PF	18															
40	<213> Se <220> <223> 10				ю												
45	<400> 63	3															
50																	
55																	
60																	
65																	

		Glu 1	Val	Gln	Leu	Val 5	Gln	Ser	Gly	Ala	Glu 10	Val	Lys	Lys	Pro	Gly 15	Glu
5		Ser	Leu	Lys	Ile 20	Ser	Суз	Lys	Gly	Ser 25	Gly	Tyr	Ser		Thr 30	Ser	Tyr
10		Trp	Ile	Gly 35	Trp	Val	Arg	Gln	Met 40	Pro	Gly	Lys	Gly	Leu 45	Glu	Trp	Met
15		Gly	Val 50	Ile	Tyr	Pro	Gly	Asp 55	Ser	Tyr	Thr	Arg	Tyr 60	Ser	Pro	Ser	Phe
20		Gln 65	Gly	Gln	Val	Thr	Ile 70	Ser	Ala	Asp	Lys	Ser 75	Ile	Ser	Thr	Ala	Tyr 80
		Leu	Gln	Trp	Ser	Ser 85	Leu	Lys	Ala	Ser	Asp	Thr	Ala	Met	Tyr	Tyr 95	Сув
25		••-	•	30-A-	5			01	9	•	•	*** -		61	01	01	mh -
30		Ala	Arg	Met	Pro 100	Asn	Trp	GТĀ	ser	105	Asp	HIS	Trp	GIĀ	110	СТĀ	Tni
		Leu	Val	Thr 115	Val	Ser	Ser										
35	<210> 64 <211> 133 <212> ADI																
40	<213> Sec <220> <223> Cac	uencia)G5-6,	8 VH	sintéti	со									
45	<400> 64																
50																	
55																	
60																	
65																	

	gaggtgcagc	tggtgcagtc	tggagcagag	gtgaaaaagc	ccggggagtc	tctgaagatc	60
	tcctgtaagg	gttctggata	cagctttacc	agctactgga	tcggctgggt	gcgccagatg	120
5	cccgggaaag	gcctggagtg	gatgggggtc	atctatcctg	gtgactctta	taccagatac	180
	agcccgtcct	tccaaggcca	ggtcaccatc	tcagccgaca	agtccatcag	caccgcctac	240
	ctgcagtgga	gcagcctgaa	ggcctcggac	accgccatgt	attactgtgc	gagaatgccc	300
10	aactggggct	cacttgacca	ttggggccag	ggaaccctgg	tcaccgtctc	ctcagcctcc	360
	accaagggcc	catccgtctt	cccctggcg	ccctgctcca	ggagcacctc	cgagagcaca	420
15	gccgccctgg	gctgcctggt	caaggactac	ttccccgaac	cggtgacggt	gtcgtggaac	480
	tcaggcgccc	tgaccagcgg	cgtgcacacc	ttcccggctg	tcctacagtc	ctcaggactc	540
20	tactccctca	gcagcgtggt	gaccgtgccc	tccagcagct	tgggcacgaa	gacctacacc	600
20	tgcaacgtag	atcacaagcc	cagcaacacc	aaggtggaca	agagagttga	gtccaaatat	660
	ggtcccccat	gcccaccatg	cccagcacct	gagttcctgg	ggggaccatc	agtetteetg	720
25	ttccccccaa	aacccaagga	cactctcatg	atctcccgga	cccctgaggt	cacgtgcgtg	780
	gtggtggacg	tgagccagga	agaccccgag	gtccagttca	actggtacgt	ggatggcgtg	840
	gaggtgcata	atgccaagac	aaagccgcgg	gaggagcagt	tcaacagcac	gtaccgtgtg	900
30	gtcagcgtcc	tcaccgtcct	gcaccaggac	tggctgaacg	gcaaggagta	caagtgcaag	960
	gtctccaaca	aaggcctccc	gtcctccatc	gagaaaacca	tctccaaagc	caaagggcag	1020
35	ccccgagagc	cacaggtgta	caccctgccc	ccatcccagg	aggagatgac	caagaaccag	1080
	gtcagcctga	cctgcctggt	caaaggcttc	taccccagcg	acatcgccgt	ggagtgggag	1140
40	agcaatgggc	agccggagaa	caactacaag	accacgcctc	ccgtgctgga	ctccgacggc	1200
	tccttcttcc	tctacagcag	gctaaccgtg	gacaagagca	ggtggcagga	ggggaatgtc	1260
	ttctcatgct	ccgtgatgca	tgaggctctg	cacaaccact	acacacagaa	gagcctctcc	1320
15	ctgtctctgg	gtaaatga					1338

<210> 65

<211> 354 <212> ADN <213> Secuencia artificial 50

<223> 10G5-6,8 VH sintético

<400> 65 55

60

		gaggt	gcag	c tgç	jtgca	gtc 1	ggag	cagaç	g gtg	aaaaa	agc c	cggg	gagtc	tct	gaaga	tc	60
		tccto	gtaag	g gtt	ctgg	ata d	cagct	ttaco	c agc	tacto	gga t	cggct	tgggt	gcg	ccaga	tg	120
5		cccg	ggaaa	g gcc	tgga	gtg q	gatgg	gggto	c atc	tatco	ctg g	rtgaci	tctta	tace	cagat	ac	180
		agcco	egtee	t tco	aagg	cca q	ggtca	ccato	tca	.gccga	aca a	gtcc	atcag	cac	cgcct	ac	240
10		ctgca	agtgg	a gca	igcct	gaa q	ggcct	cggad	c acc	gccat	cgt a	ttaci	tgtgc	gag	aatgo	cc	300
10		aacto	gggc	t cac	ttga	cca 1	ttggg	gcca	g gga	accct	.gg t	cacc	gtctc	ctc	a		354
15	<210> 6 <211> 4 <212> P <213> S	45 PRT	cia arti	ficial													
20	<220> <223> C	adena	pesad	la 10G	5-7 siı	ntético)										
	<400> 6	6															
25		Glu 1	Val	Gln	Leu	Val 5	Gln	Ser	Gly	Ala	Glu 10	Val	Lys	Lys	Pro	Gly 15	Glu
30		Ser	Leu	Lys	Ile 20	Ser	Суз	Lys	Gly	Ser 25	Gly	Tyr	Ser	Phe	Thr 30	Ser	Tyr
35		Trp	Ile	Gly 35	Trp	Val	Arg	Gln	Met 40	Pro	Gly	Lys	Gly	Leu 45	Glu	Trp	Met
40		Gly	Val 50	Ile	Tyr	Pro	Gly	Asp 55	Ser	Tyr	Thr	Arg	Tyr 60	Ser	Pro	Ser	Phe
45		Gln 65	Gly	Gln	Val	Thr	Ile 70	Ser	Ala	Asp	Lys	Ser 75	Ile	Ser	Thr	Ala	Tyr 80
		Leu	Gln	Trp	Ser	Ser 85	Leu	Lys	Ala	Ser	Asp 90	Thr	Ala	Met	Tyr	Tyr 95	Cys
50		Ala	Arg	Met	Pro 100	Asn	Trp	Gly	Ser	Leu 105	Asp	His	Trp	Gly	Gln 110	Gly	Thr
55																	
60																	

	Leu	Val	Thr 115	Val	Ser	Ser	Ala	Ser 120	Ile	Lys	Gly	Pro	Ser 125	Val	Phe	Pro
5	Leu	Ala 130	Pro	Cys	Ser	Arg	Ser 135	Thr	Ser	Glu	Ser	Thr 140	Ala	Ala	Leu	Gly
10	Cys 145	Leu	Val	Lys	Asp	Туг 150	Phe	Pro	Glu	Pro	Val 155	Thr	Val	Ser	Trp	Asn 160
15	Ser	Gly	Ala	Leu	Thr 165	Ser	Gly	Val	His	Thr 170	Phe	Pro	Ala	Val	Leu 175	Gln
20	Ser	Ser	Gly	Leu 180	Tyr	Ser	Leu	Ser	Ser 185	Val	Val	Thr	Val	Pro 190	Ser	Ser
25	Ser	Leu	Gly 195	Thr	Lys	Thr	Tyr	Thr 200	Суз	Asn	Val	Asp	His 205	Lys	Pro	Ser
23	Asn	Thr 210	Lys	Val	Asp	Lys	Arg 215	Val	Glu	Ser	Lys	Tyr 220	Gly	Pro	Pro	Суз
30	Pro 225	Pro	Суз	Pro	Ala	Pro 230	Glu	Phe	Leu	Gly	Gly 235	Pro	Ser	Val	Phe	Leu 240
35	Phe	Pro	Pro	Lys	Pro 245	Lys	Asp	Thr	Leu	Met 250	Ile	Ser	Arg	Thr	Pro 255	Glu
40	Val	Thr	Cys	Val 260	Val	Val	Asp	Val	Ser 265	Gln	Glu	Asp	Pro	Glu 270	Val	Gln
45	Phe	Asn	Trp 275	Tyr	Val	Asp	Gly	Val 280	Glu	Val	His	Asn	Ala 285	Lys	Thr	Lys
	Prō	Arg 290	Glu	Glu	Gln	Phe	Asn 295	Ser	Thr	Tyr	Arg	Val 300	Val	Ser	Val	Leu
50	Thr 305	Val	Leu	His	Gln	Asp 310	Trp	Leu	Asn	Gly	Lys 315	Glu	Tyr	Lys	Суз	Lys 320
55	Val	Ser	Asn	Lys	Gly 325	Leu	Pro	Ser	Ser	Ile 330	Glu	Lys	Thr	Ile	Ser 335	Lys
60	Ala	Lys	Gly	Gln 340	Pro	Arg	Glu	Pro	Gln 345	Val	Tyr	Thr	Leu	Pro 350	Pro	Ser
65	Gln	Glu	Glu 355	Met	Thr	Lys	Asn	Gln 360	Val	Ser	Leu	Thr	Су з 365	Leu	Val	Lys

		G.	lу	Phe 370		r P	ro	Ser	Asp	37		la	Val	Glu	ı Tz		31u 380	Sei	r A:	sn G	Sly	Gln
5			ro 85	Glu	. As	sn A	sn	Tyr	Lys 390		r T	hr	Pro	Pro) Va		eu	Ası	o Se	er A	Asp	Gly 400
10		Se	er	Phe	Pì	ne L	eu	Tyr 405	Ser	: Ar	g L	eu	Thr	Va]		p I	'nλa	Sei	r A:		rp 115	Gln
15		G:	lu	Gly	As		al 20	Phe	Ser	: C3	7s S	er	Val 425	Met	. Hi	.s @	Slu	Ala		eu F 30	lis	Asn
20		H:	is	Tyr		nr G 35	ln	Lys	Ser	: Le		er 40	Leu	Ser	: Le	eu G	Sly	Ly:	_			
25	<210><211><211><212><213>	• 118 • PRT		ia ar	tificia	al																
	<220> <223>		5-7 \	√H si	ntéti	ico																
30	<400>	67																				
35		Glu 1	Va	.1 G	ln	Leu	Va 5	1 G	ln S	er	Gly	Al	a G: 1		'al	Lys	L	/s I	Pro	Gly 15	G1	u
		Ser	Le	u L	iys	Ile 20	Se	r C	ys I	ys	Gly	Se 25		ly T	'yr	Ser	· Pł		Thr 30	Ser	ту	r
40		Trp	11		1y 55	Trp	Va	1 A:	rg G	ln	Met 40	Pr	o G	ly I	ıys	Gly	' Le 45		Slu	Trp	Me	t
45		Gly	V a 50		le	Tyr	Pr	o G	•••	sp 5	Ser	Ту	r T	hr A	ırg	Tyr 60	: S€	er E	Pro	Ser	: Ph	e
50		Gln 65	G1	. y G	ln	Val	Th	r I: 7		er	Ala	. As	p L	_	er '5	Ile	s S€	er 1	Thr	Ala	ту 80	
55		Leu	G1	n T	'rp	Ser	Se 85	r L	eu I	ys	Ala	. Se	r A		hr.	Ala	ı Me	et 1	ľyr	Tyr 95	: Су	s
60		Ala	Ar	g M	let	Pro 100		n T	rp G	Зly	Ser	Le	_	sp H	lis	Trp	G]	_	31n 110	Gly	Th	r
65		Leu	Va		hr .15	Val	Se	er S	er						,							

60	<210> 69 <211> 354	
	ctgtctctgg gtaaatga	1338
55	ttctcatgct ccgtgatgca tgaggctctg cacaaccact acacacagaa gagcctctcc	1320
	teettettee tetacageag getaacegtg gacaagagea ggtggeagga ggggaatgte	1260
50	agcaatgggc agccggagaa caactacaag accacgcctc ccgtgctgga ctccgacggc	1200
	gtcagcctga cctgcctggt caaaggcttc taccccagcg acatcgccgt ggagtgggag	1140
. •	ccccgagagc cacaggtgta caccctgccc ccatcccagg aggagatgac caagaaccag	1080
45	gtotocaaca aaggootoco gtootocato gagaaaacca totocaaago caaagggcag	1020
	gtcagcgtcc tcaccgtcct gcaccaggac tggctgaacg gcaaggagta caagtgcaag	960
40	gaggtgcata atgccaagac aaagccgcgg gaggagcagt tcaacagcac gtaccgtgtg	900
	gtggtggacg tgagccagga agaccccgag gtccagttca actggtacgt ggatggcgtg	840
35	ggtcccccat gcccaccatg cccagcacct gagttcctgg ggggaccatc agtcttcctg ttccccccaa aacccaagga cactctcatg atctcccgga cccctgaggt cacgtgcgtg	780
	tgcaacgtag atcacaagcc cagcaacacc aaggtggaca agagagttga gtccaaatat	660 720
	tactccctca gcagcgtggt gaccgtgccc tccagcagct tgggcacgaa gacctacacc	600
30	tcaggcgccc tgaccagcgg cgtgcacacc ttcccggctg tcctacagtc ctcaggactc	540
	geegeeetgg getgeetggt eaaggaetae tteeeegaae eggtgaeggt gtegtggaae	480
25	atcaagggcc catccgtctt ccccctggcg ccctgctcca ggagcacctc cgagagcaca	420
	aactggggct cacttgacca ttggggccag ggaaccctgg tcaccgtctc ctcagcctcc	360
20	ctgcagtgga gcagcctgaa ggcctcggac accgccatgt attactgtgc gagaatgccc	300
	agecegteet tecaaggeea ggteaceate teageegaea agtecateag cacegeetae	240
	cccgggaaag gcctggagtg gatgggggtc atctatcctg gtgactctta taccagatac	180
15	tcctgtaagg gttctggata cagctttacc agctactgga tcggctgggt gcgccagatg	120
	gaggtgcagc tggtgcagtc tggagcagag gtgaaaaagc ccggggagtc tctgaagatc	60
10	<400> 68	
	<223> Cadena pesada de 10G5-7 sintético	
5	<220>	
	<212> ADN <213> Secuencia artificial	
	<210> 68 <211> 1338	

65

<212> ADN <213> Secuencia artificial

	<220> <223> 10G5-	-7 VH Sii	ntético					
5	<400> 69							
3	gaggt	gcagc	tggtgcagtc	tggagcagag	gtgaaaaagc	ccggggagtc	tctgaagatc	60
	teetg	taagg	gttctggata	cagctttacc	agctactgga	tcggctgggt	gcgccagatg	120
10	cccgg	gaaag	gcctggagtg	gatgggggtc	atctatcctg	gtgactctta	taccagatac	180
	agccc	gtcct	tccaaggcca	ggtcaccatc	tcagccgaca	agtccatcag	caccgcctac	240
15	ctgca	gtgga	gcagcctgaa	ggcctcggac	accgccatgt	attactgtgc	gagaatgccc	30.0
	aactg	gggct	cacttgacca	ttggggccag	ggaaccctgg	tcaccgtctc	ctca	354
20	<210> 70 <211> 211 <212> PRT <213> Secue	encia arti	ificial					
25	<220> <223> Cader	na ligera	de 10G5-1,2,4,6	6,7 sintético				
	<400> 70							
30								
35								
55								
40								
45								
50								
55								
55								
60								
65								

	G 1		Ile	Val	Leu	Thr 5	Gln	Ser	Pro	Gly	Thr 10	Leu	Ser	Leu	Ser	Pro 15	Gly
5	G	lu	Arg	Ala	Thr 20	Leu	Ser	Cys	Arg	A la 25	Ser	Gln	Ser	Ile	Ser 30	Ser	Ser
10	т	yr	Leu	Ala 35	Trp	Tyr	Gln	Gln	Lys 40	Pro	Gly	Gln	Ala	Pro 45	Arg	Leu	Leu
15	I	le	Tyr 50	Gly	Ala	Ser	Ser	Arg 55	Ala	Thr	Gly	Ile	Pro 60	Asp	Arg	Phe	Ser
20		ly 5	Ser	Gly	Ser	Gly	Thr 70	Asp	Phe	Thr	Leu	Thr 75	Ile	Ser	Arg	Leu	Glu 80
25	P	ro	Glu	Asp	Phe	Ala 85	Val	Tyr	Tyr	Cys	Gln 90	Gln	Tyr	Ala	Ser	Phe 95	Gly
	G	ln	Gly	Thr	Lys 100	Val	Glu	Ile	Lys	Arg 105	Thr	Val	Ala	Ala	Pro 110	Ser	Val
30	P	he	Ile	Phe 115	Pro	Pro	Ser	Asp	Glu 120	Gln	Leu	Lys	Ser	Gly 125	Thr	Ala	Ser
35	v	al'	Val 130	Cys	Leu	Leu	Asn	Asn 135	Phe	Tyr	Pro	Arg	Glu 140	Ala	Lys	Val	Gln
40	T	'rp	Lys	Val	Asp	Asn	Ala	Leu	Gln	Ser	Gly	Asn	Ser	Gln	Glu	Ser	Val
	1	L 4 5					150					155					160
45	ני	Thr	Glu	Gln	Asp	Ser 165	Lys	Asp	Ser	Thr	Tyr 170	Ser	Leu	Ser	Ser	Thr 175	Leu
50	נ	Fhr	Leu	Ser	Lys 180	Ala	Asp	Tyr	Glu	Lys 185	His	Lys	Val	Tyr	Ala 190	Суз	Glu
55	7	Val	Thr	His 195		Gly	Leu	Ser	Ser 200	Pro	Val	Thr	Lys	Ser 205	Phe	Asn	Arg
60	C	Gly	Glu 210	Cys													
65	<210> 71 <211> 104 <212> PR <213> Sec	T	cia art	ificial													

	<220> <223>	10G5-	1,2,4,6	,7 VL \$	Sintétio	co											
5	<400>	71															
		Glu 1	Ile	Val	Leu	Thr 5	Gln	Ser	Pro	Gly	Thr 10	Leu	Ser	Leu	Ser	Pro 15	Gly
10		Glu	Arg	Ala	Thr 20	Leu	Ser	Cys	Arg	Ala 25	Ser	Gln	Ser	Ile	Ser 30	Ser	Ser
15		Tyr	Leu	Ala 35	Trp	Tyr	Gln	Gln	Lys 40	Pro	Gly	Gln	Ala	Pro 45	Arg	Leu	Leu
20		Ile	Tyr 50	Gly	Ala	Ser	Ser	Arg 55	Ala	Thr	Gly		Pro 60	Asp	Arg	Phe	Ser
25		Gly 65	Ser	Gly	Ser	Glÿ	Thr 70	Asp	Phe	Thr	Leu	Thr 75	Ile	Ser	Arg	Leu	Glu 80
30		Pro	Glu	Asp	Phe	Ala 85	Val	Tyr	Tyr	Суз	Gln 90	Gln	Tyr	Ala	Ser	Phe 95	Gly
35		Gln	Gly	Thr	Lys 100	Val	Glu	Ile	Lys								
40	<210><211><211><212><213>	636 ADN	ncia ar	tificial													
	<220> <223>	Caden	a ligera	a de 10)G5-1,	2,4,6,7	⁷ sintét	ico									
45	<400>																
50																	
55																	
60																	
65																	

	gaaattgtgt tgacgcagtc tccaggcacc ctgtctttgt ctccagggga aagagccacc	60
	ctctcctgca gggccagtca gagtattagc agcagctact tagcctggta ccagcagaaa	120
5	cctggccagg ctcccaggct cctcatctat ggtgcatcca gcagggccac tggcatccca	180
	gacaggttca gtggcagtgg gtctgggaca gacttcactc tcaccatcag cagactggag	240
10	cctgaagatt ttgcagtgta ttactgtcag cagtatgctt cgttcggcca agggaccaag	300
10	gtggaaatca aacgtacggt ggctgcacca tctgtcttca tcttcccgcc atctgatgag	360
	cagttgaaat ctggaactgc ctctgttgtg tgcctgctga ataacttcta tcccagagag	420
15	gccaaagtac agtggaaggt ggataacgcc ctccaatcgg gtaactccca ggagagtgtc	480
	acagagcagg acagcaagga cagcacctac agectcagca gcaccctgac gctgagcaaa	540
20	gcagactacg agaaacacaa agtctacgcc tgcgaagtca cccatcaggg cctgagctcg	600
20	cccgtcacaa agagcttcaa caggggagag tgttag	636
25	<210> 73 <211> 312 <212> ADN <213> Secuencia artificial	
30	<220> <223> 10G5-1,2,4,6,7 VL sintético	
	<400> 73	
35	gaaattgtgt tgacgcagtc tccaggcacc ctgtctttgt ctccagggga aagagccacc	60
	ctctcctgca gggccagtca gagtattagc agcagctact tagcctggta ccagcagaaa	120
	cctggccagg ctcccagget cctcatctat ggtgcatcca gcagggccac tggcatccca	180
40	gacaggttca gtggcagtgg gtctgggaca gacttcactc tcaccatcag cagactggag	240
	cctgaagatt ttgcagtgta ttactgtcag cagtatgctt cgttcggcca agggaccaag	300
45	gtggaaatca aa	312
50	<210> 74 <211> 211 <212> PRT <213> Secuencia artificial	
	<220> <223> Cadena ligera 10G5-3 sintético	
55	<400> 74	
60	Glu Ile Val Leu Thr Gln Ser Pro Gly Thr Leu Ser Leu Ser Pro 1 5 10 15	Gly
	Glu Arg Ala Thr Leu Ser Cys Arg Ala Ser Gln Ser Ile Ser Ser	Ser
65		

					20					25					30		
5	ту	ŗŗ	Leu	Ala 35	Trp	Tyr	Gln	Gln	Lys 40	Pro	Gly	Gln	Ala	Pro 45	Arg	Leu	Leu
10	13	Le	Tyr 50	Gly	Ala	Ser	Ser	Arg 55	Ala	Thr	Gly	Ile	Pro 60	Asp	Arģ	Phe	Ser
15	G1 65	_	Ser	Gly	Ser	Gly	Thr 70	Asp	Phe	Thr	Leu	Thr 75	Ile	Ser	Arg	Leu	Glu 80
20	Pı	0	Glu	Asp	Phe	Ala 85	Val	Tyr	Tyr	Cys	Gln 90	Gln	Tyr	Glu	Ala	Phe 95	Gly
25	G]	Ln	Gly	Thr	Lys 100	Val	Glu	Ile	Lys	Arg 105	Thr	Val	Ala	Ala	Pro 110	Ser	Val
23	Pì	ne	Ile	Phe 115	Pro	Pro	Ser	Asp	Glu 120	Gln	Leu	Lys	Ser	Gly 125	Thr	Ala	Ser
30	Vá	a 1	Val 130	Суз	Leu	Leu	Asn	Asn 135	Phe	Tyr	Pro	Arg	Glu 140	Ala	Lys	Val	Gln
35		rp 45	Lys	Val	Asp	Asn	Ala 150	Leu	Gln	Ser	Gly	Asn 155	Ser	Gln	Glu	Ser	Val 160
40	Tì	nr	Glu	Gln	Asp	Ser 165	Lys	Asp	Ser	Thr	Tyr 170	Ser	Leu	Ser	Ser	Thr 175	Leu
45	Tì	nr	Leu	Ser	Lys 180	Ala	Asp	Tyr	Glu	Lys 185	His	Lys	Val	Tyr	Ala 190	Cys	Glu
50	Va	al	Thr	His 195	Gln	Gly	Leu	Ser	Ser 200	Pro	Val	Thr	Lys	Ser 205	Phe	Asn	Arg
	G:	ly	Glu 210	Cys													
55	<210> 75 <211> 104 <212> PRT		ia - 415	:.:-!													
60	<213> Secue <220> <223> 10G5																
65	<400> 75																

	_	31u L	Ile	Val	Leu	Thr 5	Gln	Ser	Pro	Gly	Thr 10	Leu	Ser	Leu	Ser	Pro 15	Gly	
5	G	Slu	Arg	Ala	Thr 20	Leu	Ser	Cys	Arg	A la 25	Ser	Gln	Ser	Ile	Ser 30	Ser	Ser	
10	T	'yr	Leu	Ala 35	Trp	Tyr	Gln	Gln	Lys 40	Pro	Gly	Gln	Ala	Pro 45	Arg	Leu	Leu	
15	I	le	Tyr 50	Gly	Ala	Ser	Ser	Arg 55	Ala	Thr	Gly	Ile	Pro 60	Asp	Arg	Phe	Ser	
		31y 55	Ser	Gly	Ser	Gly	Thr 70	Asp	Phe	Thr	Leu	Thr 75	Ile	Ser	Arg	Leu	Glu 80	
20	P	Pro	Glu	Asp	Phe	Ala 85	Val	Tyr	Tyr	Cys	Gln 90	Gln	Tyr	Glu	Ala	Phe 95	Gly	
25	G	31n	Gly	Thr	Lys 100	Val	Glu	Ile	Lys									
30	<210> 76 <211> 636 <212> ADI <213> Sec	N	cia arti	ficial														
35	<220> <223> Cad	dena	ligera	10G5-	-3 sinte	ético												
	<400> 76																	
40	gaaa	atto	tgt	tgac	gcag	tc to	ccago	cacc	ctg	tctti	tgt (ctcca	gggg	a aa	gagco	cacc	6	60
	ctct	taat	gca	gggc	cagt	ca ga	agtat	tago	agc	agcta	act t	agco	tggt	a cc	agcaç	gaaa	12	20
45	ccto	ggco	agg	ctcc	cagg	ct c	ctcat	ctat	ggt	gcato	cca (gcagg	gcca	c tg	gcato	cca	18	30
	gaca	aggt	tca	gtgg	cagt	gg gl	ctgg	gaca	gac	ttcad	ctc t	caco	atca	g ca	gacto	ggag	24	10
	ccto	gaaç	gatt	ttgc	agtg	ta ti	acto	gtcag	cag	tatga	agg o	cgttc	ggcc	a ag	ggac	caag	30	0
50	ġtg	gaaa	tca	aacg	tacg	gt g	gatga	cacca	tct	gtcti	tca t	tatta	ccgc	c at	ctgat	gag	36	50
	cagt	ttga	aat	ctgg	aact	gc ct	ctgt	tgtg	tgc	ctgct	tga a	ataac	ttct	a tc	ccaga	agag	42	20
55	gcca	aaaç	gtac	agtg	gaag	gt g	gataa	cgcc	ctc	caat	cgg (gtaac	tccc	a gg	agagt	gtc	48	30
	acaç	gago	cagg	acag	caag	ga ca	agcac	cctac	agc	ctca	gca (gcaco	ctga	c gc	tgago	caaa	54	10
60	gcaq	gact	acg	agaa	acac	aa a	gtcta	acgcc	tgc	gaagi	tca d	cccat	cagg	g cc	tgago	ctcg	60	0
50	ccc	gtca	acaa	agag	cttc	aa c	agggg	gagag	tgt	tag							63	}6

82

<210> 77

65

	<211> 31 <212> AE <213> Se		sial					
5	<220> <223> 10	G5-3 VL sinté	tico					
	<400> 77							
10	g	gaaattgtgt	tgacgcagtc	tccaggcacc	ctgtctttgt	ctccagggga	aagagccacc	60
	c	tctcctgca	gggccagtca	gagtattagc	agcagctact	tagcctggta	ccagcagaaa	120
15	c	ectggccagg	ctcccaggct	cctcatctat	ggtgcatcca	gcagggccac	tggcatccca	180
	g	gacaggttca	gtggcagtgg	gtctgggaca	gacttcactc	tcaccatcag	cagactggag	240
	c	ctgaagatt	ttgcagtgta	ttactgtcag	cagtatgagg	cgttcggcca	agggaccaag	300
20	ğ	gtggaaatca	aa					312
25	<210> 78 <211> 21 <212> PF <213> Se	1	ial					
30			e 10G5-5,8 sint	ético				
	<400> 78							
35								
40								
45								
50								
55								
60								
65								

		Glu 1	Ile	Val	Leu	Thr 5	Gln	Ser	Pro	Gly	Thr 10	Leu	Ser	Leu	Ser	Pro 15	Gly
5		Glu	Arg	Ala	Thr 20	Leu	Ser	Суз	Arg	Ala 25	Ser	Gln	Ser	Ile	Ser 30	Ser	Ser
10		Tyr	Leu	Ala 35	Trp	Tyr	Gln	Gln	Lys 40	Pro	Gly	Gln	Ala	Pro 45	Arg	Leu	Leu
15		Ile	Tyr 50	Gly	Ala	Ser	Ser	Arg 55	Ala	Thr	Gly	Ile	Pro 60	Asp	Arg	Phe	Ser
20		Gly 65	Ser	Gly	Ser	Gly	Thr 70	Asp	Phe	Thr	Leu	Thr 75	Ile	Ser	Arg	Leu	Glu 80
		Pro	Glu	Asp	Phe	Ala 85	Val	Tyr	Tyr	Суз	Gln 90	Gln	Tyr	Glu	Thr	Phe 95	Gly
25		Gln	Gly	Thr	Lys 100	Val	Glu	Ile	Lys	Arg 105	Thr	Val	Ala	Ala	Pro 110	Ser	Val
30		Phe	Ile	Phe 115	Pro	Pro	Ser	Asp	Glu 120	Gln	Leu	Lys	Ser	Gly 125	Thr	Ala	Ser
35		Val	Val 130	Cys	Leu	Leu	Asn	Asn 135	Phe	Tyr	Pro	Arg	Glu 140	Ala	Lys	Val	Gln
		Trp 145	Lys	Val	Asp	Asn	Ala 150	Leu	Gln	Ser	Gly	Asn 155	Ser	Gln	Glu	Ser	Val 160
40		Thr	Glu	Gln	Asp	Ser 165	Lys	Asp	Ser	Thr	Tyr 170	Ser	Leu	Ser	Ser	Thr 175	Leu
45		Thr	Leu	Ser	Lys 180	Ala	Asp	Tyr	Glu	Lys 185	His	Lys	Val	Tyr	Ala 190	Суз	Glu
50		Val	Thr	His 195	Gln	Gly	Leu	Ser	Ser 200	Pro	Val	Thr	Lys	Ser 205	Phe	Asn	Arg
		Gly	Glu 210	Cys													
55	<210× 70																
60	<210> 79 <211> 104 <212> PRT <213> Secuel	ncia a	rtificia	ıl													
	<220>																

	<223>	10G5-	5,8 VL	sintéti	СО												
	<400>	79															
5		Glu 1	Ile	Val	Leu	Thr 5	Gln	Ser	Pro	Gly	Thr 10	Leu	Ser	Leu	Ser	Pro 15	Gly
10		Glu	Arg	Ala	Thr 20	Leu	Ser	Суз	Arg	Ala 25	Ser	Gln	Ser	Ile	Ser 30	Ser	Ser
15		Tyr	Leu	Ala 35	Trp	Tyr	Gln	Gln	Lys 40	Pro	Gly	Gln	Ala	Pro 45	Ārg	Leu	Leu
20		Ile	Tyr 50	Gly	Ala	Ser	Ser	Arg 55	Ala	Thr	Gly	Ile	Pro 60	Asp	Arg	Phe	Ser
25		Gly 65	Ser	Gly	Ser	Gly	Thr 70	Asp	Phe	Thr	Leu	Thr 75	Ile	Ser	Arg	Leu	Glu 80
30		Pro	Glu	Asp	Phe	Ala 85	Val	Tyr	Tyr	Суз	Gln 90	Gln	Tyr	Glu	Thr	Phe 95	Gly
35		Gln	Gly	Thr	Lys 100	Val	Glu	Ile	Lys								
40	<210><211><211><212><213>	636 ADN	ncia ar	tificial													
45	<220> <223> <400>		a ligera	a de 10)G5-5,	8 sinté	tico										
50																	
55																	
60																	
65																	

	gaaattgtgt tgacgcagtc tccaggcacc ctgtctttgt ctccagggga aagagccacc	60
	ctctcctgca gggccagtca gagtattagc agcagctact tagcctggta ccagcagaaa	120
5	cctggccagg ctcccaggct cctcatctat ggtgcatcca gcagggccac tggcatccca	180
	gacaggttca gtggcagtgg gtctgggaca gacttcactc tcaccatcag cagactggag	240
40	cctgaagatt ttgcagtgta ttactgtcag cagtatgaga cgttcggcca agggaccaag	300
10	gtggaaatca aacgtacggt ggctgcacca tctgtcttca tcttcccgcc atctgatgag	360
	cagttgaaat ctggaactgc ctctgttgtg tgcctgctga ataacttcta tcccagagag	420
15	gccaaagtac agtggaaggt ggataacgcc ctccaatcgg gtaactccca ggagagtgtc	480
	acagagcagg acagcaagga cagcacctac agcctcagca gcaccctgac gctgagcaaa	540
	gcagactacg agaaacacaa agtctacgcc tgcgaagtca cccatcaggg cctgagctcg	600
20	cccgtcacaa agagcttcaa caggggagag tgttag	636
25	<210> 81 <211> 312 <212> ADN <213> Secuencia artificial <220>	
30	<223> 10G5-5,8 VL sintético	
	<400> 81	
35	gaaattgtgt tgacgcagtc tccaggcacc ctgtctttgt ctccagggga aagagccacc	60
	ctctcctgca gggccagtca gagtattagc agcagctact tagcctggta ccagcagaaa	120
	cetggecagg eteccagget cetcatetat ggtgeateca geagggecae tggeatecea	180
40	gacaggttca gtggcagtgg gtctgggaca gacttcactc tcaccatcag cagactggag	240
	cctgaagatt ttgcagtgta ttactgtcag cagtatgaga cgttcggcca agggaccaag	300
45	gtggaaatca aa	312
50	<210> 82 <211> 10 <212> PRT <213> Secuencia artificial	
	<220> <223> 10G5 VH CDR1 sintético	
55	<400> 82	
60	Gly Tyr Ser Phe Thr Ser Tyr Trp Ile Gly 1 5 10	
65	<210> 83 <211> 10	

```
<212> PRT
     <213> Secuencia artificial
 5
     <223> 10G5 VH CDR2 sintético
     <400>83
                      Val Ile Tyr Pro Gly Asp Ser Tyr Thr Arg
10
                                            5
                                                                       10
     <210> 84
     <211> 12
     <212> PRT
15
     <213> Secuencia artificial
     <220>
     <223> 10G5 VL CDR1 sintético
20
     <400> 84
                 Arg Ala Ser Gln Ser Ile Ser Ser Ser Tyr Leu Ala
25
                                       5
                                                                  10
     <210> 85
30
     <211> 7
     <212> PRT
     <213> Secuencia artificial
35
     <223> 10G5 VL CDR2 sintético
     <400>85
40
                             Gly Ala Ser Ser Arg Ala Thr
                                                    5
     <210> 86
45
     <211> 487
     <212> PRT
     <213> Secuencia artificial
50
     <223> pFAB3D-10G5H constructo sintético
     <400>86
           Met Lys Lys Thr Ala Ile Ala Ile Ala Val Ala Leu Ala Gly Phe Ala
55
           1
                              5
                                                      10
                                                                              15
           Thr Val Ala Gln Ala Ala Leu Glu Glu Val Gln Leu Val Gln Ser Gly
                         20
                                                 25
                                                                         30
60
           Ala Glu Val Lys Lys Pro Gly Glu Ser Leu Lys Ile Ser Cys Lys Gly
                     35
                                             40
                                                                    45
65
```

	Ser	Gly 50	Tyr	Ser	Phe	Thr	Ser 55	Tyr	Trp	Ile	Gly	Trp 60	Val	Arg	Gln	Met
5	Pro 65	Gly	Lys	Gly	Leu	Glu 70	Trp	Met	Gly	Val	Ile 75	Tyr	Pro	Gly	Asp	Ser 80
10	Tyr	Thr	Arg	Tyr	Ser 85	Pro	Ser	Phe	Gln	Gly 90	Gln	Val	Thr	Ile	Ser 95	Ala
15	Asp	Lys	Ser	Ile 100	Ser	Thr	Ala	Tyr	Leu 105	Gln	Trp	Ser	Ser	Leu 110	Lys	Ala
20	Ser	Asp	Thr 115	Ala	Met	Tyr	Tyr	Cys 120	Ala	Arg	Phe	Pro	Asn 125	Trp	Gly	Ser
	Phe	Asp 130	Tyr	Trp	Gly	Gln	Gly 135	Thr	Leu	Val	Thr	Val 140	Ser	Ser	Ala	Ser
25	Thr 145	Lys	Gly	Pro	Ser	Val 150	Phe	Pro	Leu	Ala	Pro 155	Ser	Ser	Lys	Ser	Thr 160
30	Ser	Gly	Gly	Thr	Ala 165	Ala	Leu	Gly	Cys	Leu 170	Val	Lys	Asp	Tyr	Phe 175	Pro
35	Glu	Pro	Val	Thr 180	Val	Ser	Trp	Asn	Ser 185	Gly	Ala	Leu	Thr	Ser 190	Gly	Val
40	His	Thr	Phe 195	Pro	Ala	Val	Leu	Gln 200	Ser	Ser	Gly	Leu	Tyr 205	Ser	Leu	Ser
	Ser	Val 210	Val	Thr	Val	Pro	Ser 215	Ser	Ser	Leu	Gly	Thr 220	Gln	Thr	Tyr	Ile
45	Cys 225	Asn	Val	Aŝń	His	Lys 230	Pro	Ser	Āsn	Thr	Lys 235	Val	Asp	Lys	Arg	Val 240
50	Glu	Pro	Lys	Ser	Cys 245	Asp	Lys	Thr	His	Thr 250	Cys	Pro	Pro	Cys	Pro 255	Thr
55	Ser	Gly	His	His 260	His	His	His	His	Gly 265	Gly	Glu	Gln	Lys	Leu 270	Ile	Ser
60	Glu	Glu	Asp 275	Leu	Gly	Gly	Pro	Phe 280	Val	Cys	Glu	Tyr	Gln 285	Gly	Gln	Ser
00	Ser	Asp 290		Pro	Gln	Pro	Pro 295	Val	Asn	Ala	Gly	Gl y 300	Gly	Ser	Gly	Gly
65																

	G1 30	_	er Gly	y Gly	Gly	Ser 310	Glu	Gly	Gly	Gly	Ser 315	Glu	Gly	Gly	Gly	Ser 320
5	Gl	.u Gl	Ly Gl	y Gly	Ser 325	Glu	Gly	Gly	Gly	Ser 330	Gly	Gly	Gly	Ser	Gly 335	Ser
10	Gl	y As	sp Pho	a Asp 340	_	Glu	Lys	Met	Ala 345	Asn	Ala	Asn	Lys	Gly 350	Ala	Met
15	Th	ır Gl	Lu Asi 35		Asp	Glu	Asn	<u>Al</u> a 360	Leu	Gln	Ser	Asp	Ala 365	Lys	Gly	Lys
20	Le		sp Se 70	r Val	Ala	Thr	Asp 375	Tyr	Gly	Ala	Ala	Ile 380	Asp	Gly	Phe	Ile
25	G1 38	-	sp Va	l Ser	Gly	Leu 390	Ala	Asn	Gly	Asn	Gly 395	Ala	Thr	Gly	Asp	Phe 400
30	Al	.a Gi	Ly Se	r Asn	Ser 405		Met	Ala	Gln	Val 410	Gly	Asp	Gly	Asp	Asn 415	Ser
	Pr	o Le	eu Me	t Asn 420		Phe	Arg	Gln	Tyr 425	Leu	Pro	Ser	Leu	Pro 430	Gln	Ser
35	Va	al G	lu Cy 43	_	Pro	Tyr	Val	Phe 440	Gly	Ala	Gly	Lys	Pro 445	Tyr	Glu	Phe
40	S€		le As	p Cys	Asp	Lys	Ile 455		Leu	Phe	Arg	Gly 460	Val	Phe	Ala	Phe
45	Le 46		eu Ty	r Val	Ala	Thr 470	Phe	Met	Tyr	Val	Phe 475	Ser	Thr	Phe	Ala	Asn 480
50	11	le L	eu Ar	g Asn	Lys 485		Ser									
55	<210> 87 <211> 235 <212> PRT <213> Secuer	ncia a	rtificial													
	<220> <223> pFAB3	D-100	35L cor	nstructo	sintét	ico										
60	<400> 87															
	Met 1	Lys	Tyr		Leu 1 5	Pro	Thr	Ala	Ala	Ala 10	Gl	, Le	u Le	u Le	u Lo	eu Ala 5
65																

		Ala	Gln	Pro	Ala 20	Met	Ala	Ser	Arg	Glu 25	Ile	Val	Leu	Thr	Gln 30	Ser	Pro
5		Gly	Thr	Leu 35	Ser	Leu	Ser	Pro	Gly 40	Glu	Arg	Ala	Thr	Leu 45	Ser	Cys	Arg
10		Ala	Ser 50	Gln	Ser	Ile	Ser	Ser 55	Ser	Tyr	Leu	Ala	Trp 60	Tyr	Gln	Gln	Lys
15		Pro 65	Gly	Gln	Ala	Pro	Arg 70	Leu	Leu	Ile	Tyr	Gly 75	Ala	Ser	Ser	Arg	Ala 80
20		Thr	Gly	Ile	Pro	Asp 85	Arg	Phe	Ser	Gly	Ser 90	Gly	Ser	Gly	Thr	Asp 95	Phe
25		Thr	Leu	Thr	Ile 100	Ser	Arg	Leu	Glu	Pro 105	Glu	Asp	Phe	Ala	Val 110	Tyr	Tyr
30		Cys	Gln	Gln 115	Tyr	Glu	Thr	Phe	Gly 120	Gln	Gly	Thr	Lys	Val 125	Glu	Ile	Lys
35		Arg	Thr 130	Val	Ala	Ala	Pro	Ser 135	Val	Phe	Ile	Phe	Pro 140	Pro	Ser	Asp	Glu
33		Gln 145	Leu	Lys	Ser	Gly	Thr 150	Ala	Ser	Val	Val	Cys 155	Leu	Leu	Asn	Asn	Phe 160
40		Tyr	Pro	Arg	Glu	Ala 165	Lys	Val	Gln	Trp	Lys 170	Val	Asp	Asn	Ala	Leu 175	Gln
45		Ser	Gly	Asn	Ser 180	Gln	Glu	Ser	Val	Thr 185	Glu	Gln	Asp	Ser	Lys 190	Asp	Ser
50		Thr	Tyr	Ser 195	Leu	Ser	Ser	Thr	Leu 200	Thr	Leu	Ser	Lys	Ala 205	Asp	Tyr	Glu
55		Lys	His 210	Lys	Val	Tyr	Ala	Cys 215	Glu	Val	Thr	His	Gln 220	Gly	Leu	Ser	Ser
60	<210> 88	Pro 225	Val	Thr	Lys	Ser	Phe 230	Asn	Arg	Gly	Glu	Cys 235					
65	<211> 100 <211> ADI <213> Sec	N	a artifi	icial													
	ミノノロ>																

	4000). Och adar da DOD sirettias	
	<223> Cebador de PCR sintético	
	<400> 88	
5	atcgaagett geegeeacea tgagtgtgee eacteaggte etggggttge tgetgetgtg 60	
	gcttacagat gccagatgtg aaattgtgtt gacgcagtct 100	
10	<210> 89 <211> 22 <212> ADN	
15	<213> Secuencia artificial	
	<220> <223> Cebador de PCR sintético	
20	<400> 89	
20	ccaccgtacg tttgatttcc ac 22	
25	<210> 90 <211> 97 <212> ADN <213> Secuencia artificial	
30	<220> <223> Cebador de PCR sintético <400> 90	
35	actgaagett geegeeacea tggaatggag etgggtettt etettettee tgteagtaae	60
	tacaggtgtc cactccgagg tgcagctggt gcagtct	97
40	<210> 91	
	<211> 24 <212> ADN <213> Secuencia artificial	
45	<220> <223> Cebador de PCR sintético	
	<400> 91	
50	accgatgggc ccttggtgga ggct 24	
55	<210> 92 <211> 326 <212> PRT <213> Secuencia artificial	
	<220> <223> Dominio Fc sintético de IgG2m4	
60	<400> 92	

	Ala 1	Ser	Thr	Lys	Gly 5	Pro	Ser	Val	Phe	Pro 10	Leu	Ala	Pro	Cys	Ser 15	Arg
5	Ser	Thr	Ser	Glu 20	Ser	Thr	Ala	Ala	Leu 25	Gly	Cys	Leu	Val	Lys 30	Asp	Tyr
10																
15																
20																
25																
30																
35																
40																
45																
50																
55																
60																
35																

	Phe	Pro	Glu 35	Pro	Val	Thr	Val	Ser 40	Trp	Asn	Ser	Gly	Ala 45	Leu	Thr	Ser
5	Gly	Val 50	His	Thr	Phe	Pro	Ala 55	Val	Leu	Gln	Ser	Ser 60	Gly	Leu	Tyr	Ser
10	Leu 65	Ser	Ser	Val	Val	Thr 70	Val	Thr	Ser	Ser	Asn 75	Phe	Gly	Thr	Gln	Thr 80
15	Tyr	Thr	Суз	Asn	Val 85	Asp	His	Lys	Pro	Ser 90	Asn	Thr	Lys	Val	Asp 95	Lys
20	Thr	Val	Glu	Arg 100	Lys	Суз	Cys	Val	Glu 105	Cys	Pro	Pro	Суз	Pro 110	Ala	Pro
25	Pro	Val	Ala 115	Gly	Pro	Ser	Val	Phe 120	Leu	Phe	Pro	Pro	Lys 125	Pro	Lys	Asp
	Thr	Leu 130	Met	Ile	Ser	Arg	Thr 135	Pro	Glu	Val	Thr	Cys 140	Val	Val	Val	Asp
30	Val 145	Ser	Gln	Glu	Asp	Pro 150	Glu	Val	Gln	Phe	Asn 155	Trp	Tyr	Val	Asp	Gly 160
35	Val	Glu	Val	His	Asn 165	Ala	Lys	Thr	Lys	Pro 170	Arg	Glu	Glu	Gln	Phe 175	Asn
40	Ser	Thr	Phe	Arg 180	Val	Val	Ser	Val	Leu 185	Thr	Val	Leu	His	Gln 190	Asp	Trp
45	Leu	Asn	Gly 195	Lys	Glu	Tyr	Lys	Cys 200	Lys	Val	Ser	Asn	Lys 205	Gly	Leu	Pro
	Ser	Ser 210	Īle	Ğlu	Lys	Thr	Ile 215	Ser	Lys	Thr	Lys	Gly 220	Gln	Pro	Arg	Glu
50	Pro 225	Gln	Val	Tyr	Thr	Leu 230	Pro	Pro	Ser	Arg	Glu 235	Glu	Met	Thr	Lys	Asn 240
55	Gln	Val	Ser	Leu	Thr 245	Cys	Leu	Val	Lys	Gly 250	Phe	Tyr	Pro	Ser	Asp 255	Ile
60	Ala	Val	Glu	Trp 260	Glu	Ser	Asn	Gly	Gln 265	Pro	Glu	Asn	Asn	Tyr 270	Lys	Thr
65	Thr	Pro	Pro 275	Met	Leu	Asp	Ser	Asp 280	Gly	Ser	Phe	Phe	Leu 285	Tyr	Ser	Lys

		Leu	Thr 290	Val	Asp	Lys	Ser	Arg 295	Trp	Gln	Gln	Gly	Asn 300	Val	Phe	Ser	Cys	
5		Ser 305	Val	Met	His	Glu	Ala 310	Leu	His	Asn	His	Tyr 315	Thr	Gln	Lys	Ser	Leu 320	
10		Ser	Leu	Ser	Pro	Gly 325	Lys											
15	<210><211><211><212><213>	978	ncia a	rtificial														
20	<220> <223> <400>		ante si	ntético	de IG	G2M4												
																		<i>c</i>
0.5		gcct																60
25		agca																120
		tggaa	actca	ag go	gccc	tgac	cag	cggc	gtg (cacac	cttc	c cg	gctg	tcct	acag	rtcct	ca	180
30		ggact	tctac	et co	ctca	gcag	cgt	ggtga	acc (gtgac	ctcc	a gc	aacti	ttgg	cacg	rcaga	.CC	240
		taca	cctgo	ca ac	gtag	atca	caa	gccca	agc a	aacac	caag	g tg	gaca	agac	agtt	gage	gg	300
		aaat	gctgo	g to	gagt	gccc	acc	atgc	cca (gcaco	tcca	g tg	gccg	gacc	atca	igtct	tc	360
35		ctgti	tece	ec ca	aaac	ccaa	gga	cacto	etc a	atgat	ctcc	c gg	accc	ctga	ggto	acgt	gc	420
		gtggf	tggtç	gg ac	gtga	.gcca	gga	agaco	ccc (gaggt	ccag	t tc	aact	ggta	cgtg	gatg	gc	480
40		gtgg	aggto	gc at	aatg	ccaa	gac	aaago	ccg (cggga	ıggag	c ag	ttca	acag	cacg	rttcc	gt	540
		gtggi	tcago	g to	ctca	.ccgt	cct	gcac	cag (gactg	gctg	a ac	ggca	agga	gtac	aagt	gc	600
		aaggi	tata	ca ac	caaag	gcct	CCC	gtaal	tcc a	atcga	gaaa	a cc	atct	ccaa	aacc	aaag	gg	660
45		cago	cccga	iġ aç	jccac	aggt	gta	cacco	ctg (cccc	atcc	c gg	gagg	agat	gaco	aaga	.ac	720
		cagg	tcago	c to	jacct	gcct	ggt	caaaq	ggc 1	ttcta	ıcccc	a gc	gaca [.]	taga	cgtg	gagt	gg	780
50		gaga	gcaat	g gg	gcago	cgga	gaa	caact	tac :	aagac	cacg	c ct	ccca [.]	tgct	ggac	tccg	ac	840
										gtgga								900
										ctgca								960
55		_					gou	-gug	900	ocycu	·cuuc	o uo			guug	,uguu		978
	<210>	tccci	tgtti		Jygca	aa												370
60	<211> <212> <213>	444 PRT	ncia a	rtificial														
65	<220> <223>	10G5-	6 sinté	tico de	e cade	na pes	sada l	GG2M	4									
	<400>	94																

	Glu 1	Val	Gln	Leu	Val 5	Gln	Ser	Gly	Ala	Glu 10	Val	Lys	Lys	Pro	Gly 15	Glu
5	Ser	Leu	Lys	Ile 20	Ser	Cys	Lys	Gly	Ser 25	Gly	Tyr	Ser	Phe	Thr 30	Ser	Tyr
10	Trp	Ile	Gly 35	Trp	Val	Arg	Gln	Met 40	Pro	Gly	Lys	Gly	Leu 45	Glu [.]	Trp	Met
15	Gly	Val 50	Ile	Tyr	Pro	Gly	Asp 55	Ser	Tyr	Thr	Arg	Tyr 60	Ser	Pro	Ser	Phe
20	Gln 65	Gly	Gln	Val	Thr	Ile 70	Ser	Ala	Asp	Lys	Ser 75	Ile	Ser	Thr	Ala	Tyr 80
25	Leu	Gln	Trp	Ser	Ser 85	Leu	Lys	Ala	Ser	Asp 90	Thr	Ala	Met	Tyr	Tyr 95	Cys
30	Ala	Arg	Met	Pro 100	Asn	Trp	Gly	Ser	Leu 105	Asp	His	Trp	Gly	Gln 110	Gly	Thr
25	Leu	Val	Thr 115	Val	Ser	Ser	Ala	Ser 120	Thr	Lys	Gly	Pro	Ser 125	Val	Phe	Pro
35	Leu	Ala 130	Pro	Суз	Ser	Arg	Ser 135	Thr	Ser	Glu	Ser	Thr 140	Ala	Ala	Leu	Gly
40	Cys 145	Leu	Val	Lys	Asp	Tyr 150	Phe	Pro	Glu	Pro	Val 155	Thr	Val	Ser	Trp	Asn 160
45	Ser	Gly	Ala	Leu	Thr 165	Ser	Gly	Val	His	Thr 170	Phe	Pro	Ala	Val	Leu 175	Gln
50	Ser	Ser	Gly	Leu 180	Tyr	Ser	Leu	Ser	Ser 185	Val	Val	Thr	Val	Thr 190	Ser	Ser
55	Asn	Phe	Gly 195	Thr	Gln	Thr	Tyr	Thr 200	Суз	Asn	Val	Asp	His 205	Lys	Pro	Ser
60	Asn	Thr 210	Lys	Val	Asp	Lys	Thr 215	Val	Glu	Arg	Lys	Cys 220	Cys	Val	Glu	Сув
65	Pro 225	Pro	Суз	Pro	Ala	Pro 230	Pro	Val	Ala	Gly	Pro 235	Ser	Val	Phe	Leu	Phe 240

	Pro	Pro	Lys	Pro	Lys 245	Asp	Thr	Leu	Met	Ile 250	Ser	Arg	Thr	Pro	Glu 255	Val
5	Thr	Cys	Val	Val 260	Val	Asp	Val	Ser	Gln 265	Glu	Asp	Pro	Glu	Val 270	Gln	Phe
10	Asn	Trp	Tyr 275	Val	Asp	Gly	Val	Glu 280	Val	His	Asn	Ala	Lys 285	Thr	Lys	Pro
15	Arg	Glu 290	Glu	Gln	Phe	Asn	Ser 295	Thr	Phe	Arg	Val	Val 300	Ser	Val	Leu	Thr
20	Val 305	Leu	His	Gln	Asp	Trp 310	Leu	Asn	Gly	Lys	Glu 315	Tyr	Lys	Суз	Lys	Val 320
25	Ser	Asn	Lys	Gly	Leu 325	Pro	Ser	Ser	Ile	Glu 330	Lys	Thr	Ile	Ser	Lys 335	Thr
30	Lys	Gly	Gln	Pro 340	Arg	Glu	Pro	Gln	Val 345	Tyr	Thr	Leu	Pro	Pro 350	Ser	Arg
	Glu	Glu	Met 355	Thr	Lys	Asn	Gln	Val 360	Ser	Leu	Thr	Cys	Leu 365	Val	Lys	Gly
35	Phe	Tyr 370	Pro	Ser	Asp	Ile	Ala 375	Val	Glu	Trp	Glu	Ser 380	Asn	Gly	Gln	Pro
40	Glu 385	Asn	Asn	Tyr	Lys	Thr 390	Thr	Pro	Pro	Met	Leu 395	Asp	Ser	Asp	Gly	Ser 400
45	Phe	Phe	Leu	Tyr	Ser 405	Lys	Leu	Thr	Val	Asp 410	Lys	Ser	Arg	Trp	Gln 415	Gln
50	Gly	Asn	Val	Phe 420	Ser	Суз	Ser	Val	Met 425	His	Glu	Ala	Leu	His 430	Asn	His
55	Tyr	Thr	Gln 435	Lys	Ser	Leu	Ser	Leu 440	Ser	Pro	Gly	Lys				
60	<210> 95 <211> 1332 <212> ADN <213> Secue	encia a	rtificial													
65	<220> <223> 10G5- <400> 95	6 sinté	etico de	e cade	na pes	ada IC	G2M₄	4								

	,	gaggtg	gcagc	tgg	tgcag	tc 1	tggag	cagag	gtg	aaaaa	ıgc	ccggg	gagto	tct	gaag	atc	60
_		tcctgt	aagg	gtt	ctgga	ta (cagcti	ttacc	ago	tactg	ga	tcggc	tgggt	gc;	gccag	atg	120
5		cccggg	gaaag	gcc	tggag	tg (gatgg	gggtc	ato	tatco	tg	gtgac	tctta	ı tad	ccaga	tac	180
		ageceç	tcct	tcc	aaggc	ca	ggtca	ccatc	tca	gccga	ıca	agtcc	atcaç	gcad	ccgcc	tac	240
10		ctgcaç	gtgga	gca	gcctg	aa (ggcct	cggac	acc	gccat	gt	attac	tgtgd	gaq	gaatg	ccc	300
		aactgo	gggct	cac	ttgac	ca 1	ttggg	gccag	gga	accct	gg	tcacc	gtcto	cto	cagco	tcc	360
		accaaç	gggcc	cat	ccgtc	tt (cccct	tggcg	ccc	tgctc	ca	ggagc	accto	c cga	agago	aca	420
15		gccgcc	cctgg	gct	gcctg	gt (caagg	actac	ttc	cccga	ac	cggtg	acggt	gto	egtgg	raac	480
		tcaggo	cgccc	tga	ccagc	gg (cgtgc	acacc	ttc	ccggc	etg	tccta	cagto	cto	cagga	ctc	540
20		tactco	cctca	gca	gcgtg	gt (gaccgi	tgacc	tcc	agcaa	act	ttggc	acgca	ga ga	cctac	acc	600
		tgcaad	cgtag	atc	acaag	cc (cagca	acacc	aaç	gtgga	ıca	agaca	gttga	gc.	ggaaa	tgc	660
		tgcgtç	ggagt	gcc	cacca	tg (cccag	cacct	cca	ıgtggc	ccg	gacca	tcagt	cti	tcctg	rttc	720
25		ccccc	aaac	cca	aggac	ac ·	tctca	tgato	tcc	cggac	ccc	ctgag	gtcac	gte	gcgtg	gtg	780
		gtggad	cgtga	gcc	aggaa	ga	ccccg	aggto	cag	ttcaa	act	ggtac	gtgga	ı tg	gcgtg	gag	840
30		gtgcat	aatg	cca	agaca	aa (gccgc	gggag	gaç	gcagtt	ca	acagc	acgtt	CC	gtgtg	gtc	900
		agcgto	cctca	ccg	tcctg	ca	ccagg	actgg	cto	gaacgo	јса	aggag	tacaa	a gto	gcaag	gtc	960
		tccaac	caaag	gcc	tcccg	tc	ctcca	tcgag	aaa	accat	ct	ccaaa	accaa	a ago	ggcag	ccc	1020
35		cgagaç	gccac	agg	tgtac	ac	cctgc	cccca	tco	cggga	agg	agatg	accaa	a ga	accag	gtc	1080
		agccto	gacct	gcc	tggtc	aa	aggct	tctac	ccc	agcga	aca	tegee	gtgga	a gto	gggag	agc	1140
40		aatggg	gcagc	cgg	agaac	aa	ctaca	agaco	acç	geetee	cca	tgctg	gacto	c cg	acggo	tcc	1200
40		ttcttc	cctct	aca	gcaag	ct	aaccg	tggac	aaç	gagcaç	ggt	ggcag	cagg	g ga	atgto	ttc	1260
		tcatgo	ctccg	tga	tgcat	ga	ggctc	tgcac	aac	cacta	aca	cacag	aaga	g cc	tctcc	ctg	1320
45		tctcct	tggta	aa													1332
50	<210> 96 <211> 44 <212> PF <213> Se	4 RT	a artific	ial													
55	<220> <223> 10	G5-6 siı	ntético	de ca	adena p	oesa	ıda IGG	62M4									
55	<400> 96																
60		Glu 1	Val	Gln	Leu	Val 5	Gln	Ser	Gly	Ala	Glu 10	Val	Lys	Lys	Pro	Gly 15	Glu
		Ser	Leu	Lys	Ile	Ser	Cys	Lys	Gly	Ser	Gly	Tyr	Ser	Phe	Thr	Ser	Tyr
65					20				-	25					30		

	Trp	Ile	Gly 35	Trp	Val	Arg	Gln	Met 40	Pro	Gly	Lys	Gly	Leu 45	Glu	Trp	Met
5	Gly	Val 50	Ile	Tyr	Pro	Gly	Asp 55	Ser	Tyr	Thr	Arg	Tyr 60	Ser	Pro	Ser	Phe
10	Gln 65	Gly	Gln	Val	Thr	Ile 70	Ser	Ala	Asp	Lys	Ser 75	Ile	Ser	Thr	Ala	Tyr 80
15	Leu	Gln	Trp	Ser	Ser 85	Leu	Lys	Ala	Ser	Asp 90	Thr	Ala	Met	Tyr	Tyr 95	Cys
20	Ala	Arg	Met	Pro 100	Asn	Trp	Gly	Ser	Phe 105	Asp	Tyr	Trp	Gly	Gln 110	Gly	Thr
0.5	Leu	Val	Thr 115	Val	Ser	Ser	Ala	Ser 120	Thr	Lys	Gly	Pro	Ser 125	Val	Phe	Pro
25	Leu	Ala 130	Pro	Суз	Ser	Arg	Ser 135	Thr	Ser	Glu	Ser	Thr 140	Ala	Ala	Leu	Gly
30	Cys 145	Leu	Val	Lys	Asp	Tyr 150	Phe	Pro	Glu	Pro	Val 155	Thr	Val	Ser	Trp	Asn 160
35	Ser	Gly	Ala	Leu	Thr 165	Ser	Gly	Val	His	Thr 170	Phe	Pro	Ala	Val	Leu 175	Gln
40	Ser	Ser	Gly	Leu 180	Tyr	Ser	Leu	Ser	Ser 185	Val	Val	Thr	Val	Thr 190	Ser	Ser
45	Asn	Phe	Gly 195		Gln	Thr	Tyr	Thr 200		Asn	Val	Asp	His 205	Lys	Pro	Ser
	Asn	Thr 210	Lys	Val	Asp	Lys	Thr 215	Val	Glu	Arg	Lys	Cys 220	Суз	Val	Glu	Cys
50	Pro 225	Pro	Cys	Pro	Ala	Pro 230	Pro	Val	Ala	Gly	Pro 235	Ser	Val	Phe	Leu	Phe 240
55	Pro	Pro	Lys	Pro	Lys 245	Asp	Thr	Leu	Met	Ile 250	Ser	Arg	Thr	Pro	Glu 255	Val
60	Thr	Cys	Val	Val 260	Val	Asp	Val	Ser	Gln 265	Glu	Asp	Pro	Glu	Val 270	Gln	Phe
65	Asn	Trp	Tyr	Val	Asp	Gly	Val	Glu	Val	His	Asn	Ala	Lys	Thr	Lys	Pro

			275					280					285			
5	Arg	Glu 290	Glu	Gln	Phe	Asn	Ser 295	Thr	Phe	Arg	Val	Val 300	Ser	Val	Leu	Thr
10	Val 305	Leu	His	Gln	Asp	Trp 310	Leu	Asn	Gly	Lys	Glu 315	Tyr	Lys	Cys	Lys	Val 320
15	Ser	Asn	Lys	Gly	Leu 325	Pro	Ser	Ser	Ile	Glu 330	Lys	Thr	Ile	Ser	Lys 335	Thr
20	Lys	Gly	Gln	Pro 340	Arg	Glu	Pro	Gln	Val 345	Tyr	Thr	Leu	Pro	Pro 350	Ser	Arg
25	Glu	Glu	Met 355	Thr	Lys	Asn	Gln	Val 360	Ser	Leu	Thr	Cys	Leu 365	Val	Lys	Gly
30	Phe	Tyr 370	Pro	Ser	Asp	Ile	Ala 375	Val	Glu	Trp	Glu	Ser 380	Asn	Gly	Gln	Pro
35	Glu 385	Asn	Asn	Tyr	Lys	Thr 390	Thr	Pro	Pro	Met	Leu 395	Asp	Ser	Asp	Gly	Ser 400
	Phe	Phe	Leu	Tyr	Ser 405	Lys	Leu	Thr	Val	Asp 410	Lys	Ser	Arg	Trp	Gln 415	Gln
40	Gly	Asn	Val	Phe 420	Ser	Суз	Ser	Val	Met 425	His	Glu	Ala	Leu	His 430	Asn	His
45	Tyr	Thr	Gln 435	Lys	Ser	Leu	Ser	Leu 440	Ser	Pro	G <u>l</u> y	Lys				
50	<210> 97 <211> 336 <212> PRT <213> Secuer	ncia art	tificial													
55	<220> <223> Constru	ucción	sintéti	ca que	contie	ene el d	domini	o Fc d	e IgG1							
	<400> 97															
60																

E	Leu 1	Val	Thr	Val	Ser 5	Ser	Ala	Ser	Thr	Lys 10	Gly	Pro	Ser	Val	Phe 15	Pro
5	Leu	Ala	Pro	Ser 20	Ser	Lys	Ser	Thr	Ser 25	Gly	Gly	Thr	Ala	Ala 30	Leu	Gly
10	Суз	Leu	Val 35	Lys	Asp	Tyr	Phe	Pro 40	Glu	Pro	Val	Thr	Val 45	Ser	Trp	Asn
15																
20																
25																
30																
35																
40																
45																
50																
55																
60																
65																

	Ser	Gly 50	Ala	Leu	Thr	Ser	Gly 55	Val	His	Thr	Phe	Pro 60	Ala	Val	Leu	Gln
5	Ser 65	Ser	Gly	Leu	Tyr	Ser 70	Leu	Ser	Ser	Val	Val 75	Thr	Val	Pro	Ser	Ser 80
10	Ser	Leu	Gly	Thr	Gln 85	Thr	Tyr	Ile	Cys	Asn 90	Val	Asn	His	Lys	Pro 95	Ser
15	Asn	Thr	Lys	Val 100	Asp	Lys	Lys	Ala	Glu 105	Pro	Lys	Ser	Cys	Asp 110	Lys	Thr
20	His	Thr	Cys 115	Pro	Pro	Cys	Pro	Ala 120	Pro	Glu	Leu	Leu	Gly 125	Gly	Pro	Ser
25	Val	Phe 130	Leu	Phe	Pro	Pro	Lys 135	Pro	Lys	Asp	Thr	Leu 140	Met	Ile	Ser	Arg
20	Thr 145	Pro	Glu	Val	Thr	Cys 150	Val	Val	Val	Asp	Val 155	Ser	His	Glu	Asp	Pro 160
30	Glu	Val	Lys	Phe	Asn 165	Trp	Tyr	Val	Asp	Gly 170	Val	Glu	Val	His	Asn 175	Ala
35	Lys	Thr	Lys	Pro 180	Arg	Glu	Glu	Gln	Tyr 185	Asn	Ser	Thr	Tyr	Arg 190	Val	Val
40	Ser	Val	Leu 195	Thr	Val	Leu	His	Gln 200	Asp	Trp	Leu	Asn	Gly 205	Lys	Glu	Tyr
45	Lys	Cys 210	Lys	Val	Ser	Asn	Lys 215	Ala	Leu	Pro	Ala	Pro 220	Ile	Glu	Lys	Thr
50	Ile 225	Ser	Lys	Ala	Lys	Gly 230	Gln	Pro	Arg	Glu	Pro 235	Gln	Val	Tyr	Thr	Leu 240
	Pro	Pro	Ser	Arg	Asp 245	Glu	Leu	Thr	Lys	Asn 250	Gln	Val	Ser	Leu	Thr 255	Суз
55	Leu	Val	Lys	Gly 260	Phe	Tyr	Pro	Ser	Asp 265	Ile	Ala	Val	Glu	Trp 270	Glu	Ser
60	Asn	Gly	Gln 275	Pro	Glu	Asn	Asn	Tyr 280	Lys	Thr	Thr	Pro	Pro 285	Val	Leu	Asp
65	Ser	asA	Glv	Ser	Phe	Phe	Leu	Tyr	Ser	Lys	Leu	Thr	Val	Asp	Lys	Ser

			290					295					300				
5		Arg 305	Trp	Gln	Gln	Gly	Asn 310	Val	Phe	Ser	Суз	Ser 315	Val	Met	His	Glu	Ala 320
10		Leu	His	Asn	His	Tyr 325	Thr	Gln	Lys	Ser	Leu 330	Ser	Leu	Ser	Pro	Gly 335	Lys
15	<210> <211> <212> <213>	332 PRT	encia a	rtificial													
20	<220> <223>		rucciór	n sintét	tica qu	e conti	ene el	domin	io Fc d	e IgG2	2						
	<400>	98															
25																	
30																	
35																	
40																	
45																	
50																	
55																	
60																	
65																	

5	Leu 1	Val	Thr	Val	Ser 5	Ser	Ala	Ser	Thr	Lys 10	Gly	Pro	Ser	Val	Phe 15	Pro
	Leu	Ala	Pro	Cys 20	Ser	Arg	Ser	Thr	Ser 25	Glu	Ser	Thr	Ala	Ala 30	Leu	Gly
10	Cys	Leu	Val 35	Lys	Asp	Tyr	Phe	Pro 40	Glu	Pro	Val	Thr	Val 45	Ser	Trp	Asn
15	Ser	Gly 50	Ala	Leu	Thr	Ser	Gly 55	Val	His	Thr	Phe	Pro 60	Ala	Val.	Leu	Gln
20	Ser 65	Ser	Gly	Leu	Tyr	Ser 70	Leu	Ser	Ser	Val	Val 75	Thr	Val	Thr	Ser	Ser 80
25	Asn	Phe	Gly	Thr	Gln 85	Thr	Tyr	Thr	Суз	Asn 90	Val	Asp	His	Lys	Pro 95	Ser
30	Asn	Thr	Lys	Val	Asp	Lys	Thr	Val	Glu 105	Arg	Lys	Cys	Cys	Val 110	Glu	Cys
35	Pro	Pro	Cys 115	Pro	Ala	Pro	Pro	Val 120	Ala	Gly	Pro	Ser	Val 125	Phe	Leu	Phe
40	Pro	Pro 130	Lys	Pro	Lys	Asp	Thr 135	Leu	Met	Ile	Ser	Arg 140	Thr	Pro	Glu	Val
45	Thr 145	Cys	Val	Val	Val	Asp 150	Val	Ser	His	Glu	Asp 155	Pro	Glu	Val	Gln	Phe 160
50	Asn	Trp	Tyr	Val	Asp 165	Gly	Val	Glu	Val	His 170	Asn	Ala	Lys	Thr	Lys 175	Pro
55																
60																
65																

		Arg	Glu	Glu	Gln 180	Phe	Asn	Ser	Thr	Phe 185	Arg	Val	Val	Ser	Val 190	Leu	Thr
5		Val	Val	His 195	Gln	Asp	Trp	Leu	Asn 200	Gly	Lys	Glu	Tyr	Lys 205	Cys	Lys	Val
10		Ser	Asn 210	Lys	Gly	Leu	Pro	Ala 215	Pro	Ile	Glu	Lys	Thr 220	Ile	Ser	Lys	Thr
15		Lys 225	Gly	Gln	Pro	Arg	Glu 230	Pro	Gln	Val	Tyr	Thr 235	Leu	Pro	Pro	Ser	Arg 240
20		Glu	Glu	Met	Thr	Lys 245	Asn	Gln	Val	Ser	Leu 250	Thr	Cys	Leu	Val	Lys 255	Gly
25		Phe	Tyr	Pro	Ser 260	Asp	Ile	Ala	Val	Glu 265	Trp	Glu	Ser	Asn	Gly 270	Gln	Pro
30		Glu	Asn	Asn 275	Tyr	Lys	Thr	Thr	Pro 280	Pro	Met	Leu	Asp	Ser 285	Asp	Gly	Ser
		Phe	Phe 290		Tyr	Ser	Lys	Leu 295	Thr	Val	Asp	Lys	Ser 300	Arg	Trp	Gln	Gln
35		Gly 305	Asn	Val	Phe	Ser	Cys 310	Ser	Val	Met	His	Glu 315	Ala	Leu	His	Asn	His 320
40		Tyr	Thr	Gln	Lys	Ser 325	Leu	Ser	Leu	Ser	Pro 330	Gly	Lys				
45	<210><211><211><212><213>	333 PRT	encia a	artificia	I												
50	<220> <223>	Const	rucció	n sinté	tica qu	ıe cont	iene e	l domi	nio Fc	de IgG	64						
	<400>	99															
55		L 1		al T	nr Va	ıl Se 5	r Se	r Al	a Sei	c Thr	Lys 10	Gly	Pro	Ser	Val	Phe 15	Pro
60		L	eu A	la P:	ro C <u>y</u> 20		r Ar	g Se	r Thi	r Ser 25	Glu	Ser	Thr	Ala	Ala 30	Leu	Gly
65		С	ys L	eu Va	_	s As	р Ту	r Ph	e Pro	o Glu	Pro	Val	Thr	Val 45	Ser	Trp	Asn

	Ser	Gly 50	Ala	Leu	Thr	Ser	Gly 55	Val	His	Thr	Phe	Pro 60	Ala	Val	Leu	Gln
5	Ser 65	Ser	Gly	Leu	Tyr	Ser 70	Leu	Ser	Ser	Val	Val 75	Thr	Val	Pro	Ser	Ser 80
10	Ser	Leu	Gly	Thr	Lys 85	Thr	Tyr	Thr	Cys	Asn 90	Val	Asp	His	Lys	Pro 95	Ser
15	Asn	Thr	Lys	Val 100	Asp	Lys	Arg	Val	Glu 105	Ser	Lys	Tyr	Gly	Pro 110	Pro	Cys
20	Pro	Ser	Cys 115	Pro	Ala	Pro	Glu	Phe 120	Leu	Gly	Gly	Pro	Ser 125	Val	Phe	Leu
25	Phe	Pro 130	Pro	Lys	Pro	Lys	Asp 135	Thr	Leu	Met	Ile	Ser 140	Arg	Thr	Pro	Glu
	Val 145	Thr	Cys	Val	Val	Val 150	Asp	Val	Ser	Gln	Glu 155	Asp	Pro	Glu	Val	Gln 160
30	Phe	Asn	Trp	Tyr	Val 165	Asp	Gly	Val	Glu	Val 170	His	Asn	Ala	Lys	Thr 175	Lys
35	Pro	Arg	Glu	Glu 180	Gln	Phe	Asn	Ser	Thr 185	Tyr	Arg	Val	Val	Ser 190	Val	Leu
40	Thr	Val	Leu 195	His	Gln	Asp	Trp	Leu 200	Asn	Gly	Lys	Glu	Tyr 205	Lys	Суз	Lys
45	Val	Ser 210	Asn	Lys	Gly	Leu	Pro 215	Ser	Ser	Ile	Glu	Lys 220	Thr	Ile	Ser	Lys
	Ala 225		Gly	Gln	Pro	Arg 230	Glu	Pro	Gln	Val	Tyr 235	Thr	Leu	Pro	Pro	Ser 240
50	Gln	Glu	Glu	Met	Thr 245	Lys	Asn	Gln	Val	Ser 250	Leu	Thr	Суз	Leu	Val 255	Lys
55	Gly	Phe	Tyr	Pro 260	Ser	Asp	Ile	Ala	Val 265	Glu	Trp	Glu	Ser	Asn 270	Gly	Gln
60	Pro	Glu	Asn 275	Asn	Tyr	Lys	Thr	Thr 280	Pro	Pro	Val	Leu	Asp 285	Ser	Asp	Gly
65	Ser	Phe 290	Phe	Leu	Tyr	Ser	Arg 295	Leu	Thr	Val	Asp	Lys 300	Ser	Arg	Trp	Gln

	Glu 305	Gly	Asn	Val	Phe	Ser (310	Cys S	Ger V	al M		is G1 L5	u Al	a Le	u His	320	
5	His	Tyr	Thr	Gln	Lys 325	Ser :	Leu S	er L		er Le 30	eu Gl	у Lу	s			5
10	<210> 100 <211> 332 <212> PRT <213> Secuen	ıcia art	ificial													
15	<220> <223> Constru	ıcción	sintéti	ca que	e conti	ene el	domini	o Fc d	e IgG2	2m4						
	<400> 100															
20	Leu 1	Val	Thr	Val	Ser 5	Ser	Ala	Ser	Thr	Lys 10	Gly	Pro	Ser	Val	Phe 15	Pro
25	Leu	Ala	Pro	Cys 20	Ser	Arg	Ser	Thr	Ser 25	Glu	Ser	Thr	Ala	Ala 30	Leu	Gly
30	Cys	Leu	Val 35	Lys	Asp	Tyr	Phe	Pro 40	Glu	Pro	Val	Thr	Val 45	Ser	Trp	Asn
25	Ser	Gly 50	Ala	Leu	Thr	Ser	Gly 55	Val	His	Thr	Phe	Pro 60	Ala	Val	Leu	Gln
35	Ser 65	Ser	Gly	Leu	Tyr	Ser 70	Leu	Ser	Ser	Val	Val 75	Thr	Val	Thr	Ser	Ser 80
40	Asn	Phe	Gly	Thr	Gln 85	Thr	Tyr	Thr	Cys	Asn 90	Val	Asp	His	Lys	Pro 95	Ser
45	Asn	Thr	Lys	Val 100	_	Lys	Thr	Val	Glu 105	Arg	Lys	Cys	Cys	Val 110	Glu	Cys
50	Pro	Pro	Cys 115	Pro	Ala	Pro	Pro	Val 120	Ala	Gly	Pro	Ser	Val 125	Phe	Leu	Phe
55	Pro	Pro 130	Lys	Pro	Lys	Asp	Thr 135	Leu	Met	Ile	Ser	Arg 140	Thr	Pro	Glu	Val
60	Thr 145	Cys	Val	Val	Val	Asp 150	Val	Ser	Gln	Glu	Asp 155	Pro	Glu	Val	Gln	Phe 160
65	Asn	Trp	Tyr	Val	Asp 165	_	Val	Glu	Val	His 170	Asn	Ala	Lys	Thr	Lys 175	Pro

	A	rg	Glu	Glu	Gln 180	Phe	Asn	Ser	Thr	Phe 185	Arg	Val	Val	Ser	Val 190	Leu	Thr
5	V	al	Leu	His 195	Gln	Asp	Trp	Leu	Asn 200		' Lys	Glu	Tyr	Lys 205	Cys	Lys	Val
10	S		Asn 210	Lys	Gly	Leu	Pro	Ser 215		: Ile	. Glu	Lys	Thr 220	Ile	Ser	Lys	Thr
15		ys 25	Gly.	Gln	Pro	Arg	Glu 230	Pro	Gln	val	. Tyr	Thr 235	Leu	Pro	Pro	Ser	Arg 240
20	G	lu	Glu	Met	Thr	Lys 245	Asn	Gln	Val	. Ser	Leu 250	Thr	Cys	Leu	Val	Lys 255	Gly
25	P	he	Tyr	Pro	Ser 260	Asp	Ile	Ala	Val	. Glu 265	Trp	Glu	Ser	Asn	Gly 270	Gln	Pro
30	G	lu	Asn	Asn 275	Tyr	Lys	Thr	Thr	Pro 280		Met	Leu	Asp	Ser 285	Asp	Gly	Ser
35	P		Phe 290	Leu	Tyr	Ser	Lys	Leu 295		· Val	. Asp	Lys	Ser 300	Arg	Trp	Gln	Gln
40		ly 05	Asn	Val	Phe	Ser	Cys 310		Val	. Met	: His	Glu 315	Ala	Leu	His	Asn	His 320
	т	yr	Thr	Gln	Lys	Ser 325	Leu	Ser	Leu	ı Ser	Pro 330		Lys				
45	<210> 101 <211> 401 <212> PR1 <213> Hon		apiens	;													
50	<400> 101																
		Ala 1	Pro	Thr	Glu	Thr 5	Gln	Pro	Pro		Thr A	sn Le	eu Se	r Val	l Ser 15	. Val	
55		Glu	Asn	Leu	Cys 20	Thr	Val	Ile	Trp	Thr '	Trp A	sn Pi	o Pr	o G1: 30	ı Gly	, Ala	
60		Ser	Ser	Asn 35	Cys	Ser	Leu	Trp	Tyr 40	Phe	Ser H	is Ph	ne Gl 45		o Lys	3 Gln	
65		Asp	Lys 50	Lys	Ile	Ala	Pro	Glu 55	Thr	Arg .	Arg S	er II		u Vai	l Pro	Leu	

	Asn 65	Glu	Arg	Ile	Cys	Leu 70	Gln	Val	Gly	Ser	Gln 75	Cys	Ser	Thr	Asn	Glu 80
5	Ser	Glu	Lys	Pro	Ser 85	Ile	Leu	Val	Glu	Lys 90	Суз	Ile	Ser	Pro	Pro 95	Glu
10	Gly	Asp	Pro	Glu 100	Ser	Ala	Val	Thr	Glu 105	Leu	Gln	Суз	Ile	Trp 110	His	Asn
15	Leu	Ser	Tyr 115	Met	Lys	Суз	Ser	Trp 120	Leu	Pro	Gly	Arg	Asn 125	Thr	Ser	Pro
20	Asp	Thr 130	Asn	Tyr	Thr	Leu	Tyr 135	Tyr	Trp	His	Arg	Ser 140	Leu	Glu	Lys	Ile
25	His 145	Gln	Суз	Glu	Asn	Ile 150	Phe	Arg	Glu	Gly	Gln 155	Tyr	Phe	Gly	Суз	Ser 160
	Phe	Asp	Leu	Thr	Lys 165	Val	Lys	Asp	Ser	Ser 170	Phe	Glu	Gln	His	Ser 175	Val
30	Gln	Ile	Met	Val 180	Lys	Asp	Asn	Ala	Gly 185	Lys	Ile	Lys	Pro	Ser 190	Phe	Asn
35	Ile	Val	Pro 195	Leu	Thr	Ser	Arg	Val 200	Lys	Pro	Asp	Pro	Pro 205	His	Ile	Lys
40	Asn	Leu 210	Ser	Phe	His	Asn	Asp 215	Asp	Leu	Tyr	Val	Gln 220	Trp	Glu	Asn	Pro
45	Gln 225	Asn	Phe	Ile	Ser	Arg 230	Cys	Leu	Phe	Tyr	Glu 235	Val	Glu	Val	Asn	Asn 240
	Ser	Ğln	Thr	Glu	Thr 245	His	Asn	Val	Phe	Tyr 250	Val	Gln	Glu	Ala	Lys 255	Суз
50	Glu	Asn	Pro	Glu 260	Phe	Glu	Arg	Asn	Val 265	Glu	Asn	Thr	Ser	Cys 270	Phe	Met
55	Val	Pro	Gly 275	Val	Leu	Pro	Asp	Thr 280	Leu	Asn	Thr	Val	Arg 285	Ile	Arg	Val
60	Lys	Thr 290	Asn	Lys	Leu	Cys	Tyr 295	Glu	Asp	Asp	Lys	Leu 300	Trp	Ser	Asn	Trp
65	Ser 305	Gln	Glu	Met	Ser	Ile 310	Gly	Lys	Lys	Arg	Asn 315	Ser	Thr	Leu	Tyr	11e 320

		Thr	Met	Leu	Leu	Ile 325	Val	Pro	Val	Ile	Val 330	Ala	Gly	Ala	Ile	Ile 335		L
5		Leu	Leu	Leu	Tyr 340	Leu	Lys	Arg	Leu	Lys 345	Ile	Ile	Ile	Phe	Pro 350	Pro	Ile	è
10		Pro	Asp	Pro 355	Gly	Lys	Ile	Phe	Lys 360	Glu	Met	Phe	Gly	Asp 365	Gln	Asn	Asp	•
15		Asp	Thr 370	Leu	His	Trp	Lys	Lys 375	Tyr	Asp	Ile	Tyr	Glu 380	Lys	Gln	Thr	Lys	3
20		Glu 385	Glu	Thr	Asp	Ser	Val 390	Val	Leu	Ile	Glu	Asn 395	Leu	Lys	Lys	Ala	Se:	
		Gln																
25	<210> 102 <211> 17 <212> PRT <213> Secue	ncia a	artificia	al														
30	<220> <223> 10G5 \	VH Si	ntético	o de C	DR2													
	<400> 102																	
35	Va 1	al I	le T	yr P		Gly 2	Asp	Ser	Tyr	Thr	Arg 10	Tyr	Ser	Pro	Ser	Ph 15		ln
40	G:	Ly																
45	<210> 103 <211> 324 <212> PRT <213> Homo	sapie	ns															
50	<400> 103																	
55	Asp 1	Туз	c Ly	s As	р А : 5	sp A	sp (31u	Ser	Arg	Thr 10	Glu	Th	r Gl	n Pi		ro .5	Val
	Thr	Ası	n Le	u Se 20		al S	er V	V al	Glu	Asn 25	Leu	Cys	Th	r Va	1 II 30		?rp	Thr
60	Trp	Ası	n Pr 35		o G	lu G	ly 1	Ala	Ser 40	Ser	Asn	Cys	Se	r Le 45		rp I	'yr	Phe
65																		

	Ser	His 50	Phe	Gly	Asp	Lys	Gln 55	Asp	Lys	Lys	Ile	Ala 60	Pro	Glu	Thr	Arg
5	Arg 65	Ser	Ile	Glu	Val	Pro 70	Leu	Asn	Glu	Arg	Ile 75	Cys	Leu	Gln	Val	Gly 80
10	Ser	Gln	Суз	Ser	Thr 85	Asn	Glu	Ser	Glu	Lys 90	Pro	Ser	Ile	Leu	Val 95	Glu
15	Lys	Суз	Ile	Ser 100	Pro	Pro	Glu	Gly	Asp 105	Pro	Glu	Ser	Ala	Val 110	Thr	Glu
20	Leu	Gln	Cys 115	Ile	Trp	His	Asn	Leu 120	Ser	Tyr	Met	Lys	Cys 125	Ser	Trp	Leu
25	Pro	Gly 130	Arg	Asn	Thr	Ser	Pro 135	Asp	Thr	Asn	Tyr	Thr 140	Leu	Tyr	Tyr	Trp
	His 145	Arg	Ser	Leu	Glu	Lys 150	Ile	His	Gln	Суз	Glu 155	Asn	Ile	Phe	Arg	Glu 160
30	Gly	Gln	Tyr	Phe	Gly 165	Суз	Ser	Phe	Asp	Leu 170	Thr	Lys	Val	Lys	Asp 175	Ser
35	Ser	Phe	Glu	Gln 180	His	Ser	Val	Gln	Ile 185	Met	Val	Lys	Asp	Asn 190	Ala	Gly
40	Lys	Ile	Lys 195	Pro	Ser	Phe	Asn	Ile 200	Val	Pro	Leu	Thr	Ser 205	Arg	Val	Lys
45	Pro	Asp 210	Pro	Pro	His	Ile	Lys 215	Asn	Leu	Ser	Phe	His 220	Asn	Asp	Asp	Leu
50	T <u>y</u> r 225	Val	Gln	Trp	Glu	Asn 230	Pro	Gln	Asn	Phe	Ile 235	Ser	Arg	Суş	Leu	Phe 240
50	Tyr	Glu	Val	Glu	Val 245	Asn	Asn	Ser	Gln	Thr 250	Glu	Thr	His	Asn	Val 255	Phe
55	Tyr	Val	Gln	Glu 260	Ala	Lys	Cys	Glu	Asn 265	Pro	Glu	Phe	Glu	Arg 270	Asn	Val
60	Glu	Asn	Thr 275	Ser	Cys	Phe	Met	Val 280	Pro	Gly	Val	Leu	Pro 285	Asp	Thr	Leu
65	Asn	Thr 290	Val	Arg	Ile	Arg	Val 295	Lys	Thr	Asn	Lys	Leu 300	Cys	Tyr	Glu	Asp

		305	Lys	Leu	Trp	Ser	Asn 310	Trp	Ser	Gln	Glu	Met 315	Ser	Ile	Gly	Lys	120 320
5		Arg 1	Asn	Ser	Thr												
10	<210> 1 <211> 4 <212> F <213> N	401 PRT Macaca	fascio	cularis													
	<400> 1	104															
15		Ala 1	Pro	Thr	Glu	Thr 5	Gln	Pro	Pro	Val	Thr 10	Asn	Leu	Ser	Val	Ser 15	Val
20		Glu	Asn	Leu	Cys 20	Thr	Val	Ile	Trp	Thr 25	Trp	Asn	Pro	Pro	Glu 30	Gly	Ala
25		Ser	Pro	Asn 35	Cys	Ser	Leu	Trp	Tyr 40	Phe	Ser	His	Phe	Gly 45	Asp	Lys	Gln
30		Asp	Lys 50	Lys	Leu	Ala	Pro	Glu 55	Thr	Arg	Arg	Ser	Lys 60	Glu	Val	Pro	Leu
35		Asn 65	Glu	Lys	Ile	Cys	Leu 70	Gln	Val	Gly	Ser	Gln 75	Cys	Ser	Thr	Asn	Glu 80
40		Ser	Glu	Lys	Pro	Ser 85	Ile	Leu	Val	Glu	Lys 90	Cys	Ile	Ser	Pro	Pro 95	Glu
40		Gly	Asp	Pro	Glu 100	Ser	Ala	Val	Thr	Glu 105	Leu	Gln	Cys	Ile	Trp 110	His	Asn
45		Leu	Ser	Tyr 115		Gln	Суз	Ser	Trp 120	Leu	Pro	Gly	Arg	Asn 125	Thr	Ser	Pro
50		Asp	Thr 130		Tyr	Thr	Leu	Tyr 135	Tyr	Trp	His	Arg	Ser 140	Leu	Glu	Lys	Ile
55		Arg 145	Gln	Cys	Glu	Glu	Ile 150	Tyr	Lys	Glu	Gly	Gln 155	Tyr	Phe	Gly	Cys	Ser 160
60		Phe	Asp	Leu	Thr	Lys 165	Val	Lys	Asp	Ser	Ser 170	Phe	Glu	Gln	His	Ser 175	Val
65		Gln	Ile	Met	Val 180	Lys	Asp	Tyr	Ala	Gly 185	Lys	Ile	Lys	Pro	Ser 190	Phe	Asn

	3	lle	Val	Pro 195	Leu	Thr	Ser	Arg	Val 200	Lys	Pro	Asp	Pro	Pro 205	His	Ile	Lys
5	2	Asn	Leu 210	Ser	Phe	His	Asn	Gly 215	Asp	Leu	His	Val	Gln 220	Trp	Glu	Asn	Pro
10		51n 225	Asn	Phe	Ile	Ser	Arg 230	Суз	Leu	Phe	Tyr	Glu 235	Val	Glu	Val	Asn	Asn 240
15	S	Ser	Gln	Thr	Glu	Thr 245	His	Asn	Val	Phe	Ser 250	Val	Gln	Glu	Ala	Lys 255	Cys
20	C	Gln	Asn	Pro	Glu 260	Phe	Glu	Arg	Asn	Val 265	Glu	Asn	Thr	Ser	Cys 270	Phe	Met
25	7	/al	Pro	Gly 275	Val	Leu	Pro	Asp	Thr 280	Leu	Asn	Thr	Val	Arg 285	Ile	Arg	Val
30	1	ГÀЗ	Thr 290	Asn	Lys	Leu	Cys	Tyr 295	Glu	Asp	Asp	Lys	Leu 300	Trp	Ser	Asn	Trp
35		Ser 305	Gln	Glu	Met	Ser	Ile 310	Gly	Lys	Lys	Arg	Asn 315	Ser	Thr	Leu	Tyr	Ile 320
	7	Thr	Met	Leu	Leu	Ile 325	Val	Pro	Val	Ile	Val 330	Ala	Gly	Ala	Ile	Ile 335	Val
40	1	Leu	Leu	Leu	Tyr 340	Leu	Lys	Arg	Leu	Lys 345	Ile	Ile	Ile	Phe	Pro 350	Pro	Ile
45	I	Pro	Asp	Pro 355	Gly	Lys	Ile	Phe	Lys 360	Glu	Met	Phe	Gly	Asp 365	Gln	Asn	Asp
50	1	Asp	Thr 370	Leu	His	Trp	Lys	Lys 375	Tyr	Asp	Ile	Tyr	Glu 380	Lys	Gln	Thr	Lys
55		Glu 385	Glu	Thr	Asp	Ser	Val 390	Val	Leu	Ile	Glu	Asn 395	Leu	Lys	Lys	Ala	Ser 400
60		3ln					·										
65	<210> 105 <211> 395 <212> PR <213> Mu	8 RT	ısculus	S													
00	<400> 10	5															

	Thr 1	Glu	Val	Gln	Pro 5	Pro	Val	Thr	Asn	Leu 10	Ser	Val	Ser	Val	Glu 15	Asn
5	Leu	Суз	Thr	Ile 20	Ile	Trp	Thr	Trp	Ser 25	Pro	Pro	Glu	Gly	Ala 30	Ser	Pro
10	Asn	Суз	Thr 35	Leu	Arg	Tyr	Phe	Ser 40	His	Phe	Asp	Asp	Gln 45	Gln	Asp	Lys
15	Lys	Ile 50	Ala	Pro	Glu	Thr	His 55	Arg	Lys	Glu	Glu	Leu 60	Pro	Leu	Asp	Glu
20	Lys 65	Ile	Cys	Leu	Gln	Val 70	Gly	Ser	Gln	Суз	Ser 75	Ala	Asn	Glu	Ser	Glu 80
25	Lys	Pro	Ser	Pro	Leu 85	Val	Lys	Lys	Суз	Ile 90	Ser	Pro	Pro	Glu	Gly 95	Asp
25	Pro	Glu	Ser	Ala 100	Val	Thr	Glu	Leu	Lys 105	Cys	Ile	Trp	His	Asn 110	Leu	Ser
30	Tyr	Met	Lys 115	Суз	Ser	Trp	Leu	Pro 120	Gly	Arg	Asn	Thr	Ser 125	Pro	Asp	Thr
35	His	Tyr 130	Thr	Leu	Tyr	Tyr	Trp 135	Tyr	Ser	Ser	Leu	Glu 140	Lys	Ser	Arg	Gln
40	Cys 145	Glu	Asn	Ile	Tyr	Arg 150	Glu	Gly	Gln	His	Ile 155	Ala	Суз	Ser	Phe	Lys 160
45	Leu	Thr	Lys	Val	Glu 165	Pro	Ser	Phe	Glu	His 170	Gln	Asn	Val	Gln	Ile 175	Met
50	Val	Lys	Asp	Asn 180	Ala	Gly	Lys	Ile	Arg 185	Pro	Ser	Суз	Lys	Ile 190	Val	Ser
	Leu	Thr	Ser 195	Tyr	Val	Lys	Pro	Asp 200	Pro	Pro	His	Ile	Lys 205	His	Leu	Leu
55	Leu	Lys 210	Asn	Gly	Ala	Leu	Leu 215	Val	Gln	Trp	Lys	Asn 220	Pro	Gln	Asn	Phe
60	Arg 225	Ser	Arg	Cys	Leu	Thr 230	Tyr	Glu	Val	Glu	Val 235	Asn	Asn	Thr	Gln	Thr 240
65	Asp	Arg	His	Asn	Ile 245	Leu	Glu	Val	Glu	Glu 250	Asp	Lys	Cys	Gln	Asn 255	Ser

		Glu	Ser	Asp	Arg 260	Asn	Met	Glu	Gly	Thr 265	Ser	Cys	Phe	Gln	Leu 270	Pro	Gly
5		Val	Leu	Ala 275	Asp	Ala	Val	Tyr	Thr 280	Val	Arg	Val	Arg	Val 285	Lys	Thr	Asn
10		Lys	Leu 290	Cys	Phe	Asp	Asp	Asn 295	Lys	Leu	Trp	Ser	Asp 300	Trp	Ser	Glu	Ala
15		Gln 305	Ser	Ile	Gly	Lys	Glu 310	Gln	Asn	Ser	Thr	Phe 315	Tyr	Thr	Thr	Met	Leu 320
20		Leu	Thr	Ile	Pro	Val 325	Phe	Val	Ala	Val	Ala 330	Val	Ile	Ile	Leu	Leu 335	Phe
25		Tyr	Leu	Lys	Arg 340	Leu	Lys	Ile	Ile	Ile 345	Phe	Pro	Pro	Ile	Pro 350	Asp	Pro
30		Gly	Lys	Ile 355	Phe	Lys	Glu	Met	Phe 360	Gly	Asp	Gln	Asn	Asp 365	Asp	Thr	Leu
35		His	Trp 370	Lys	Lys	Tyr	Asp	Ile 375	Tyr	Glu	Lys	Gln	Ser 380	Lys	Glu	Glu	Thr
00		Asp	Ser	Val	Val	Len	Ile	Glu	Asn	Leu	Lvs	Lvs	Ala	Ala	Pro		
		385	501	· u =	141		390	0_0		200	-10	395					
40	<210> <211> <212> <213>	30 ADN	ncia ar	tificial													
45	<220> <223>	VH sin	tético (de CDI	R1												
	<400>																
50	ggatac		ccage	ta ctoc	atcaa	30											
	<210> <211>	107 30			,33												
55	<212> <213>		ncia ar	tificial													
	<220> <223>	VH sin	tético (de CDI	R2												
60	<400>	107															
	gtcatcta	atc ctg	gtgacto	ttatac	caga	30											
65	<210> <211> <212>	27															

```
<213> Secuencia artificial
      <220>
      <223> VH sintético de CDR3
 5
      <400> 108
      ttccccaact ggggctcatt tgactac
                                       27
      <210> 109
10
      <211> 35
      <212> ADN
      <213> Secuencia artificial
15
      <223> VL sintético de CDR1
      <400> 109
      agggccagtc agagattagc agcagctact tagcc
                                               35
20
      <210> 110
      <211> 21
      <212> ADN
      <213> Secuencia artificial
25
      <220>
      <223> VL sintético de CDR2
      <400> 110
30
      ggtgcatcca gcagggccac t 21
      <210> 111
      <211> 15
      <212> ADN
35
      <213> Secuencia artificial
      <220>
      <223> VL sintético de CDR3
40
      <400> 111
      cagcagtatg agacg
                               15
45
      <210> 112
      <211> 27
      <212> ADN
      <213> Secuencia artificial
50
      <223> 10G5-6 VH sintético de CDR3
      <400> 112
55
      atgcccaact ggggctcact tgaccat
                                       27
      <210> 113
      <211> 15
      <212> ADN
60
      <213> Secuencia artificial
      <223> VL sintético de CDR3
65
      <400> 113
```

	cagcagtatg cttcg 15	
5	<210> 114 <211> 20 <212> ADN <213> Secuencia artificial	
10	<220> <223> Cebador de PCR sintético	
15	<220> <221> CARACTERISTICA_MISC <222> (19)(19) <223> Y denota C or T	
15	<400> 114	
	ggggtcaacc gccatcctyg	20
20	<210> 115 <211> 24 <212> ADN <213> Secuencia artificial	
25	<220> <223> Cebador de PCR sintético	
	<400> 115	
30	gtctccttcc tcatcttcct gccc	24
35	<210> 116 <211> 23 <212> ADN <213> Secuencia artificial	
	<220> <223> Cebador de PCR sintético	
40	<400> 116	
	cccatcggtc ttcccctgg cac	23
45	<210> 117 <211> 24 <212> ADN <213> Secuencia artificial	
50	<220> <223> Cebador de PCR sintético	
55	<220> <221> CARACTERISTICA_MISC <222> (1)(1) <223> Y denota C or T	
	<400> 117	
60	ytetteetee tgetaetetg gete	24
00	<210> 118 <211> 24 <212> ADN	
65	<213> Secuencia artificial	

	<220> <223>	Cebad	lor de l	PCR si	ntético)											
_	<400>	118															
5	atggtgt	tgc aga	acccag	gt cttc		24											
10	<210> <211> <212> <213>	32 ADN	ncia aı	rtificial													
15	<220> <223> <400>		lor de l	PCR si	ntético)											
			otacota	ta ttata	rtaget (20	,	32									
20	<pre>gaaatc <210> <211> <212> <213></pre>	120 401 PRT			jigeei (gc .	·	02									
25	<220> <223>	Recep	tor de	la IL-1	sintéti	co 13a	ılfa pol	ipéptid	0								
	<400>	120															
30		Ala 1	Pro	Thr	Glu	Thr 5	Gln	Pro	Pro	Val	Thr 10	Asn	Leu	Ser	Val	Ser 15	Val
35		Glu	Asn	Leu	Cys 20	Thr	Val	Ile	Trp	Thr 25	Trp	Asn	Pro	Pro	Glu 30	Gly	Ala
40		Ser	Ser	Asn 35	Cys	Ser	Leu	Trp	Tyr 40	Phe	Ser	His	Phe	Gly 45	Asp	Lys	Gln
45		Asp	Lys 50	Lys	Ile	Ala	Pro	Glu 55	Thr	Arg	Arg	Ser	Ile 60	Glu	Val	Pro	Leu
50		Asn 65	Glu	Arg	Ile	Cys	Leu 70	Gln	Val	Gly	Ser	Gln 75	Cys	Ser	Thr	Asn	Glu 80
55		Ser	Glu	Lys	Pro	Ser 85	Ile	Leu	Val	Glu	Lys 90	Суз	Ile	Ser	Pro	Pro 95	Glu
60																	

_	Gly	Asp	Pro	Glu 100	Ser	Ala	Val	Thr	Glu 105	Leu	Gln	Cys	Ile	110	His	Asn
5	Leu	Ser	Tyr 115	Met	Lys	Cys	Ser	Trp 120	Leu	Pro	Gly	Arg	Asn 125	Thr	Ser	Pro
10	Asp	Thr 130	Asn	Tyr	Thr	Leu	Tyr 135	Tyr	Trp	His	Arg	Ser 140	Leu	Glu	Lys	Ile
15	His 145	Gln	Cys	Glu	Asn	Ile 150	Phe	Arg	Glu	Gly	Gln 155	Tyr	Phe	Gly	Cys	Ser 160
20	Phe	Asp	Leu	Thr	Lys 165	Val	Lys	Asp	Ser	Ser 170	Phe	Glu	Gln	His	Ser 175	Val
25	Gln	Ile	Met	Val 180	Lys	Asp	Asn	Ala	Gly 185	Lys	Ile	Lys	Pro	Ser 190	Phe	Asn
	Ile	Val	Pro 195	Leu	Thr	Ser	Arg	Val 200	Lys	Pro	Asp	Pro	Pro 205	His	Ile	Lys
30	Asn	Leu 210	Ser	Phe	His	Asn	Asp 215	Asp	Leu	Tyr	Val	Gln 220	Trp	Glu	Asn	Pro
35	Gln 225	Asn	Phe	Ile	Ser	Arg 230	Суз	Leu	Ala	Tyr	Glu 235	Val	Glu	Val	Asn	Asn 240
40	Ser	Gln	Thr	Glu	Thr 245	His	Asn	Val	Phe	Tyr 250	Val	Gln	Glu	Ala	Lys 255	Cys
45	Glu	Asn	Pro	Glu 260	Phe	Glu	Arg	Asn	Val 265	Glu	Asn	Thr	Ser	Cys 270	Phe	Met
50	Val	Pro	Gly 275	Val	Leu	Pro	Asp	Thr 280	Leu	Asn	Thr	Val	Arg 285	Ile	Arg	Val
00	Lys	Thr 290	Asn	Lys	Leu	Cys	Tyr 295	Glu	Asp	Asp	Lys	Leu 300	Trp	Ser	Asn	Trp
55	Ser 305	Gln	Glu	Met	Ser	Ile 310	Gly	Lys	Lys	Arg	Asn 315	Ser	Thr	Leu	Tyr	Ile 320
60	Thr	Met	Leu	Leu	Ile 325	Val	Pro	Val	Ile	Val 330	Ala	Gly	Ala	Ile	Ile 335	Val
65	Leu	Leu	Leu	Tyr 340	Leu	Lys	Arg	Leu	Lys 345	Ile	Ile	Ile	Phe	Pro 350	Pro	Ile

		Pro	Asp	Pro 355	Gly	Lys	Ile	Phe	Lys 360	Glu	Met	Phe	Gly	Asp 365	Gln	Asn	Asp
5		Asp	Thr 370	Leu	His	Trp	Lys	Lys 375	Tyr	Asp	Ile	туг	Glu 380	Lys	Gln	Thr	Lys
10		Glu 385	Glu	Thr	Asp	Ser	Val 390	Val	Leu	Ile	Glu	Asn 395	Leu	Lys	Lys	Ala	Ser 400
15		Gln															
20	<210> <211> <212> <213>	9 PRT	ncia ar	tificial													
25	<220> <223> <220>																
30	<221><222><223> 220	(1)(1) Xaa de	enota F	Phe, Mo	et, Gln	, Leu c	Val										
35	<221> <222> <223>	(6)(6) Xaa de	enota S	Ser o A	la												
40	<221><222><223><220>	(7)(7)															
45	<221> <222> <223>	(9)(9) Xaa de					rp, His	, Ala, ⁻	Γhr, Se	er, Asn	o Gly						
	\400 >	121			Xaa 1	a Pr	o As	n Tr	np G1 5	Ly X	aa X	aa A	sp }	(aa			
50					•				•								
55	<210><211><211><212><213>	5 PRT	ncia ar	tificial													
	<220> <223>	VL sint	ético d	le CDF	R3												
60	<220> <221> <222>			STICA	_MISC	;											

	<223> Xaa denota Gln, Arg, Met, Ser, Thr	o Val.				
5	<220> <221> CARACTERISTICA_MISC <222> (3)(3) <223> Xaa denota Tyr o Val.					
10	<220> <221> CARACTERISTICA_MISC <222> (4)(4) <223> Xaa denota Glu, Ala, Gly o Ser.					
15	<220> <221> CARACTERISTICA_MISC <222> (5)(5) <223> Xaa denota Thr, Ala o Ser.					
	<400> 122					
20		Gln 1	Xaa	Xaa	Xaa	Xaa 5
25	<210> 123 <211> 36 <212> ADN <213> Secuencia artificial					
30	<220> <223> VL sintético de CDR1					
	<400> 123					
35	agggccagtc agagtattag cagcagctac ttagcc		36	5		
40						
45						
50						
55						
60						

Reivindicaciones

5

15

20

25

35

40

45

50

55

60

- 1. Un anticuerpo aislado que (i) compite con el anticuerpo producido por la línea celular de hibridoma depositada como el Depósito de ATCC Nº PTA-6933 para unirse con hIL-13Rα1; (ii) inhibe la señalización de IL-13; y (iii) en donde una sustitución en un péptido de hIL-13Rα1 del residuo de fenilalanina que corresponde a la posición 233 de la SEC ID Nº:101 con un residuo de alanina lleva a la pérdida de la unión entre dicho anticuerpo y el péptido de hIL-13Rα1 mutante resultante en comparación con la unión entre dicho anticuerpo y el péptido de hIL-13Rα1 sin dicha sustitución.
- 10 **2.** El anticuerpo aislado de cualquier reivindicación anterior que muestra por lo menos una de las siguientes:
 - (i) inhibición de la liberación de eotaxina inducida por IL-13 en células NHDF;
 - (ii) inhibición de la liberación de eotaxina inducida por IL-4 en células NHDF;
 - (iii) inhibición de la fosforilación de STAT6 inducida por IL-13 en células NHDF;
 - (iv) inhibición de la fosforilación de STAT6 inducida por IL-4 en células NHDF; y
 - (v) inhibición de liberación estimulada por IL-13 de TARC en sangre o PBMCs.
 - 3. El anticuerpo aislado de cualquier reivindicación anterior que se une con IL-13R α 1 humana con un K_D de $5x10^{-9}$ o menos como se determina por tecnologías de resonancia de plasmones superficiales.
 - **4.** El anticuerpo aislado de cualquier reivindicación anterior que es humano, humanizado, desinmunizado, quimérico o primatizado.
 - 5. Una molécula de ácido nucleico aislada que codifica el anticuerpo de cualquiera de las reivindicaciones 1 a 4.
 - 6. Un vector que comprende la molécula de ácido nucleico de la reivindicación 5.
 - 7. Una célula huésped que comprende el vector de la reivindicación 6.
- 30 **8.** Una composición que comprende el anticuerpo de cualquiera de las reivindicaciones 1 a 4 y un vehículo farmacéuticamente aceptable.
 - **9.** Un anticuerpo aislado de acuerdo con cualquiera de las reivindicaciones 1 a 4, o una composición de acuerdo con la reivindicación 8, para el uso en terapia.
 - **10.** Un anticuerpo aislado de acuerdo con cualquiera de las reivindicaciones 1 a 4, o una composición de acuerdo con la reivindicación 8, para su uso en el tratamiento de una enfermedad, trastorno o afección mediada por IL-13Rα1, en donde dicha enfermedad, trastorno o afección es asma, alergia, rinitis alérgica, sinusitis crónica, fiebre del heno, dermatitis atópica, enfermedad pulmonar obstructiva crónica, fibrosis pulmonar, eosinofilia esofágica, esclerodermia, psoriasis, artritis psoriásica, fibrosis, enfermedad inflamatoria del intestino, colitis ulcerosa, anafilaxia o cáncer.
 - **11.** El anticuerpo aislado para el uso de acuerdo con la reivindicación 10, en donde el cáncer es linfoma de Hodgkin, glioma o carcinoma renal.
 - **12.** Un procedimiento para cribar para moléculas de anticuerpos que apuntan a la misma región en hIL-13Rα1 que el anticuerpo producido por la línea celular de hibridoma depositada como Depósito de ATCC N° PTA-6933, que implica (a) analizar la unión de una molécula de anticuerpo de interés con (i) un polipéptido de hIL-13Rα1 aislado de la SEC ID NO: 101 ó un fragmento de 5 a 350 aminoácidos del mismo que incluye el aminoácido correspondiente al residuo 233 de la SEC ID NO: 101; y (ii) un polipéptido de hIL-13Rα1 aislado o un fragmento de 5 a 350 aminoácidos del mismo en donde el aminoácido correspondiente al residuo 233 de la SEC ID NO: 101 es una alanina en lugar de una fenilalanina; (b) identificar aquellos anticuerpos que enlazan con el polipéptido aislado o fragmento del paso (a)(ii) pero muestran unión significativamente reducida con el polipéptido aislado o fragmento del paso (a)(ii); y (c) recuperar los anticuerpos identificados en el paso (b).
 - **13.** El anticuerpo de cualquiera de las reivindicaciones 1 a 4, el anticuerpo para el uso de cualquiera de las reivindicaciones 9 a 11, o el procedimiento de la reivindicación 12 en donde la reducción en la unión es más de 10 veces entre el anticuerpo y el polipéptido humano en comparación con la unión entre el anticuerpo y el polipéptido de tipo salvaje.
 - **14.** El anticuerpo de cualquiera de las reivindicaciones 1 a 4, el anticuerpo para el uso de cualquiera de las reivindicaciones 9 a 11 ó 13, o el procedimiento de la reivindicación 12 ó 13 en donde el péptido de hIL-13Rα1 sin dicha sustitución es la región extracelular de hIL-13Rα1 humana (números de aminoácidos 1-317 de la SEC ID N°: 1001).

_	15. El procedimiento de la reivindicación 12 en donde el fragmento del polipéptido de hIL-13Rα1 aislado de la SEC ID Nº:101 que incluye el aminoácido correspondiente con el residuo 233 de la SEC ID Nº:101 es la región extracelular de hIL-13Rα1, y el fragmento de un polipéptido de hIL-13Rα1 aislado en donde el aminoácido correspondiente al esiduo 233 de la SEC ID Nº:101 es una alanina es el mutante Phe233Ala correspondiente de la
5	región extracelular de hIL-13Rα1.
10	
15	
20	
25	
30	
35	
40	
45	
50	
55	
55	
60	

TOL	U
ICC	Ŋ
ATC	Н
AAG	又
CIG	П
TCT	S
GAGT	Ы
GGG	U
952229	Д
AAG	X
AAA	ᅜ
GIG	>
GAGG	Ħ
GCA	A
GGA(U
TCT	ഗ
CAG	O
GTGC	>
E	П
CAGC	O
GTG	>
GAG	凹

(}		
P.G.G.C	U	
AAA	ĸ	
GGG	᠐	
CCC	Д	
SATGCCCGG	Σ	
ATCGGCTGGGTGCGCCAGP	Ø	
CGC	ĸ	
GTG	>	
rgg(3	
3GC.	Ŋ	
ATC	H	
	M	
ACCAGCTACTGG	Y	
AGC	S	
ACC.	I	T R J
GCTLL	F	ر
AGC	S	
TAC	X	
GGA	Ŋ	
TCL	ഗ	8
GGT	ტ	
AAG	X	

CTGGAGTGGATGGGGGTCATCTATCCTGGTGACTCTTATACCAGATACAGCCCGTCCTTCCAAGGC ഗ Д S × K SY CDR2 Д ტ М I Y \ \ \ \ \

CAGGICACCAICTCAGCCGACAAGICCAICAGCACCGCCIACCIGCAGIGGAGCAGCCIGAAGGCC K A Ы Ø Ц T A Y N ഗ X S

TCGGACACCGCCATGTATTACTGTGCGAGATTCCCCAACTGGGGCTCATTTGACTACTGGGGCCAG U 3 Ω ഥ G F P N W Ø Ü × X Σ A

CDR3

GGAACCCTGGTCACCGTCTCTCA (SEQ ID NO:43)
G T L V T V S S (SEQ ID NO:45)

FIG. 1

GAAATTGTGTGACGCAGTCTCCAGGCACCCTGTCTTTGTCTCCAGGGGAAAGAGCCACCCTCTCC G ഗ Д

EJ	A	
099		
CCA	O	
TGG	ß	
CCI	Д	
AAA	又	
CAG	Ø	
ZAG(O	
LACC	×	
TGGT	M	
SCCI	A	
TTAC	IJ	
AC	X	
GCT	W	
AGCZ	S	
GCP	S	
TTA	Н	CDR1
GTA	S	S
AGA	O	
GIC	S	
CCA	A	
CAGGGCC	K.	
GCA	Ü	
Ē	_	

CCCAGGCTCCTCATCTATGGTGCATCCAGCAGGGCCACTGGCATCCCAGACAGGTTCAGTGGCAGT Ü H K S S CDR2 Ø U

GGGTCTGGGACAGACTTCACTCTCACCATCAGCAGACTGGAGGCCTGAAGATTTTGCAGTGTATTAC (SEQ ID NO:47) TGTCAGCAGTATGAGACGTTCGGCCAAGGGACCAAGGTGGAAATCAAA ſщ Д ſΞ Н 公 Ŋ Н E [_ E Ŋ

(SEQ ID NO:49)

[±]

×

⊢

Ü

H

O Y E

FIG. 2

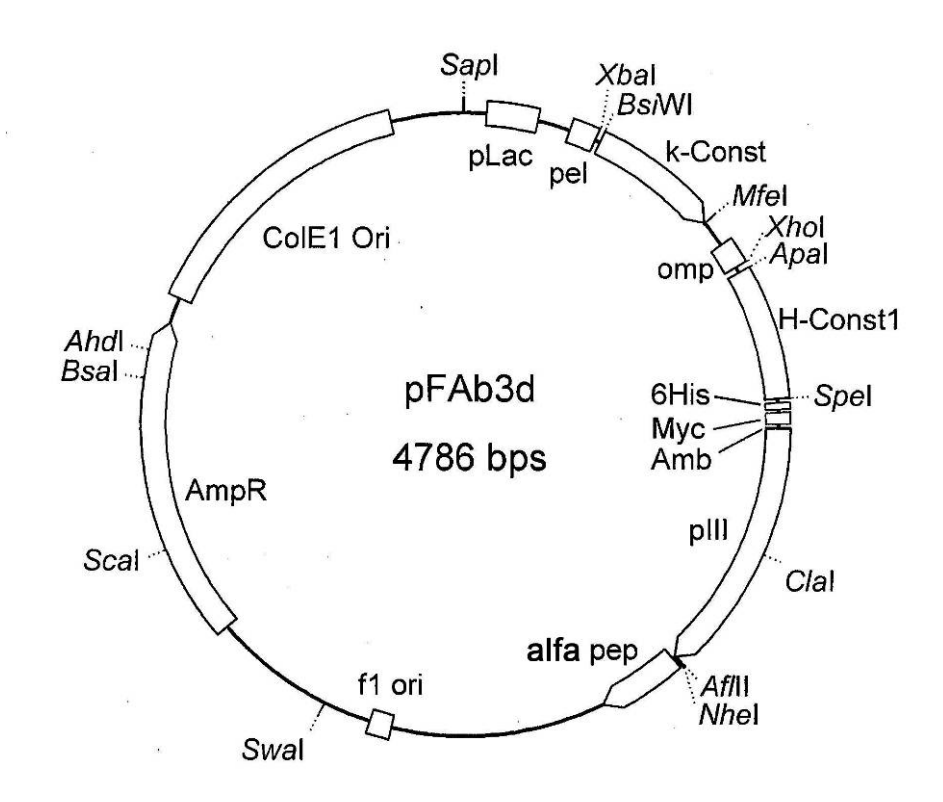


FIG. 3

>pFab3d-10G5H

MKKTAIAIAVALAGFATVAQAALE EVQLVQSGAEVKKPGESLKISCKG señal de secreción ompA

SGYSFTSYWIGWVRQMPGKGLEWMGVIYPGDSYTRYSPSFQGQVTISA CDR1 CDR2

DKSISTAYLQWSSLKASDTAMYYCARFPNWGSFDYWGQGTLVTVSSAS CDR3

 $\frac{\texttt{TKGPSVFPLAPSSKSTSGGTAALGCLVKDYFPEPVTVSWNSGALTSGV}}{\texttt{hCH1}}$

HTFPAVLQSSGLYSLSSVVTVPSSSLGTQTYICNVNHKPSNTKVDKRV hCH1

EPKSCDKTHTCPPCPTSGHHHHHHGGEQKLISEEDLGG* PFVCEYQG His-tag Myc-tag ◆Amb

QSSDLPQPPVNAGGGSGGSGGSEGGGSEGGGSEGGGSGGGS pIII stump (aa198-406)

GSGDFDYEKMANANKGAMTENADENALQSDAKGKLDSVATDYGAAIDGF IGDVSGLANGNGATGDFAGSNSQMAQVGDGDNSPLMNNFRQYLPSLPQS VECRPYVFGAGKPYEFSIDCDKINLFRGVFAFLLYVATFMYVFSTFANI LRNKES (SEQ ID NO:86)

FIG. 4A

>pFab3d-10G5L

MKYLLPTAAAGLLLLAAQPAMASREIVLTQSPGTLSLSPGERATLSCR señal de secreción Pel

ASQSISSSYLAWYQQKPGQAPRLLIYGASSRATGIPDRFSGSGSGTDF CDR1 CDR2

TLTISRLEPEDFAVYYCQQYETFGQGTKVEIKRTVAAPSVFIFPPSDE CDR3

TYSLSSTLTLSKADYEKHKVYACEVTHQGLSSPVTKSFNRGEC (SEQ ID NO: 87)

FIG. 4B

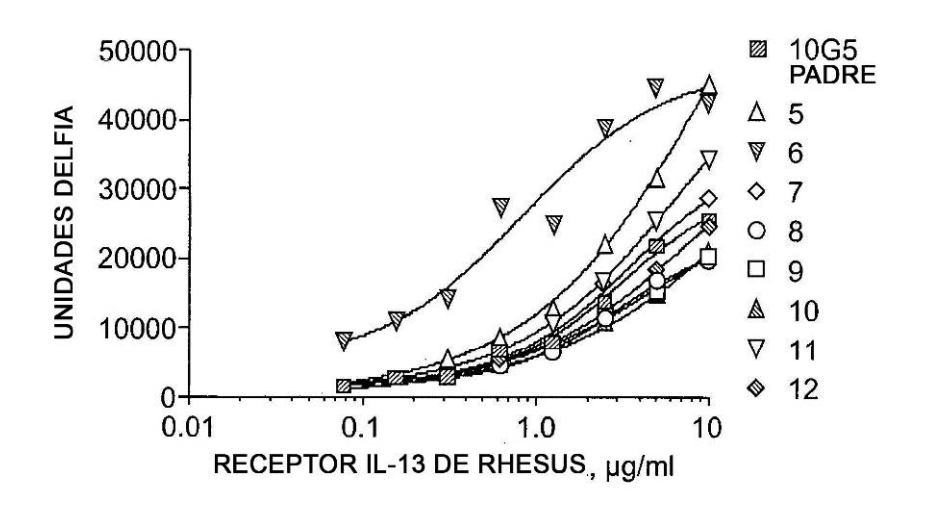


FIG. 5

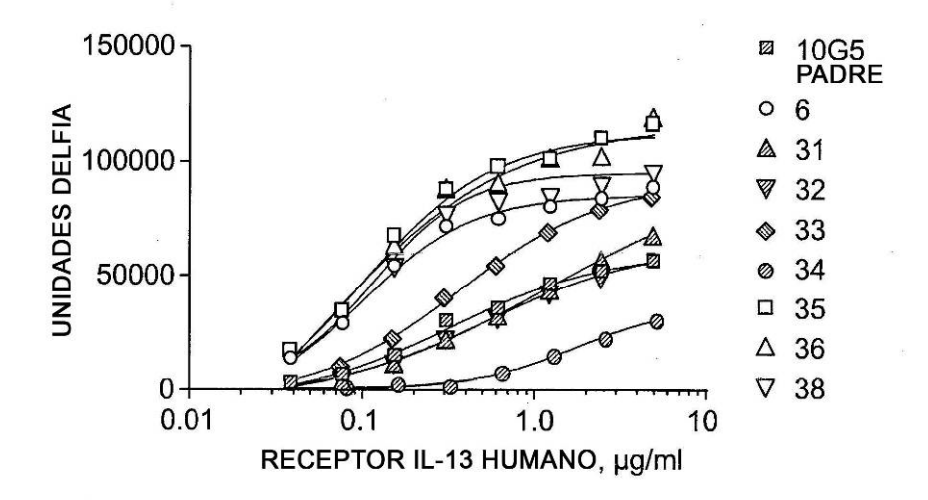


FIG. 6

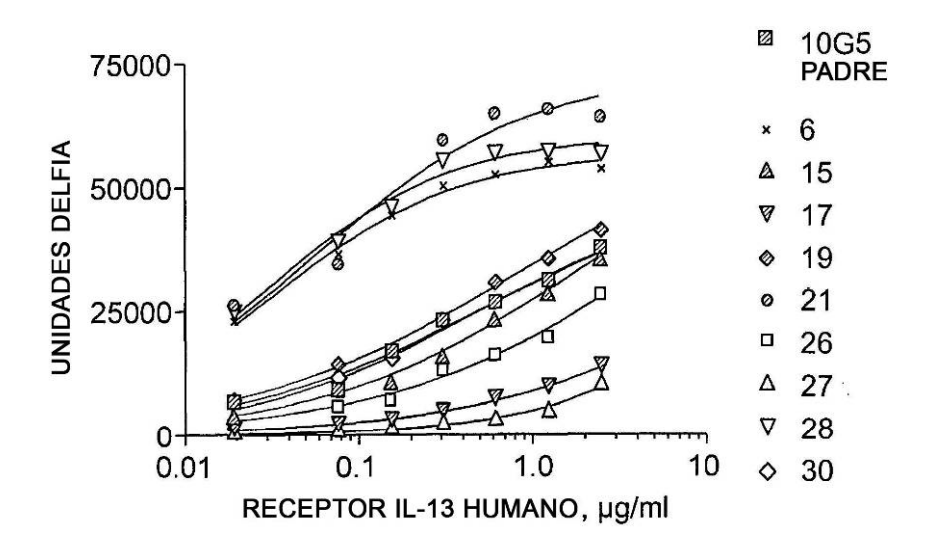
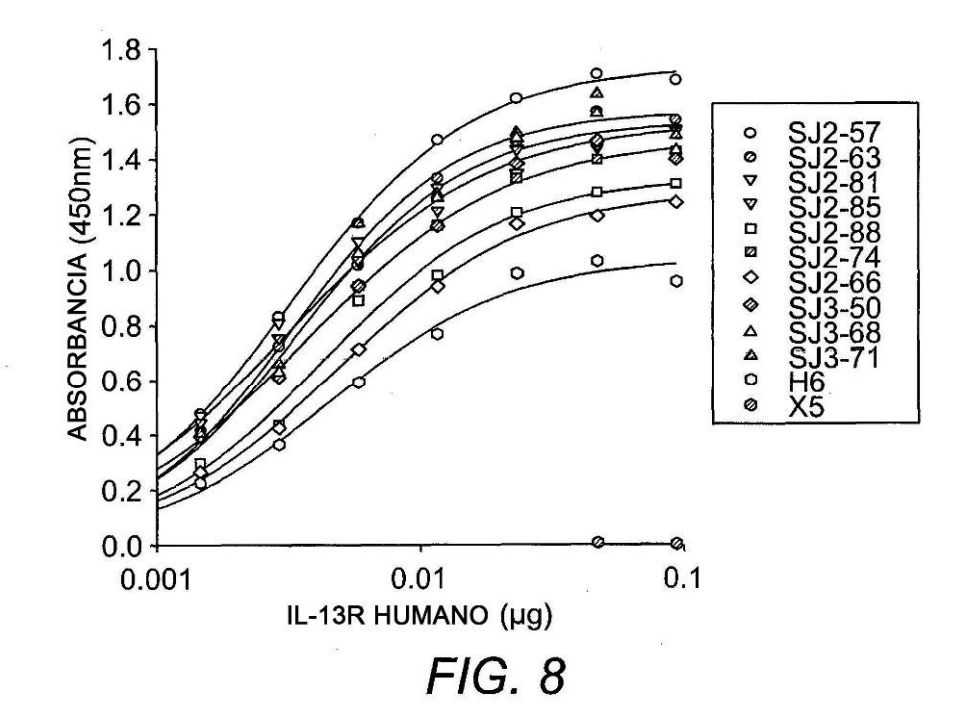
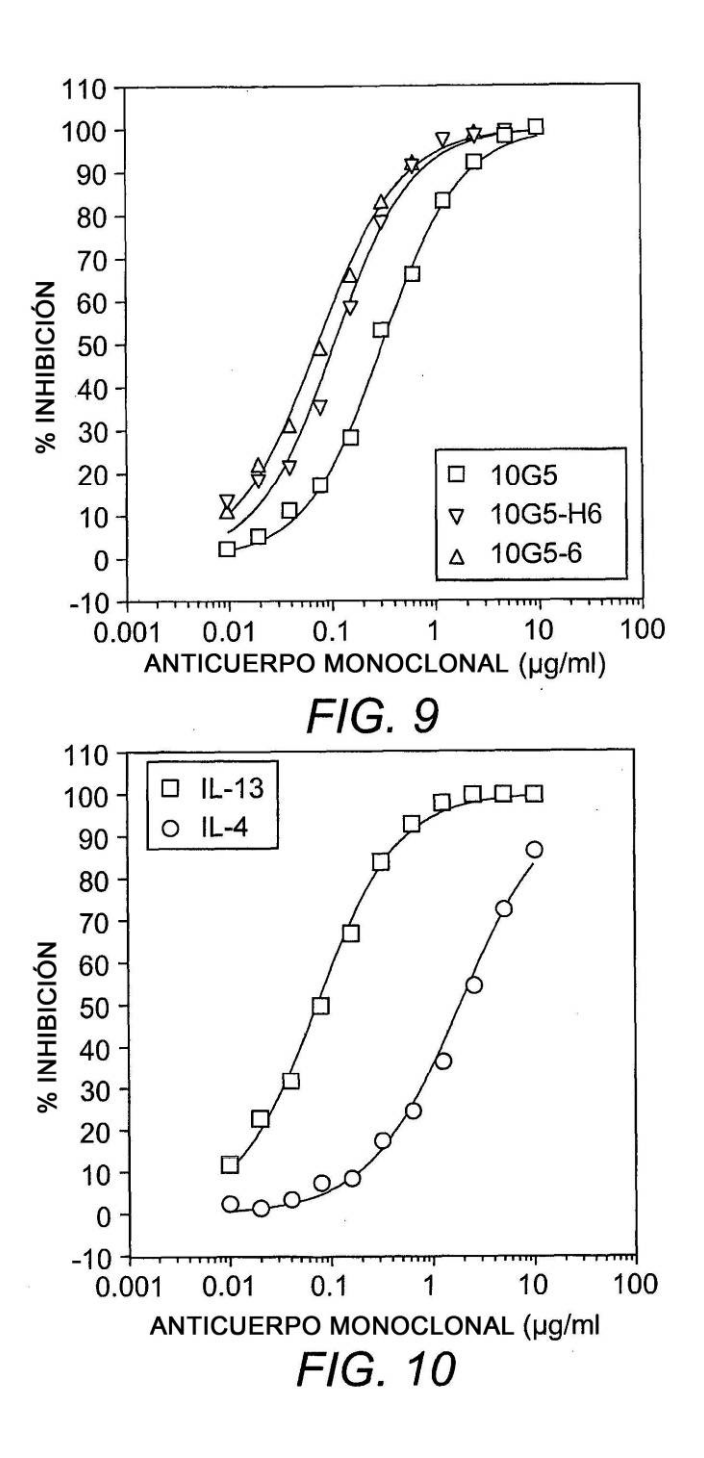


FIG. 7





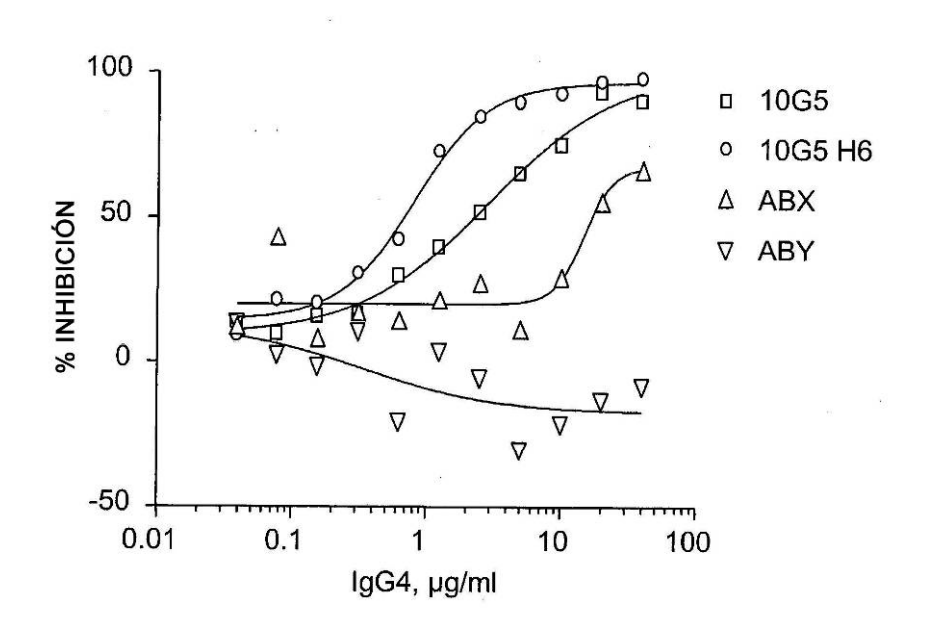


FIG. 11

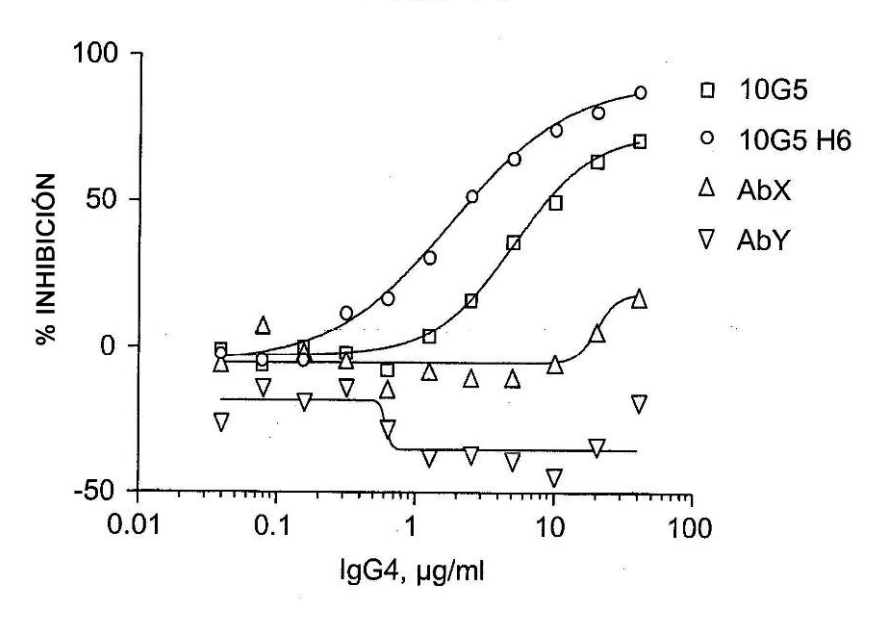
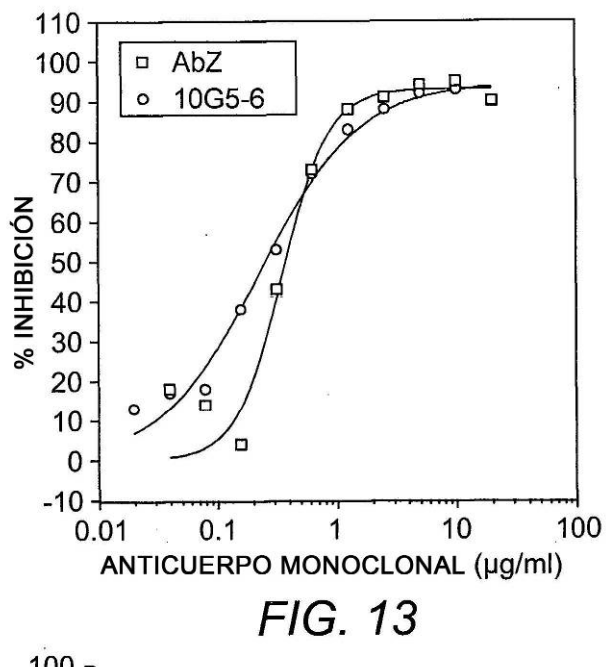


FIG. 12



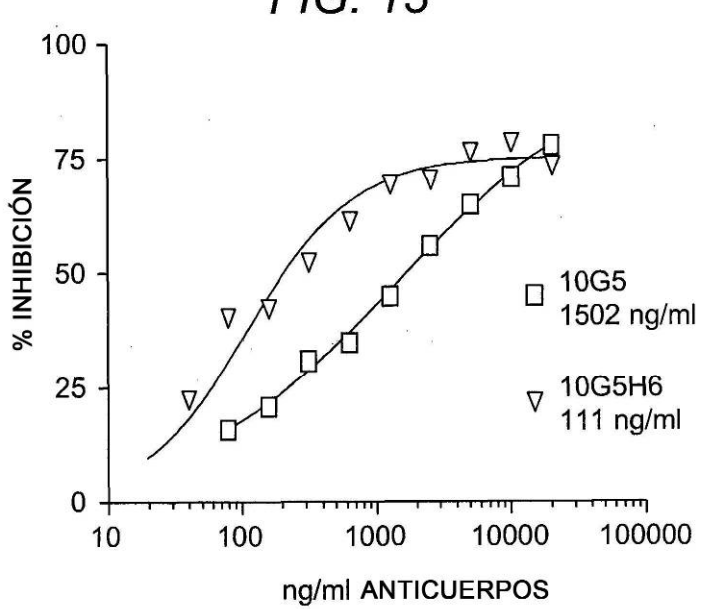


FIG. 14

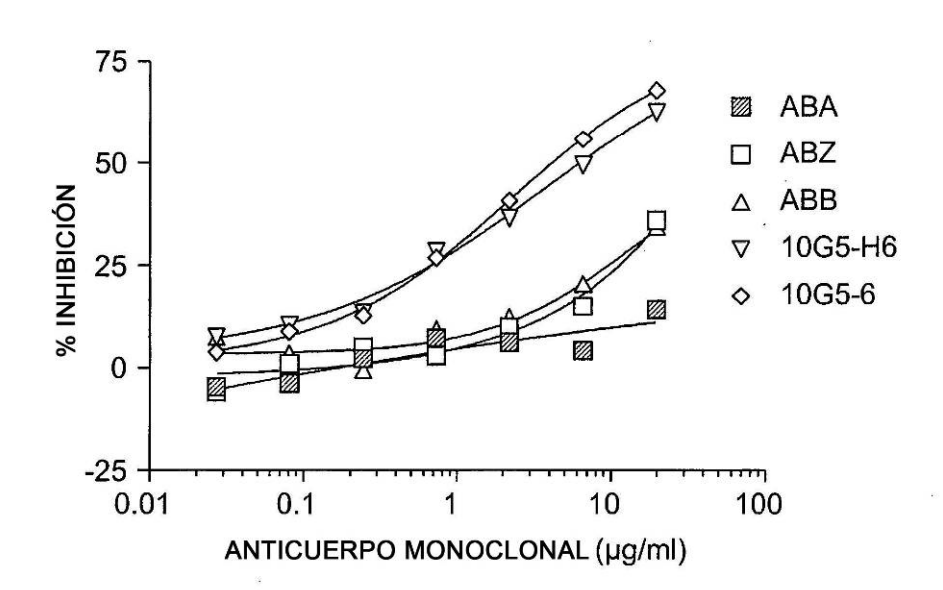


FIG. 15

			CH1 STARTS	HERE		
	IgG1	LVTVSSASTK	GPSVFPLAPS	SKSTSGGTAA	LGCLVKDYFP	EPVTVSWNSG
	IgG2	LVTVSSASTK	GPSVFPLAPC	SRSTSESTAA	LGCLVKDYFP	EPVTVSWNSG
	IgG4	LVTVSSASTK	GPSVFPLAPC	SRSTSESTAA	LGCLVKDYFP	EPVTVSWNSG
	IqG2M4		GPSVFPLAPC			EPVTVSWNSG
	1902	(VH-C1 LINE				
		(VII CI DIMI	CEIC)		C2 (0.0
	T~C1	AT MCCGMMDD	AVLOSSGLYS	T COLUMN DOC		VNHKPSNTKV
	IgG1					
	IgG2		AVLQSSGLYS			VDHKPSNTKV
	IgG4		AVLQSSGLYS			VDHKPSNTKV
6	IgG2M4	ALTSGVHTFP	AVLQSSGLYS	LSSVVTVTSS	NEGTOTYTCN	VDHKPSNTKV
			- 11	**** DO		MOEO GOC1
	- ~-		ON			M252 C261
	IgG1		KTHTCPPCPA		LFPPKPKDTL	MISRTPEVTC
	IgG2	DKTVERKCC-			LFPPKPKDTL	MISRTPEVTC
	IgG4	DKRVESKYGP			LFPPKPKDTL	MISRTPEVTC
	IgG2M4	DKTVERKCC-				MISRTPEVTC
				(LOWER HING	Ξ)	FcRn-BIND
		D265 D27			<u>N29</u> 7*	T307
	IgG1		EVKFNWYVDG			VVSVLTVLHQ
	IgG2	VVVDVS <u>H</u> EDP	EVQFNWYVDG	VEVHNAKTKP	REEQFINSTFR	VVSVLTVVHQ
	IgG4	VVVDVSQEDP	EVQFNWYVDG	VEVHNAKTKP	REEQFINSTYR	VVSVLTVLHQ
	IgG2M4		EVQFNWYVDG	VEVHNAKTKP	REEQFISTER	VVSVLTVLHO
	-	B/C LOOP)		C'E LOOP	FCRn-BIND
		C	321 P3	29	CH3->	
	IgG1	DWLNGKEYKC	KVSNKALPAPI	EKTISKAKG	QPREPQVYTL	PPSRDELTKN
	IgG2	DWLNGKEYKC	KVSNKGLPAP1	EKTISKTKG		PPSREEMTKN
	IgG4	DWLNGKEYKC	KVSNKGLPSS	EKTISKAKG	QPREPQVYTL	PPSQEEMTKN
	IgG2M4	DWLNGKEYKC	KVSNKGLPSSI	EKTISKTKG	QPREPQVYTL	PPSREEMTKN
F/G LOOP						
2000 - 10						
	IgG1	QVSLTCLVKG	FYPSDIAVEW	ESNGQPENNY	KTTPPVLDSD	GSFFLYSKLT
	IqG2	QVSLTCLVKG	FYPSDIAVEW	ESNGQPENNY	KTTPPMLDSD	GSFFLYSKLT
	IqG4	QVSLTCLVKG	FYPSDIAVEW	ESNGQPENNY	KTTPPVLDSD	GSFFLYSRLT
	IqG2M4	QVSLTCLVKG	FYPSDIAVEW	ESNGQPENNY	KTTPPMLDSD	GSFFLYSKLT
	-			1		
				H433		
	IqG1	VDKSRWQQGN	VFSCSVMHEA	LHNHYTQKSL	SLSPGK* (SI	EQ ID NO:97)
	IqG2	VDKSRWOOGN		LHNHYTOKSL	SLSPGK* (SI	
	IqG4	VDKSRWQEGN		LHNHYTOKSL	SLSLGK* (SI	(1995년) - (1996년) - (1995년) 1일 - (1996년) 1일
	IgG2M4	VDKSRWQQGN		LHNHYTQKSL	SLSPGK* (SI	[기타기 - 유럽에서 - [구경기 가입하다]
	J			FCRn-BIND		

FIG. 16

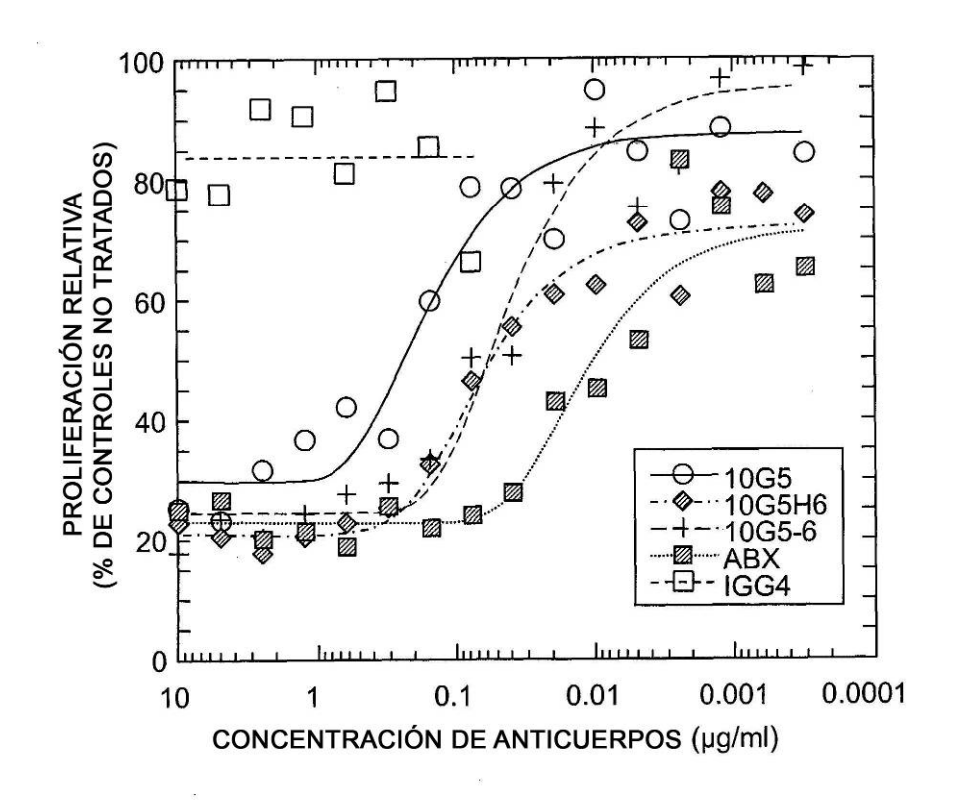


FIG. 17